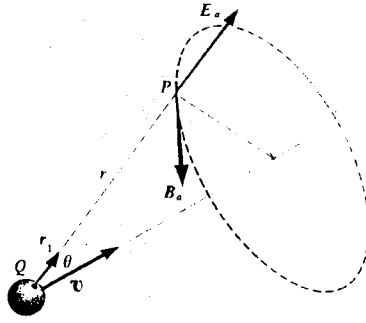




جامعة أسيوط  
كلية العلوم

# الإلكتروديناميكا



الدكتور  
رياض خاروف

الدكتور  
جلال سوّدة

الدكتور  
سهيل باظة

مديرية المكتبة والمطبوعات الجامعية

١٩٩٢ - ١٩٩٢

لطلاب السنة الثالثة

ف - ف - ف

# المقرر

يفطي كتاب الالكتروديناميك مقررات السنة الثالثة فيزياء  
ومقرر الكهربية لطلاب السنة الثالثة رف + رف ك وتتوافق معظم  
مواضيعه مع المفردات المقررة في الخطة الدراسية .

يتطلب فهم مواضيع هذا الكتاب أن يكون الطالب ملمًا  
بمناهج الكهرباء والمغناطيسية . متمرسا في الجبر المتجه . وقد  
حاولنا من جهتنا الكتابة بأسلوب مبسط وشرح وافر للعلاقات الرياضية  
ومحاولة تبسيطها قدر المستطاع .

يحتوي الكتاب على خمسة فصول وثلاث ملحقات اضافة الى  
المصطلحات العملية المراجع باللغتين العربية والاجنبية .

في الفصل الاول درسنا معادلات مكسويل مع شرح فيزيائي لها  
ثم درسنا مفهوم الكمونات الكهربية والشروط الحدية التي يخضع لها  
الحقل الكهربي عندما يصطدم بحاجز يفصل بين وسطين مختلفين  
بخواصهما الفيزيائية ، وقد عرضنا بعض التمارين المحلولة في نهاية  
الفصل . في الفصل الثاني درسنا معادلات انتشار الحقل الكهربي  
في الاوساط المتجانسة والمتماثلة المناحي ، الخلاء ، النواقل والعوازل  
كما درسنا انتشار الحقل الكهربي في الاوساط المتباينة المناحي  
كالايونوسفير والبلورات .

يبحث الفصل الثالث في دراسة انعكاس وانكسار الامواج  
الكهربية المستوية على السطوح الفاصلة بين اوساط مادية مختلفة  
كما يدرس ظاهرة الانعكاس الكلي لهذه الامواج . يتضمن الفصل أيضا  
دراسة أدلة الموجة والامواج الموجهة من النوع كهربائية عرضية

وكهرطيسية عرضية. يتطرق الفصل الرابع الى دراسة شئائيات ورباعيات الاقطاب الكهربائية والمغناطيسية والكمون المتولد عنها مع عرض بعض التطبيقات عليها.

درسنا بايجاز في الفصل الخامس نسبة نيوتن ثم نظرية اينشتاين في النسبية الخاصة والعامه ، كما درسنا بالتفصيل تطبيقات تحويلات لورنتس على القوى والحقول واستنتاج معادلات مكسويل في الجملة  $S$  المتحركة حركة مستقيمة منتظمة بالنسبة لجملة عطالية ساكنة  $S$  . واستعرضنا في نهاية الفصل المتجهات الرباعية لكثافة التيار والكمون مع اعطاء فكرة عن تنسور الحقل الكهرطيسي. نرجو أن نكون قد وفقنا في وضع كتاب جيد يعود على الطالب بالمنفعة والفائدة العلمية وأن يكون مرجعا مفيدا في المكتبة العربية.

أخيرا ، نتوجه بالشكر والامتنان للزملاء الذين أفادوننا بملاحظاتهم القيمة وعلى الجهد الذي بذلوه لانجا هذا الكتاب وهم: الدكتور جان شنكجي ، الدكتور عبد الوهاب دويدري والدكتور رياض آل رشدي .

المؤلفون

## الفصل الأول

معادلات الحقل الكهروستاتيكي في الفراغ

( معادلات مكسويل )

1-1 قانون غوس في الكهرباء الساكنة :

لنأخذ شحنة نقطية Q تقع في النقطة p الواقعة داخل سطح مغلق s شكل (1-1) . ولحساب تدفق الحقل الكهربائي  $\vec{E}$  من خلال هذا السطح نقوم بحساب تدفق الحقل الكهربائي عبر عنصر السطح  $\vec{ds}$  ومن ثم نجري عملية تكامل على السطح الكلي s .

ان تدفق الحقل  $\vec{E}$  من خلال عنصر السطح  $\vec{ds}$  يساوي :

$$d\phi = \vec{E} \cdot \vec{ds} = \frac{Q}{4\pi\epsilon_0} \frac{\vec{r}_1 \cdot \vec{ds}}{r^2} \quad (1-1)$$

حيث  $\vec{r}_1$  هو متجهة الواحدة، و  $\vec{r}_1 \cdot \vec{ds}$  هو مسقط  $\vec{ds}$  على مستوي عمودي على  $\vec{r}_1$ .

وإذا كتبنا  $\vec{ds}$  بدلالة  $d\Omega$  الزاوية المجرى التي نرى منها عنصر

السطح  $\vec{ds}$  ابتداءً من النقطة p فان  $\vec{ds}$  يساوي :

$$\vec{ds} = r^2 \cdot d\Omega \vec{r}_1 \quad (1-2)$$

نعوض قيمة  $\vec{ds}$  من العلاقة (2) في (1) فنحصل على :

$$\begin{aligned} \vec{E} \cdot \vec{ds} &= \frac{Q}{4\pi\epsilon_0} \frac{\vec{r}_1 \cdot d\Omega \cdot r^2 \cdot \vec{r}_1}{r^2} \\ &= \frac{Q}{4\pi\epsilon_0} d\Omega \end{aligned} \quad (1-3)$$

والتدفق الكلي للحقل  $\vec{E}$  من خلال السطح الكلي s يساوي :

$$\phi = \oint_S \vec{E} \cdot \vec{ds} = \oint_S \frac{Q}{4\pi\epsilon_0} d\Omega = \frac{Q}{4\pi\epsilon_0} \oint_S d\Omega = \frac{Q}{4\pi\epsilon_0} \cdot 4\pi = \frac{Q}{\epsilon_0} \quad (1-4)$$



إذا كانت الشحنة  $Q$  واقعة خارج السطح  $s$  فإن التدفق الكلي يساوي الصفر لان الزاوية المجسمة التي نرى منها السطح  $s$  انطلاقا من هذه النقطة تكون معدومة .

إذا احتوى السطح المغلق  $s$  على عدة شحنات بداخله فإن التدفق يجمع جبريا ويكون التدفق الكلي للحقل  $\vec{E}$  من خلال السطح المغلق  $s$  مساويا للشحنة الكلية مقسومة على  $\epsilon_0$  أي :

$$\phi = \sum_i \phi_i = \frac{1}{\epsilon_0} \sum_i Q_i = \frac{Q}{\epsilon_0} \quad (1-5)$$

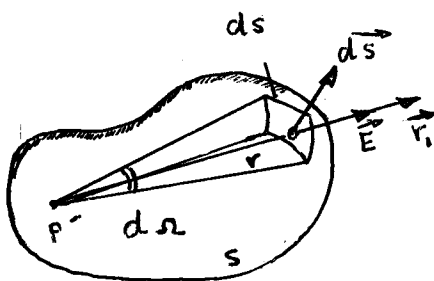
أما في الحالة التي تكون فيها الشحنات داخل السطح المغلق  $s$  موزعة بكثافة حجمية  $\rho$  في الحجم  $v$  المحدد بالسطح  $s$  فإن  $Q$  تساوي :

$$Q = \int_v \rho dv \quad (1-6)$$

والتدفق الكلي يساوي :

$$\phi = \oint_s \vec{E} \cdot d\vec{s} = \frac{1}{\epsilon_0} \int_v \rho dv \quad (1-7)$$

يربط قانون غوس كما هو ملاحظ بين تدفق الحقل الكهربائي من خلال سطح مغلق  $s$  وبين الشحنة الكلية الموجودة داخله . يفيد هذا القانون في حساب الحقول الناجمة عن توزيع الشحنات الكهربائية ولاسيما إذا كانت هذه الشحنات موزعة توزيعا متناظرا . بتطبيق دعوى غوس استروغورسكي على الطرف الأيسر من العلاقة ( 7 ) نجد :



شكل ( 1 - 1 )

$$\begin{aligned} \phi &= \oint_s \vec{E} \cdot d\vec{s} = \int_v \text{div } \vec{E} \cdot dv \\ &= \int_v \frac{\rho}{\epsilon_0} dv \quad (1-8) \end{aligned}$$

وهذه العلاقة صحيحة مهما كان شكل السطح والكميات الموجودة تحت إشارة  $\int$  يجب أن تساوي في

كل نقطة من الفراغ ومنه فان :

$$\left\{ \begin{array}{l} \text{div } \vec{E} = \frac{\rho}{\epsilon_0} \\ \text{div } \vec{D} = \rho \end{array} \right. \quad \text{أو:} \quad (1-9)$$

عنه  $\vec{D}$  هي متجهة حقل التمريض الكهربائي .  
تمثل العلاقة (9 - 1) قانون غوص بشكله التفاضلي بينما تمثل العلاقة  
(7 - 1) قانون غوص بالشكل التكاملية . واعتمادا على المفهوم  
الفيزيائي للفرق فان العلاقة (9 - 1) تدل على أن مصادر الحقل  
الكهربائي هي الشحنات الكهربائية وهي شحنات حقيقية تتواجد في  
الطبيعة . تدعى العلاقة (9 - 1) أيضا بمعادلة مكسويل من أجل  
تفرق  $\vec{D}$  .

## 2 - 1 - قانون غوص في المغناطيسية :

من المعلوم أن الخاصة الأساسية للمادة قد بنيت من جراًء  
تكميم الشحنة الكهربائية . وعلى الرغم من الدراسة النظرية التي وضعها  
العالم ديراك 1931 والتي تتنبأ بوجود جسيمات تمثل شحنة مغناطيسية  
من نوع واحد دعيت وحيدات القطب المغناطيسي ، إلا أن التجارب حتى  
الآن لم تقدم أي دليل على وجود احادي القطب المغناطيسي ولذلك فان  
قوانين الكهرطيسية قد وضعت على اعتبار أنه لا توجد شحنة مغناطيسية  
أساسية معزولة . واذا كان وحيد القطب المغناطيسي غير موجود فانه  
يوجد ثنائي القطب المغناطيسي ( ديبول ) وهو أصغر مؤثر عنصري  
مغناطيسي معروف . على الصعيد الماكروسكوبي ينشأ ثنائي القطب  
المغناطيسي من جراًء مرور تيار مستمر في عروة أو حلقة ناقلة . وعلى  
الصعيد الميكروسكوبي أو الذري فان المعالجة الكوانتية ضرورية لابـد

منها ، مع أن النموذج التقليدي للمغناطيسية الذرية يعزى منشأ المقول المغناطيسية الى التيار الفعال الناتج عن دوران الالكترونات حول النواة .

وفي الحقيقة فانه بالاضافة الى المفعول المداري هذا فان الجسيمات العنصرية تملك عزما سبينيا أو عزما حركيا ذاتيا وعزما مغناطيسيا ذاتيا . فمثلا العزم السبيني للالكترون يساوي  $s = \frac{1}{2} \cdot \frac{h}{2\pi} = 5,28 \times 10^{-35}$  Joule وللالكترون يساوي  $m_B = 9,27 \times 10^{-24}$  A.m<sup>2</sup> والذي يدعى بمغنون بور .

والآن لو طرحنا السؤال التالي : ماهو الاثر الناجم عن غياب وحيد القطب المغناطيسي على شكل خطوط الحقل المغناطيسي ؟ نذكر أنه في ثنائي القطب الكهربائي تبدأ خطوط الحقل من الشحنة الموجبة وتنتهي على الشحنة السالبة ، أما في ثنائي القطب المغناطيسي وبسبب عدم وجود شحنات مغناطيسية حقيقية كما هو الحال بالنسبة للشحنات الكهربائية فان خطوط الحقل المغناطيسي ليس لها بداية ونهاية وانما تنغلق على بعضها والشكل التالي ( 2 - 1 ) يبين خطوط الحقل الكهربائي والمغناطيسي الناجمة عن ثنائي قطب كهربائي وآخر مغناطيسي كما يبين سطح غوص  $S$  في كل منهما .

والتدفق اصطلاحا من خلال سطح مغلق يكون موجبا اذا كانت خطوط الحقل تخرج منه وسالبا اذا دخلت اليه ، وعدد خطوط حقل التحريض المغناطيسي ، ( شكل 2-b ) التي تدخل الجسم المحدد بالسطح المغلق  $S$  تساوي عدد خطوط الحقل التي تخرج منه وتدفق حقل التحريض المغناطيسي من خلال هذا السطح المغلق يساوي عندئذ الصفر . نعبّر عن

النتيجة هذه للعلاقة :

$$\oint_S \vec{B} \cdot d\vec{s} = 0 \quad (1-10)$$

$$\oint_S \vec{H} \cdot d\vec{s} = 0$$

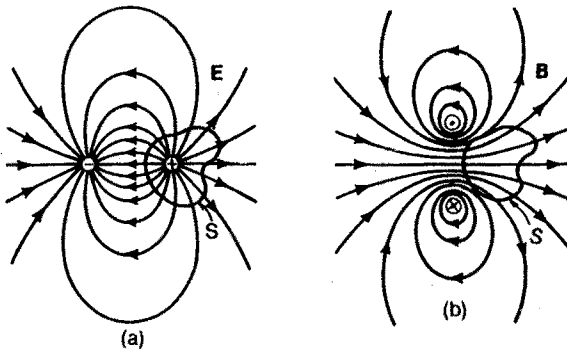
ويتطبيق دعوى غوس - استروغرادسكي فان العلاقة (10 - 1) تصبح

على الشكل التالي :

$$\int_V \text{div } \vec{B} \cdot dv = 0$$

ومنه فان :  $\text{div } \vec{B} = 0$  أو :  $\vec{\nabla} \cdot \vec{B} = 0$  (11 - 1) وهو الشكل التفاضلي لقانون غوس في المغناطيسية وهذه العلاقة صحيحة مهما كان شكل السطح المغلق  $S$  الذي يحده الحجم  $V$ .

والمعنى الفيزيائي للعلاقة (11) يدل على عدم وجود شحنات مغناطيسية حقيقية حرة في الطبيعة ، ولذلك فان الحقل المغناطيسي تولده التيارات ولا يتولد عن الشحنات المغناطيسية . تدعى العلاقة (11) أيضا بمعادلة مكسويل من أجل تفرق  $\vec{B}$ .



شكل (2 - 1)

### 1-3 - قانون أمبير:

إذا مر تيار ثابت الشدة  $I$  في سلك ناقل طوله لانهاضي فان حقل التمريض المغناطيسي المتولد عن مرور التيار في السلك في نقطة ما من الفراغ تبعد عن السلك مسافة  $r$  يعطى بالعلاقة التالية

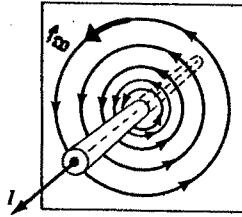
$$B = \frac{\mu_0 I}{2\pi r} \quad (1-12)$$

أما جهته في تلك النقطة فتكون عمودية على المستوى الذي يحوي السلك والنقطة ، وخطوط الحقل  $\vec{B}$  تكون عبارة عن دوائر متمركزة حول السلك

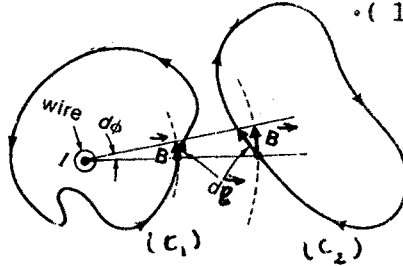
الشكل (1-3) ، لنحسب الان جولان حقل التمريض

المغناطيسي  $\vec{B}$  على محيط مغلق يحيط بالسلك السابق وآخر لا يحيط به كما يظهره الشكل

(1 - 4)



شكل (1 - 3)



شكل (1 - 4)

ونظرا لكون حقل التمريض المغناطيسي  $\vec{B}$  يملك مركبة زاوية فقط حول السلك المستقيم فان مسقط  $d\vec{\ell}$  على  $\vec{B}$  يساوي  $r \cdot d\phi$  في كلا الطريقين  $C_1$  و  $C_2$  ، ولذلك فان جولان الحقل  $\vec{B}$  يساوي :

$$\oint \vec{B} \cdot d\vec{\ell} = \oint B(r) \cdot r \cdot d\phi \quad (1-13)$$

بتعويض قيمة  $\vec{B}$  من (12) في (13) نجد:

$$\oint \vec{B} \cdot d\vec{\ell} = \frac{\mu_0 I}{2\pi} \oint d\phi$$

من أجل المحيط المغلق  $c_1$  فان التكامل  $\oint_{c_1} d\phi = 2\pi$  ومن

أجل  $c_2$  يساوي الصفر . نعوض قيمة تكامل  $d\phi$  في العلاقة الاخيرة فنجد

$$\begin{cases} \oint_c \vec{B} \cdot d\vec{l} = \mu_0 I \\ \oint_c \vec{H} \cdot d\vec{l} = I \end{cases} \quad \text{أو:} \quad (1-14)$$

تدعى العلاقة ( 14 ) بقانون أمبير وينص على أن جولان الحقل المغناطيسي على منحني مغلق يساوي الى شدة التيار الكلي التي تخترق السطح الذي يستند عليه المحيط المغلق ، ويدعى التكامل  $\oint_c \vec{H} \cdot d\vec{l}$  بالقوة المحركة المغناطيسية أسوة بالقوة المحركة الكهربائية

$$\varepsilon = \oint_c \vec{E} \cdot d\vec{l}$$

وإذا كتبنا شدة التيار  $I$  على شكل تكامل لكثافة التيار  $\vec{j}$  على السطح  $s$  بأكمله أي :

$$I = \int_s \vec{j} \cdot d\vec{s} \quad (1-15)$$

فان قانون أمبير يأخذ الشكل التالي ( الشكل التكاملي ) :

$$\oint_c \vec{B} \cdot d\vec{l} = \mu_0 \int_s \vec{j} \cdot d\vec{s} \quad (1-16)$$

حيث  $d\vec{s}$  هي متجهة السطح منحاهها منطبق على الناظم وموجه بالاتجاه الموجب للناظم الذي يتحدد بقاعدة اليد اليمنى . بتطبيق نظرية ستوكس على الطرف الايسر من المعادلة ( 16 ) نجد :

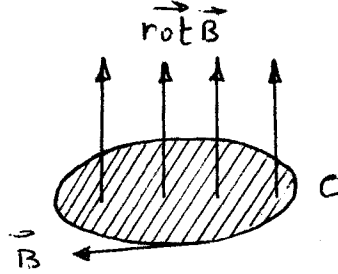
$$\oint_c \vec{B} \cdot d\vec{l} = \int_s \overrightarrow{\text{rot } B} \cdot d\vec{s} = \int_s \mu_0 \vec{j} \cdot d\vec{s} \quad (1-17)$$

ومنه فان :

$$\overrightarrow{\text{rot } B} = \mu_0 \vec{j} \quad (1-18)$$

وهذه العلاقة تمثل الشكل التفاضلي لقانون أمبير . يمثل الشكل

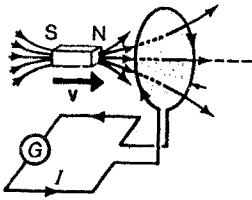
التالي ( 5 - 1 ) تدفق المتجهة  $\vec{\text{rot B}}$  من خلال السطح  $s$  الذي يستند عليه المحيط أو المنحن المغلق  $c$ .



شكل ( 5 - 1 )

#### 4 - 1 - قانون فاراداي في التحريض الكهربي :

في عام 1831 اكتشف فاراداي بأنه يمكن الحصول على الحقل الكهربائي انطلاقا من حقل مغناطيسي متغير مع الزمن. وقد سميت هذه الظاهرة بظاهرة التحريض الكهربي . والشكل ( 6 - 1 ) يبين التجربة التي استخدمها فاراداي ، وهي تتألف من قضيب مغناطيسي

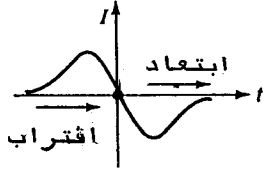


شكل ( 6 - 1 )

ودارة تحوي حلقة سلكية متصلة مع مقياس غلفانومتر للدلالة على مرور التيار الكهربائي في الدارة . عندما يكون المغناطيسي في وضع ثابت بالنسبة للدارة

فان ابرة مقياس الغلفانومتر لاتنحرف وهذا يدل على عدم وجود تيار كهربائي مار في الدارة . واذا قربنا المغناطيسي من جهة القطب الشمالي مثلا فان ابرة مقياس الغلفانومتر تنحرف دالة على مرور تيار كهربائي . ويبين الشكل ( 7 - 1 ) جهة مرور التيار الكهربائي . عند اقتراب المغناطيس من الحلقة وجريانه في الجهة المعاكسة بعد

عبوره للحلقة الناقلة والابتعاد عنها. وإذا أعدنا العملية السابقة بتمريك القضيب المغناطيسي من طرفه الجنوبي باتجاه محور الحلقة فان ابرة مقياس الغلفانومتر تنحرف بجهة تخالف انحرافها في المرة السابقة أي أن جهة التيار الكهربائي المار في الدارة تخالف جهة التيار في المرة السابقة. يدعى التيار المار في الدارة بـ "التيار المتحرض" والمغناطيس بالمرحض.



وصاغ فاراداي هذه النتيجة على النحو التالي :

" ان القوة المحركة الكهربائية المتحرضة ( EMF )  $\epsilon$

في الدارة المغلقة تكون تابعة لسرعة تغير تدفق

الحقل المغناطيسي الذي يخترق سطح الحلقة مع الزمن" وهذه القوة المحركة

هي التي تولد تيارا متحرضا في الدارة وتساوي :

$$\epsilon = \oint \vec{E} \cdot d\vec{l} \quad (1-19)$$

حيث  $\vec{E}$  هو الحقل الكهربائي المتحرض في كل نقطة من الدارة و  $d\vec{l}$  هو

عنصر الطول من الدارة الذي يتولد فيه الحقل الكهربائي . واذا

اخذنا اتجاهها موجبا لكل من جولان الحقل  $\vec{E}$  على محيط الحلقة

والناظم على السطح الذي تحصره الحلقة والذي يتحدد وفق قاعدة اليد

اليمنى أي اذا كان الاتجاه الموجب للجولان باتجاه اصابع اليد فان

الاتجاه الموجب للناظم يكون عموديا على مستوى السطح  $s$  الذي يحد

الحلقة وقانون القوة المحركة الكهربائية المتحرضة يساوي عندئذ

الى :

$$\epsilon = \oint \vec{E} \cdot d\vec{l} = - \frac{d}{dt} \int_s \vec{B} \cdot d\vec{s} = - \frac{d}{dt} \int_s \vec{B} \cdot \vec{n} \cdot ds \quad (1-20)$$

حيث  $\vec{n}$  هي متجهة الواحدة على  $d\vec{s}$ ،  $\vec{ds}$  هي متجهة السطح



وُخذ بحيث يكون اتجاهها منطبقا على اتجاه الناظم  
 $\vec{B} = \vec{B}(\vec{r}, t)$  هي متجهة حقل التحريض المغناطيسي حيث تكون

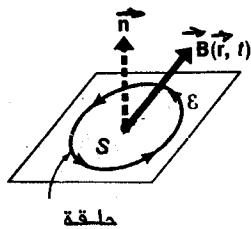
ابعدا للموضع وللزمن .

ولكن المـ  $\int_S \vec{B} \cdot \vec{n} \cdot ds$  يساوي الى تدفق حقل التحريض  
 لمغناطيسي عبر السطح  $\phi_m = \int_S \vec{B} \cdot \vec{n} \cdot ds$  ومنه فان العلاقة  
 ( 20 ) تكتب على الشكل :  

$$\varepsilon = - \frac{d\phi_m}{dt} \quad (1-21)$$

اذا قيس التدفق المغناطيسي بوحدة الـ وبيبر ( wb ) فان القوة  
 المحركة الكهربائية تقاس بالفولط ( V ) الاشارة ( - ) الموجودة  
 في العلاقتين ( 20 ) و ( 21 ) تعبر عن قانون لنز الذي ينص على أن.  
 اتجاه القوة المحركة الكهربائية المتحيزة يكون بحيث تعاكس تغير التدفق  
 المغناطيسي الذي كان سببا في توليد هذه القوة .

فمثلا اذا تناقص حقل التحريض المغناطيسي المبين على  
 الشكل ( 8 - 1 ) مع الزمن . فان المقدار  $\frac{d\phi_m}{dt}$  يكون سالبا



وتكون جهة القوة المحركة الكهربائية المتحيزة  
 هي الجهة التي تظهر على الشكل السابق حيث  
 تولد تيارا في الحلقة ينجم عنه حقل مغناطيسي  
 جهته تعاكس الجهة التي يتناقص بها الحقل  
 المغناطيسي الخارجي المطبق . من جهة أخرى  
 شكل ( 8 - 1 )

اذا كان  $\vec{B}$  يتزايد مع الزمن فان  $\varepsilon$  تولد تيارا في الحلقة  
 الناقلة جهته تعاكس الجهة المرسومة في الشكل ، والحقل المغناطيسي  
 المتولد عن التيار المتحرض سوف يعاكس بالجهة تزايد الحقل  
 المغناطيسي الخارجي .

لنعتبر الآن سطحا مغلقا كما في الشكل (9 - 1) مؤلفا من سطحين  $S_1$  و  $S_2$ ، أغلق محيطهما المشترك بحلقة دائرية  $\vec{n}_1, \vec{n}_2$  هي متجهات الواحدة الناظمية على السطح  $S_1$  و  $S_2$  على الترتيب وتوجهه الى خارج السطحين، ولنعتبر أن هاتين المتجهتين موجّهتان بالاتجاه الموجب. لنكتب تدفق حقل التمريض المغناطيسي  $\vec{B}$  عبر هذين السطحين المغلقين  $S_1$  و  $S_2$ :

$$\oint_{S_1+S_2} \vec{B} \cdot \vec{n} \cdot ds = \int_{S_1} \vec{B} \cdot \vec{n}_1 \cdot ds + \int_{S_2} \vec{B} \cdot \vec{n}_2 \cdot ds = 0$$

$$= - \int_{S_1} \vec{B} \cdot \vec{n}_1 \cdot ds + \int_{S_2} \vec{B} \cdot \vec{n}_2 \cdot ds = 0$$

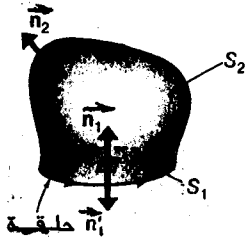
حيث:  $\vec{n}_1' = -\vec{n}_1$

ومنه فان التدفق  $\phi_m$  يساوي:

$$\phi_m = \int_{S_1} \vec{B} \cdot \vec{n}_1 \cdot ds = \int_{S_2} \vec{B} \cdot \vec{n}_2 \cdot ds$$

وهكذا فان التدفق الذي يجتاز دائرة مغلقة يمكن حسابه من معرفة التكامل  $\int \vec{B} \cdot \vec{n} \cdot ds$  على سطح مفتوح محيطه عبارة عن حلقة أو عروة مغلقة.

في بعض الحالات التي تكون فيها الوشيعية مؤلفة من  $N$  لفة تكافئ كل منها حلقة تحدد سطحا معيناً ، شكل (10 - 1)، في هذه الحالة يكون التدفق المغناطيسي الكلي عبر الوشيعية  $\phi_m$  مساويا الى  $N$  مرة من التدفق المغناطيسي عبر لفة واحدة:



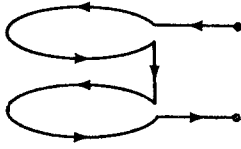
$$\phi_{tot} = N\phi_m \quad (1-22)$$

يمكن المصول على التدفق المغناطيسي

مع الزمن الذي يخترق الحلقة الناقلية إما من تحريك قضيب مغناطيسي بالنسبة للحلقة أو من تحريك الحلقة بالنسبة للمغناطيسي

شكل (9 - 1)

أو من تغيير شكل الدارة نفسها وهنا يجب أن يكون تغير الحقل مع الزمن بطيء أي لا يكون ملموظ خلال فترة زمنية تساوي إلى أبعاد الدارة مقسومة على سرعة الضوء وهذا يمكننا من إهمال التأثيرات المتعلقة بزمن انتشار الحقل الذي ينتشر بسرعة الضوء



يتطبيق نظرية ستوكس على الطرف الأيسر

من العلاقة ( 20 ) نجد :

$$\oint_C \vec{E} \cdot d\vec{l} = \int_S \text{rot } \vec{E} \cdot d\vec{s} = - \int_S \frac{\partial \vec{B}}{\partial t} \cdot d\vec{s} \quad (1-23)$$

شكل (10 - 1)

ومنه فإن :

$$\text{rot } \vec{E} = - \frac{\partial \vec{B}}{\partial t} \quad (1-24)$$

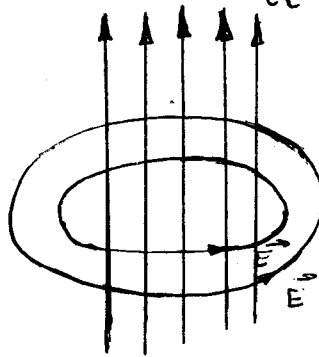
حيث  $\vec{B} = \vec{B}(\vec{r}, t)$  يكون تابعا للموضع وللزمن ، وهذه العلامة صحيحة من أجل أي دائرة مغلقة تحد سطحا اختياريا  $S$  وتدل على أن تغيير حقل التمريض المغناطيسي مع الزمن يولد حقلًا كهربائيًا دوارًا وإذا مثلت خطوط الحقل  $\frac{\partial \vec{B}}{\partial t}$  بخطوط مستقيمة من الأسفل إلى الأعلى فإن خطوط الحقل الكهربائي تشكل دوائر متحدة المركز تضم داخلها هذه الخطوط كما في الشكل (11 - 1) .

تسمى المعادلة ( 24 ) أيضا بقانون فاراداي المعمم

أو بمعادلة ماكسويل من  $\frac{\partial \vec{B}}{\partial t}$

من أجل دورا الحقل

•  $\vec{E}$

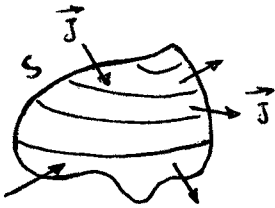


الشكل (11 - 1)

5 - 1 - معادلة الاستمرار :

نفرض أن سطحاً مغلقاً  $S$  كما في الشكل (12 - 1) تجتازه تيارات وبحيث يكون عدد مناطق السطح التي يخرج منها التيار أكبر من عدد مناطق السطح التي يدخل إليها التيار . وليكن  $\vec{J}$  هو متجهة كثافة التيار في كل نقطة من السطح . ان التيار الكلي الخارج من السطح  $S$  يساوي :

$$I = \oint_S \vec{J} \cdot d\vec{s} \quad (1-25)$$



بما أن التيار الكلي الخارج من السطح أكبر من التيار الداخل إليه فان الشحنة الكهربائية  $Q$  داخل السطح سوف تتناقص مع الزمن ويعبر عن ذلك بالعلاقة :

$$- \frac{dQ}{dt}$$

وإذا كانت الشحنة  $Q$  موزعة على الحجم

المحدود بالسطح المغلق  $S$  بكثافة حجمية  $\rho$  فان :

$$- \frac{dQ}{dt} = - \int_V \frac{\partial \rho}{\partial t} dv \quad (1-26)$$

وحسب قانون مصونية الشحنة الكهربائية فان مقدار تناقص الشحنة خلال واحدة الزمن داخل السطح يجب أن يساوي مقدار الشحنة الخارجة منه خلال

واحدة الزمن أي :

$$- \int_V \frac{\partial \rho}{\partial t} dv = \oint_S \vec{J} \cdot d\vec{s} \quad (1-27)$$

وبتطبيق نظرية غوس - استروغرادسكي على الطرف الايمن للعلاقة (27)

نجد :

$$- \int_V \frac{\partial \rho}{\partial t} dv = \int_V \text{div } \vec{J} \cdot dv \quad (1-28)$$

وهذه العلاقة صحيحة مهما كان الحجم الذي يعد السطح المغلق  $s$  وتدلل على أن تدفق الشحنة خارج أي حجم لامتناه في الصغر تساوي إلى تناقص الشحنة في هذا الحجم وهذا يعني أن الشحنة الكهربائية محفوظة لا تخلق ولا تغنى عند جريان التيار . ومن المساواة في العلاقة (28) نحصل على العلاقة التالية :

$$\text{div } \vec{j} + \frac{\partial \rho}{\partial t} = 0 \quad (1-29)$$

التي تعبر عن قانون انحفاظ الشحنة وتدعى أيضا بمعادلة الاستمرار . في حال التيار المستمر فان توزيع الشحنات لا يتغير مع الزمن أي :

$$\frac{\partial \rho}{\partial t} = 0 \quad \text{وتأخذ معادلة الاستمرار الشكل التالي :}$$

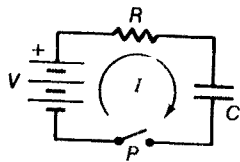
$$\text{div } \vec{j} = 0 \quad (1-30)$$

أي أن تدفق كثافة التيار تكون معدومة ولذلك لا يوجد للتيار المستمر منابع وخطوط كثافة التيار تكون مغلقة ولذلك فان التيار الكهربائي المستمر لا يمر في الدارة المفتوحة .

### 6-1 - تيار الانزياح أو تيار مكسويل :

يمثل الشكل التالي دارة شمن مكثف شكل (13 - 1) . عند

اغلاق القاطعة  $p$  يلاحظ أن تيارا يمر في الدارة ولكنه يتناقص حتى



ينعدم عندما تصل شحنة المكثفة الى قيمتها العظمى

أي أن التيار يمر خلال فترة شحن المكثفة

فقط . كيف يمكن تفسير مرور التيار في دارة

مفتوحة بمكثف كدارة الشكل (13 - 1) . يمكن

تفسير ذلك اذا انطلقنا من قانون غوس وأخذنا سطحًا مغلقًا  $s$

يضم اللبوس العلوي للمكثف ، كما في الشكل ( 14 - 1 ) . وتبعنا لقانون مومية الشحنة فان مقدار الشحنة الداخلة الى السطح والتي تتمثل بمعدل توضع الشحنة على اللبوس العلوي للمكثف الذي يقع ضمن السطح  $s$  تساوي الى مقدار الشحنة الخارجة منه والتي تتمثل بالتيار  $I(t)$  الذي يجري في السطح  $s$  أي :

$$I(t) = \frac{dQ(t)}{dt} \quad (1-31)$$

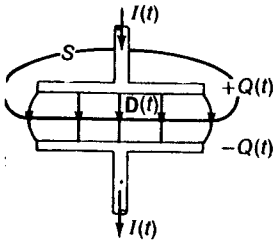
وباستخدام علاقة غومس التالية :

$$\oint_S \vec{D}(t) \cdot d\vec{s} = Q(t)$$

( حيث  $\vec{D} = \epsilon_0 \vec{E} + \vec{P}$  عندما يكون الفراغ بين لبوس المكثفة مملوءا بمادة عازلة ، ويساوي  $\vec{D} = \epsilon_0 \vec{E}$  عندما يكون العازل هو الفراغ بين اللبوسين ) فان المعادلة ( 31 ) تكتب على الشكل :

$$I(t) = \frac{d}{dt} \oint_S \epsilon_0 \vec{E}(t) \cdot d\vec{s} \quad (1-32)$$

وهو التيار الذي يجري بين لبوس المكثفة في دائرة الشكل ( 13 - 1 ) ويعرف بتيار الانزياح أو تيار مكسويل الانتقالي وهو يظهر في العوازل ويختلف عن تيار الناقلية الناجم عن حركة الالكترونات

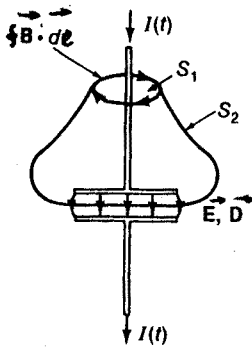


شكل ( 14 - 1 )

في النواقل ، كما أنه يولد في المكثف نفس الاثار المغناطيسية التي يولدها تيار الناقلية المار في سلك في الفراغ المحيط بالسلك . وكان من أول نتائج اكتشاف تيار الانزياح هو تعديل قانون أمبير لانه يأخذ بعين الاعتبار فقط تيار الناقلية والمثال

التالي يوضح ذلك : لنعتبر أن حقا تحريزيا مغناطيسيا يتولد عن

مرور تيار  $I(t)$  في دائرة تحوي مكثف كما في الشكل (15 - 1) . فمبسب قانون أمبير يرتبط التكامل الخطي للحقل  $\vec{B}$  حول الطريق المغلق أو المنحن المغلق مع التيار الكلي الذي يجري عبر أي سطح مفتوح محيطه هو الطريق المغلق . وهكذا فإنه من أجل الطريق المغلق



المبين على الشكل (15 - 1) فإن كلا السطحين  $S_1$  و  $S_2$  يمكن أن يستعملوا في قانون أمبير على حين نجد أن التيار العادي يجري عبر السطح  $S_1$  ولا يجري عبر السطح  $S_2$  وفي هذا تناقض واضح . ولذلك كان ضروريا تعديل قانون أمبير ( 18 ) بحيث يتم ادخال تيار الانزياح وهذا ما فعله ماكسويل واصبح قانون أمبير على

شكل ( 15 - 1 )

الشكل :

$$\begin{aligned} \oint_C \vec{B} \cdot d\vec{l} &= \mu_0 \int_S \vec{j}_d \cdot d\vec{s} + \mu_0 \frac{d}{dt} \int_S \epsilon_0 \vec{E} \cdot d\vec{s} \\ &= \mu_0 \int_S (\vec{j}_C + \epsilon_0 \frac{d\vec{E}}{dt}) \cdot d\vec{s} \end{aligned} \quad (1-33)$$

وإذا طبقنا نظرية ستوكس على الطرف الايسر من العلاقة ( 33 ) نجد:

$$\oint_C \vec{B} \cdot d\vec{l} = \int_S \text{rot } \vec{B} \cdot d\vec{s} = \mu_0 \int_S (\vec{j}_C + \epsilon_0 \frac{d\vec{E}}{dt}) \cdot d\vec{s}$$

ومنه فإن :

$$\text{rot } \vec{B} = \mu_0 (\vec{j}_C + \epsilon_0 \frac{d\vec{E}}{dt}) \quad (1-34)$$

حيث  $\vec{j}_C$  هي كثافة تيار الناقلية . في الحالة العامة يكون  $\vec{E}$  تابع للاحداثيات والزمن أي  $\vec{E} = \vec{E}(\vec{r}, t)$  ولذلك يستبدل التفاضل الكلي

بتفاضل جزئي والعلاقة ( 34 ) تكتب على النحوالتالي :

$$\vec{\text{rot}} \vec{B} = \mu_0 \left( \vec{j}_C + \epsilon_0 \frac{\partial \vec{E}}{\partial t} \right) \quad (1-35)$$

أو على الشكل :

$$\vec{\text{rot}} \vec{H} = \vec{j}_C + \frac{\partial \vec{D}}{\partial t}$$

تدعى المعادلة ( 35 ) بعلاقة ماكسويل - أمبير أو معادلة مكسويل من أجل دوار الحقل  $\vec{H}$  أو  $\vec{B}$  وهي ليست إلا تعميما لقانون أمبير. تدل هذه المعادلة على أن تغير الحقل الكهربائي مع الزمن يولد أيضاً بالاضافة الى تيار الناقلية حقلًا مغناطيسياً دواراً. ولقد بين ماكسويل عن طريق تيار الانزياح أن الحقول الكهربائية تنتشر في الفراغ كأموج وقد تنبأ بسرعة وخصائص هذه الامواج وفي عام 1881 نجح هرتز في اثبات وجود الامواج الكهربائية وبالتالي اثبات جود تيار الانزياح كما اثبت أن هذه الامواج تنتشر بسرعة تساوي سرعة الضوء . ولقد بين مكسويل وجود تناظر بين سلوك الحقل الكهربائي وحقل التحريض المغناطيسي فحسب قانون فاراداي فإن تغير حقل التحريض المغناطيسي مع الزمن يولد حقلًا كهربائياً دواراً وبالتالي ( العلاقة 35 ) فان تغير الحقل الكهربائي يولد حقلًا مغناطيسياً دواراً.

لقد كان لماكسويل المبررات بعد اكتشافه لتيار الانزياح في تعديل قانون فارادي، صحيح أن مراقبة الاثر المغناطيسي لتيار الانزياح هو من الصعوبة، إلا أنه باستخدام تواترات عالية ( تيار ذو تواتر عال ) قد تم كشف الاثر المغناطيسي لتيار الانزياح في المكثف .

يسمى مجموع كثافتي تيار الانزياح وتيار الناقلية  $\vec{j}_C$  بكثافة التيار



$$\vec{j}_{tot} = \vec{j}_c + \frac{\partial \vec{D}}{\partial t} \quad \text{الكلي : (1-36)}$$

وجدنا أن دائرة الشكل ( 14 - 2 ) يمر فيها تياراً فقط عند لحظة اغلاق القاطعة والتيار المار في المكثف هو تيار الانزياح. وإذا استبدلنا البطارية بمغذي تيار متناوب فإن التيار المتناوب يمر بشكل متواصل في الدائرة بسبب شحن وتفريغ المكثف باستمرار وانطلاقاً من معادلة الاستمرار ( 29 ) يمكن البرهان على أن :

$$\text{div}(\vec{j}_c + \frac{\partial \vec{D}}{\partial t}) = 0 \quad (1-37)$$

وهي معادلة الاستمرار في النظام اللامستقر ( التيار المتناوب ) وهذه المعادلة تدل على أن خطوط كثافة التيار الكلي  $\vec{j}_{tot}$  تكون مغلقة وكان التيار المتناوب ( التيار الكلي ) عمل على اغلاق الدائرة التي كانت مفتوحة بوجود مكثف بواسطة تيار الانزياح المار في المكثف . وهذا مادفع ماكسويل الى الاعتقاد بأن كل التيارات الكهربائية في الطبيعة مغلقة .

### 7 - 1 - متى يكون الوسط ناقلاً ومتى يكون عازلاً ؟

تحدد طويلة نسبة كثافة تيار الانزياح الى كثافة تيار الناقلية طبيعة الوسط من حيث كونه ناقلاً أم عازلاً. فإذا انتشرت موجة كهربية في وسط ما معادلة الحقل الكهربائي لها من الشكل:

$$\vec{E} = \vec{E}_0 e^{i\omega t}$$

فإن نسبة طويلة تيار الانزياح الى تيار الناقلية تساوي :

$$\left| \frac{\frac{\partial \vec{D}}{\partial t}}{\vec{j}} \right| = \frac{\omega \epsilon}{\sigma} \quad (1-38)$$

حيث  $\sigma$  هي ناقلية الوسط ،  $\epsilon$  سماحية الوسط.

تدعى النسبة السابقة أحياناً بعامل جودة الوسط وليس لها واحدة .  
عندما تكون هذه النسبة أكبر بكثير من الواحد:  $1 \gg \frac{\omega \epsilon}{\sigma}$  فإن  
تيار الانزياح يكون الغالب وهو أكبر بكثير من تيار الناقلية والوسط  
يكون عازلاً .

وعندما تكون:  $1 \ll \frac{\omega \epsilon}{\sigma}$  فإن تيار الناقلية هو الغالب ويكون  
أكبر بكثير من تيار الانزياح والوسط يكون عندئذ ناقلاً. تتعلق  
النسبة  $\frac{\omega \epsilon}{\sigma}$  بتردد الموجة الكهرومغناطيسية، فإذا كانت المادة ناقلاً  
عند تردد معين فقد تكون عازلة عند تردد آخر.

فمثلاً: النحاس، ناقلية  $\sigma = 5.8 \times 10^7 (\Omega \cdot m)^{-1}$  وسماحية الوسط  
 $\epsilon_0 \approx 9 \times 10^{-9} F/m$  فإن  $\epsilon \approx \epsilon_0$  فان  $\frac{\omega \epsilon}{\sigma} \approx 10^{-18}$  حيث  $\nu$  هو تردد  
الموجة الكهرومغناطيسية .

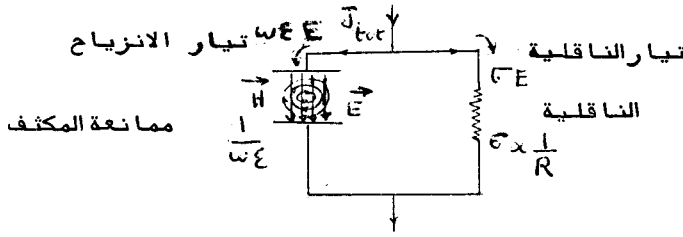
من أجل الترددات حتى القيمة  $10^{16} Hz$  ( تردد الأشعة فوق  
البنفسجية ) حيث تكون النسبة:  $\frac{\sigma}{\omega \epsilon} \gg 10^2$  يبقى النحاس ناقلاً  
ولكن عند الترددات من مرتبة  $10^{20} Hz$  ( تردد الأشعة السينية ) فإن  
النسبة  $\frac{\omega \epsilon}{\sigma} \approx 10^2$  أي أن تيار الانزياح أكبر بمئة مرة من تيار  
الناقلية والنحاس يكون عندئذ عازلاً . وهنا يفسر سبب توغل الأشعة  
السينية لمسافات تبلغ عدة أطوال موجية في النحاس .

في العوازل المثالية حيث الناقلية  $\sigma$  تساوي :

$$\epsilon \approx 10^{-11} F/m \quad \text{و} \quad \sigma \approx 10^{-15} (\Omega \cdot m)^{-1}$$

فان النسبة:  $\frac{\omega \epsilon}{\sigma} \approx 10^4$  وتيار الناقلية يهمل أمام تيار  
الانزياح مهما يكن تردد الموجة الكهرومغناطيسية . وبين قيم النسبة  
 $\frac{\omega \epsilon}{\sigma}$  للنواقل والعوازل يوجد مجال لاشباه النواقل. حيث يقع

بعض أنصاف النواقل ضمن هذا المجال .  
ويمكن فهم استجابة الوسط لموجة كهروميسية من خلال تمثيله  
بالدارة التالية ، شكل ( 16 - 1 ) .



شكل ( 16 - 1 )

ينقسم التيار الكلي الى فرعين : الاول يمر بمكثف ممانعته  $\frac{1}{\omega\epsilon}$  والثاني يمر بمقاومة ناقليتها  $\sigma$  . فاذا كانت  $\sigma$  كبيرة فان المقاومة صغيرة وبالتالي فان معظم التيار يجري عبر فرع المقاومة ويكون هذا التيار هو تيار الناقلية والوسط ناقل . اما اذا كانت ممانعة المكثف  $\frac{1}{\omega\epsilon}$  صغيرة جدا فان معظم التيار يمر عبرها وهذا التيار هو تيار الانزياح والوسط يكون عندئذ عازل .

### 8 - 1 - معادلات ماكسويل العامة :

تدعى المعادلات الاربعة التالية التي تصف الحقل الكهروميسية

في الفراغ بمعادلات ماكسويل العامة وهي :

الشكل التفاضلي

$$\vec{\nabla} \wedge \vec{E} = - \frac{\partial \vec{B}}{\partial t} \quad \text{قانون فاراداي} \quad (1)$$

$$\vec{\nabla} \cdot \vec{B} = 0 \quad \text{قانون غوص في المغناطيسية} \quad (2)$$

$$\vec{\nabla} \wedge \vec{H} = \vec{j}_c + \frac{\partial \vec{D}}{\partial t} \quad (3)$$

$$\vec{\nabla} \cdot \vec{E} = \frac{\rho}{\epsilon_0} \quad (4)$$

الشكل التكاملية :

$$\oint_C \vec{E} \cdot d\vec{\ell} = - \frac{\partial}{\partial t} \int_S \vec{B} \cdot d\vec{s}$$

$$\oint_S \vec{B} \cdot d\vec{s} = 0$$

(1-39)

$$\oint_C \vec{H} \cdot d\vec{\ell} = \int_S (\vec{j}_c + \frac{\partial \vec{D}}{\partial t}) \cdot d\vec{s}$$

$$\oint_S \vec{E} \cdot d\vec{s} = \frac{1}{\epsilon_0} \int_V \rho dv$$

فاذا علم توزع الشحنات  $\rho(r, t)$  وكثافة التيار  $\vec{j}_c(\vec{r}, t)$  فإنه يمكن تحديد الحقل الكهربائي  $\vec{E}(\vec{r}, t)$  وحقل التمريض المغناطيسي  $\vec{B}(\vec{r}, t)$ . تحوي المعادلات السابقة على ثمانية معادلات سلمية تكون ستة منها مستقلة عن بعضها . تعتبر المعادلتين ( 2 ) و ( 4 ) غير مستقلتين لانه لو أخذنا تفرق المعادلة ( 1 ) لحصلنا على المعادلة ( 2 ) ولو أخذنا تفرق المعادلة ( 3 ) لحصلنا على المعادلة ( 4 ) بعد الاخذ بعين الاعتبار معادلة الاستمرار. وعليه فإن المعادلتين ( 1 ) و ( 3 ) مستقلتين عن بعضهما تماما .

يضاف عادة الى معادلات مكسويل علاقات الارتباط:

$$\vec{D} = \epsilon_0 \vec{E} \quad , \quad \vec{B} = \mu_0 \vec{H}$$

$$\text{div } \vec{j} + \frac{\partial \rho}{\partial t} = 0 \quad \text{و} \quad \vec{j} = \sigma \vec{E}$$

وعند جمع قوة لورنتس :  $\vec{F} = q(\vec{E} + \vec{u} \wedge \vec{B})$  وقانون نيوتن

الثاني في التحريك فان جملة هذه المعادلات بأكملها تصف سلوك الحقل الكهرطيسية بدقة كما تصف ديناميكية التأثير المتبادل للشحنات ( الجسيمات المشحونة ) بشكل كلاسيكي . تطبق معادلات ماكسويل السابقة في الفراغ المتجانس والمتمائل المناحي حيث تكون الثوابت الفيزيائية  $\epsilon_0, \sigma, \mu_0$  مستقلة عن الزمن وعن قيم  $\vec{H}$  و  $\vec{D}$  و  $\vec{E}$  و  $\vec{B}$  كما يفترض أن يكون الفراغ خال من المغناط أو من الاجسام المغناطيسية الحديدية .

### 9-1 - كمونا الحقل الكهرطيسي في الفراغ :

بما أن تفرق الحقل  $\vec{B}$  معدوم دوما فانه يمكننا أن نعرف  $\vec{B}$  بدلالة دوار متجهة أخرى  $\vec{A}(\vec{r}, t)$  تابعة للاحداثيات والزمن على الشكل :

$$\vec{B} = \overrightarrow{\text{rot}} \vec{A} \quad (1-40)$$

تدعى المتجهة  $\vec{A}$  بالكمون المتجه أو متجهة الكمون . وادخال هذه المتجهة لايفير من معادلة ماكسويل الثانية لان :

$$\text{div} \vec{B} = \text{div} \overrightarrow{\text{rot}} \vec{A} = 0$$

واذا عوضنا قيمة  $\vec{B}$  من العلاقة ( 40 ) في المعادلة ( 1 ) من معادلات ماكسويل لملطنا على :

$$\vec{\nabla} \wedge \vec{E} = - \frac{\partial}{\partial t} (\vec{\nabla} \wedge \vec{A})$$

ومنه فان:

$$\vec{\nabla} \wedge \left( \vec{E} + \frac{\partial}{\partial t} \vec{A} \right) = 0$$

وهذا يعني إن المقدار  $\vec{E} + \frac{\partial}{\partial t} \vec{A}$  مشتق من كمون سلمي أي أن:

$$\vec{E} + \frac{\partial \vec{A}}{\partial t} = -\overrightarrow{\text{grad}} \phi \quad (1-41)$$

حيث  $\phi$  هو تابع سلمي للاحداثي والزمن ويدعى بالكمون السلمي .  
 تدل العلاقة ( 41 ) على أن الحقل الكهربائي في النظام  
 الالمستقر يساوي مجموع كمونين سلمي ومتجه :

$$\vec{E} = -\text{grad } \phi - \frac{\partial \vec{A}}{\partial t} \quad (1-42)$$

أو:

$$\vec{E} = -\vec{\nabla} \phi - \frac{\partial \vec{A}}{\partial t}$$

في حين أن الحقل الكهراكمي يكون مشتقا من كمون سلمي فقط. وفي  
 النظام المسقر حيث تكون  $\vec{A}$  ثابتة مع الزمن فإن  $\frac{\partial \vec{A}}{\partial t} = 0$  والحقل  
 الكهربائي يشتق من كمون سلمي أيضا .

لتعيين الكمون السلمي  $\phi$  والمتجهي  $\vec{A}$  نعوض قيمة  $\vec{E}$

من العلاقة ( 42 ) في المعادلات ( 3 ) و ( 4 ) من المعادلات ( 39 )

على الترتيب فنجد:

$$\begin{aligned} \vec{\nabla} \wedge \vec{\nabla} \wedge \vec{A} &= \mu_0 \vec{J} - \epsilon_0 \mu_0 \frac{\partial}{\partial t} (\vec{\nabla} \cdot \phi + \frac{\partial \vec{A}}{\partial t}) \\ &= \mu_0 \vec{J} - \epsilon_0 \mu_0 (\vec{\nabla} \cdot \frac{\partial \phi}{\partial t} + \frac{\partial^2 \vec{A}}{\partial t^2}) \end{aligned}$$

وبالاستفادة من المطابقة :

$$\vec{\nabla} \wedge \vec{\nabla} \wedge \vec{A} \equiv \vec{\nabla} (\vec{\nabla} \cdot \vec{A}) - \nabla^2 \vec{A}$$

فان المعادلة الاخيرة تساوي :

$$\nabla^2 \vec{A} - \epsilon_0 \mu_0 \frac{\partial^2 \vec{A}}{\partial t^2} = -\mu_0 \vec{J} + \vec{\nabla} (\vec{\nabla} \cdot \vec{A} + \epsilon_0 \mu_0 \frac{\partial \phi}{\partial t}) \quad (1-43)$$

وبالنسبة لمعادلة الكمون السلمي نجد أن :

$$\vec{\nabla} \cdot (\vec{\nabla} \cdot \phi - \frac{\partial \vec{A}}{\partial t}) = \frac{\rho}{\epsilon_0}$$

$$-\nabla^2 \phi - \frac{\partial}{\partial t} (\vec{\nabla} \cdot \vec{A}) = \frac{\rho}{\epsilon_0}$$

أو تكتب على الشكل :

$$\nabla^2 \varphi + \frac{\partial}{\partial t} (\vec{\nabla} \cdot \vec{A}) = - \frac{\rho}{\epsilon_0} \quad (1-44)$$

وهكذا بادخال الكمونات الكهرطيسية فان معادلات ماكسويل الاربعة قد خفضت الى المعادلتين ( 43 ) و ( 44 ) . ان هاتين المعادلتين مرتبطتين ولذلك يجب ادخال بعض الشروط بحيث تصبح مستقلتان عن بعضهما ودون أن تتغيرا وعندئذ يمكن ايجاد الكمونين  $\varphi$  و  $\vec{A}$  . بما أننا عرفنا  $\vec{B}$  في العلاقة ( 40 ) انطلاقا من تابع كمون متجه اختياري  $\vec{A}$  فانه يمكن اقتراح صيغة اخرى لـ  $\vec{A}$  أعم بحيث يكتب بدلالة تدرج تابع اختياري  $f(r, t)$  ودون أن تتغير قيمة  $\vec{B}$  وهذه الصيغة هي :

$$\vec{A}' = \vec{A} + \vec{\nabla} f \quad (1-45)$$

ويمكن التحقق أن الكمون المعدل  $\vec{A}'$  يصف نفس الحقل  $\vec{B}$  وذلك بأخذ دوار العلاقة ( 45 ) فنجد :

$$\overrightarrow{\text{rot}} \vec{A}' = \overrightarrow{\text{rot}} \vec{A} + \overrightarrow{\text{rot}} \vec{\nabla} f = \overrightarrow{\text{rot}} \vec{A} + 0 = \vec{B}$$

والحقل  $\vec{B}$  اذن لا يتغير عند التعبير عنه بدلالة الكمون  $\vec{A}'$  . وحتى لا يتغير الحقل الكهربائي  $\vec{E}$  المعطى بالعلاقة ( 45 ) . يجب ادخال صيغة جديدة للكمون السلمي  $\varphi$  من الشكل :

$$\varphi' = \varphi - \frac{\partial f}{\partial t} \quad (1-46)$$

يدعى كل من  $\varphi'$  و  $\vec{A}'$  بالكمونين المعياريين السلمي والمتجهي . ان حرية اختيار الكمونين  $\varphi'$  و  $\vec{A}'$  يعني أننا نستطيع اختيار مجموعة من الكمونات  $(\vec{A}', \varphi')$  بحيث أن :

$$\vec{\nabla} \cdot \vec{A}' + \epsilon_0 \mu_0 \frac{\partial \varphi'}{\partial t} = 0 \quad (1-47)$$

والذي يسمى بشرط لورنتس وهو شرط تخضع له الكمونات ويحدد تفرق

المتجهة  $\vec{A}$  . بادخال شرط لورنتس بعين الاعتبار فان معادلات

الكمونين المتجه ( 43 ) والسلمي ( 44 ) تؤول الى الشكل التالي:

$$\nabla^2 \vec{A} - \epsilon_0 \mu_0 \frac{\partial^2 \vec{A}}{\partial t^2} = -\mu_0 \vec{j} \quad (1-48)$$

$$\nabla^2 \phi - \epsilon_0 \mu_0 \frac{\partial^2 \phi}{\partial t^2} = -\frac{\rho}{\epsilon_0} \quad (1-49)$$

ان المعادلات ( 47 ) و( 48 ) و( 49 ) تشكل مجموعة معادلات تكافئ:

معادلات ماكسويل من كل الوجة . تتيح المعادلات ( 48 - 49 ) بتعيين

كل من  $\vec{A}$  و  $\phi$  وذلك اذا علم كل من توزيع الشحنات  $\rho(\vec{r}, t)$  وكثافة

التيار  $\vec{j}(\vec{r}, t)$  . وكما نلاحظ أنه بادخال الكمونين  $\vec{A}$  و  $\phi$  فان

تعيين مركبات الحقلين  $\vec{E}$  و  $\vec{B}$  الستة يتم بداء من أربع معادلات

سلمية . واحدة لـ  $\phi$  وثلاث لـ  $\vec{A}$  . واذا ادخلنا مؤثر دالامبير:

$$\square^2 = \nabla^2 - \frac{1}{c^2} \frac{\partial^2}{\partial t^2} \quad (1-50)$$

فان المعادلتان ( 53 ) و( 54 ) تأخذ الشكل :

$$\left. \begin{aligned} (\square^2 \vec{A} + \mu_0 \vec{j} &= 0 \\ (\square^2 \phi + \frac{\rho}{\epsilon_0} &= 0 \end{aligned} \right\} \quad (1-51)$$

وتدعى هاتين المعادلتين بمعادلتى دالامبير . وتدلان على أن الكمونين

السلمي  $\phi$  والشعاعي  $\vec{A}$  يوصفان بمعادلات موجة تنتشر بسرعة الضوء .

وعندما تكون المنابع ساكنة فان الحدود المتغيرة مع الزمن تنعدم

وتتحول المعادلات ( 51 ) الى معادلة بواسون للكمون السلمي والمتجه

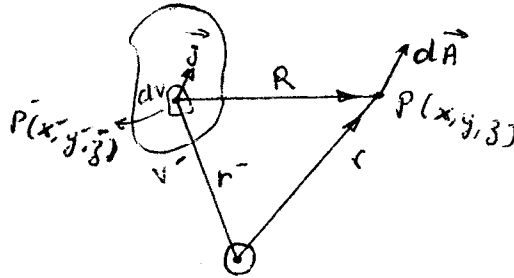
ان حل المعادلات ( 51 ) يكون من الشكل :

$$\left. \begin{aligned} \vec{A}(\vec{r}, t) &= \frac{\mu_0}{4\pi} \int_{V'} \frac{\vec{j}(\vec{r}', t - R/c)}{R} dv' \\ \phi(\vec{r}, t) &= \frac{1}{4\pi\epsilon_0} \int_{V'} \frac{\rho(\vec{r}', t - R/c)}{R} dv' \end{aligned} \right\} \quad (1-52)$$

وتدعى هذه الكمونات بالكمونات المتأخرة . راجع الملحق (ع) .



يمكن أن نوجز فكرة الكمونين المتأخرين على الشكل التالي:  
 بفرض وجود توزع للشحنات والتيارات ضمن حجم ما صغير  
 كما هو مبين في الشكل (17 - 1). ان الكمونين  $\vec{A}$  و  $\phi$  الملاحظان  
 في النقطة  $p$  التي تبعد مسافة  $R$  عن حجم المنطقة الفاعلة وفي  
 اللحظة  $t$  قد حدثا بفعل الشحنات والتيارات في  $dV$  في اللحظة



شكل (1-17)

لان الكمون الذي ينتشر بسرعة  $c$  في اللحظة  
 $t' = t - R/c$  فانه يصل  $p$  في اللحظة  $t$  أي متأخرا عن  $t'$  بالمقدار  
 $\frac{R}{c}$ . وكمثال مشابه لهذه الظاهرة هي أن رؤيتنا لنجم ما لاتمثل  
 حالته في الوقت الحاضر وانما تمثل حالته بعد مضي الآلاف أو ملايين  
 السنين بحسب بعده عنا .

### 10 - 1 - شرط لورنتس:

ذكرنا سابقا أن اختيار صيغة جديدة للكمون السلمي  $\phi$

وللكمون الشعاعي  $\vec{A}$  من الشكل :

$$\left\{ \begin{array}{l} \phi' = \phi - \frac{\partial f(x, y, z, t)}{\partial t} \\ \vec{A}' = \vec{A} + \vec{\nabla} f(x, y, z, t) \end{array} \right.$$

التحويلات المعيارية

لايغير من قيمة الحقل الكهربائي  $\vec{E}$  المعطى بالعلاقة :

$$\vec{E} = -\vec{\nabla}\phi - \frac{\partial \vec{A}}{\partial t}$$

ولامن قيمة الحقل  $\vec{B}$ . لنتحقق من العلاقة التي تعطي  $\vec{E}$  :

$$\begin{aligned} \vec{E} &= -\vec{\nabla}(\phi' + \frac{\partial f}{\partial t}) - \frac{\partial}{\partial t}(\vec{A}' - \vec{\nabla}f) \\ &= -\vec{\nabla}\phi' - \frac{\partial}{\partial t}\vec{\nabla}f - \frac{\partial \vec{A}'}{\partial t} + \frac{\partial}{\partial t}\vec{\nabla}f = -\vec{\nabla}\phi' - \frac{\partial \vec{A}'}{\partial t} \end{aligned}$$

وهكذا فان الحقل  $\vec{E}$  لايتغير وتكون الكمونات  $\phi$  و  $\vec{A}$  قد تعينت بدقة التحويلات المعيارية .

لنبرهن الآن على صحة شرط لورنتس :

$$\vec{\nabla} \cdot \vec{A} + \epsilon_0 \mu_0 \frac{\partial \phi}{\partial t} = 0$$

لكي نرى أن الكمونات  $\phi$  و  $\vec{A}$  يمكن ايجادها دوما بحيث تحقق شرط لورنتس، نفرض في البداية أن  $\vec{A}$  و  $\phi$  اللذين يحققان المعادلتين (43) و (44) لايمققان شرط لورنتس فنكتب :

$$\begin{aligned} \vec{\nabla} \cdot \vec{A} + \epsilon_0 \mu_0 \frac{\partial \phi}{\partial t} &= \vec{\nabla} \cdot (\vec{A}' - \vec{\nabla}f) + \epsilon_0 \mu_0 \frac{\partial}{\partial t} (\phi' + \frac{\partial f}{\partial t}) \\ &= \vec{\nabla} \cdot \vec{A}' + \epsilon_0 \mu_0 \frac{\partial \phi'}{\partial t} - (\nabla^2 f - \epsilon_0 \mu_0 \frac{\partial^2 f}{\partial t^2}) \end{aligned} \quad (1-53)$$

وبما أن  $f$  هو تابع كفي فيمكن اختياره بحيث أن :

$$\nabla^2 f - \epsilon_0 \mu_0 \frac{\partial^2 \phi}{\partial t^2} = (\vec{\nabla} \cdot \vec{A}' + \epsilon_0 \mu_0 \frac{\partial \phi'}{\partial t}) \quad (1-54)$$

وبالتالي فان :  $\vec{\nabla} \cdot \vec{A} + \epsilon_0 \mu_0 \frac{\partial \phi}{\partial t} = 0$  أي أن الكمونين  $\vec{A}$  و  $\phi$  يحققان شرط لورنتس . واذا حقق  $\vec{A}$  و  $\phi$  شرط لورنتس فان الكمونيين المعياريين  $\vec{A}'$  و  $\phi'$  يحققانه أيضا ويحققان المعادلتين (48) و (49) .

## 11-1 - الشروط الحدية:

تحدد معادلات ماكسويل التفاضلية كما ذكرنا العلاقة بين متجهات الحقول  $\vec{E}$ ,  $\vec{D}$ ,  $\vec{H}$ , و  $\vec{B}$  في أي نقطة من الفراغ ولكنها لاتعلمنا عن هذه العلاقة فيما لو اصطدمت الموجات الكهرومغناطيسية بسطح فاصل بين وسطين مختلفين أي فيما لو وجد انقطاع في الوسط، ومادامت الصيغ التفاضلية لاتفي بالغرض فان الصيغ التكاملية لهذه المعادلات يمكنها تحديد ما يحدث على السطح الفاصل بين وسطين مختلفين — ب  $\sigma$ ،  $\mu$  و  $\epsilon$ . يقصد بالشروط الحدية: دراسة تغيرات الحقول الكهرومغناطيسية قرب الحدود الفاصلة بين الاوساط. تسمح العلاقتان (2) و (4) بدراسة الشرط الحدي للمركبة الناظمية لحقل التحريض المغناطيسي  $\vec{B}$  ولحقل التحريض الكهربائي  $\vec{D}$  كما أن العلاقتان (1) و (3) نتيج لنا دراسة الشرط الحدي أي دراسة انقطاع المركبات المماسية لحقلين  $\vec{E}$  و  $\vec{H}$  على الحد الفاصل بين وسطين مختلفين.

### 11-1-1 - دراسة الشرط الحدي للمركبة الناظمية لحقل التحريض المغناطيسي $\vec{B}$ :

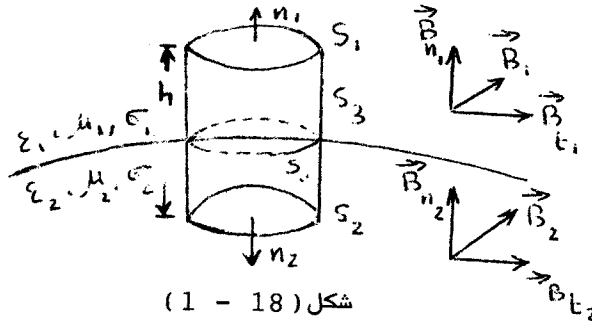
لدراسة الشرط الحدي للمركبة الناظمية للحقل  $\vec{B}$  على السطح الفاصل بين وسطين يتميزان بالمقادير  $\epsilon_1$ ,  $\sigma_1$ ,  $\mu_1$  و  $\epsilon_2$ ,  $\sigma_2$ ,  $\mu_2$ ، ننشئ غشاء اسطواني رقيق على الحد الفاصل كما في الشكل (18 - 1)، ونعتبر أن الحقول الكهرومغناطيسية تبقى مستمرة داخل هذا الغشاء وتعاني بنفس الوقت من تغير فجائي أو تغير سريع. نرمز ب  $S_1$  للسطح العلوي للغشاء الاسطواني في الوسط الاول،  $S_2$  لسطح القاعدة السفلي للغشاء في الوسط الثاني،  $S_3$  للسطح الجانبي للغشاء و  $S_0$  لسطح مقطع الغشاء على الحد الفاصل. بتطبيق معادلة

ماكسويل الثانية نجد :

$$\oint_S \vec{B} \cdot d\vec{s} = \int_{S_1} \vec{B} \cdot \vec{n}_1 \cdot ds + \int_{S_2} \vec{B} \cdot \vec{n}_2 \cdot ds + \int_{S_3} \vec{B} \cdot \vec{n}_3 \cdot ds = 0 \quad (1-55)$$

نختار الاتجاه الموجب للناظم على السطح الفاصل بحيث يكون موجهاً من الوسط الثاني الى الوسط الاول ولذلك فان  $\vec{n}_1$  يكون في الاتجاه

الموجب و  $\vec{n}_2$  يكون في الاتجاه السالب .



شكل (1 - 18)

والعلاقة (55) تساوي :

$$\oint_S \vec{B} \cdot d\vec{s} = B_{n_1} \cdot s_1 - B_{n_2} \cdot s_2 + \vec{B} \cdot s_3 = 0$$

حيث  $\vec{B}$  هي القيمة الوسطية لحقل التمريض المغناطيسي على السطح الجانبي . للحمول على الشرط الحدي نجعل  $h \rightarrow 0$  فان

$$s_1 = s_2 \rightarrow s_0 \text{ و } s_3 \rightarrow 0 \text{ ومنه:}$$

$$(B_{n_1} - B_{n_2}) s_0 = 0 \text{ وبما أن } s \neq 0 \text{ فان:}$$

$$B_{n_1} = B_{n_2} \quad (1-56)$$

وهذه العلاقة تدل على أن المركبة الناعمية لحقل التمريض المغناطيسي تكون مستمرة على السطح الفاصل بين الوسطين المختلفين .

$$\text{ولكن } B_2 = \mu_2 H_{n_2} \text{ و } B_{n_1} = \mu_1 H_{n_1} \text{ ومنه فان:}$$

$$\mu_1 \cdot H_{n_1} = \mu_2 \cdot H_{n_2}$$

$$\frac{H_{n_1}}{H_{n_2}} = \frac{\mu_2}{\mu_1} \quad \text{أو:} \quad (1-57)$$

أي أن المركبة الناظمية للحقل المغناطيسي H على السطح الفاصل تعاني انقطاعا مقداره  $\frac{\mu_2}{\mu_1}$ .

2 - 11 - 1 دراسة الشرط الحدي للمركبة الناظمية لحقل التحريض الكهربائي  $\vec{D}$

نستخدم في هذه الحالة المعادلة ( 4 ) من معادلات ماكسويل

لدراسة الشرط الحدي للمركبة الناظمية لـ  $\vec{D}$  :

$$\oint_S \vec{D} \cdot d\vec{s} = \int_V \rho dv = q$$

نقوم باتباع خطوات مماثلة للخطوات في الفترة السابقة فنحصل على :

$$\oint_S \vec{D} \cdot d\vec{s} = \int_{s_1} \vec{D} \cdot \vec{n}_1 ds + \int_{s_2} \vec{D} \cdot \vec{n}_2 ds + \int_{s_3} \vec{D} \cdot \vec{n}_3 ds = q \quad (1-58)$$

$$= D_{n_1} \cdot s_1 - D_{n_2} \cdot s_2 + \vec{D} \cdot s_3 = q \quad (1-59)$$

حيث q هي الشحنة الكلية الموزعة بكثافة حجمية في الغشاء المفروض .

$\vec{D}$  هي القيمة الوسطية لحقل التحريض الكهربائي على السطح الجانبي :

عندما  $h \rightarrow 0$  فان  $s_1 = s_2 \rightarrow s_0$  و  $s_3 \rightarrow 0$  والعلاقة (59)

تصبح على الشكل التالي :

$$(D_{n_1} - D_{n_2}) s_0 = q$$

ومنه فان :

$$D_{n_1} - D_{n_2} = \frac{q}{s_0} = \sigma_s \quad (1-60)$$

حيث  $\sigma_s$  هي الكثافة السطحية للشحنات على السطح الفاصل .

وهكذا نجد أن المركبة الناظمية لحقل التحريض الكهربائي منقطعة على

السطح الفاصل بين الوسطين عندما تتواجد عليه شحنات بكثافة سطحية

$\sigma_s$

وبتعويض قيمة  $D_{n_1} = \epsilon_1 E_{n_1}$  و  $D_{n_2} = \epsilon_2 E_{n_2}$  في العلاقة

( 60 ) نجد :

$$\epsilon_1 E_{n_1} - \epsilon_2 E_{n_2} = \sigma_s \quad (1-61)$$

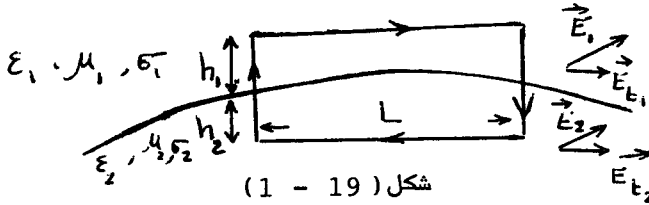
أي أن المركبة الناعمية للحقل الكهربائي تكون منقطعة .

### 3-11-1 - دراسة الشرط الحدي للمركبة المماسية للحقل الكهربائي $\vec{E}$ :

ننشئ غشاءً مستطيل على السطح الفاصل بين الوستين، طوله

$L$  وعرضه  $h_1$  في الوسط الأول و  $h_2$  في الوسط الثاني ونأخذ الاتجاه

الموجب للجولان كما هو موضح في الشكل (1-19) :



شكل ( 1 - 19 )

ولايجاد الشرط الحدي للمركبة المماسية للحقل  $\vec{E}$  نستخدم معادلتنا

ماكسويل الأولى :

$$\oint_C \vec{E} \cdot d\vec{l} = - \frac{\partial}{\partial t} \int_S \vec{B} \cdot d\vec{s} \quad (1-62)$$

$$\oint_C \vec{E} \cdot d\vec{l} = L E_{t1} - L E_{t2} + h_1 E_{n1} + h_2 E_{n2} - h_1 E'_{n1} - h_2 E'_{n2} = - \frac{\partial \bar{B}}{\partial t} L (h_1 + h_2)$$

حيث  $\vec{B}$  هو التدفق المغناطيسي الوسطي عبر سطح المستطيل  $Lh_1 + Lh_2$  عندما  $h_1$  و  $h_2 \rightarrow 0$  فان الحدود الأربعة الأخيرة ومساحة المستطيل تتناهي نحو الصفر ومنه :

$$L(E_{t1} - E_{t2}) = 0$$

وباعتبار أن  $L \neq 0$  فان :

$$E_{t1} = E_{t2} \quad (1-63)$$

وهكذا فان المركبة المماسية للحقل الكهربائي  $\vec{E}$  تكون مستمرة عبر السطح الفاصل . واذا عبرنا عن  $E_t$  بدلالة كثافة التيار  $j_t$  :  $j_t = \sigma E_t$  نجد أن :

$$\text{أو: } \frac{j_{t_1}}{\sigma_1} = \frac{j_{t_2}}{\sigma_2} \quad \frac{j_{t_1}}{j_{t_2}} = \frac{\sigma_1}{\sigma_2} \quad (1-64)$$

هذه العلاقة تبدل على أن المركبة المماسية لكثافة التيار تعاني انقطاعا على السطح الفاصل مقداره  $\frac{\sigma_1}{\sigma_2}$  .

#### 4-11-1 - دراسة الشرط الحدي للمركبة المماسية للحقل المغناطيسي $\vec{H}$ :

نحصل على الشرط الحدي للمركبة المماسية للحقل المغناطيسي

$$\vec{H} \quad \text{وذلك باستخدام معادلة ماكسويل التالية :}$$

$$\oint \vec{H} \cdot d\vec{\ell} = \int_s (\vec{j}_c + \frac{\partial \vec{D}}{\partial t}) \cdot d\vec{s}$$

ننشئ غشاءً مستطيلاً على السطح الفاصل كما في الشكل السابق ( 1-21 ) . والمعادلة السابقة نكتبها على الشكل :

$$\begin{aligned} \oint \vec{H} \cdot d\vec{\ell} &= L H_{t_1} - L H_{t_2} + h_1 H_{n_1} + h_2 H_{n_2} - h_1 H'_{n_1} - h_2 H'_{n_2} = \\ &= \left( -\frac{\partial D_n}{\partial t} + j_n \right) L (h_1 + h_2) \end{aligned} \quad (1-65)$$

عندما  $h_1, h_2 \rightarrow 0$  فان الحدود الاربعة الاخيرة من الطرف الايسر تنهاى نحو الصفر . واذا كانت سرعة تغير حقل الانزياح الكهربائي محدودة وكذلك كثافة التيار  $j_n$  فان الطرف الايسر يتناهى

$$L (H_{t_1} - H_{t_2}) = 0 \quad \text{أيضاً نحو الصفر ومنه :}$$

وبما أن  $L \neq 0$  فان :

$$H_{t_1} = H_{t_2} \quad (1-66)$$

والمركبة المماسية للحقل المغناطيسي تكون مستمرة على السطح الفاصل .

واذا استبدلنا  $H_{t_1} \rightarrow B_{t_1}$  و  $H_{t_2} \rightarrow B_{t_2}$  فان العلاقة ( 66 ) تأخذ

الشكل التالي :

$$\frac{B_{t_1}}{\mu_1} = \frac{B_{t_2}}{\mu_2}$$

منه :

$$\frac{B_{t_1}}{B_{t_2}} = \frac{\mu_1}{\mu_2} \quad (1-67)$$

لمركبة المماسية لحقل التمريض المغناطيسي تكون منقطعة على السطح

فاصل بالكمية  $\frac{\mu_1}{\mu_2}$ . وفي الحقيقة فان العلاقة ( 66 ) تكون صحيحة

ذا كانت الناقلية محدودة أي أن كثافة التيار السطحي تكون معدومة

ما اذا كانت الناقلية لانهاية كما في المواد الفائقة الناقلية

فان  $j_n \neq 0$  و  $j_n A/m$   $\lim_{(h_1+h_2) \rightarrow 0} j_n (h_1 + h_2) = j_{sn}$  و  $D_n \cdot (h_1 + h_2) = 0$

وبالتالي فان العلاقة ( 66 ) تساوي :  $L(H_{t_1} - H_{t_2}) = j_{sn} \cdot L$  ومنه

فان :

$$H_{t_1} - H_{t_2} = j_{sn} \quad (1-68)$$

حيث  $j_{sn}$  هي مركبة كثافة التيار السطحي العمودية على اتجاه مركبة

الحقل  $\vec{H}$  الملاممة . ان فكرة كثافة التيار السطحي تشابه تقريبا

مفهوم كثافة الشحنة السطحية حيث تمثل تيارا محدودا يجري في طبقة

لامتناهية من الصغر على السطح.

في المواد الفائقة الناقلية يكون الحقل الكهربائي  $\vec{E}$

معدوما من أجل أي قيمة معينة لكثافة التيار بسبب كون الناقلية

$\infty = \sigma$ . ان عمق ولوج الحقل الكهربائي المتناوب في هذه النواقل

والتيار الناجم عنه يتناقص بازدياد الناقلية  $\sigma$  فاذا كان تردد

التيار المار في هذه المواد عال فان التيار يجري ضمن طبقة رقيقة



قرب سطح وسماكة هذه الطبقة تقترب من الصفر عندما تقترب الناقلية من اللانهاية .

وإذا كانت ناقلية الوسط الثاني هي لانهاية فان الحقل  $\vec{E}_2$  ينعدم وبالتالي فان الحقل المغناطيسي  $\vec{H}_2$  ينعدم أيضا كما يظهر من معادلة ماكسويل الاولى ولذلك فان الشرط الحدي للمركبة المماسية لـ  $\vec{H}$  ( العلاقة ( 68 ) ) يصبح على الشكل التالي :

$$H_{t1} = j_{sn} \quad (1-69)$$

تدل العلاقة ( 69 ) على أن التيار في واحدة العرض على سطح مادة فائقة الناقلية يساوي الى الحقل المغناطيسي H الخارجي . ان الحقل المغناطيسي والتيار السطحي يكونان موازيين للسطح ولكنهما متعامدان ويعبر عن ذلك بشكل متجهي بالعلاقة :

$$\vec{J}_s = \vec{n} \wedge \vec{H} \quad (1-70)$$

حيث  $\vec{n}$  هي متجهة الواحدة على الناظم الموجه الى خارج السطح .

ويمكن تلخيص الشروط الحدية بالجدول التالي :

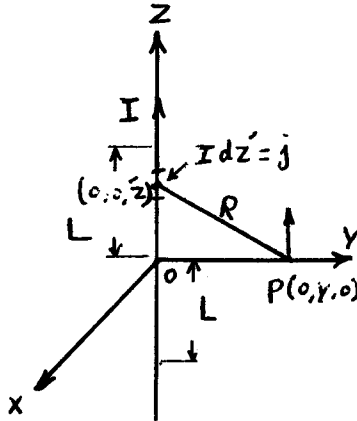
| الناقلية ( $\sigma$ )                             | $E_t$             | $D_n$                                            | $H_t$             | $B_n$             |
|---------------------------------------------------|-------------------|--------------------------------------------------|-------------------|-------------------|
| $\sigma_1 = \sigma_2 = 0$                         | $E_{t1} = E_{t2}$ | $D_{n1} = D_{n2}$                                | $H_{t1} = H_{t2}$ | $B_{n1} = B_{n2}$ |
| $\sigma = \infty$                                 | $E_{t2} = 0$      | $D_{n2} = 0$                                     | $H_{t2} = 0$      | $B_{n2} = 0$      |
|                                                   | $E_{t1} = 0$      | $D_{n1} = \sigma_s$<br>( كثافة الشحنات السطحية ) | $H_{t1} = j_{sn}$ | $B_{n1} = 0$      |
| $\sigma_1, \sigma_2 \neq \infty$<br>أية قيمة كانت | $E_{t1} = E_{t2}$ | $D_{n1} - D_{n2} = \sigma_s$                     | $H_{t1} = H_{t2}$ | $B_{n1} = B_{n2}$ |

## تمارين محلولة

ليكن سلك مستقيم طوله لانهائي يمر فيه تيار ثابت الشدة  $I$  . كما في الشكل التالي ، أوجد حقل التمريض المغناطيسي  $\vec{B}$  المتولد عن السلك في نقطة  $p$  انطلاقا من العلاقة العامة لمتجهة الكمون  $\vec{A}$  التالية

$$\vec{A} = \frac{\mu_0}{4\pi} \int \frac{\vec{j} \cdot d\vec{v}'}{R}$$

الحل :



ان تكامل كثافة التيار  $\vec{j}$  على سطح مقطع السلك تساوي شدة التيار  $I$  . وبما أن جهة التيار هي بالاتجاه  $z$  فان  $\vec{A}$  مركبة وحيدة هي  $A_z$  . نوجد أولا  $\vec{A}$  من أجل طول محدد للسلك  $2L$  ومن ثم عندما يكون  $L \gg y$  .

ان  $A_z$  اذن تساوي :

$$A_z = \frac{\mu_0}{4\pi} \int_{-L}^{+L} \frac{I dz'}{R}$$

فاذا فرضنا أن النقطة  $p$  التي نحسب فيها  $\vec{A}$  واقعة في المستوى

(  $y - z$  ) فان :

$$R = \sqrt{z^2 + y^2}$$

نعوض قيمة  $R$  فنجد :

$$\begin{aligned}
A_z &= \frac{\mu_0}{2\pi} \int_0^L \frac{I}{\sqrt{y^2 + z'^2}} dz' \\
&= \frac{\mu_0 I}{2\pi} [\ln(z' + \sqrt{y^2 + z'^2})]_0^L \\
&= \frac{\mu_0 I}{2\pi} [\ln(L + \sqrt{y^2 + L^2}) - \ln y]
\end{aligned}$$

وعندما يكون  $y \gg L$  فان  $A_z$  تساوي :

$$\begin{aligned}
A_z &\approx \frac{\mu_0 I}{2\pi} (\ln 2L - \ln y) \\
&\approx \frac{\mu_0 I}{2\pi} \ln\left(\frac{2L}{y}\right)
\end{aligned}$$

وحقل التحريض المغناطيسي  $\vec{B}$  في النقطة p الواقعة في المستوى  $y - z$  يساوي :

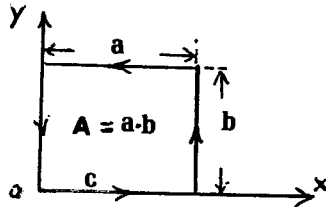
$$B_x = (\vec{\nabla} \wedge \vec{A})_x = \frac{\partial A_z}{\partial y} = - \frac{\mu_0 I}{2\pi y}$$

وخطوط الحقل  $\vec{B}$  تكون عبارة عن دوائر حول السلك .

٢ - هل الحقل الكهربائي المعطى بالعلاقة التالية  $\vec{E} = \eta(-y\vec{i} + x\vec{j})$

هو حقل محفوظ أم لا .

احسب تكامل  $\vec{E} \cdot d\vec{\ell}$  على الطريق المبين في الشكل التالي :



الحل: لمعرفة ماذا كان الحقل  $\vec{E}$  محفوظا أم لا نحسب دواره:

$$\text{rot } \vec{E} = \vec{\nabla} \wedge \vec{E} = \eta \begin{vmatrix} \vec{i} & \vec{j} & \vec{k} \\ \frac{\partial}{\partial x} & \frac{\partial}{\partial y} & \frac{\partial}{\partial z} \\ -y & x & 0 \end{vmatrix}$$

$$\vec{\nabla} \wedge \vec{E} = \eta \left( 0 - \frac{\partial x}{\partial z} \right) \vec{i} - \eta \left( 0 + \frac{\partial y}{\partial z} \right) \vec{j} + \eta \left( \frac{\partial x}{\partial x} + \frac{\partial y}{\partial y} \right) \vec{k} = 2\eta \vec{k} \neq 0$$

والحقل  $\vec{E}$  المعرف بالعلاقة السابقة يكون غير محفوظ ولذلك لا يمكن تحديد تابع كموني له .

لنحسب الآن التكامل  $\oint_C \vec{E} \cdot d\vec{\ell}$  بالاعتماد على نظرية

ستوكس :

$$\begin{aligned} \oint_C \vec{E} \cdot d\vec{\ell} &= \int_S (\vec{\nabla} \wedge \vec{E}) \cdot d\vec{s} = \int_S (\vec{\nabla} \wedge \vec{E}) \cdot \vec{n} \cdot dA \\ &= 2\eta \int_S \vec{k} \cdot \vec{n} \cdot dA = 2\eta ab \end{aligned}$$

٣ - يعطى الكمون الكهربائي الناتج عن ثنائي أقطاب  $\vec{p}$  في نقطة M

تقع على مسافة كبيرة جدا منه بالعلاقة:

$$\phi(\vec{r}) = \frac{\vec{p} \cdot \vec{r}}{4\pi\epsilon_0 r^3}$$

حيث  $\vec{p} = 2q\ell\vec{j}$  و  $\vec{r} = x\vec{i} + y\vec{j} + z\vec{k}$  انظر الشكل.

بين أن تدرج تابع الكمون السابق يساوي :

$$\vec{E}(\vec{r}) = \frac{1}{4\pi\epsilon_0} \left( -\frac{\vec{p}}{r^3} + \frac{3(\vec{p} \cdot \vec{r})\vec{r}}{r^5} \right)$$

$$\phi(x, y, z) = \frac{2\ell q \vec{j} \cdot \vec{r}}{4\pi\epsilon_0 r^3} \quad \text{المحل:}$$

$$= \frac{2\ell q y}{4\pi\epsilon_0 (x^2 + y^2 + z^2)^{3/2}}$$

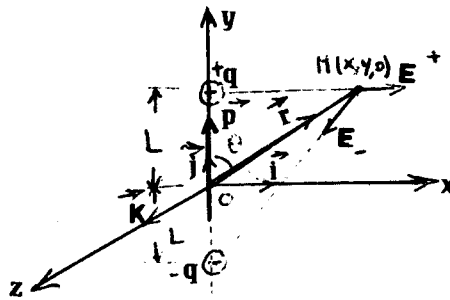
لنحسب الآن المشتقات الجزئية  $\frac{\partial \phi}{\partial x}$  ،  $\frac{\partial \phi}{\partial y}$  و  $\frac{\partial \phi}{\partial z}$

$$- \frac{\partial \phi}{\partial x} = \frac{2\ell q}{4\pi\epsilon_0} \frac{3xy}{(x^2 + y^2 + z^2)^{5/2}} = \frac{2\ell q}{4\pi\epsilon_0} \frac{3xy}{r^5}$$

$$- \frac{\partial \phi}{\partial z} = \frac{2\ell q}{4\pi\epsilon_0} \frac{3zy}{r^5}$$

$$- \frac{\partial \phi}{\partial y} = \frac{2\ell q}{4\pi\epsilon_0} \frac{3y^2(x^2 + y^2 + z^2)^{3/2} - (x^2 + y^2 + z^2)^{3/2}}{(x^2 + y^2 + z^2)^3}$$

$$= \frac{2\ell q}{4\pi\epsilon_0} \left( \frac{3y^2}{r^5} - \frac{1}{r^3} \right)$$



ولكن الحقل الكهربائي  $\vec{E}$  يساوي :

$$\vec{E} = -\vec{\nabla}(\phi) = -\left( \frac{\partial \phi}{\partial x} \vec{i} + \frac{\partial \phi}{\partial y} \vec{j} + \frac{\partial \phi}{\partial z} \vec{k} \right)$$

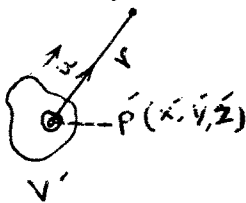
$$= \frac{2\ell q}{4\pi\epsilon_0} \left[ -\frac{\vec{j}}{r^3} + \frac{3y}{r^5} (x\vec{i} + y\vec{j} + z\vec{k}) \right]$$

$$\vec{E} = \frac{1}{4\pi\epsilon_0} \left[ -\frac{\vec{p}}{r^3} + \frac{3(\vec{p} \cdot \vec{r})\vec{r}}{r^5} \right]$$

٤ - أثبت انطلاقاً من قانون بيوسافار :

$$\vec{B} = \frac{\mu_0}{4\pi} \int_{V'} \frac{\vec{j} \wedge \vec{u}}{r^2} dv'$$

أن  $\vec{\nabla} \cdot \vec{B} = 0$  في كل نقطة من نقاط الفراغ  $\rho(x, y, z)$



المحيط بالجسم  $V'$  الذي يحوي مصدر التيار ،

وميت أن كثافة التيار  $\vec{j}(x', y', z')$  لاتتعلق

بالاحداثيات  $x, y, z$

الحل :

$$\vec{\nabla} \cdot \vec{B} = \frac{\mu_0}{4\pi} \int_{V'} \nabla \cdot \left( \frac{\vec{j} \wedge \vec{u}}{r^2} \right) dv'$$

وبالاستفادة من المطابقة :

$$\vec{\nabla} \cdot (\vec{A} \wedge \vec{B}) \equiv \vec{B} \cdot (\vec{\nabla} \wedge \vec{A}) - \vec{A} \cdot (\vec{\nabla} \wedge \vec{B})$$

فان :

$$\vec{\nabla} \cdot \left( \vec{j} \wedge \frac{\vec{u}}{r^2} \right) = \frac{\vec{u}}{r^2} \cdot (\vec{\nabla} \wedge \vec{j}) - \vec{j} \cdot \left( \vec{\nabla} \wedge \frac{\vec{u}}{r^2} \right)$$

ان الحد الاول من اليمين يساوي الصفر لان  $\vec{j}$  لاتتعلق

بالاحداثيات  $(x, y, z)$  وانما فقط باحداثيات المنبع

$(x', y', z')$  والحد الثاني ايضا من اليمين يساوي الصفر لان :

$$\vec{\nabla} \wedge \frac{\vec{u}}{r^2} = \vec{\nabla} \wedge \frac{\vec{r}}{r^3} = \begin{vmatrix} \vec{i} & \vec{j} & \vec{k} \\ \frac{\partial}{\partial x} & \frac{\partial}{\partial y} & \frac{\partial}{\partial z} \\ \frac{x-x'}{r^3} & \frac{y-y'}{r^3} & \frac{z-z'}{r^3} \end{vmatrix} = 0$$

وبالتالي فان  $\vec{\nabla} \cdot \vec{B} = 0$  في كل

نقطة من نقاط الفراغ .

## تمارين غير محلولة

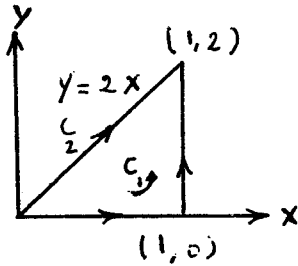
1 - لدينا حقل كهربائي معطى بالعلاقة .

$$\vec{E} = A[(xy^2 + x^2y)\vec{i} + x^2y\vec{j}]$$

حيث A ثابت . والمطلوب .

A - احسب التكامل  $\int_C \vec{E} \cdot d\vec{l}$  على طول الطريق  $C_1 [(0,0) \rightarrow (1,0) \rightarrow (1,2)]$

كما هو موضح في الشكل .



B - احسب التكامل  $\int_C \vec{E} \cdot d\vec{l}$  على طول الطريق

$C_2 (y = 2x)$  من النقطة  $(0,0)$  الى

النقطة  $(1, 2)$  .

C - بالاعتماد على نتيجة الطلب الاول والثاني

بين هل الحقل  $\vec{E}$  محفوظ أم لا ؟ .

D - احسب  $\vec{\nabla} \wedge \vec{E}$  ماذا تستنتج من الجواب .

E - احسب التكامل  $\int_C \vec{E} \cdot d\vec{l}$  على الطريق المغلق من النقط

$$(0,0) \xrightarrow{C_1} (1,2) \text{ ومن } (1,2) \xrightarrow{C_2} (0,0)$$

هل النتيجة تتفق مع نتيجة الطلب الرابع .

F - احسب التكامل  $\int_S \vec{\nabla} \wedge \vec{E} \cdot \vec{n} ds$  على السطح s في المستوي

$$\vec{n} \cdot ds = dx dy \vec{k} \text{ حيث } C_1 \text{ و } C_2$$

قارن هذه النتيجة مع النتيجة التي حصلت عليها في الطلب الخامس.

2 - لدينا حقل تدرّيس مغناطيسي  $\vec{B}$  معطى بالعلاقة :

$$\vec{B} = B_x(x, y)\vec{i} + B_y(x, y)\vec{j}$$

$$\text{بين أن : } -1 \quad \frac{\partial B_x}{\partial x} = - \frac{\partial B_y}{\partial y} \quad \text{وأن :}$$

٢ - إذا كان  $\vec{j} = 0$  وكان  $B_x(x, y) = axy$  حيث  $a$  هو مقدار كثافة التيار  $\vec{j} = \frac{1}{\mu_0} \left[ \frac{\partial B_y}{\partial x} - \frac{\partial B_x}{\partial y} \right] \vec{k}$

ثابت . أوجد أفضل صيغة للحقل  $B_y(x, y)$  .

٣ - لدينا حقل كهربائي مركبته  $E_x = \frac{E_0 x^2}{a^2}$  ،  $E_z = -2E_0(x+y)z/a^2$  ، بفرض

أن  $E_y$  هو تابع فقط لـ  $y$  وأن  $\rho = 0$  في كل مكان . عين :

$$E_y - 1$$

٢ -  $\vec{B}(t)$  اللازمة للحصول على دوار الحقل الكهربائي .

٣ - تحديد كثافة التيار  $\vec{j}$  وذلك بفرض أن كثافة تيار الانزياح

معدوم .

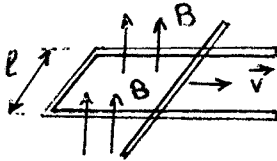
٤ - تحقق أن  $\text{div } \vec{B}(t) = 0$

٥ - أثبت أن دوار الحقل الكهربائي  $\vec{E} = \frac{q}{4\pi\epsilon_0} \frac{\vec{r}}{r^3}$  المتولد

عن شحنة نقطية يساوي الصفر في أي نقطة من الفراغ .

٤ - نزلق قطعة ناقلة مستقيمة على اطار ناقل على شكل حرف U بسرعة

قدرها  $v = 15 \text{ m/sec}$  كما في الشكل . يخضع الاطار الى حقل



تحريض مغناطيسي منتظم  $\vec{B}$  مستقل عن

الزمن وعمودي على مستوى الاطار ويساوي

800 G . عين القوة المحركة

الكهربائية المتحرضة E.M.F في

الاطار وذلك باستخدام قانون

فاراداي . الجواب:  $\epsilon = -0,96 \text{ volt}$

٥ - لدينا حقل تحريض مغناطيسي منتظم  $\vec{B}$  في منطقة من الفراغ :

١ - برهن أن متجهة الكمون في كل نقطة مثل  $M(\vec{OM} = \vec{r})$  تساوي :



• حيث  $\vec{A} = \frac{1}{2}(\vec{B} \wedge \vec{r})$  مبدأ الاحداثيات ثابت .

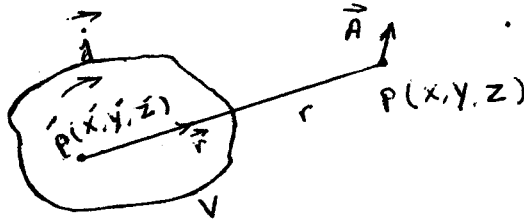
٢ - برهن أن  $\vec{A}$  تحقق العلاقة  $\text{div } \vec{A} = 0$  والذي يسمى بمعيار كولومب .

٦ - برهن اعتمادا على علاقة الكمون الشعاعي :

$$\vec{A}(\vec{r}) = \frac{\mu_0}{4\pi} \int_V \frac{\vec{j}(x', y', z')}{r} dv$$

أن:  $\text{div } \vec{A} + \epsilon_0 \mu_0 \frac{\partial \psi}{\partial t} = 0$  (شرط لورنتس) . حيث  $r$  هو البعد

بين  $p$  و  $p'$  .



٧ - في نقطة ما من ناقل يجري فيه تيار مستمر، مركبات كثافة التيار هي :

$$j_x = 2ax \quad , \quad j_y = 3bz$$

حيث  $a$  و  $b$  ثوابت، أوجد المركبة  $j_z$  .

٨ - إذا كانت مركبات الحقل الكهربائي  $\vec{E}$  لموجة كهروطيسية في الفراغ هي:

$$E_x = E_z = 0 \quad , \quad E_y = A \cos \omega(t - \frac{z}{C})$$

• باستخدام معادلات ماكسويل في الفراغ أوجد الحقل المغناطيسي  $\vec{H}$  .

٩ - تبلغ الناقلية لوسط ما  $10^{-1} (\Omega.m)^{-1}$  وسماحيته النسبية

$\epsilon_r = 50$  وهي ثابتة مع التواتر، وإذا كانت  $\mu_r = 1$  لهذا

الوسط بين هل هذا الوسط ناقل أم عازل عند التواترين التاليين:

$$\epsilon_0 = (36\pi \times 10^9)^{-1} \text{Farad/m} \quad \text{حيث } \nu = 10^4 \text{ MHz} - \text{ب} \quad \nu = 50 \text{ MHz} - \text{أ}$$

١٠- بين أن معادلة الاستمرار على سطح مادة فائقة الناقلية تصبح من الشكل :

$$\text{div } \vec{j}_s + \frac{\partial \sigma_s}{\partial t} = 0$$

١١- برهن أن الكمون المتجهة  $\vec{A} = \frac{g(u)}{C r} \vec{k}$  هو حل للمعادلة  $\nabla^2 \vec{A} - \frac{1}{C^2} \frac{\partial^2 \vec{A}}{\partial t^2} = 0$  حيث  $\vec{k}$  هي متجهة الواحدة على الممحور  $z$ .  $g(u)$  هو أي تابع لـ  $u$  :  $u = t - \frac{r}{C}$  ، أوجد مركبات الحقل المغناطيسي  $\vec{H}$  ، الكمون السلمي  $\phi$  ، والحقل الكهربائي  $\vec{E}$  .

١٢- أوجد طويلة ومنى كثافة تيار الانزياح في وسط غير مبدد فسي اللحظة  $t = 0$  وذلك بوجود حقل مغناطيسي  $\vec{H}$  :

$$\vec{H} = 3 \sin 2x \cos(kz - \omega t) \vec{j} + 4 \cos 2x \sin(kz - \omega t) \vec{k}$$

## الفصل الثاني

### انتشار الامواج الكهرطيسية

#### 1 - 2 - انتشار الامواج الكهرطيسية في الاوساط المتجانسة والتمثالة

##### المناحي :

الوسط المتجانس هو الوسط الذي تكون فيه المقادير  $\epsilon$ ،  $\mu$  و  $\sigma$  ثابتة في كل نقطة من هذا الوسط، أما الوسط المتمائل المناحي فهو الوسط الذي تكون فيه  $\epsilon$  أو  $\mu$  أو  $\sigma$  كمية سلمية ثابتة ولذلك فان لكل من  $\vec{E}$  و  $\vec{D}$ ،  $\vec{B}$  و  $\vec{H}$ ،  $\vec{J}$  و  $\vec{E}$  نفس الاتجاه في أي نقطة من هذا الوسط. أما اذا اختلفت قيم  $\epsilon$  أو  $\mu$  أو  $\sigma$  باختلاف المنى أو الاتجاه فعندئذ نقول أن الوسط هو متباين المناحي ومركبات  $\epsilon$  أو  $\mu$  أو  $\sigma$  تمثل عندئذ بمصفوفة . ان معادلات ماكسويل لاتخص تواترا معيناً من تواترات طيف الامواج الكهرطيسية لان جميع هذه الامواج تبدي نفس الصفات الفيزيائية يبين الشكل (1- 2) طيف الامواج الكهرطيسية المدروسة تجريبياً . يمتد هذا الطيف المستمر بدءاً من الاطوال الموجية الكبيرة حتى أشعة  $\gamma$  ذات الاطوال الموجية القصيرة جداً ، أي ذات الطاقات العالية جداً الملاحظة في الاشعة الكونية . ان هذا الطيف يبدأ من التواترات التي من مرتبة  $10^4$  Hz ( طول الموجة  $3 \times 10^4$  m ) وينتهي عند تواترات من مرتبة  $10^{24}$  Hz ( طول الموجة يساوي  $3 \times 10^{-16}$  m وما دون). يشمل طيف الامواج الكهرطيسية موجات الراديو والتلفزيون والامواج الميكروية والامواج الضوئية والاشعاع الحراري وأشعة x وأشعة غاما . وجميع هذه الامواج هي أمواج عرضية تنتشر في الخلاء بسرعة الضوء c .

سوف نبرهن في هذا الفصل على أن الحقول  $\vec{E}$  و  $\vec{B}$  في الفراغ

تخضع لمعادلة انتشار لها نفس شكل معادلة انتشار الكمونين  $\vec{A}$  و  $\phi$

وسوف نقتصر في دراستنا على الامواج الكهرطيسية المستوية .

|                  |                                                                                                              |        |        |           |           |           |           |            |            |
|------------------|--------------------------------------------------------------------------------------------------------------|--------|--------|-----------|-----------|-----------|-----------|------------|------------|
| $\lambda$<br>(m) | $10^4$                                                                                                       | $10^2$ | 1      | $10^{-2}$ | $10^{-4}$ | $10^{-6}$ | $10^{-8}$ | $10^{-10}$ | $10^{-12}$ |
|                  | <p>أشعة <math>\gamma</math> ← أشعة X ← أشعة فوق البنفسجية ← أشعة مرئية ← أشعة تحت الحمراء ← أشعة راديوية</p> |        |        |           |           |           |           |            |            |
| $\nu$<br>(Hz)    | $10^4$                                                                                                       | $10^6$ | $10^8$ | $10^{10}$ | $10^{12}$ | $10^{14}$ | $10^{16}$ | $10^{18}$  | $10^{20}$  |

شكل (1-2)

## 2-1-2 - انتشار الامواج الكهرطيسية المستوية في الخلاء:

في الخلاء تكون كثافة الشحنات الكهرطيسية معدومة (  $\rho = 0$  )

وكذلك كثافة التيار (  $\vec{j} = 0$  ) ويكون  $\epsilon = \epsilon_0$  و  $\mu = \mu_0$  ، أما معادلات

ماكسويل فتأخذ الصيغ التالية:

$$\vec{\nabla} \wedge \vec{E} = -\mu_0 \frac{\partial \vec{H}}{\partial t} \quad \vec{\nabla} \wedge \vec{H} = \epsilon_0 \frac{\partial \vec{E}}{\partial t} \quad (2-3)$$

$$\vec{\nabla} \cdot \vec{H} = 0 \quad \vec{\nabla} \cdot \vec{E} = 0 \quad (2-4)$$

بتطبيق المؤثر  $\text{rot}$  على طرفي العلاقة ( 1 ) نجد:

$$\vec{\nabla} \wedge \vec{\nabla} \wedge \vec{E} = -\mu_0 \vec{\nabla} \wedge \frac{\partial \vec{H}}{\partial t} = -\mu_0 \frac{\partial}{\partial t} (\vec{\nabla} \wedge \vec{H}) = -\mu_0 \epsilon_0 \frac{\partial^2 \vec{E}}{\partial t^2}$$

$$\vec{\nabla} \wedge \vec{\nabla} \wedge \vec{E} = \vec{\nabla} (\text{div } \vec{E}) - \nabla^2 \vec{E} = -\nabla^2 \vec{E} \quad \text{ولكن:}$$

وذلك لأن  $\text{div } \vec{E} = 0$  . وبتعويض قيمة  $\vec{\nabla} \wedge \vec{\nabla} \wedge \vec{E}$  في الطرف الايسر

من المعادلة السابقة نحصل على العلاقة التالية:

$$-\nabla^2 \vec{E} = -\epsilon_0 \mu_0 \frac{\partial^2 \vec{E}}{\partial t^2}$$

ومنه:

$$\nabla^2 \vec{E} - \epsilon_0 \mu_0 \frac{\partial^2 \vec{E}}{\partial t^2} = 0$$

وحيث أن  $\epsilon_0 \mu_0 c^2 = 1$  فإن  $\epsilon_0 \mu_0 = \frac{1}{c^2}$  ومعادلة انتشار

$$\nabla^2 \vec{E} - \frac{1}{c^2} \frac{\partial^2 \vec{E}}{\partial t^2} = 0 \quad (2-5)$$

الحقل الكهربائي هي :

وباتباع نفس الخطوات السابقة على المعادلة ( 3 ) نجد أن معادلة

$$\nabla^2 \vec{H} - \frac{1}{c^2} \frac{\partial^2 \vec{H}}{\partial t^2} = 0 \quad (2-6)$$

انتشار الحقل المغناطيسي  $\vec{H}$  هي :

نفرض حلا للمعادلات ( 5 ) و ( 6 ) على شكل موجة مستوية تنتشر وفق

احد الاتجاهات وليكن  $Ox$  مثلا وبالتالي فان مركبات

$E_z, E_y, E_x : \vec{E}$  ومركبات  $H_z, H_y, H_x : \vec{H}$  لاتتعلق

ب  $y$  و  $z$  وانما ب  $x$  فقط ، أي :

$$\begin{aligned} \frac{\partial E_x}{\partial y} = \frac{\partial E_x}{\partial z} = 0 & \quad \frac{\partial H_z}{\partial y} = \frac{\partial H_z}{\partial z} = 0 \\ \frac{\partial E_y}{\partial y} = \frac{\partial E_y}{\partial z} = 0 & \quad \frac{\partial H_x}{\partial y} = \frac{\partial H_x}{\partial z} = 0 \\ \frac{\partial E_z}{\partial y} = \frac{\partial E_z}{\partial z} = 0 & \quad \frac{\partial H_y}{\partial y} = \frac{\partial H_y}{\partial z} = 0 \end{aligned}$$

ويمكن توضيح هذا الحل عن طريق المثال التالي :

اذا وضعنا شحنة نقطية  $+q$  في مبدأ الاحداثيات فان سطوح

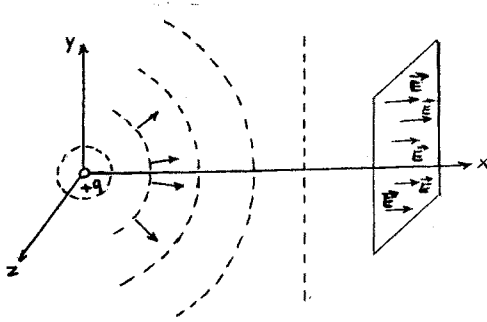
تساوي الكمون  $v = ct$  تكون كرات متمركزة حول  $O$  والحقل الكهربائي

$\vec{E}$  يكون عموديا على هذه الكرات شكل ( 2 - 2 ) .

ان الحقل على بعد قريب من الشحنة يتعلق دون شك بكل

من  $x$  و  $y$  و  $z$  . ولكن عندما يبتعد كثيرا عن الشحنة  $q$  فسي

الاتجاه  $Ox$  مثلا فان سطوح تساوي الكمون سوف تكون مستويات عمودية



على  $OX$  والحقل الكهربائي  $\vec{E}$  يكون له نفس الطويلة والمنحني في كل نقطة من نقاط هذه المستويات . والحقل الكهربائي لا يتعلق عندئذ إلا ب  $x$  .

شكل ( 2 - 2 )

من معادلة ماكسويل ( 4 ) نجد :

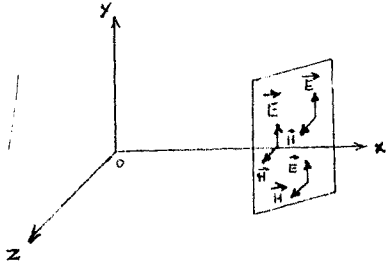
$$\vec{\nabla} \cdot \vec{E} = \frac{\partial E_x}{\partial x} + \frac{\partial E_y}{\partial y} + \frac{\partial E_z}{\partial z} = \frac{\partial E_x}{\partial x} = 0$$

أي أن المركبة  $E_x$  للحقل الكهربائي  $\vec{E}$  ثابتة في كل لحظة على طول المحور  $OX$  ، ومن معادلة ماكسويل ( 3 ) نجد :

$$(\text{rot } \vec{H})_x = \frac{\partial H_z}{\partial y} - \frac{\partial H_y}{\partial z} = \epsilon_0 \frac{\partial E_x}{\partial t} = 0$$

أي أن  $\frac{\partial E_x}{\partial t} = 0$  وبالتالي تكون المركبة  $E_x$  مستقلة عن الزمن . وبما أننا نهتم بدراسة الامواج وليس بدراسة الحقل المنتظم فإننا نعتبر أن  $E_x = 0$  وباتباع نفس الاسلوب بالنسبة لـ  $\vec{H}$  فإننا نجد أن  $H_x = 0$  لأنه أيضا ثابت مع الزمن ومنتظم على امتداد المحور  $OX$  . والنتيجة هي أن الحقلين  $\vec{E}$  و  $\vec{H}$  في الموجة المستوية يكونان عموديان على اتجاه الانتشار ، وإذا اكتفينا بهذا الحل فإن لكل من  $\vec{E}$  و  $\vec{H}$  مركبات على المحورين  $OY$  و  $OZ$  ، وإذا خصنا أكثر الموجة المستوية التي ندرسها بقولنا : لنبحث عن حل لمعادلات الموجة بحيث أن  $\vec{E}$  لا يملك سوى مركبة واحدة على المحور  $OY$  ، ونقول في هذه

الحالة أن الموجة المستوية هي مستقطبة استقطابا مستقيما



في الاتجاه  $oy$ ، شكل (3 - 2) اذن  
فمركبات  $\vec{E}$  هي:  $E_x = E_z = 0, E_y \neq 0$ .  
ولنرى في هذه الحالة ما اذا كان  
للحقل  $\vec{H}$  مركبة على  $oy$  . واذا  
أخذنا المركبة على  $y$  لمعادلة

شكل (3 - 2)

ماكسويل (1) نجد:

$$(\vec{\nabla} \wedge \vec{E})_y = -\mu_0 \frac{\partial H_y}{\partial t}$$

وهذا يساوي:

$$\frac{\partial E_x}{\partial z} - \frac{\partial E_z}{\partial x} = - \frac{\partial H_y}{\partial t} = 0$$

أي أن  $H_y$  ثابتة مع الزمن. واذا أخذنا مسقط معادلة ماكسويل (3)

على  $z$  نجد:

$$(\text{rot } \vec{H})_z = \epsilon_0 \frac{\partial E_z}{\partial t} = 0$$

أي أن:

$$\frac{\partial H_y}{\partial x} - \frac{\partial H_x}{\partial y} = \frac{\partial H_y}{\partial x} = 0$$

والمركبة  $H_y$  للحقل المغناطيسي  $\vec{H}$  تكون منتظمة في كل نقطة من  
نقاط المحور  $x$  . ولذلك نعتبر أن  $H_y$  تساوي الصفر مادما نهتم  
بالموج. اذن فمركبات الحقل  $\vec{E}$  لا يبقى منها سوى  $E_y$  ،  $E_x = E_z = 0$   
وبالمقابل نجد أن مركبات  $\vec{H}$  تنعدم ماعدا المركبة  $H_z$  على المحور  $z$  .  
فالحقلين الكهربائي والمغناطيسي اذن متعامدان فيما بينهما  
وعموديان على جهة الانتشار ولذلك فان الموجة المستوية المفروضة هي  
عرضية . والموجة المستوية التي اخترناها لحل معادلات الموجة للحقل  
الكهربائي الذي يحوي فقط المركبة  $E_y$  تدعى بالموجة المستوية المستقطبة

استقطابيا مستقيما في الاتجاه  $OY$  والمستوى الذي يحوي منحنى الانتشار  
والمتجهة  $\vec{H}$  يدعى بمستوى الاستقطاب ومعادلات الموجة ( 5 ) و ( 6 )

للحقلين الكهربائي والمغناطيسي تصبح على الشكل :

$$\frac{\partial^2 E_y}{\partial x^2} - \frac{1}{c^2} \frac{\partial^2 E_y}{\partial t^2} = 0 \quad (2-7)$$

$$\frac{\partial^2 H_z}{\partial x^2} - \frac{1}{c^2} \frac{\partial^2 H_z}{\partial t^2} = 0 \quad (2-8)$$

من الحل العام لهذه المعادلات هو:

$$E_y(x, t) = f_1\left(t - \frac{x}{c}\right)$$

$$H_z(x, t) = f_2\left(t - \frac{x}{c}\right)$$

حيث  $f_1$  و  $f_2$  هما تابعان اختياريان لـ  $u = \left(t - \frac{x}{c}\right)$  وهما غير

مستقلين لأن  $E_y$  و  $H_z$  يرتبطان مع بعضهما بالعلاقة:

$$\frac{\partial H_z}{\partial x} = -\epsilon_0 \frac{\partial E_y}{\partial t}$$

ولكن :

$$\frac{\partial H_z}{\partial x} = \frac{df_2}{du} \frac{\partial u}{\partial x} = -\frac{1}{c} \frac{df_2}{du}$$

و :

$$\frac{\partial E_y}{\partial t} = \frac{df_1}{du} \frac{\partial u}{\partial t} = \frac{df_1}{du}$$

ومنه فان :

$$-\frac{1}{c} \frac{df_2}{du} = -\epsilon_0 \frac{df_1}{du}$$

$$f_2(u) = \epsilon_0 c f_1(u) + A \quad \text{وبالتكامل نجد:}$$

حيث  $A$  هي ثابتة تكامل تؤخذ مساوية للصفر لأن  $H_z$  ثابت ومنتظم

وهي ليست الحالة التي نريدها . اذن :

$$H_z(x, t) = \epsilon_0 c E_y(x, t) \quad (2-9)$$

تدعى النسبة :

$$\frac{E}{H} = \frac{E_y}{H_z} = \frac{1}{\epsilon_0 c} = \mu_0 c = \left(\frac{\mu_0}{\epsilon_0}\right)^{1/2} = 377 \text{ohms} \quad (2-10)$$



بالمقاومة المميزة للخلاء، حيث  $\mu_0 = 4\pi \times 10^{-7} \text{ H/m}$  و

$$\epsilon_0 = \frac{1}{36\pi \times 10^9} \text{ F/m}$$

يمكن تمثيل الموجة المستوية المستقطبة استقطابا مستقيما

كما في الشكل (4 - 2). ففي اللحظة  $t = 0$  فان  $H_z$  و  $E_y$  يساويان :

$$E_y = f_1\left(-\frac{x}{c}\right)$$

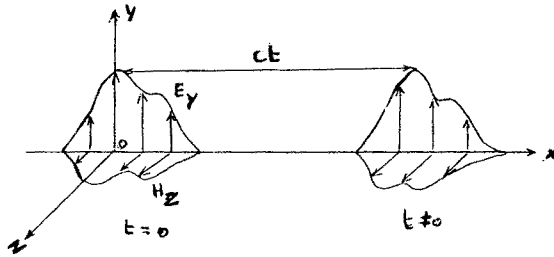
$$H_z = f_2\left(-\frac{x}{c}\right) = \frac{1}{\mu_0 c} f_1\left(-\frac{x}{c}\right)$$

وفي اللحظة  $t$  تكون الموجة المستوية المنتشرة على طول المحول  $ox$  قد قطعت مسافة مساوية  $ct$  والحقلين  $E_y$  و  $H_z$  في اللحظة  $t$  يعطيان

بالعلاقتين :

$$E_y(x, t) = f_1\left(t - \frac{x}{c}\right)$$

$$H_z(x, t) = \frac{1}{\mu_0 c} f_1\left(t - \frac{x}{c}\right)$$



شكل (4 - 2)

### 3 - 1 - 2 - الامواج المستوية الجيبية المستقطبة استقطابا مستقيما :

عندما يكون  $f_1$  تابعا جيبيا فان الموجة تدعى بالموجة

الجيبية المستوية :

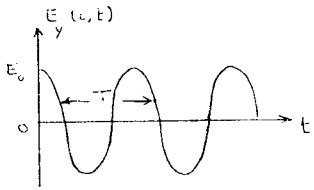
$$E_y(x, t) = E_0 \cos(\omega t - kx) \quad (2-11)$$

والحقل المغناطيسي يساوي :

$$H_z(x, t) = H_0 \cos(\omega t - kx) \quad (2-12)$$

حيث :  $k = \frac{\omega}{c}$  هو العدد الموجي و  $H_0 = \frac{E_0}{\mu_0 c}$

- تغير الحقل مع الزمن : في نقطة معينة من المحور  $OX$  ولتكن  $x_1 = 0$ ، يكون تغير الحقل  $E_y$  مع الزمن من الشكل:



$$E_y(0, t) = E_0 \cos \omega t$$

والشكل (5 - 2) يوضح تغير الحقل الكهربائي

$E_y$  مع الزمن. والحركة الجيبية هي حركة

دورية دورها  $T$  :

$$\cos \omega(t + T) = \cos \omega t$$

شكل (5 - 2)

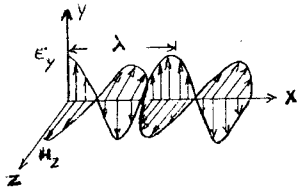
والدور  $T$  يساوي :  $T = \frac{2\pi}{\omega}$

- تغير الحقل مع المسافة : في لحظة معينة، ولتكن  $t = 0$ ، فإن

تغير  $E_y$  و  $H_z$  مع المسافة  $x$  يمثله الشكل (6 - 2). ومعادلة

الحقلين  $E_y$  و  $H_z$  تكون عندئذ :

$$\left. \begin{aligned} E_y(x, 0) &= E_0 \cos \frac{\omega x}{c} \\ H_z(x, 0) &= H_0 \cos \frac{\omega x}{c} \end{aligned} \right\}$$



والدورية في المكان تساوي :

$$\cos \omega \left( \frac{x + \lambda}{c} \right) = \cos \frac{\omega x}{c}$$

ومنه :

$$\lambda = \frac{2\pi}{\omega} c = c.T$$

شكل (6 - 2)

وطول الموجة  $\lambda$  هو المسافة التي

تقطعها الموجة خلال زمن يساوي الدور  $T$ . يمكن تمثيل المعادلتين

(11) و (12) باستخدام الصيغة العقدية كما يلي :

$$E_y(x, t) = R_e (E_0 e^{i\omega(t-x/c)})$$

حيث  $R_e$  تعني الجزء الحقيقي من العدد العقدي  $Z$  ويمكن كتابتها بشكل مختصر على الشكل :

$$E_y(x, t) = E_0 e^{i\omega(t-x/c)}$$

وبشكل متجهي :

$$\vec{E} = E_0 e^{i\omega(t-x/c)} \cdot \vec{j}$$

والحقل المغناطيسي  $H$  يكتب بشكل مشابه بالصيغة :

$$H_z = H_0 e^{i\omega(t-x/c)}$$

وبشكل متجهي :

$$\vec{H} = H_0 e^{i\omega(t-x/c)} \cdot \vec{k}$$

#### 4-1-2 - انتشار موجة مستوية جيبية باتجاه ما :

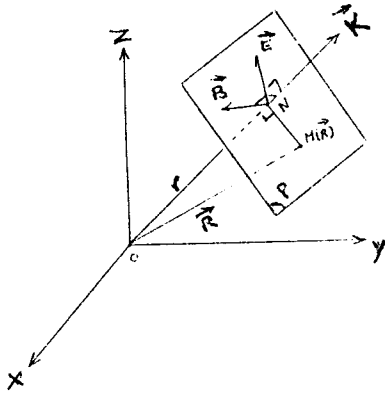
من أجل موجة مستوية جيبية تنتشر بالاتجاه الموجب للمحور  $OX$  يكون الطور هو نفسه في كل مستوى عمودي على  $OX$  أي على اتجاه الانتشار وسطوح تساوي الطور هي عبارة عن مستويات عمودية على  $OX$  . فإذا انتشرت هذه الموجة في اتجاه ما في الفراغ فإن سطوح تساوي الطور ستكون عبارة عن مستويات عمودية على اتجاه الانتشار . الشكل (7-2) يوضح ذلك . بفرض أن  $N$  هي نقطة تقاطع مستوى تساوي الطور  $p$  مع اتجاه الانتشار  $\vec{K}$  . ان الحقل الكهربائي في النقطة  $N$  يساوي :

$$\vec{E}(N) = \vec{E}_0 \cos \omega \left( t - \frac{x}{c} \right)$$

$$= \vec{E}_0 \cos(\omega t - kr)$$

$$k = \frac{\omega}{c} \quad \text{حيث}$$

وفي النقطة  $M(R)$  من مستوى تساوي الطور يكون للحقل الكهربائي  $\vec{E}$



حسب تعريف الموجة المستوية، نفس الطويلة والمنحى :

$$\vec{E}(M) = \vec{E}_0 \cos(\omega t - kr)$$

وإذا كان R هو نصف القطر الشعاعي الواصل بين 0 و M فان:  $k \cdot r = \vec{k} \cdot \vec{R}$  وذلك إذا كانت جهة متجهة الموجة  $\vec{k}$  في جهة الانتشار في النقطة M

شكل ( 7 - 2 )

فان الحقل الكهربائي  $\vec{E}$  والمغناطيسي  $\vec{H}$  يساويان:

$$\left. \begin{aligned} \vec{E}(\vec{R}, t) &= \vec{E}_0 \cos(\omega t - \vec{k} \cdot \vec{R}) \\ \vec{H}(\vec{R}, t) &= \vec{H}_0 \cos(\omega t - \vec{k} \cdot \vec{R}) \end{aligned} \right\}$$

وباستخدام التمثيل العقدي تكتب هذه المعادلات على الشكل :

$$\left. \begin{aligned} \vec{E}(\vec{R}, t) &= \vec{E}_0 e^{i(\omega t - \vec{k} \cdot \vec{R})} \\ \vec{H}(\vec{R}, t) &= \vec{H}_0 e^{i(\omega t - \vec{k} \cdot \vec{R})} \end{aligned} \right\} \quad (2-13)$$

ملاحظة:

تأتي أهمية استخدام الامواج الحقيقية المستوية من امكانية ايجاد المحطة النهائية لتراكيب عدة أمواج كهرطيسية مختلفة التواتر مستقطبة وفق  $oy$  مثلا وتنتشر وفق  $ox$ .

### 5-1-2 - استقطاب الامواج الكهرطيسية المستوية:

درسنا في فقرة سابقة الامواج الكهرطيسية المستوية والمستقطبة

استقطابا مستقبما ( خطيا ) وهي حالة خاصة يكون للحقل الكهربائي

$\vec{E}$  وللحقل المغناطيسي  $\vec{H}$  مركبة واحدة فقط لكل منهما:  $E_y$  و  $H_z$  الا أنه في الحالة العامة عند انتشار موجة كهرطيسية مستوية (أحادية

اللون) في الاتجاه  $OX$  فان الحقل الكهربائي  $\vec{E}$  يكون له مركبتين: مركبة على المحور  $OY$  هي  $E_y$  ومركبة  $E_z$  على المحور  $OZ$  ويجب ألا يغيب عن بالنا بأن مركبة الحقل الكهربائي  $\vec{E}$  والمغناطيسي  $\vec{H}$  على المحور  $OX$  تكون معدومة لان الموجة المستوية هي عرضية وقد بينا ذلك سابقا .

تعطى مركبات الحقل الكهربائي  $\vec{E}$  في الحالة العامة بالعلاقات:

$$E_x = 0, E_y = E_{OY} \cos(kx - \omega t + \phi_1), E_z = E_{OZ} \cos(kx - \omega t + \phi_2) \quad (2-14)$$

حيث  $E_{OY}$  و  $E_{OZ}$  و  $\phi_1$  و  $\phi_2$  عبارة عن ثوابت  $E_{OY}$  و  $E_{OZ}$  تمثل مطال الحقل الكهربائي على المحور  $y$  وعلى المحور  $z$ ،  $\phi_1$ ،  $\phi_2$  هي الاطوار الابتدائية للحقل الكهربائي في الاتجاهين  $y$  و  $z$  . يمكن

استنتاج مركبات الحقل المغناطيسي  $\vec{H}$  من العلاقة  $(\vec{n} \wedge \vec{E}) = \mu_0 c \vec{H}$  حيث  $\vec{n}$  هي متجهة الواحدة على المور  $OX$ ، شكل (8-2) واذا فرضنا أن الحقل  $\vec{E}$  واقع في المستوى  $x = 0$  فان مركباته تساوي عندئذ الى:

$$E_y = E_{OY} \cos(\omega t - \phi_1), E_z = E_{OZ} \cos(\omega t - \phi_2) \quad (2-15)$$

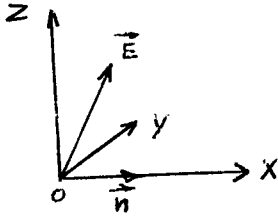
وفي نقطة ما من المستوى  $x = 0$  فان نهاية الحقل الكهربائي  $\vec{E}$  تصف منحن واقع في مستطيل أضلاعه  $2E_{OY}$  و  $2E_{OZ}$  وهذا المنحن سنوضحه الآن . لننظر في الحالات التالية:

1- اذا كان  $\phi_2 - \phi_1 = 0$  فان:  $\frac{E_y}{E_z} = \frac{E_{OY}}{E_{OZ}}$  والحقل

الكهربائي يحتفظ بمنحن ثابت . والموجة هي عبارة عن موجة كهرطيسية مستقطبة استقطابا مستقيما . ويكون منحن الاستقطاب

هو منحن الحقل الكهربائي  $\vec{E}$  .

$$2- اذا كان:  $\phi_2 - \phi_1 = \bar{n}$  فان  $\frac{E_y}{E_z} = - \frac{E_{OY}}{E_{OZ}}$$$



وهنا أيضاً يحتفظ الحقل  $\vec{E}$  بمنحى ثابت  
والموجة الكهرطيسية أيضاً مستقطبة  
استقطاباً مستقيماً .

3- لنستعرض الحالة العامة التي لا يكون

فيها فرق الطور  $\varphi_2 - \varphi_1$  مساوياً الشكل ( 8 - 2 )

عدداً صحيحاً من  $\pi$  يمكن كتابة المعادلات ( 15 ) على الشكل :

$$\frac{E_y}{E_{Oy}} = \cos(\omega t - \varphi_1) = \cos \omega t \cos \varphi_1 + \sin \omega t \sin \varphi_1 \quad (2-16)$$

$$\frac{E_z}{E_{Oz}} = \cos(\omega t - \varphi_2) = \cos \omega t \cos \varphi_2 + \sin \omega t \sin \varphi_2 \quad (2-17)$$

ولحذف الزمن من هاتين المعادلتين نضرب المعادلة ( 16 ) بـ  $\sin \varphi_2$

والمعادلة ( 17 ) بـ  $\sin \varphi_1$  ثم نطرح الثانية من الأولى فنجد :

$$\begin{aligned} \left(\frac{E_y}{E_{Oy}}\right) \sin \varphi_2 - \left(\frac{E_z}{E_{Oz}}\right) \sin \varphi_1 &= \cos \omega t (\sin \varphi_2 \cos \varphi_1 - \cos \varphi_2 \sin \varphi_1) = \\ &= \cos \omega t \sin(\varphi_2 - \varphi_1) \quad (2-18) \end{aligned}$$

ويضرب المعادلة ( 16 ) بـ  $\cos \varphi_2$  و ( 17 ) بـ  $\cos \varphi_1$  ثم طرح الأولى

من الثانية نجد :

$$\left(\frac{E_z}{E_{Oz}}\right) \cos \varphi_1 - \left(\frac{E_y}{E_{Oy}}\right) \cos \varphi_2 = \quad (2-19)$$

$$\sin \omega t (\sin \varphi_2 \cos \varphi_1 - \cos \varphi_2 \sin \varphi_1) = \sin \omega t \sin(\varphi_2 - \varphi_1)$$

وبتربيع المعادلتين ( 18 ) و ( 19 ) ثم جمعها نكون قد حذفنا الزمن

، فنحصل على :

$$\left(\frac{E_y}{E_{Oy}}\right)^2 + \left(\frac{E_z}{E_{Oz}}\right)^2 - 2 \left(\frac{E_y}{E_{Oy}}\right) \left(\frac{E_z}{E_{Oz}}\right) \cos(\varphi_2 - \varphi_1) = \sin^2(\varphi_2 - \varphi_1) \quad (2-20)$$

تمثل هذه المعادلة معادلة اهليلج ترسمه نهاية المتجهة  $\vec{E}$  . ونقول

ان الموجة المستوية مستقطبة استقطاباً اهليلجياً . يكون المحوران

الرئيسيان للاهليلج مائلان عموماً على المحورين  $y$  و  $z$  ولكنهما

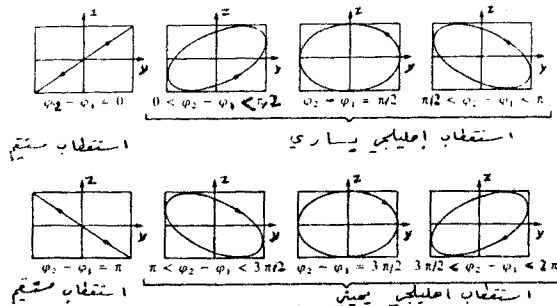
ينطبقان عليهما عندما يكون فرق الطور  $\varphi_2 - \varphi_1$  مساويا :

$$\varphi_2 - \varphi_1 = \frac{\pi}{2}, \frac{3\pi}{2}, \frac{5\pi}{2}, \dots$$

يبين الشكل (9 - 2) المنحنيات التي ترسمها نهاية المتجهة

$\vec{E}$  من أجل قيم مختلفة لفرق الطور  $\varphi_2 - \varphi_1$  وذلك بالنسبة لمراقب يقف مقابل منحنى الانتشار . في الحالة الخاصة التي يكون فيها فرق الطور مساويا :  $\varphi_2 - \varphi_1 = \frac{\pi}{2}, \frac{3\pi}{2}, \dots$  فإن الموجة تكون مستقطبة دائريا . اذا كانت جهة دوران الاهليج بعكس عقارب الساعة سمى الاستقطاب عندئذ بالاستقطاب الاهليجي اليساري (دائري يساري) واذا كانت جهة دوران الاهليج مع عقارب الساعة سمى الاستقطاب بالاستقطاب الاهليجي اليميني (أو الدائري اليميني) . وللتمييز بين جهة الدوران توجد اصطلاحات أسهلها هو التالي :

اذا كانت اشارة  $\sin(\varphi_2 - \varphi_1)$  موجبة فالدوران يكون بجهة اصابع اليد اليمنى ( استقطاب يساري ) اما اذا كانت اشارة  $\sin(\varphi_2 - \varphi_1)$  سالبة مثلا  $\varphi_2 - \varphi_1 = \frac{3\pi}{2}$  فان الدوران يكون باتجاه اصابع اليد اليسرى ( استقطاب يميني ) .



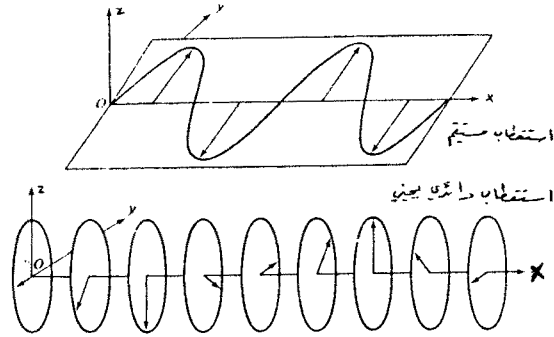
الشكل (9 - 2) الحالات المختلفة للاستقطاب

ولفهم فكرة الاستقطاب على نحو أفضل نوضح على الشكل

(10 - 2) انتشار موجتين بالاتجاه الموجب لـ  $OX$  في لحظة زمنية

ما  $t$  . الأولى تمثل الاستقطاب المستقيم لموجة مستوية والثانية

الاستقطاب الدائري اليميني .



الشكل (10 - 2)

6-1-2 - متجهة بوينتنگ:

لنوجد الجداء الخارجي  $\vec{E} \wedge \vec{H}$  من أجل موجة كهرومغناطيسية

مستوية مستقطبة خطياً وفق  $OY$  وتنتشر بالاتجاه  $OX$  :

$$\vec{E} \wedge \vec{H} = \begin{vmatrix} \vec{i} & \vec{j} & \vec{k} \\ 0 & E_Y & 0 \\ 0 & 0 & H_Z \end{vmatrix} = \vec{i} E_Y H_Z = H_Z^2 \mu_0 c \vec{i} = E_Y^2 \epsilon_0 c \vec{i} \quad (2-21)$$

فالموجة الكهرومغناطيسية المستوية تنتشر اذن في الفراغ وفق منحنى المتجهه

$\vec{E} \wedge \vec{H}$  وبأخذ تفرق هذه المتجهه نجد:

$$\vec{\nabla} \cdot (\vec{E} \wedge \vec{H}) = -\vec{E} \cdot (\vec{\nabla} \wedge \vec{H}) + \vec{H} \cdot (\vec{\nabla} \wedge \vec{E}) \quad (2-22)$$



$$\begin{aligned}
 &= -\vec{E} \cdot \epsilon_0 \frac{\partial \vec{E}}{\partial t} - \vec{H} \cdot \mu_0 \frac{\partial \vec{H}}{\partial t} \\
 &= -\frac{\partial}{\partial t} \left( \frac{\epsilon_0 E^2}{2} + \frac{\mu_0 H^2}{2} \right) \quad (2-23)
 \end{aligned}$$

وإذا كاملنا العلاقة ( 23 ) على حجم  $v$  يحد سطحها ما  $s$  ثم طبقنا نظرية غوس - اوستراغرادسكي على الطرف الايسر نحصل على العلاقة التالية :

$$\oint_s (\vec{E} \wedge \vec{H}) \cdot d\vec{s} = -\frac{\partial}{\partial t} \int_v \left( \frac{\epsilon_0 E^2}{2} + \frac{\mu_0 H^2}{2} \right) dv \quad (2-24)$$

يمثل التكامل في الطرف الايمن مجموع الطاقتين الكهربائيـة والمغناطيسية أي يمثل طاقة الحقل الكهرطيسي ، والعلاقة ( 24 ) تدل على أن الطاقة الكهرطيسية الضائعة في واحدة الحجم وخلال واحدة الزمن تساوي الى تدفق الطاقة الكهرطيسية الكلية الخارجة من السطح  $s$  الذي يحد الحجم  $v$  خلال واحدة الزمن ، تدعى الكمية :

$$\vec{P} = \vec{E} \wedge \vec{H} \quad (2-25)$$

بمتجهة بوينتغ ، وهذه المتجهة تكون عمودية على مستوى الموجة وموجهة وفق منى انتشار الموجة ، شكل ( 11 - 2 ) أما طوليتها فتساوي

$$\begin{aligned}
 P &= c \epsilon_0 E^2 = \mu_0 c H^2 \\
 &= c \left( \frac{1}{2} \epsilon_0 E^2 + \frac{1}{2} \mu_0 H^2 \right) \quad (2-26)
 \end{aligned}$$

$$P = c \cdot u \quad (2-27)$$

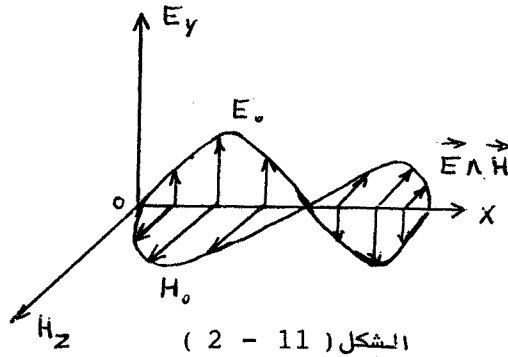
ومتجهة بوينتغ تساوي اذن الى جداء سرعة الانتشار ( السرعة الطورية ) بكثافة الطاقة الكهرطيسية  $u$  . عندما تكون الموجة الكهرطيسية المستوية هي موجة جيبية فان القيمة الوسطى لمتجهة بوينتغ تساوي :

$$\langle \vec{P} \rangle = c \epsilon_0 E_{\text{eff}}^2 \vec{i} = \frac{1}{2} \cdot c \epsilon_0 E_i^2 \vec{i}$$

$$= 2,66 \times 10^{-3} \cdot E_{\text{eff}}^2 \vec{i} \quad (\text{w/m}^2) \quad (2-28)$$

( السرعة الطورية ) × ( متوسط كثافة الطاقة ) =

يمكننا أن نعتبر دائما أن الطاقة الكهرطيسية ( في الامواج الكهرطيسية الجيبية تعتبر متوسط كثافة الطاقة ) تنتشر بسرعة مساوية الى سرعة انتشار الموجة الكهرطيسية . أما عند انتشار الامواج الكهرطيسية في الاوساط المختلفة المناحي فان سرعة انتشار الموجة لاتساوي عندئذ سرعة انتشار الطاقة . الشكل (11-2) : متجهة بوينتنغ لموجة كهرطيسية جيبية مستقطبة استقطابا مستقيما .



ملاحظة ( 1 ) :

ان متجهة بوينتنغ التي تعطى بالجداء الخارجي للحقلين الكهربائي  $\vec{E}$  والمغناطيسي  $\vec{H}$  ليست تابعا خطيا للحقل الكهرطيسي .

ملاحظة ( 2 ) :

ان الموجة المستوية من الناحية النظرية تكون لانهاية وتنقل طاقة لانهاية وهذا ليس له أي حقيقة فيزيائية . ولكن هذا لا يقلل من أهمية دراسة الموجة المستوية وللتذكير نقول بأن

الموجة المستوية تحقق هدفين :

- الاول : انها تمثل موضعيا حقل الاشعاع والمسألة المتعلقة بلانهائية  
الموجة المستوية تزول .

- الثاني: عند تراكب الامواج المستوية نحصل على حقول معقدة كثيرا  
والطاقة التي تنقلها هذه الحقول تبقى منتهية .

### 7-1-2 - انتشار الامواج الكهرطيسية المستوية في الاوساط الناقلة :

تتميز هذه الاوساط بوجود قيم للناقلية  $\sigma$  تختلف عن الصفر .

ان معادلات ماكسويل في هذه الاوساط تساوي :

$$\left. \begin{aligned} \vec{\nabla} \wedge \vec{H} &= \epsilon \frac{\partial \vec{E}}{\partial t} + \vec{J}_C \\ \text{div } \vec{B} &= 0 \\ \vec{\nabla} \wedge \vec{E} &= -\mu \frac{\partial \vec{H}}{\partial t} \\ \vec{\nabla} \cdot \vec{E} &= 0 \end{aligned} \right\} \quad (2-29)$$

ان كثافة الشحنات  $\rho$  تنعدم داخل الناقل لان عدد الشحنات الموجبة  
والسالبة تتساوى بالعدد وسطيا من خلال أي حجم عنصري داخل الناقل .

وترتبط كثافة التيار  $\vec{J}_C$  مع الحقل الكهربائي  $\vec{E}$  بقانون أوم :

$$\vec{J}_C = \sigma \vec{E}$$

بأخذ دوار طرفي العلاقة الثالثة من المعادلات ( 29 ) نجد:

$$\begin{aligned} \vec{\nabla} \wedge \vec{\nabla} \wedge \vec{E} &= -\mu \vec{\nabla} \wedge \frac{\partial \vec{H}}{\partial t} \\ &= -\mu \epsilon \frac{\partial^2 \vec{E}}{\partial t^2} - \mu \sigma \frac{\partial \vec{E}}{\partial t} \end{aligned}$$

ولكن :

$$\vec{\nabla} \wedge \vec{\nabla} \wedge \vec{E} = \vec{\nabla} \vec{\nabla} \cdot \vec{E} - \nabla^2 \vec{E} = -\nabla^2 \vec{E}$$

نعوض قيمة الجداء المتجه في الطرف الايسر من المعادلة الاخيرة فنجد:

$$\nabla^2 \vec{E} - \mu\epsilon \frac{\partial^2 \vec{E}}{\partial t^2} - \mu\sigma \frac{\partial \vec{E}}{\partial t} = 0 \quad (2-30)$$

وهي معادلة الموجة للحقل الكهربائي في الوسط الناقل، واذا طبقنا

المؤثر  $\vec{\text{rot}}$  على طرفي العلاقة الاولى من (29) وباتباع نفس

الخطوات السابقة نجد بأن معادلة الموجة للحقل المغناطيسي هي من

الشكل:

$$\nabla^2 \vec{H} - \epsilon\mu \frac{\partial^2 \vec{H}}{\partial t^2} - \mu\sigma \frac{\partial \vec{H}}{\partial t} = 0 \quad (2-31)$$

واذا كانت الموجة المستوية مستقطبة استقطابا مستقيما وفق  $oy$

تنتشر وفق المحور  $ox$  فان المعادلات (30) و(31) تكتب

على الشكل:

$$\left. \begin{aligned} \frac{\partial^2 E_y}{\partial x^2} - \mu\epsilon \frac{\partial^2 E_y}{\partial t^2} - \mu\sigma \frac{\partial E_y}{\partial t} &= 0 \\ \frac{\partial^2 H_z}{\partial x^2} - \mu\epsilon \frac{\partial^2 H_z}{\partial t^2} - \mu\sigma \frac{\partial H_z}{\partial t} &= 0 \end{aligned} \right\} \quad (2-32)$$

نأخذ حلا للمعادلة الاولى من (32) على الشكل:

$$E_y(x, t) = E(x) e^{-i\omega t} \quad (2-33)$$

نعوض هذا الحل في المعادلة الاولى لـ (32) فنجد:

$$\frac{\partial^2 E(x)}{\partial x^2} + k^2 E(x) = 0 \quad (2-34)$$

$$\cdot k^2 = \epsilon\mu\omega^2 + i\mu\sigma\omega \quad \text{حيث}$$

وهذه المعادلة تابعة لـ  $x$  فقط (تدعى بمعادلة هلمولتز حيث

تكون  $\vec{E}$  في الحالة العامة تابعة لـ  $\vec{r}$ ) وحلها العام من الشكل:

$$E(x) = E_0 \cdot e^{ikx} \quad (2-35)$$

• حيث اقتصرنا على الجذر التربيعي الموجب لـ  $k$

والحل العام للمعادلة الأولى من ( 32 ) يكون على الشكل :

$$E_y(x,t) = E_0 \cdot e^{ikx} \cdot e^{-i\omega t} \quad (2-36)$$

ان العدد الموجي  $k$  هو عبارة عن عدد عقدي، ويمكن كتابته على الشكل:

$$k = k_r + ik_i \quad (2-37)$$

حيث  $k_r$  و  $k_i$  كميات موجبة، وتساوي الى :

$$k_r = \omega \left( \frac{\epsilon \mu}{2} \right)^{1/2} \cdot \left\{ \left( 1 + \frac{\sigma^2}{\omega^2 \epsilon^2} \right)^{1/2} + 1 \right\}^{1/2} \quad (2-38)$$

$$k_i = \omega \left( \frac{\epsilon \mu}{2} \right)^{1/2} \cdot \left\{ \left( 1 + \frac{\sigma^2}{\omega^2 \epsilon^2} \right)^{1/2} - 1 \right\}^{1/2} \quad (2-39)$$

وبالتالي فان  $k$  تساوي :

$$k = \omega (\epsilon \mu)^{1/2} \cdot \left( 1 + \frac{\sigma^2}{\omega^2 \epsilon^2} \right)^{1/4} \exp \left[ i \arctg \left( \frac{k_i}{k_r} \right) \right] \quad (2-40)$$

نعرف مسافة التخماد  $\delta$  أو ما يسمى عمق التوغل بالعلاقة :

$$\delta = \frac{1}{k_i} = \frac{1}{\omega \left( \frac{\epsilon \mu}{2} \right)^{1/2} \cdot \left\{ \left( 1 + \frac{\sigma^2}{\omega^2 \epsilon^2} \right)^{1/2} - 1 \right\}^{1/2}} \quad (2-41)$$

كما نعرف السرعة الطورية وقرينة الانكسار بالعلاقتين :

$$\text{السرعة الطورية } v = \frac{\omega}{k_r} = \frac{1}{\left( \frac{\epsilon \mu}{2} \right)^{1/2} \cdot \left\{ \left( 1 + \frac{\sigma^2}{\omega^2 \epsilon^2} \right)^{1/2} + 1 \right\}^{1/2}} \quad (2-42)$$

$$\begin{aligned} \hat{n} = \frac{c}{\omega} k &= \frac{c}{\omega} (k_r + ik_i) = \frac{c}{\omega} \sqrt{\epsilon \mu \omega^2 + i \mu \sigma \omega} \\ &= \sqrt{\epsilon_r \mu_r + i \mu_r \sigma / \omega \epsilon_0} = n + in' \end{aligned} \quad (2-43)$$

وقرينة الانكسار كما نلاحظ هي عدد عقدي . من العلاقة ( 43 ) يمكن

ايجاد كل من  $n$  و  $n'$  :

$$n = \left[ -\frac{\epsilon_r \mu_r}{2} \left( \sqrt{1 + \frac{\sigma^2}{\omega^2 \epsilon^2}} + 1 \right) \right]^{\frac{1}{2}} \quad (2-44)$$

$$n' = \left[ \frac{\epsilon_r \mu_r}{2} \left( \sqrt{1 + \frac{\sigma^2}{\omega^2 \epsilon^2}} - 1 \right) \right]^{\frac{1}{2}} \quad (2-45)$$

تظهر العلاقتين (44) و(45) تابعة قرينة الانكسار لتواتر الموجة الكهروضوئية ولذلك فان الوسط الناقل يعتبر وسطا ميسودا . ويتعويض قيمة  $k$  من (37) في المعادلة (36) نجد أن المقامل الكهربائي في الوسط الناقل يعطى بالعلاقة :

$$\begin{aligned} E_Y(x, t) &= E_O e^{ikx} \cdot e^{-i\omega t} \\ &= E_O \cdot e^{i[kx - \omega t]} = E_O e^{i[(k_r + ik_i)x - \omega t]} \\ E_Y(x, t) &= E_O \cdot e^{[i(k_r x - \omega t) - \frac{x}{\delta}]} \end{aligned} \quad (2-46)$$

وبحساب  $H$  نجد أن الحقل المغناطيسي يساوي :

$$H_Z(x, t) = H_O e^{[i(k_r x - \omega t + \theta) - \frac{x}{\delta}]}$$

حيث :

$$H_O = E_O \left( \frac{\epsilon}{\mu} \right)^{\frac{1}{2}} \left\{ 1 + \frac{\sigma^2}{\omega^2 \epsilon^2} \right\}^{1/4}, \quad \theta = \arctg \frac{k_i}{k_r}$$

تمثل فرق الطور بين  $\vec{H}$  و  $\vec{E}$  .

تدل المعادلتين (46) و(47) على أن سعة الحقل الكهربائي  $\vec{E}$  والمغناطيسي  $\vec{H}$  تتناقص وفق منحني أسّي هو  $e^{-\frac{x}{\delta}}$  ولتبيان تغير كل من الحقل الكهربائي والحقل المغناطيسي داخل

الناقل مثل على الشكل التالي (12 - 2) تغير كل من  $E_Y$  و  $H_Z$

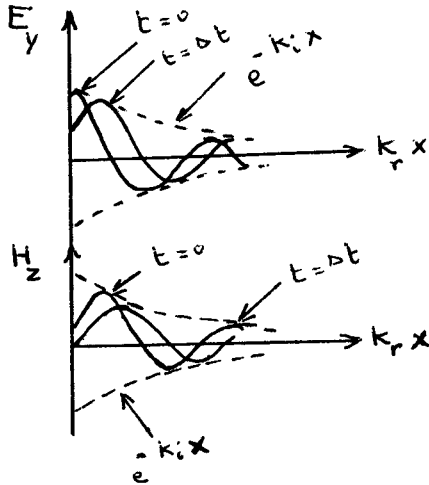
بدلالة  $k_r x$  انطلاقا من العلاقتين التاليتين :

$$E_y(x,t) = \text{Re} \{ E_0 \cdot e^{[i(k_r x - \omega t) - k_i x]} \}$$

$$= E_0 e^{-k_i x} \cdot \cos(k_r x - \omega t) \quad (2-48)$$

$$H_z(x,t) = \text{Re} \{ H_0 \cdot e^{[i(k_r x - \omega t + \theta) - k_i x]} \}$$

$$= H_0 e^{-k_i x} \cdot \cos(k_r x - \omega t + \theta) \quad (2-49)$$



الشكل ( 2 - 12 )

### 8-1-2 انتشار الامواج الكهرطيسية المستوية في النواقل الجيدة:

في هذه النواقل تكون الناقلية  $\sigma$  كبيرة والمقدار  $\frac{\sigma}{\omega \epsilon}$  يكون أكبر بكثير من الواحد:  $\frac{\sigma}{\omega \epsilon} \gg 1$  والمقدار  $k^2$  يصبح مساويا

$$k^2 = \epsilon \omega^2 \mu + i \mu \sigma \omega \simeq i \mu \sigma \omega \quad \text{الى :} \quad (2-50)$$

ومنه فان:

$$k = (i \mu \sigma \omega)^{\frac{1}{2}} \quad (2-51)$$

ولكن :  $\sqrt{i} = \frac{1+i}{\sqrt{2}}$  والعلاقة ( 51 ) تصبح على الشكل :

$$k = (i\mu\sigma\omega)^{\frac{1}{2}} = \left(\frac{\omega\mu\sigma}{2}\right)^{\frac{1}{2}}(1 + i) \quad (2-52)$$

ويكون لدينا أيضا في هذه الحالة :

$$k_r = k_i = \left(\frac{\omega\mu\sigma}{2}\right)^{\frac{1}{2}} \quad (2-53)$$

وعمق التوغل  $\delta$  يساوي :

$$\delta = \frac{1}{k_i} = \left(\frac{2}{\omega\mu\sigma}\right)^{\frac{1}{2}} \quad (2-54)$$

وكما تبين العلاقة ( 53 ) فان  $k_r$  و  $k_i$  تكون تابعة للناقلية ولتردد الموجة الكهرطيسية . وفي النواقل الجيدة تكون قيمة  $\sigma$  كبيرة ولذلك فان لمجم  $k_r$  و  $k_i$  تكون كبيرة أيضا وهذا يعني أن الموجة تتخامد بسرعة عند انتشارها في الناقل . بتعويض قيمة  $k_r$  و  $\delta$  في المعادلتين (46) و(47) فان الحقل الكهربائي

والمغناطيسي في النواقل الجيدة يساوي :

$$\left. \begin{aligned} E_Y(x,t) &= E_0 \cdot e^{-\left(\frac{\omega\mu\sigma}{2}\right)^{\frac{1}{2}} \cdot x} \cdot e^{i\left[\left(\frac{\omega\mu\sigma}{2}\right)^{\frac{1}{2}} \cdot x - \omega t\right]} \\ H_Z(x,t) &= H_0 \cdot e^{-\left(\frac{\omega\mu\sigma}{2}\right)^{\frac{1}{2}} \cdot x} \cdot e^{i\left[\left(\frac{\omega\mu\sigma}{2}\right)^{\frac{1}{2}} \cdot x - \omega t + \frac{\pi}{4}\right]} \end{aligned} \right\} (2-55)$$

وإذا حسبنا النسبة  $\frac{E_Y}{H_Z}$  نجد أنها تساوي الى :

$$\frac{E_Y}{H_Z} = \left(\frac{\omega\mu}{\sigma}\right)^{\frac{1}{2}} \cdot e^{-i\frac{\pi}{4}}$$

أي أن الحقل الكهربائي يتأخر بالطور بمقدار  $\frac{\pi}{4}$  عن الحقل المغناطيسي في النواقل الجيدة .

ان عمق التوغل  $\delta$  كما تبينه العلاقة ( 54 ) يتناسب عكسا مع الجذر التربيعي لتردد الموجة الكهرطيسية فمن أجل الترددات العالية تتوغل الموجة داخل الناقل الجيد لمسافة قصيرة جدا ويعرف عمق التوغل بأنه المسافة التي تتناقص فيها سعة الحقل بمقدار



$\frac{1}{\epsilon}$  أي بمقدار 37% من قيمتها البدائية . فمن أجل النحاس حيث  $\mu_0 \approx \mu$  و  $\sigma = 5.8 \times 10^7 (\Omega.m)^{-1}$  وعند التردد 60 Hz فان  $\delta \approx 9 \times 10^{-3} m$  اما عند التردد 1 MHz فان  $\delta \approx 6.6 \times 10^{-5} m$  وعند التردد  $3 \times 10^4$  MHz فان  $\delta \approx 3.8 \times 10^{-7} m$  وهكذا فان الامواج الكهرطيسية العالية التردد تنتشر فقط الى مسافة صغيرة جدا في النواقل، والمقل الكهربائي تبعا لذلك ينحصر في منطقة صغيرة جدا على سطح الناقل وفي هذه المنطقة يجري تيار الناقلية ومقاومة الناقل ستزداد وعندئذ بازياد تردد الموجة الكهرطيسية ، ومما تقدم نخلص الى نتيجة مفادها ان النواقل تعمل على حجب الامواج الكهرطيسية .

وكما وجدنا أن عمق التوغل  $\delta$  والعدد الموجي  $k_i$  يتبعان تردد الموجة الكهرطيسية فان السرعة الطورية  $v$  تتعلق أيضا بتردد الموجة الكهرطيسية . ومن تعريف السرعة الطورية نجد أنها تساوي :

$$v = \frac{\omega}{k_r} = \frac{\omega}{\left(\frac{\omega \sigma \mu}{2}\right)^{\frac{1}{2}}} = \omega \delta = \left(\frac{2\omega}{\mu \sigma}\right)^{\frac{1}{2}} \quad (2-56)$$

أما قرينة الانكسار في النواقل الجيدة فتساوي :

$$n' = n = \left(\frac{\sigma \mu_r}{2\epsilon_0 \omega}\right)^{\frac{1}{2}} = \frac{c}{v} \quad (2-57)$$

فعندما تكون  $\delta$  صغيرة فان السرعة الطورية  $v$  تكون كذلك وقرينة الانكسار  $n$  للناقل تكون كبيرة جدا وهذا ما يشرح كون الناقل الجيد عاكسا قويا للمؤء . وبما أن السرعة الطورية هي تابع التردد فان النواقل الجيدة تعتبر أوساطا مبددة شائنة نظرا لكون  $\frac{\partial v}{\partial \lambda} < 0$  ولذلك فان السرعة المجموعية تكون أكبر من السرعة الطورية ( أو السرعة الموجية ) .

نبيت في الجدول التالي قيم كل من  $\delta$  و  $v$  و  $n$  للنحاس عنـــــــــــــــــد  
تواترات مختلفة لموجة كهربية :

| التواتر<br>Hz      | $\lambda$ (في الفراغ) | $\delta$<br>(m)      | $v = \omega \epsilon$ (m/sec) | $n = c/v$         |
|--------------------|-----------------------|----------------------|-------------------------------|-------------------|
| 60                 | 5000 km               | $9 \times 10^{-3}$   | 3.2                           | $9.5 \times 10^7$ |
| $10^6$             | 300 m                 | $6.6 \times 10^{-5}$ | $4.1 \times 10^2$             | $7.3 \times 10^5$ |
| $3 \times 10^{10}$ | $10^{-2}$ m           | $3.9 \times 10^{-7}$ | $7.1 \times 10^4$             | $4.2 \times 10^3$ |

سرعة الصوت في النحاس  $3.6 \times 10^3$  (m.s<sup>-1</sup>)

وجدنا أن كثافة الطاقة الكهربائية في الخلاء تساوي الطاقة  
المغناطيسية فهل يتحقق ذلك في النواقل الجيدة ؟  
إذا أخذنا نسبة كثافة الطاقة الكهربائية الى كثافة الطاقة المغناطيسية  
نجد :

$$\frac{\text{كثافة الطاقة الكهربائية}}{\text{كثافة الطاقة المغناطيسية}} = \frac{\frac{1}{2} \epsilon E_0^2}{\frac{1}{2} \mu H_0^2} = \frac{\omega \epsilon}{\sigma} \ll 1 \quad (2-58)$$

وهذا يثبت أن كثافة الطاقة المغناطيسية أكبر بكثير من كثافة الطاقة  
الكهربائية أي أن الطاقة في النواقل الجيدة تكون على شكل طاقة  
مغناطيسية ويمكن شرح هذه النتيجة على الشكل التالي :

بما أن الناقلية  $\sigma$  كبيرة جدا في النواقل الجيدة فإن  
النسبة  $\frac{\vec{E}}{\vec{j}_c}$  تكون صغيرة جدا :  $\frac{\vec{E}}{\vec{j}_c} \ll 1$  والمحلل الكهربائي  
 $\vec{E}$  يكون ضعيفا في حين أن قيمة كثافة التيار  $\vec{j}_c$  وبالتالي قيمة  $\vec{H}$   
تكون كبيرة .

9-1-2 - نظرية بوينتغ في الاوساط الناقلة:

لنوجد متجهة بوينتغ في الحالة العامة عندما تنتشر

الموجة الكهرطيسية في الاوساط الناقلة .

اذا ضربنا معادلة ماكسويل الثانية :

$$\vec{\mathcal{J}}_C = \vec{\nabla} \wedge \vec{H} - \epsilon \frac{\partial \vec{E}}{\partial t}$$

التي تربط بين كميات لها أبعاد كثافة التيار ب  $\vec{E}$  فاننا نحصل

على كميات لها الكثافة المجرية للطاقة والعلاقة السابقة تصبح من

$$\vec{E} \cdot \vec{\mathcal{J}}_C = \vec{E} \cdot (\vec{\nabla} \wedge \vec{H}) - \vec{E} \cdot \epsilon \frac{\partial \vec{E}}{\partial t} \quad \text{الشكل :} \quad (2-59)$$

وبالاستفادة من المطابقة :

$$\vec{\nabla} \cdot (\vec{E} \wedge \vec{H}) = \vec{H} \cdot (\vec{\nabla} \wedge \vec{E}) - \vec{E} \cdot (\vec{\nabla} \wedge \vec{H})$$

فان العلاقة (59) تصبح على الشكل :

$$\vec{E} \cdot \vec{\mathcal{J}}_C = \vec{H} \cdot (\vec{\nabla} \wedge \vec{E}) - \vec{\nabla} \cdot (\vec{E} \wedge \vec{H}) - \epsilon \vec{E} \cdot \frac{\partial \vec{E}}{\partial t} \quad (2-60)$$

ومن معادلة ماكسويل الثالثة (29 - 2) :

$$\vec{\nabla} \wedge \vec{E} = -\mu \frac{\partial \vec{H}}{\partial t}$$

نعوض قيمة الجدا  $\vec{\nabla} \wedge \vec{E}$  بالمعادلة (60) فنحصل على العلاقة التالية :

$$\vec{E} \cdot \vec{\mathcal{J}}_C = -\mu \vec{H} \cdot \frac{\partial \vec{H}}{\partial t} - \epsilon \vec{E} \cdot \frac{\partial \vec{E}}{\partial t} - \vec{\nabla} \cdot (\vec{E} \wedge \vec{H}) \quad (2-61)$$

$$= -\frac{1}{2} \left( \mu \frac{\partial H^2}{\partial t} + \epsilon \frac{\partial E^2}{\partial t} \right) - \vec{\nabla} \cdot (\vec{E} \wedge \vec{H})$$

وبالمكاملة على الحجم  $v$  واستخدام نظرية غوس - اوسترا غرادسكي

على الحد الثاني من الطرف الايمن نجد :

$$\int_V \vec{E} \cdot \vec{\mathcal{J}}_C dv + \frac{\partial}{\partial t} \int_V \left( \frac{\mu}{2} H^2 + \frac{1}{2} \epsilon E^2 \right) dv = -\oint_S (\vec{E} \wedge \vec{H}) \cdot d\vec{s} \quad (2-62)$$

حيث  $S$  هو السطح المغلق الذي يحده الحجم  $v$  . تدعى العلاقة (62)

بنظرية بوينتنغ أو معادلة انحفاظ الطاقة . الحد الاول من الطرف  
الايسر يمثل الطاقة الكهربائية الضائعة في واحدة الزمن ضمن الحجم  $V$   
بفعل جول ، أما الحد الثاني فيمثل تزايد الطاقة الكهربائية في  
واحدة الزمن في نفس الحجم  $V$  . ويمثل الطرف الايمن مع اشارته  
السالبة تدفق الطاقة الكهربائية التي تدخل الحجم  $V$  ، في واجهة  
الزمن ، وبدون اشارة ناقص يعبر عن تدفق طاقة الكهربائية الخارجة من  
السطح  $V$  الذي يحده الحجم  $S$  . ويمكن صياغة العلاقة ( 62 ) على  
النحو التالي :

ان تدفق الطاقة الكهربائية الى داخل السطح  $S$  في واحدة  
الزمن يساوي الى تزايد الطاقة الكهربائية في واحدة الزمن زائد  
الطاقة الكهربائية الضائعة في واحدة الزمن بفعل جول في نفس الحجم  $V$   
المحدود بالسطح المغلق  $S$  .

في الحقيقة ، يمكن للمقدار  $\vec{E} \cdot \vec{j}_c$  أن يعبر عن عدة  
حالات فيزيائية أو بشكل آخر نقول انه يأخذ عدة معاني فيزيائية  
فمثلا عند جريان تيار كهربائي في ناقل تتولد فيه حرارة والمقدار  
 $\vec{E} \cdot \vec{j}_c = j_c^2 / \sigma$  يعبر عن كمية الطاقة الضائعة على شكل حرارة بفعل  
جول في واحدة الحجم من الناقل وخلال واحدة الزمن والتكامل  
 $\int_V j_c^2 / \sigma dv$  يساوي الى  $RI^2$  وهذه هي الاستطاعة الضائعة على شكل  
حرارة بفعل جول . عند حركة الاجسام المشحونة في حقل كهربائي  
يتم بتبادل للطاقة بين الحقل والطاقة الميكانيكية للاجسام المشحونة  
التي تنقل التيار والتي نادرا ماتفقد الطاقة عن طريق التصادم .  
عند عدم وجود قوة ميكانيكية متبقية تؤثر على الشحنات فان معادلة

القوة تكون :

$$\vec{F} = \vec{E} \cdot Q_V = m_V \frac{d\vec{v}}{dt}$$

حيث  $m_V =$  الكثافة الكتلية للشحنات المسرعة . ولكن :

$$\begin{aligned} \vec{E} \cdot \vec{j}_C &= \vec{E} \cdot Q_V \vec{v} = m_V \frac{d\vec{v}}{dt} \vec{v} \\ &= \frac{d}{dt} \left( \frac{1}{2} m_V v^2 \right) \end{aligned}$$

وهكذا فان  $\vec{E} \cdot \vec{j}_C$  يساوي الى تغير الطاقة المركبة للشحنات في واحدة الزمن . فاذا زادت الطاقة المركبة فان الحقل يقوم بعمل على الشحنات كما يفعل في المسرع Betatron أو كما يفعل في حالة تيار مستمر على الصمام الالكتروني . واذا تناقصت الطاقة المركبة فان الشحنات تقوم بعمل على الحقل كما تفعل الالكترونات على حقل التيار المتناوب في المضخات أو في الترانزيستور . الخ . . . .

### 10-1-2 - نظرية بوينتنگ في الصيغة العقدية:

عندما نعبر عن الحقلين الكهربائي والمغناطيسي بالصيغة

$$\vec{p}_C = \vec{E} \wedge \vec{H}^* \quad (2-63)$$

حيث  $\vec{H}^*$  هو المرافق العقدي للحقل المغناطيسي  $\vec{E}$  و  $\vec{H}$  يكون

تابعين للامدائيات والزمن . ونعرف أيضا متوسط تدفق الاستطاعة  $\langle \vec{p}_C \rangle$

ومتوسط كثافة الطاقة الكلية  $\langle u \rangle$  بالعلاقتين التاليتين :

$$\left. \begin{aligned} \langle \vec{p}_C \rangle &= \frac{1}{2} R_e (\vec{E} \wedge \vec{H}^*) \\ \langle u \rangle &= \frac{1}{4} R_e (\vec{E} \cdot \vec{D}^* + \vec{H} \cdot \vec{B}^*) \end{aligned} \right\} \quad (2-64)$$

لاستنتاج نظرية بوينتنغ في الصيغة العقدية نضرب معادلة ماكسويل

الاولى بـ  $\vec{H}^*$  والمرافق العقدي للمعادلة الثانية بـ  $\vec{E}$  فينتج:

$$\vec{H}^* \cdot \vec{\nabla} \wedge \vec{E} = -\vec{H}^* \cdot \frac{\partial \vec{B}}{\partial t}$$

$$\vec{E} \cdot \vec{\nabla} \wedge \vec{E}^* = \vec{E} \cdot \vec{j}_c^* + \vec{E} \frac{\partial D^*}{\partial t}$$

نطرح الاولى من الثانية فنحصل على :

$$\vec{E} \cdot \vec{\nabla} \wedge \vec{E}^* - \vec{H}^* \cdot \vec{\nabla} \wedge \vec{E} = \vec{E} \cdot \vec{j}_c^* + \vec{E} \frac{\partial D^*}{\partial t} + \vec{H}^* \frac{\partial \vec{B}}{\partial t} .$$

$$-\nabla \cdot (\vec{E} \wedge \vec{H}^*) = \vec{E} \cdot \vec{j}_c^* + \vec{E} \frac{\partial D^*}{\partial t} + \vec{H}^* \frac{\partial \vec{B}}{\partial t}$$

وبالمكاملة على الحجم  $V$  المحاط بالسطح المغلق  $S$  وبتطبيق نظرية

غوس استرأهرادسكي على الطرف الايسر نجد :

$$-\oint \vec{p}_c \cdot d\vec{s} = \int_V \vec{E} \cdot \vec{j}_c^* dv + \int_V (\epsilon \vec{E} \cdot \frac{\partial \vec{E}^*}{\partial t} + \mu \vec{H}^* \cdot \frac{\partial \vec{H}}{\partial t}) dv \quad (2-65)$$

وهي نظرية بوينتنغ في الصيغة العقدية .

ملاحظة :

اذا طبقنا المعادلة ( 6 ) على حالة التيار المستمر أي

الحالة التي يكون فيها  $E$  ثابتا مع الزمن فان الحد الثاني من

الطرف الايسر لهذه المعادلة يساوي الصفر أي

$$\frac{\partial}{\partial t} \left( \frac{\mu}{2} H^2 + \frac{\epsilon}{2} E^2 \right) = 0$$

المذكور على الاطلاق ويكون تدفق الطاقة الداخلة الى الحجم في واحدة

الزمن مساويا الى الطاقة الضائعة في واحدة الزمن بفعل جول .

11 - 1 - 2 - معادلات ماكسويل في الصيغة العقدية :

إذا أخذنا حلا لمعادلات ماكسويل في الخلاء على شكل موجة

مستوية أحادية اللون تنتشر وفق متجهة الواحدة  $\vec{n}$  (حيث

$$\left. \begin{aligned} \vec{E}(\vec{r}, t) &= \vec{E}_0(\vec{r}) e^{i(\vec{k} \cdot \vec{r} - \omega t)} \\ \vec{H}(\vec{r}, t) &= \vec{H}_0(\vec{r}) e^{i(\vec{k} \cdot \vec{r} - \omega t)} \end{aligned} \right\} \text{على الشكل التالي:} \quad (2-66)$$

حيث  $\vec{E}_0(\vec{r})$ ،  $\vec{H}_0(\vec{r})$  هي متجهات ثابتة وتكون عقدية في الحالة العامة.

وإذا عوضنا الطول ( 66 ) في معادلات ماكسويل في الخلاء:

$$\vec{\nabla} \wedge \vec{E} = -\mu_0 \frac{\partial \vec{H}}{\partial t} \quad \vec{\nabla} \wedge \vec{H} = \epsilon_0 \frac{\partial \vec{E}}{\partial t}$$

$$\vec{\nabla} \cdot \vec{H} = 0$$

$$\vec{\nabla} \cdot \vec{E} = 0$$

نجد:

$$\vec{\nabla} \cdot \vec{H} = \left( \frac{\partial}{\partial x} \vec{i} + \frac{\partial}{\partial y} \vec{j} + \frac{\partial}{\partial z} \vec{k} \right) (\vec{H}_0(\vec{r}) e^{i(k_x x + k_y y + k_z z - \omega t)})$$

$$= i \vec{E}_0(\vec{r}) (i k_x \vec{i} + j k_y + \vec{k} k_z) \cdot e^{i(\vec{k} \cdot \vec{r} - \omega t)} = i \vec{k} \cdot \vec{H}$$

ونجد بالمثل أن :

$$\vec{\nabla} \cdot \vec{E} = i \vec{k} \cdot \vec{E}$$

لنحسب أيضا كل من  $\vec{\text{rot}} \vec{H}$  و  $\vec{\text{rot}} \vec{E}$  :

$$\vec{\nabla} \wedge \vec{E} = \vec{\text{rot}} \vec{E} = \vec{\text{rot}} \left[ \vec{E}_0 e^{i(\vec{k} \cdot \vec{r} - \omega t)} \right] = -e^{-i\omega t} \vec{E}_0 \wedge \vec{\text{grad}} e^{i \vec{k} \cdot \vec{r}}$$

$$\vec{\text{grad}} e^{i \vec{k} \cdot \vec{r}} = i \vec{k} e^{i \vec{k} \cdot \vec{r}}$$

ولكن:

$$\vec{\nabla} \wedge \vec{E} = i\vec{k} \wedge \vec{E} \quad \text{ومنه:}$$

ومن جهة أخرى فان :

$$\mu_0 \frac{\partial \vec{H}}{\partial t} = -i\omega\mu_0 \vec{H}$$

والمعادلة تصبح بشكلها النهائي على الشكل:  $i\vec{k} \wedge \vec{E} = i\omega\mu_0 \vec{H}$  وهذه المعادلة يمكن كتابتها على الشكل :

$$\vec{k} \wedge \vec{E} - \omega\mu_0 \vec{H} = 0$$

وبالمثل فاننا نجد أن :

$$\vec{k} \wedge \vec{H} + \omega\epsilon_0 \vec{E} = 0$$

تدعى المعادلات التالية بمعادلات ماكسويل في الصيغة العقدية :

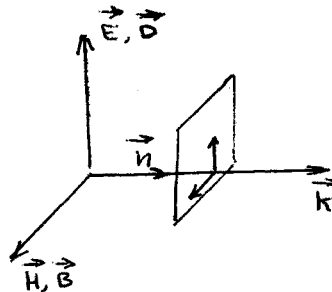
$$\left. \begin{array}{ll} \text{(a)} \quad \vec{k} \wedge \vec{E} - \omega\mu_0 \vec{H} = 0 & \vec{k} \wedge \vec{H} + \omega\epsilon_0 \vec{E} = 0 \quad \text{(c)} \\ \text{(b)} \quad \vec{k} \cdot \vec{E} = 0 & \vec{k} \cdot \vec{H} = 0 \quad \text{(d)} \end{array} \right\} (2-67)$$

ان العلاقتين ( b ) و ( d ) تدلان على أن الحقلين  $\vec{E}$  و  $\vec{H}$  متعامدان مع  $\vec{k}$  ، أي أنهما عرضيان . ومن ( a ) نستنتج أن :

$$\vec{H} = \sqrt{\frac{\epsilon_0}{\mu_0}} \vec{n} \wedge \vec{E} \quad (2-68)$$

ولذلك فان المتجهات  $\vec{E}$  و  $\vec{H}$  و  $\vec{k}$  تؤلف ثلثية متعامدة، الشكل

( 2 - 13 )



الشكل ( 2 - 13 )



## 12-1-2 - انتشار الامواج الكهرطيسية المستوية في العوازل :

في العوازل تكون  $\rho = 0$  أما الناقلية  $\sigma$  فاما أن تكون

صغيرة جدا أو أنها تساوي الصفر  $\sigma = 0$  .

1 - صغيرة جدا :

كما في العوازل الجيدة ويكون المقدار  $\frac{\sigma}{\omega\epsilon}$  أصغر بكثير

من الواحد ولذلك يمكن أن ننشر المقدار  $(1 + \frac{\sigma^2}{\omega^2\epsilon^2})^{\frac{1}{2}}$  على النحو

التالي :

$$(1 + \frac{\sigma^2}{\omega^2\epsilon^2})^{\frac{1}{2}} \simeq 1 + \frac{\sigma^2}{2\omega^2\epsilon^2} + \dots$$

أما العدد الموجي  $k_i$  و  $k_r$  فيساويان:

$$k_i = \omega(-\frac{\epsilon\mu}{2})^{\frac{1}{2}} \sqrt{(1 + \frac{\sigma^2}{\omega^2\epsilon^2})^{\frac{1}{2}} - 1} \simeq \frac{\sigma}{2} \sqrt{\frac{\mu}{\epsilon}} \quad (2-69)$$

$$k_r = \omega(-\frac{\epsilon\mu}{2})^{\frac{1}{2}} [(1 + \frac{\sigma^2}{\omega^2\epsilon^2})^{\frac{1}{2}} + 1] \simeq \omega(-\frac{\epsilon\mu}{2})^{\frac{1}{2}} [2 + \frac{\sigma^2}{2\omega^2\epsilon^2}]^{\frac{1}{2}}$$

$$\simeq \omega\sqrt{\epsilon\mu} (1 + \frac{1}{8} \frac{\sigma^2}{\omega^2\epsilon^2}) \quad (2-70)$$

ان كلا من  $k_r$  و  $k_i$  يؤثر على تغير طور الموجة وعلى التخماد وعلى

انزياح الطور بين الحقل الكهربائي والحقل المغناطيسي في هذا

الوسط . والسرعة الطورية في العوازل الجيدة تساوي الى :

$$v = \frac{\omega}{k_r} = \frac{1}{\sqrt{\mu\epsilon} (1 + \frac{\sigma^2}{8\omega^2\epsilon^2})} \simeq v_0 (1 - \frac{\sigma^2}{8\omega^2\epsilon^2}) \quad (2-71)$$

حيث  $v_0 = \frac{1}{\sqrt{\mu\epsilon}}$  وهي السرعة الطورية للموجة في العازل عندما

$\sigma = 0$  ، نلاحظ من ( 71 ) أن سرعة الموجة الكهرومغناطيسية تكون نابعة للتردد، فعند الترددات العالية تزداد السرعة بحيث تقترب من القيمة  $v_0$  أما نقصان تردد الموجة فيؤدي الى نقصان السرعة الطورية  $v$  .

٢ - عندما  $\sigma = 0$  : فان  $k$  من العلاقة ( 50 ) تساوي :

$$k = (\epsilon\mu)^{\frac{1}{2}} \cdot \omega \quad (2-72)$$

وهي مقدار حقيقي ولذلك لا يوجد تخامد للموجة في مثل هذه العوازل أما السرعة الطورية  $v$  فتساوي :

$$v = \frac{\omega}{k} = \frac{\omega}{\omega(\epsilon\mu)^{\frac{1}{2}}} = \frac{1}{(\epsilon\mu)^{\frac{1}{2}}} \\ = \frac{c}{(\epsilon_r \mu_r)^{\frac{1}{2}}} \quad (2-73)$$

والسرعة الطورية للموجة الكهرومغناطيسية تكون أقل بكثير من سرعتها في الخلاء . وقرينة الانكسار تصبح مساوية :

$$n = \frac{c}{v} = (\epsilon_r \mu_r)^{\frac{1}{2}} \quad (2-74)$$

عندما يكون الوسط العازل غير مغناطيسي فان  $\mu_r = 1$  وقرينة الانكسار تساوي :

$$n = \sqrt{\epsilon_r} \quad (2-75)$$

ويمكن أن نستنتج أنه في هذه العوازل :

$$\frac{E_y}{H_z} = \left(\frac{\mu}{\epsilon}\right)^{\frac{1}{2}} \quad (2-76)$$

ويكون الحقل الكهربائي  $\vec{E}$  والمغناطيسي  $\vec{H}$  على اتفاق في الطور وتكون كثافة الطاقة الكهربائية مساوية الى كثافة الطاقة المغناطيسية :

$$\frac{1}{2} \epsilon E^2 = \frac{1}{2} \mu H^2$$

وكثافة الطاقة الكلية الاتية تساوي عندئذ  $\epsilon E^2$  أو  $\mu H^2$  .

لنجد أخيرا متوسط متجهة بوينتنگ  $\langle \vec{p}_c \rangle$  التي تمثل متوسط

تدفق الاستطاعة الزمني في واحدة المساحة من العازل :

$$\langle \vec{p}_c \rangle = \frac{1}{2} R_e (\vec{E} \wedge \vec{H}^*) = \frac{1}{2} \left( \frac{\epsilon}{\mu} \right)^{\frac{1}{2}} E_0^2 \vec{i} \quad (2-77)$$

$$= \left( \frac{\epsilon}{\mu} \right)^{\frac{1}{2}} E_{eff}^2 \vec{i} = v \epsilon E_{eff}^2 \vec{i} \quad (2-78)$$

$$= v \mu H_{eff}^2 \vec{i} \quad (2-79)$$

$$= 2.66 \times 10^{-3} \left( \frac{\epsilon_r}{\mu_r} \right)^{\frac{1}{2}} E_{eff}^2 \vec{i} \quad (w/m^2) \quad (2-80)$$

ومن ( 79 ) نلاحظ أن متوسط تدفق الاستطاعة الزمني أو القيمة المتوسطة لمتجهة بوينتنگ تساوي الى جداء السرعة الطورية بمتوسط كثافة الطاقة وهذه النتيجة مشابهة لتلك التي حصلنا عليها في حالة الخلاء .

## 2-2 - انتشار الامواج الكهرطيسية المستوية في الاوساط المختلفة المناحي:

كمثال على هذه الاوساط نذكر البلورات والايونوسفير ولذلك

سوف ندرس انتشار الامواج الكهرطيسية المستوية في كل منهما .

### 1 - 2 - 2 - انتشار الامواج الكهرطيسية المستوية في الايونوسفير (الجوالموئين):

عندما تنتشر موجة كهرطيسية في وسط يتألف من عدد متساو من

الالكترونات والايونات ( البلازما ) فانها تؤثر على حالة هذه الجسيمات

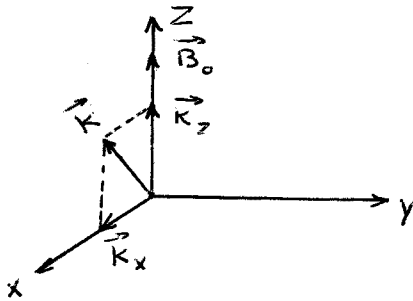
وللتبسيط سوف نفترض أن هذه الموجة تؤدي الى نشوء اضطراب طفيف في

البلازما بحيث نتجنب التأثيرات اللاخطية لهذا الاضطراب . فاذا كانت

السرعة الطورية للموجة أكبر من السرعة المرارية للالكترونات وكانت كل

من هاتين السرعتين أكبر من سرعة الالكترونات المتحرزة بفعل الحقل

الكهربائي لهذه الموجة فانه يمكننا عند ذلك استعمال معادلات خطية . في دراستنا هذه نفترض عدم وجود تصادمات بين الالكترونات والايونات بحيث لاتتوجب ظاهرة الطنين ، وجميع هذه الفرضيات تدفعنا الى دراسة مايعرف بظاهرة الموجة في البلازما الباردة الخالية من التصادمات \* بالاضافة الى ذلك ، اذا اغترق البلازما حقل مغناطيسي ثابت عندئذ سندرس انتشار الموجة في بلازما مختلفة المناحي حيث تأخذ ثابتة العزل الكهربائي  $\epsilon$  قيما تختلف باختلاف الاتجاهات . ان احدى أهداف دراستنا هي ايجاد ثابتة العزل الكهربائي لهذا الوسط ولذلك نفترض أن الحقل المغناطيسي الساكن الذي يجتاز البلازما يكون في الاتجاه  $z$  كما نفترض أن الموجة تنتشر في البلازما بحيث تكون متجهة الموجة  $\vec{k}$  متوضعة في المستوى  $xz$  كما في الشكل ( 14 - 2 ) . تعطى معادلة الحركة للكترون يخضع لتأثير حقل كهربيسي بالعلاقة التالية :



الشكل ( 14 - 2 )

$$m \frac{d\vec{v}}{dt} = e(\vec{E} + \vec{v} \wedge \vec{B}_0) \quad (2-81)$$

حيث  $\vec{B}_0 = B_0 \vec{a}_z$  هو الحقل المطبق ،

$\vec{a}_z$  هي متجهة الواحدة على

المحور  $z$  ، ونهمل هنا تأثير

حقل التمريض المغناطيسي للموجة

لأن  $|\vec{H}| \gg \mu_0 |\vec{B}_0|$  . فـ

الحالة التي يكون فيها التغيرات مع الزمن توافقية ( $e^{-i\omega t}$ ) فان

المعادلة ( 81 ) تصبح على الشكل :

$$\vec{v} = - \frac{e}{im\omega} (\vec{E} + \vec{v} \wedge \vec{B}_0) \quad (2-82)$$

وهذه المعادلة يمكن كتابتها على شكل ثلاث معادلات سلمية على النحو التالي :

$$\vec{v} = \begin{bmatrix} v_x \\ v_y \\ v_z \end{bmatrix} = \frac{e}{m} \begin{bmatrix} -\frac{\omega^2}{i\omega(\omega^2 - \Omega^2)} & -\frac{\Omega}{\omega^2 - \Omega^2} & 0 \\ \frac{\Omega}{\omega^2 - \Omega^2} & -\frac{\omega^2}{i\omega(\omega^2 - \Omega^2)} & 0 \\ 0 & 0 & -\frac{1}{i\omega} \end{bmatrix} \begin{bmatrix} E_x \\ E_y \\ E_z \end{bmatrix}$$

$$= \frac{e}{m} \hat{V} \vec{E} \quad (2-83)$$

حيث  $\Omega = \frac{eB_0}{m}$  تدعى بتواتر السيكلوترون،  $\hat{V}$  هي المصفوفة المعروفة في المعادلة ( 83 ) . يكون حقل التمريض الكهربائي الكلي  $\vec{D}$  في البلازما مؤلف من مجموع متجهة حقل التمريض الكهربائي  $\vec{D}_c = \frac{\vec{j}}{-i\omega}$  (الناجم عن مرور الموجة) (عند التغير التوافقي) ومتجهة حقل التمريض الكهربائي  $\vec{D} = \epsilon_0 \vec{E}$  في الفراغ المر. يكتب هذا المجموع على الشكل :

$$\vec{D} = \epsilon_0 \hat{\epsilon}_r \vec{E} = \epsilon_0 \vec{E} + \frac{\vec{j}}{-i\omega} \quad (2-84)$$

حيث  $\vec{j}$  هي كثافة تيار الناقلية وتساوي :  $\vec{j} = N e \vec{v}$  (2-85)

$N$  هو عدد الالكترونات في واحدة الحجم .

بجمع العلاقتين ( 85 ) و ( 83 ) نجد :

$$\begin{aligned}\vec{D} &= \epsilon_0 \epsilon_r \vec{E} = \epsilon_0 \vec{E} + \epsilon_0 \frac{Ne^2 \hat{V}}{-i\omega m \epsilon_0} \vec{E} \\ &= \epsilon_0 \left[ \hat{I} + \omega_p^2 \frac{\hat{V}}{-i\omega} \right] \vec{E}\end{aligned}\quad (2-86)$$

حيث  $\hat{I}$  هي مصفوفة الوحدة و  $\omega_p^2 = \frac{Ne^2}{\epsilon_0 m}$  هواتر البلازما .  
والعلاقة الاخيرة تكتب على الشكل :

$$\begin{aligned}\vec{D} &= \epsilon_0 \begin{bmatrix} a & -ib & 0 \\ ib & a & 0 \\ 0 & 0 & f \end{bmatrix} \begin{bmatrix} E_x \\ E_y \\ E_z \end{bmatrix} \\ &= \epsilon_0 \hat{\epsilon}_r \vec{E}\end{aligned}\quad (2-87)$$

$$\left. \begin{aligned}c &= 1 - \frac{\omega_p^2}{\omega^2} \left( \frac{\omega}{\omega + \Omega} \right) & a &= \frac{1}{2}(c + d) \\ d &= 1 - \frac{\omega_p^2}{\omega^2} \left( \frac{\omega}{\omega - \Omega} \right) & b &= \frac{1}{2}(c - d) \\ f &= 1 - \frac{\omega_p^2}{\omega^2}\end{aligned}\right\} \text{حيث :} \quad (2-88)$$

تكتب من جهة أخرى معادلتنا دوار ماكسويل في الصيغة العقدية لموجة

كهرطيسية في وسط من البلازما على الشكل :

$$\left. \begin{aligned}\vec{\nabla} \wedge \vec{E} &= i\omega \mu_0 \mu_r \vec{H} & (1) \\ \vec{\nabla} \wedge \vec{H} &= -i\omega \left( \frac{\vec{j}}{-i\omega} + \epsilon_0 \vec{E} \right) = -i\omega \epsilon_0 \hat{\epsilon}_r \vec{E} & (2)\end{aligned}\right\} \quad (2-89)$$

بأخذ دوار العلاقة (1 - 89) ثم تعويض قيمة  $\vec{\nabla} \wedge \vec{H}$  من العلاقة

( 2 - 89 ) فيها نجد :

$$\vec{\nabla} \wedge \vec{\nabla} \wedge \vec{E} - K_0^2 \mu_r \epsilon_r \vec{E} = 0 \quad (2-90)$$

$$\cdot K_0^2 = \frac{\omega^2}{c^2} \text{ حيث}$$

والمعادلة ( 90 ) تكتب باستخدام التمثيل المصفوفي على الشكل :

$$\begin{bmatrix} -\left(\frac{\partial^2}{\partial y^2} + \frac{\partial^2}{\partial z^2}\right) - K_0^2 \mu_r \epsilon_r & \frac{\partial}{\partial x} \frac{\partial}{\partial y} - K_0^2 \mu_r \epsilon_r & 0 \\ \frac{\partial}{\partial x} \frac{\partial}{\partial y} - K_0^2 \mu_r \epsilon_r & -\left(\frac{\partial^2}{\partial x^2} + \frac{\partial^2}{\partial z^2}\right) - K_0^2 \mu_r \epsilon_r & 0 \\ \frac{\partial}{\partial x} \frac{\partial}{\partial z} - K_0^2 \mu_r \epsilon_r & \frac{\partial}{\partial y} \frac{\partial}{\partial z} - K_0^2 \mu_r \epsilon_r & -\left(\frac{\partial^2}{\partial x^2} + \frac{\partial^2}{\partial y^2}\right) - K_0^2 \mu_r \epsilon_r \end{bmatrix} \begin{bmatrix} E_x \\ E_y \\ E_z \end{bmatrix} = 0 \quad (2-91)$$

وقد حملنا على المعادلة السابقة باستخدام التمثيل المصفوفي للمؤثر

→  
: rot

$$\vec{\nabla} \wedge = \begin{bmatrix} 0 & -\frac{\partial}{\partial z} & \frac{\partial}{\partial y} \\ \frac{\partial}{\partial z} & 0 & -\frac{\partial}{\partial x} \\ -\frac{\partial}{\partial y} & \frac{\partial}{\partial x} & 0 \end{bmatrix}$$

وأذا فرضنا أن الحقل الكهربائي للموجة المستوية من الشكل:

$$e^{i(\vec{k} \cdot \vec{r} - \omega t)} = e^{i(k_x x + k_y y + k_z z - \omega t)}$$

وبملاحظة الشكل ( 14 - 2 ) فان :

$$\frac{\partial}{\partial x} = ik_x = ik \sin \theta$$

$$\frac{\partial}{\partial z} = ik_z = ik \cos \theta$$

$$\frac{\partial}{\partial y} = ik_y = 0$$

ومن مقارنة المعادلة ( 91 ) مع ( 87 ) نجد أن :

$$\epsilon_{r13} = \epsilon_{r23} = \epsilon_{r31} = \epsilon_{r32} = 0, \mu_r = 1$$

وبملاحظة أن :

$$n = \frac{k}{k_0} = \frac{c}{v}$$

فان المعادلة ( 91 ) تصبح على الشكل التالي :

$$\begin{bmatrix} a - n^2 \cos^2 \theta & -ib & n^2 \cos \theta \sin \theta \\ ib & a - n^2 & 0 \\ n^2 \cos \theta \sin \theta & 0 & f - n^2 \sin^2 \theta \end{bmatrix} \begin{bmatrix} E_x \\ E_y \\ E_z \end{bmatrix} = 0 \quad (2-92)$$

لكي يوجد حل للمعادلة ( 92 ) يجب أن تكون المصفوفة مساوية إلى

الصفر وبالنتيجة نجد أن :



$$An^4 - Bn^2 + F = 0 \quad (2-93)$$

حيث :

$$A = a \sin^2 \theta + f \cos^2 \theta$$

$$B = cd \sin^2 \theta + fa(1 + \cos^2 \theta)$$

$$F = fcd$$

$$a^2 - b^2 = cd$$

(2-94)

ان حل المعادلة ( 93 ) يعطي :

$$n^2 = \frac{B \pm \sqrt{B^2 - 4AF}}{2A} \quad (2-95)$$

من أجل بعض القيم الوسيطة لكل من البلازما والحقل المغناطيسي المطبق والاتجاه انتشار الموجة تأخذ  $n^2$  قيمة مساوية للصفر أو للنهاية، فمثلا عندما تصبح السرعة الطورية لانهاية فان  $n^2 = 0$  وتدعى هذه الحالة بحالة القطع أو التوقف Cut off Case والحالة المعاكسة أي التي تكون فيها  $n^2 = \infty$  (السرعة الطورية معدومة) تدعى بحالة الطنين . تفصل حالات الطنين والقطع قيم وسيطة التي من أجلها تكون  $n^2$  موجبة أو سالبة أي تفصل بين مناطق الانتشار ومناطق عدم انتشار الموجة .

بالاعتماد على المعادلات ( 94 ) و ( 95 ) يمكن مناقشة حالات التوقف والطنين على الشكل :

-  $n^2 = 0$  التوقف عند أي زاوية تجعل  $d = 0$  أو  $f = 0$  أو  $c = 0$

$$\tan^2 \theta = -\frac{f}{a} \quad : \quad n^2 = \infty \text{ عند أي زاوية}$$

$$n^2 = \infty \text{ عندما } \theta = 0 \left\{ \begin{array}{l} \text{الطنين} \\ \text{الرئيسي} \end{array} \right. \left[ \begin{array}{l} c = \pm \infty \text{ تواتر ترنج الالكترن} \\ d = \pm \infty \text{ تواتر ترنج الايون} \end{array} \right]$$

$$a = 0, \quad \theta = \frac{\pi}{2} \text{ عندما } n^2 = \infty$$

إذا أضفنا المقدار  $An^2$  الى طرفي العلاقة ( 93 ) نحصل على العلاقة التالية :

$$n^2 = \frac{An^2 - c}{An^2 + A - B}$$

وبتعويض قيمة  $n^2$  من العلاقة ( 95 ) نحصل على علاقة تدعى علاقة Appleton-Hartree :

$$n^2 = 1 - \frac{x}{1 - \frac{\frac{1}{2}y^2 \sin^2 \theta}{1-x} \pm \sqrt{\frac{\frac{1}{4}y^4 \sin^2 \theta}{(1-x)^2} + y^2 \cos^2 \theta}} \quad (2-96)$$

حيث  $x = \frac{\omega_p^2}{\omega^2}$  و  $y = \frac{\Omega}{\omega}$

بعض الحالات المهمة لانتشار الامواج VHF ( $f \approx 2 \text{ MHz}$ ) في وسط من الايونوسفير غير مبدد يمكن تتبعها انطلاقا من المعادلات السابقة التي مرت معنا .

ولمناقشة العلاقة ( 96 ) نأخذ ثلاث حالات توافق ثلاثة

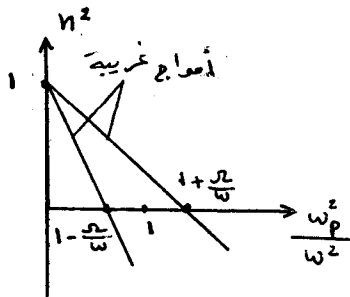
قيم مختلفة للزاوية  $\theta$  التي يكون فيها شعاع الموجة  $\vec{k}$  لموجة مستوية مستقلبة خطيا منحرفا عن الحقل المغناطيسي الارضي  $\vec{B}_0$  اذا كان  $\vec{k}$  موازيا لـ  $\vec{B}_0$  فاننا نقول أن الانتشار طولاني أما اذا

كانت  $\vec{k}$  عمودية على  $\vec{B}_0$  فالانتشار يكون عندئذ عرضيا. لنرى  
هذه الحالات :

### 1 - الانتشار الطولي:

يتم هذا الانتشار عندما:  $\theta = 0$  ،  $y = \frac{\Omega}{\omega} < 1$  وعند  
هذا الشرط تكون  $n^2$  مساوية الى :  $1 - \frac{\omega_p^2}{\omega^2}$   
$$n^2 = \frac{1 - x}{1 \pm y} = \frac{1 - \frac{\omega_p^2}{\omega^2}}{1 \pm \frac{\Omega}{\omega}} \quad (2-97)$$

هذا النوع من الامواج يدعى بالامواج الغريبة أو الشاذة  
" Extraordinary Waves " وهذه الامواج تتأثر بالحقل المغناطيسي  
المطبق . يبين الشكل (15 - 2) انتشار موجة طولية .



شكل (15 - 2) تغير مربع قرينة  
الانكسار  $n^2$  بدلالة  $(\frac{\omega_p}{\omega})^2$  عند  
انتشار الموجة الطولية .

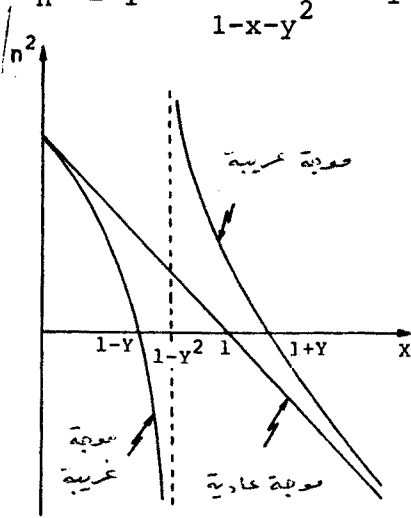
### 2 - الانتشار العرضي :

عندما  $\theta = \frac{\pi}{2}$  ،  $y = \frac{\Omega}{\omega} < 1$  ولقرينة انكسار  
الوسط قيمتين :  
الموجة المعتادة أو العادية Ordinary ( لاتعتمد على الحقل  
المغناطيسي ) .

$$n^2 = 1 - x = 1 - \frac{\omega_p^2}{\omega^2} \quad (2-98)$$

موجة غريبة :

$$n^2 = 1 - \frac{x(1-x)}{1-x-y^2} = 1 - \frac{\frac{\omega_p^2}{\omega^2} (1 - \frac{\omega_p^2}{\omega^2})}{1 - \frac{\omega_p^2}{\omega^2} - \frac{\Omega^2}{\omega^2}} \quad (2-99)$$



والشكل (2-16) يبين انتشار موجة عرضية .

الشكل (2-16) انتشار موجة عرضية

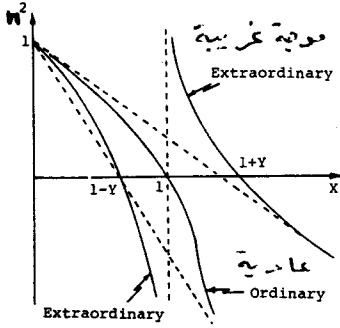
من الشكل نلاحظ أنه عندما تكون

$(\frac{\omega_p}{\omega})^2$  صغيرة جداً فإن  $n \rightarrow 1$  وعند تزايد  $(\frac{\omega_p}{\omega})^2$  فإن  $n$  تتناقص حتى تصل الحفر عندما  $\omega_p = \omega$  . وعندما تكون  $n > 1$  فإن  $\frac{\omega_p}{\omega} > 1$  تصبح تخيلية وكذلك السرعة الطورية . بقي أن نشير الى أن السرعة الطورية تكون أكبر من سرعة الضوء عندما تكون  $\omega < \omega_p$  والعدد الموجي  $k$  يصبح تخيلياً وتخامد الحقل مع المسافة يكون أسياً ويزداد بازدياد المسافة وبالتالي لا يمكن للموجة أن تنتقل عبر الأيونوسفير .

3- حالة الانحراف المتوسط بين الحالتين (1) و (2) أي أن :

$$0 < \theta < \frac{\pi}{2} \quad , \quad y < 1$$

عندما تكون الزاوية بين الحقل المغناطيسي الأرضي والموجة صغيرة فإن قرينة الانكسار تتغير بين حدود الحالة (1) و (2) ويكون لها الشكل التالي : شكل (17 - 2) : من الشكل نجد أنه إذا دخلت الموجة



شكل ( 17 - 2 ) الانحراف المتوسط  
للامواج .

المعتادة الوسط الذي تتزايد فيه  $x$  (زيادة الكثافة الالكترونية) إضافة الى الشرط  $\theta = 0^\circ$  فانها تفقد بعضا من طاقتها للموجة الغريبة التي تتولد قـرب  $x = 1(\omega_p - \omega)$  وعند الحد الذي يكون فيه الانتشار طولي بشكل كلي فان الموجة المعتادة تنقلب كلها الى موجة غريبة عند  $x = 1$  وعند  $x > 1$  توجد موجة غريبة فقط .

## 2 - 2 - 2 - تطبيق : دوران فاراداي أو مفعول فاراداي :

عند تطبيق حقل مغناطيسي على مادة شفافة كالزجاج وغير فعالة ضوئيا تمر خلالها حزمة ضوئية مستقطبة استقطابا خطيا وموازية للحقل المغناطيسي فان مستوى اهتزاز الحزمة يدور بزاوية، ما وتعرف هذه الحادثة باسم مفعول فاراداي . لنرى هذا المفعول عند انتشار موجة كهربية في الايونوسفير ولنعين زاوية دوران مستوى الاستقطاب لهذه الموجة .

ان وجود الحقل المغناطيسي كما رأينا في البلازما ينؤدي الى نشوء وسط ذو انكسار مضاعف . فالموجة الكهربية في الايونوسفير تنقسم الى موجتين : معتادة وغريبة . وبما أن لهاتين الموجتين سرعتين طوريتين مختلفتين فان مستوى الاستقطاب للموجة المحملة يدور بزاوية ما . لتكن  $\lambda_1$  و  $\lambda_2$  طول كل من هاتين الموجتين اللتين تنتشران لمسافة قدرها  $dL$  ان الفرق في دوران

طوريهما يساوي :

$$d\phi = k_1 dL - k_2 dL = \left( \frac{2\pi}{\lambda_1} - \frac{2\pi}{\lambda_2} \right) dL \quad (2-100)$$

ولكن طول الموجة ترتبط بقرينة الانكسار بالعلاقة :

$$\lambda = \frac{v}{f} = \frac{c}{nf} = \frac{2\pi c}{\omega n}$$

نعوض قيمة  $\lambda$  في العلاقة ( 100 ) فتجد:

$$d\phi = \frac{\omega}{c} (n_1 - n_2) dL \quad (2-101)$$

ان القيم التقريبية لقرينة انكسار الايونوسفير في حالة نمط الانتشار الطولي هي :

$$n_1 = 1 - \frac{x/2}{1+y}$$

$$n_2 = 1 - \frac{x/2}{1-y}$$

ومنه فان :  $n_1 - n_2 = \frac{xy}{1-y^2} \approx xy$  عند  $\omega \gg \Omega_c$  وبتعويض هذه القيمة في العلاقة ( 101 ) نجد أن:

$$d\phi = \frac{\omega}{c} xy dL = \frac{Ne^3 B_0}{cm^2 \omega^2 \epsilon_0} dL \quad (2-102)$$

فاذا فرضنا أن موجة راديوية تواترها 136 MHz تمر في

الايونوسفير لمسافة 300 km وكان متوسط كثافة الالكترونات:

$N = 4 \times 10^{11} \frac{\text{الالكترونات}}{\text{m}^3}$  وكان متوسط الحقل المغناطيسي  $B_0$  مساويًا  
 $B_0 = 5 \times 10^{-5} \text{ wb/m}^2$  فان الدوران يكون بحوالي 15.32 رادبان.

ان  $B_0$  تكون عادة ثابتة مع الزمن ولذلك فان تغيير

زاوية الدوران الكلية  $\phi$  مع الزمن تشير الى وجود تغير في كثافة

الالكترونات عبر المسافة  $L$  وهذه المعلومات هي في غاية الاهمية

بالنسبة للاتصالات التي تستخدم الاقمار الصناعية المتزامنة.

### 3-2-2 - الأيونوسفير:

هي المنطقة الممتدة في الغلاف الجوي من ( 50 إلى  $10^3$  km ) ويكون الغلاف الجوي فيها متأينا الى درجة كافية بحيث يصبح له تأثيرا على انتشار الامواج الكهرطيسية . يعود تأين الغلاف الجوي في أغلب الاحيان الى الاشعة فوق البنفسجية القادمة من الشمس .

تزداد الكثافة الايونية في الغلاف بازدياد الارتفاع ومن ثم لاتلبث أن تنخفض . غير أنها تظهر عتبات تتغير بشكل طفيف مع الارتفاع تدمى بالطبقات D و E و  $F_1$  و  $F_2$  . ويعود منشأ هذه الطبقات في وقت واحد الى تغير طبيعة الاشعاع الشمسي والى تغير تركيب هذه الطبقات مع الارتفاع . ان شدة تأين وارتفاع هذه الطبقات يتغير مع ساعات النهار ، مع تغير الفصل ومع تغير دورة السفع الشمسية . . . . . الخ . ويبدو أن الناقلية  $\sigma$  تقريبا تعود بالكامل الى الكثافة الالكترونية ماعدا الحد السفلي من الأيونوسفير .

تتراوح كثافة الالكترونات من  $\frac{10^{10} \text{ electron}}{m^3}$  عند

الطبقة الدنيا الى  $\frac{10^{12} \text{ الكترون}}{m^3}$  / عند الطبقة العليا . وعلى ارتفاعات

أعلى من هذه المنطقة فان كثافة الجزيئات تتغير من  $10^{22}/m^3$

الى  $10^{15}/m^3$  . ان عامل التأين يزداد بسرعة مع الارتفاع لكنه يبقى

ضعيفا . فعندما تكون  $N_e = 10^{11}/m^3$  فان تواتر البلازما يساوي

$f_p \sim 3 \text{ MHz}$  والترددات التي تكون أقل من  $f_p$  لاتنفذ الى

طبقة الأيونوسفير بل تنعكس عنها .

### 4-2-2 - انتشار الامواج الكهرطيسية المستوية في البلورات :

يوجد العديد من البلورات التي تتميز بخامة عدم تماثل

المناحي الكهربائي ( عدا البلورات المكعبة ) ولهذه البلورات تأثير على انتشار الامواج الكهرطيسية ( الضوئية ) بشكل مشابه لتأثير البلازما تقريباً . يحدث عدم التماثل في البلورات بسبب عدم تناظر الجزيئات المولفة للبلورة فقد تكون متطاولة باتجاه ، و قصيرة باتجاه آخر . وعند مرور حقل كهربائي عبر هذه المادة فان اهتزاز الالكترونات السرابطة سوف يتعلق باتجاه الحقل ( مثلا ، على فرض أن الالكترونات تستجيب للاهتزازات في اتجاه مواز لمحور الجزيء أكثر من استجابتها للاهتزازات العمودية على محور الجزيء الذي تنتمي اليه ) وتكون ثابتة العزل الكهربائي  $\epsilon$  عبارة عن مصفوفة .

وبسبب عدم التماثل السابق ذكره في البلورات توجد قيمتان للسرعة الطورية من أجل انتشار الموجة الكهرطيسية وبالمقابل فان قرائن الانكسار الموافقة لكل سرعة تكون مختلفة عن الاخرى . وهكذا فان قرينة الانكسار وبالتالي سرعة الموجة داخل البلورة يتعلقان باتجاه انتشار الموجة في البلورة ، وهاتين سرعتين توافقيين دوماً استقطابين وفق مستويين متعامدين . يوجد اذن موجتين تنتشران في البلورة هما : موجة معتادة وموجة غريبة . وتسمية هذين النوعين من الامواج هو نفسه في البلازما والبلورات ولكن ظاهرة عدم التماثل في البلازما تنتج عن عمليات فيزيائية مختلفة كلياً عن التي تحدث في البلورات . من جهة أخرى يوجد في البلورات اتجاه مفضل تكون وفقه السرعتان الطوريتان المستقطبتان في مستويين متعامدين متساويتين وكذلك تتساوي متجهات الموجة  $k$  . يدعى هذا الاتجاه المفضل بالمحور الضوئي . وجدنا أن ثابت العزل الكهربائي في الوسط المختلف المناحي هو عبارة عن تنسور من الشكل :



$$\hat{\epsilon} = \epsilon_0 \begin{bmatrix} \epsilon_{r11} & \epsilon_{r12} & \epsilon_{r13} \\ \epsilon_{r21} & \epsilon_{r22} & \epsilon_{r23} \\ \epsilon_{r31} & \epsilon_{r32} & \epsilon_{r33} \end{bmatrix}$$

يمكن ايجاد جملة محاور بحيث أن تنسور ثابت العزل الكهربائي  $\hat{\epsilon}$  يمكن أن يكتب بشكل مصفوفة قطرية :

$$\hat{\epsilon} = \epsilon_0 \begin{bmatrix} \epsilon_{r11} & 0 & 0 \\ 0 & \epsilon_{r22} & 0 \\ 0 & 0 & \epsilon_{r33} \end{bmatrix} \quad (2-103)$$

تدعى اتجاهات هذه المحاور بالمحاور الرئيسية Principle axes وتدعى المقادير  $\epsilon_{r11}$  و  $\epsilon_{r22}$  و  $\epsilon_{r33}$  بالقيم الرئيسية لتنسور ثابت العزل الكهربائي  $\hat{\epsilon}$  حيث تأخذ قيما خاصة تتعلق بنوع البلورة واذا عوضنا هذه القيم في المعادلة ( 91 ) التي تصف العلاقات في أي وسط مختلف المناحي وتفترض حلا لمعادلة الموجة المستوية من الشكل :

$$e^{i(\vec{k} \cdot \vec{r} - \omega t)} = e^{i(k_x \cdot x + k_y \cdot y + k_z \cdot z - \omega t)}$$

نحصل على المعادلة التالية بعد وضع  $\mu_r = 1$  :

$$\begin{bmatrix} k_y^2 + k_z^2 - k_0^2 \epsilon_{r11} & -k_x k_y & -k_x k_z \\ -k_x k_y & k_x^2 + k_z^2 - k_0^2 \epsilon_{r22} & -k_y k_z \\ -k_x k_z & -k_y k_z & k_x^2 + k_y^2 - k_0^2 \epsilon_{r33} \end{bmatrix} \begin{bmatrix} E_x \\ E_y \\ E_z \end{bmatrix} = 0 \quad (2-104)$$

لنقم هذه المعادلة عند تطبيقها على البلورات التي من

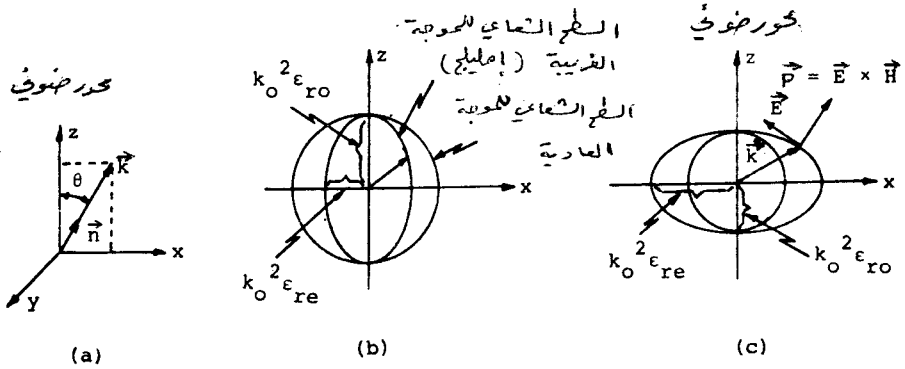
أجلها يكون  $\epsilon_{r11} = \epsilon_{r22} \neq \epsilon_{r33}$  والتي تسمى بالبلورات الأحادية

المحور "Uniaxial Crystals" أما البلورات التي يكون فيها

$\epsilon_{r11} \neq \epsilon_{r22} \neq \epsilon_{r33}$  فتسمى بالبلورات الثنائية المحور (ثنائية

المحور الضوئي) Biaxial Crystals. نفترض أن الموجة المنتشرة

في بلورة أحادية المحور تكون موجهة كما في الشكل ( 2 - 18 a ) .



بلورة أحادية المحور موجبة بلورة أحادية المحور سالبة

$$\epsilon_{re} < \epsilon_{ro}$$

$$\epsilon_{re} > \epsilon_{ro}$$

الشكل ( 2 - 18 )

وبملاحظة الشكل ( a ) نجد :

$$k_z = k \cos \theta = kn_z, \quad k_y = 0, \quad k_x = k \sin \theta = kn_x$$

وبكتابة:  $\epsilon_{r33} = \epsilon_{re}, \epsilon_{r11} = \epsilon_{r22} = \epsilon_{ro}$  و  $k^2 = k_x^2 + k_z^2$  نجد

أن المعادلة ( 104 ) تكتب على الشكل التالي بعد الأخذ بعين

الاعتبار العلاقات السابقة :

$$\begin{bmatrix} k^2 - k_x^2 - k_o^2 \epsilon_{r_o} & 0 & -k_x k_z \\ 0 & k^2 - k_o^2 \epsilon_{r_o} & 0 \\ -k_x k_z & 0 & k^2 - k_z^2 - k_o^2 \epsilon_{r_e} \end{bmatrix} \begin{bmatrix} E_x \\ E_y \\ E_z \end{bmatrix} = 0 \quad (2-105)$$

وهذه المعادلة تساوي المعادلات الثلاث التالية :

$$\left. \begin{array}{l} (a) \quad (k^2 - k_o^2 \epsilon_{r_o}) E_x - k^2 n_x (n_x E_x + n_z E_z) = 0 \\ (b) \quad (k^2 - k_o^2 \epsilon_{r_o}) E_y = 0 \\ (c) \quad (k^2 - k_o^2 \epsilon_{r_o}) E_z - k^2 n_z (n_x E_x + n_z E_z) = 0 \end{array} \right\} (2-106)$$

وإذا وضعنا :  $E_x = E_z = 0$  ,  $E_y \neq 0$  و  $k^2 = k_o^2 \epsilon_{r_o}$  ( $n^2 = n_o^2 = \epsilon_{r_o}$ )

نحصل على حل لجملة المعادلات توافق موجة عادية يكون الحقل الكهربائي  $\vec{E} = E_y \vec{a}_y$  وفيها عموديا على كل من  $\vec{k}$  والمحور الضوئي المأخوذ

باتجاهه z . ومركبات حقل التمريض الكهربائي  $\vec{D}$  يساوي :

$$D_y = n_o^2 E_y \quad , \quad D_x = D_z = 0$$

وهذا يعني أن الحقول  $\vec{E}$  و  $\vec{D}$  تكون على استقامة واحدة في الموجة

العادية . يوجد حل آخر للمعادلات (106) وذلك بوضع  $E_y = 0$

في (b - 106) والمعادلتان (c و a و 106) يكون لهما حلا إذا

كان معين أمثال  $E_x$  و  $E_z$  يساوي الصفر . وإذا فعلنا ذلك نحصل

على المعادلة التالية :

$$\frac{1}{k^2} = \frac{n_x^2}{k_o^2 \epsilon_{r_e}} + \frac{n_z^2}{k_o^2 \epsilon_{r_o}} = \frac{\sin^2 \theta}{k_o^2 \epsilon_{r_e}} + \frac{\cos^2 \theta}{k_o^2 \epsilon_{r_o}} \quad (2-107)$$

• حيث استفدنا من العلاقة :  $n_z^2 = 1 - n_x^2$

المعادلة ( 107 ) تمثل معادلة سطح موجة شعاعي من أجل الموجة الغريبة وهذا ما يظهره الشكل ( 18, b, c ) في الحالات التي

تكون فيها  $\epsilon_{r_e} < \epsilon_{r_o}$  و  $\epsilon_{r_e} > \epsilon_{r_o}$  على التوالي .  
نلاحظ من الشكل أن السطح الشعاعي للبلورة الاحادية مؤلف

من سطحين احدهما كروي والآخر اهليلجي دوراني لهما نفس المركز ويتماسان مع بعضهما في نقطتين والخط الواصل بين هاتين النقطتين

يمثل المحور الضوئي الذي يكون في الاتجاه z .

يمسى النوع الاول من البلورات حيث  $\epsilon_{r_e} < \epsilon_{r_o}$  بالبلورات

الوحيدة المحور السالبة ( شكل ( 18, b ) ) حيث يكون القطع الناقص

أو الاهليلج داخل الكرة . أما النوع الثاني من البلورات حيث

$\epsilon_{r_e} > \epsilon_{r_o}$  ، شكل ( 18, c ) ، فيسمى بالبلورات الاحادية الممـسـور

الموجبة حيث تكون الكرة داخل القطع الناقص .

إذا انتشرت الموجة في الاتجاه z فان  $n_x = 0$  وتكون

$k_o n_o = k_o \sqrt{\epsilon_{r_o}} = k$  أما إذا انتشرت الموجة في الاتجاه x فان:

$k = k_o \sqrt{\epsilon_{r_e}} = k n_e$  وبما أن السرعة تتناسب عكسا مع شعاع الموجة

فان سطوح الموجة الشعاعية تظهر تغير سرعة الموجة مع اتجاه الانتشار .

توضيح سلوك الموجة في بلورة أحادية المحور نفرض أن المـمـسـور

الضوئي موجه بزواوية ما بالنسبة لسطح البلورة كما يوضحه الشكل

( 19, a ) ، ويمكن وصف انتشار الموجة بالاعتماد على مبدأ هويجنس

الذي يفرض بأن كل نقطة من سطح البلورة تعمل كمصدر حيث تصـدـر

موجات سطوح موجتها تتألف من سطح كروي يمس سطحاً اهليلجياً دورانياً وكما يتضح فإن الموجة العادية  $O$  توافق الجبهة المستوية المغلفة لسطوح موجات هويجنس الكروية وهي تنتشر في البلورة بشكل معامد للسطح ولا تعاني أي انحراف، أما الموجة الغريبة  $E$  فهي التي تكون جبهتها المستوية مغلفة لسطوح الموجات الاهليلجية والشعاع الغريب  $E$  ينحرف عن الناظم على السطح ويصنع معه زاوية ما .

ان انكسار الموجة الواردة في البلورة الى موجتين ———— تنتشران وفق اتجاهين مختلفين يدعى بالانكسار المضاء ———— Birefringence ومستوى تساوي الطور للموجة العادية  $O$  وللموجة الغريبة  $E$  يكونان متوازيين وموازيين لمستوى تساوي الطور للموجة الواردة . تبرز هاتين الموجتين من البلورة في نفس الاتجاه نظراً لتوازي وجهي البلورة وتكون الحزمة  $O$  مستقطبة في مستوى المقطع الاطلي أما الحزمة  $E$  فتكون مستقطبة في مستوى معامد للمقطع الاطلي .

وعند ورود موجة طبيعية على بلورة قطعت بحيث أن سطحها يوازي المحور البصري فإن الموجتين العادية  $O$  والغريبة  $E$  تنتشران بنفس الاتجاه ولكن بسرعتين مختلفتين حيث تكون سرعة الموجة العادية أكبر من سرعة الموجة الغريبة في البلورات الموجبة شكل (19, b - 2) والعكس يكون في البلورات السالبة . والموجتان البارزتان ( الشكل نفسه ) تبقيان منطبقتين ولا نحصل على موجة مستقطبة أي تبقى الموجة طبيعية كما كانت. نستنتج مما تقدم أن خاصية الانكسار المضاعف في البلورة يرجع الى الطريقة التي قطعت بها البلورة . يحدد شعاع الانتشار  $\vec{k}$  في البلورات المختلفة المناحي اتجاه مستويات تساوي الطور، هذا

من جهة ومن جهة ثانية فان تدفق الطاقة  $\vec{E} \wedge \vec{H}$  بشكل عام لا يوازي  $\vec{k}$  لأن  $\vec{E}$  و  $\vec{k}$  غير متعامدين والشكل التالي ( 20 - 2 ) يبين ذلك .

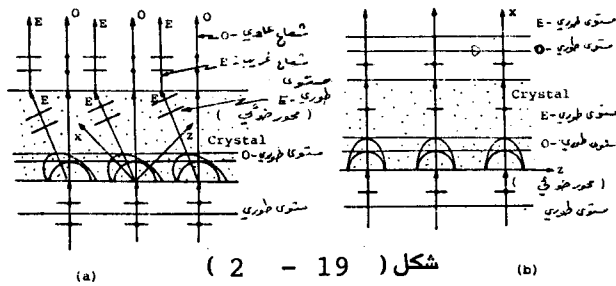
ان مستويات تساوي الطور تكون عمودية على شعاع الانتشار

$\vec{k}$  ولكنها تنتشر وفق منحنى متجهة بويونتغ  $\vec{p}$  . اذا كانت  $\vec{v}_{ph}$  هي السرعة الطورية على المتجهة  $\vec{k}$  و  $v_r$  هي السرعة الشعاعية على امتداد المتجهة  $\vec{p}$  (السرعة الشعاعية تمثل سرعة انتشار الطاقة الكهرومغناطيسية في الوسط المختلف المناحي) فان العلاقة التي تربط السرعة الطورية  $\vec{v}_{ph}$  مع السرعة الشعاعية هي :

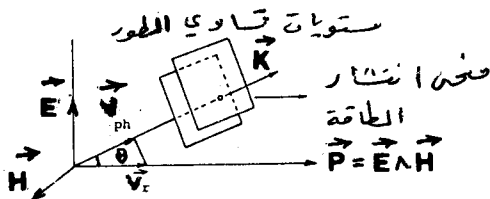
$$v_r = \frac{v_{ph}}{\cos \theta} \quad (2-108)$$

يتضح من العلاقة ( 108 ) أن السرعة الطورية للموجة المستوية تساوي الى

مسقط سرعة انتشار الطاقة الكهرومغناطيسية على الناظم لجبهة الموجة أي على  $\vec{k}$  وان السرعة الشعاعية  $v_r$  تكون دوما أكبر من السرعة الطورية  $v_{ph}$  . وتساوي السرعة الطورية والشعاعية عندما يكون اتجاه الانتشار وفق المحور الضوئي ويكون كل من  $\vec{k}$  و  $\vec{p}$  عندئذ في نفس الجهة .



شكل ( 19 - 2 )



شكل ( 20 - 2 )

تمارين غير محلولة

١ - حزمة من الليزر استطاعتها 20 GW وقطرها 2 mm . احسب القيمة العظمى لكل من الحقل الكهربائي وحقل التحريض المغناطيسي لها .

٢ - تنتشر موجة كهرومغناطيسية مستوية تواترها 10 MHz وسعتها العظمى  $E_0 = 50 \mu\text{V/m}$  والمطلوب حساب :

أ - القيمة المتوسطة لكثافة الطاقة الكهربائية لهذه الموجة .  
ب - كثافة الطاقة الكلية .

ج - القيمة الوسطى لمتجهة بوينتنغ .

د - طولية متجهة بوينتنغ .

هـ - الطاقة المتوسطة الموجودة في مكعب طول ضلعه 10 km .

٣ - سلك من التنغستين طوله 1,32 m نصف قطره 1 mm وناقليته  $\sigma = 1.8 \times 10^7 \text{ mho/m}$  طبق عليه توتر مقداره  $V=10 \text{ Volt}$  أوجد متجهة بوينتنغ على سطح هذا السلك ثم ارسم طولية متجهة بوينتنغ في المجال  $0 \leq r < \infty$  .

٤ - ماهي حالة الاستقطاب للموجات التالية :

$$1) \vec{E} = E_0 \cos(kz - \omega t) \vec{i} + E_0 \cos(kz - \omega t) \vec{j}$$

$$2) \vec{E} = E_0 \cos(kz - \omega t) \vec{i} + E_0 \sin(kz - \omega t) \vec{j}$$

$$3) \vec{E} = (E_{0x} \vec{i} - E_{0y} \vec{j}) \cos(kz - \omega t)$$

٥ - تنتشر موجة كهروطيسية مستوية في وسط سماحيته النسبية

$\epsilon_r = 2.7$  ، فإذا كانت متجهة الحقل الكهربائي لهذه الموجة

هي :

$$\vec{E} = 3,6\vec{i} + 1,2\vec{j} - 2\vec{k} \quad \text{v/m}$$

وكان العدد الموجي  $\vec{k}$  يساوي :  $(\text{m}^{-1})$  :  $\vec{k} = 0.1\vec{i} - 0.2\vec{j}$

أوجد الحقل المغناطيسي  $\vec{H}$  لهذه الموجة علما بأن تواتر

الموجة الكهروطيسية يساوي  $10^6$  Hz .

٦ - يعطى الحقل الكهربائي  $\vec{E}$  والحقل المغناطيسي  $\vec{H}$  في النواقل

الجيدة بالعلاقتين :

$$\vec{E} = \vec{i} E_0 e^{j[(\vec{k}-\vec{k}'')x - \omega t]}$$

$$\vec{H} = \vec{k} \left( \frac{\vec{k}' + j\vec{k}''}{\omega\mu} \right) E_0 e^{j[(\vec{k}-\vec{k}'')x - \omega t]}$$

أوجد القيمة الوسطى لمتجه بوينتنغ العقدي :

$$\langle \vec{p}_c \rangle = \frac{1}{2} R_e [\vec{E} \wedge \vec{H}^*]$$

٧ - تنتشر موجة كهروطيسية سعتها العظمى  $E_0 = 4 \mu\text{V/m}$  في

وسط عازل غير مبدد فيه :  $\mu_r = 1$  و  $\epsilon_r = 6$  أوجد :

(a) سرعة الموجة ، (b) ممانعة الوسط ، (c) متجه بوينتنغ ،

(d) السعة العظمى للحقل المغناطيسي .

٨ - تنتشر موجة كهروطيسية مستوية باتجاه المحور z فإذا علمنا

أن مركبات الحقل الكهربائي لهذه الموجة هي :



$$E_x = E_{0x} \cos(kz - \omega t + \phi_1)$$

$$E_y = E_{0y} \cos(kz - \omega t + \phi_2)$$

$$E_z = 0$$

- ١ - احسب مركبات  $\vec{B}$  ثم احسب متجهة بوينتنغ  $\vec{p}$  .  
 ٢ - احسب الاستطاعة المتوسطة التي تعبر عنصر السطح  $S$  الموضوع بشكل عمودي على جهة الانتشار .

- ٩ - بفرض أن الحقلين الكهربائي  $\vec{E}$  والمغناطيسي  $\vec{H}$  في العوازل  $(\sigma, \rho = 0)$  يساويان :

$$\vec{E} = \vec{E}_0 e^{i(\omega t - k_x x - k_y y - k_z z)}$$

$$\vec{H} = \vec{H}_0 e^{i(\omega t - k_x x - k_y y - k_z z)}$$

- حيث  $\vec{E}_0, \vec{H}_0, k_x, k_y, k_z$  هي كميات ثابتة مستقلة عن  $x, y, z$  و  $t$  .

$$k_x^2 + k_y^2 + k_z^2 = k^2 \quad (a) \text{ أثبت أن :}$$

- حيث  $k$  هو العدد الموجي للوسط العازل .  
 (b) أوجد اتجاهات  $\vec{E}$  و  $\vec{H}$  بالنسبة لـ  $\vec{k}$  .

- ١٠ - لتكن مركبات الحقل الكهربائي كالتالي :

$$E_x = 0 \text{ و } E_y = 0 \text{ و } E_z = a \cos(nx) \sin nt$$

- بفرض أن  $\vec{H} = 0$  عندما  $t = 0$  وان  $\epsilon = \mu = 1$  و  $\sigma = \rho = 0$

أثبت أن :

$$H_x = 0 , H_z = 0 , H_y = -a \sin(nx) \cdot \sin nt$$

تحقق أن التدفق الوسطي للطاقة معدوم :

$$\langle p \rangle = 0 \quad (\text{حالة موجة مستقرة})$$

١١- إذا علم بأن تدفق الاستطاعة التي يتلقاها  $1 \text{ m}^2$  من سطح الأرض عندما يضاء ناظميا بأشعة الشمس هي :  $1.35 \times 10^3 \text{ W}$ . بين أن السعة العظمى للحقل الكهربائي  $E_0$  عند سطح الأرض هي  $1008,6 \text{ V/m}$  وأن السعة العظمى للحقل المغناطيسي  $H_0$  هي  $2.7 \text{ A/m}$ .

١٢- أثبت أنه إذا كان  $\vec{E}(r) = \vec{E}_0 e^{i\vec{k} \cdot \vec{r}}$  حيث  $\vec{E}_0$  متجهة ثابتة فإن :

$$\vec{\nabla} \cdot \vec{E} = i\vec{k} \cdot \vec{E}$$

$$\vec{\nabla} \wedge \vec{E} = i\vec{k} \wedge \vec{E}$$

$$\vec{r} = x\vec{i} + y\vec{j} + z\vec{k} \quad \text{و} \quad \vec{k} = k_x\vec{i} + k_y\vec{j} + k_z\vec{k} \quad \text{حيث}$$

١٣- عند دراسة انتشار موجة مستوية متجهة الموجة لها  $\vec{k}$  فانه يمكننا تحليل المقدار المتجهي  $\vec{\nabla}$  الى مركبتين : مركبة موازية لـ  $\vec{k}$  :  $\vec{\nabla}_{11}$  وأخرى عمودية على  $\vec{k}$  هي  $\vec{\nabla}_{\perp}$  فنكتب :

$$\vec{\nabla} = (\vec{\nabla}_{11} + \vec{\nabla}_{\perp}) e^{i(\vec{k} \cdot \vec{r} - \omega t)} \quad (\omega > 0)$$

انطلاقا من معادلات ماكسويل اكتب المعادلات المتجهية (الشعاعية)

التي تربط  $\vec{k}$ ,  $\rho$ ,  $\vec{j}_{\perp}$ ,  $\vec{j}_{11}$ ,  $\vec{B}_{\perp}$ ,  $\vec{B}_{11}$ ,  $\vec{E}_{\perp}$ ,  $\vec{E}_{11}$  هي متجهة كثافة التيار،  $\rho$  هي كثافة الشحنات .

١٤ - لنعتبر معدنا ما ناقلية  $\sigma$  ولنبحث عن حل لمعادلات ماكسويل

في هذا المعدن على شكل موجة مستوية تواترها الزاوي  $\omega$  وليكن هذا الحل من الشكل:

$$\vec{E} = E_0 f(x) e^{i(k_x x - \omega t)} \cdot \vec{e}_z$$

حيث  $\vec{e}_z$  هي متجهة الواحدة على المحور  $Oz$ ,  $f(x)$  هو تابع يطلب تحديده، علما بأن تيار الانزياح  $\frac{\partial \vec{E}}{\partial t}$  يهمل أمام تيار الناقلية  $\vec{j}$  الذي يساوي  $\sigma \vec{E}$ .

١ - أوجد انطلاقا من عبارة الحقل الكهربائي  $\vec{E}$  حقل التحريض المغناطيسي  $\vec{B}$  ثم تحقق ان  $\vec{E}$  و  $\vec{B}$  يحققان العلاقتين:

$$\text{div } \vec{B} = 0 \quad \text{و} \quad \text{div } \vec{E} = 0$$

٢ - برهن أنه يمكن الحصول على معادلة تفاضلية للتابع  $f$

انطلاقا من معادلة ماكسويل أمبير (يهمل تيار الانزياح). برهن أن  $f$  هو من الشكل :

$$f(x) = A e^{(-x/\delta)}$$

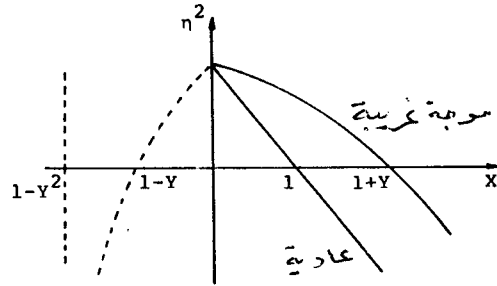
أوجد كل من  $\delta$  عمق التوغل و  $k$ .

٣ - احسب  $\delta$  من أجل النحاس عند التواترات  $100\text{Hz}$  ،  $10^3\text{Hz}$

$$\mu_0 = 4\pi \times 10^{-7} \text{H/m} , \sigma = 5.8 \times 10^7 \Omega^{-1} \cdot \text{m}^{-1} , 10^5 \text{Hz}$$

١٥ - تأكد من أن الشكل التالي يوافق انتشار موجة عرضية عندما

$$\cdot y > 1$$



١٦ - احسب قيمة  $n^2$  باستخدام علاقة Appleton-Hartree من أجل موجة ترددها MHz 1 تنتشر بزاوية مقدارها  $45^\circ$  إذا علم أن قيمة الحقل المغناطيسي الأرضي تساوي  $5 \times 10^{-5} \text{ wb/m}^2$  والكثافة الإلكترونية في النهار تساوي  $N=1.5 \times 10^{12} \text{ electron/m}^3$

١٧ - تنتشر موجة تواترها 6 MHz انتشارا عرضانيا على الحقل المغناطيسي الأرضي، أي أن اتجاه الانتشار يعامد الحقل المغناطيسي الأرضي، عين تغير الطور للموجات العادية والغريبة إذا كانت مسافة الانتشار 1 km، علما أن قيمة الحقل المغناطيسي الأرضي هي:  $50 \times 10^{-6} \text{ wb/m}^2$  والكثافة الإلكترونية في الليل هي:  $N = 0,5 \times 10^{12} \text{ elect/m}^3$  وأن  $\omega \gg \omega_p$ ،  $\omega \gg \Omega$

١٨ - نعتبر أن كثافة الشحنات  $\rho$  معدومة عمليا داخل النواقل ولكنها من الناحية النظرية لاتساوي الصفر، أوجد العلاقة التي تعطي  $\rho$  بدلالة  $\epsilon$  و  $\sigma$ .

١٩ - أثبت أن الحقل الكهربائي والمغناطيسي التاليين:

$$\vec{H} = \frac{1}{c} \frac{\partial}{\partial t} \text{grad } \phi \wedge \vec{k}, \quad \vec{E} = -\vec{k} \frac{1}{c^2} \frac{\partial^2 \phi}{\partial t^2} + \frac{\partial}{\partial z} \text{grad } \phi$$

يحقان معادلات ماكسويل التالية في الفراغ :

$$1) \text{div } \vec{H} = 0$$

$$3) \text{rot } \vec{H} = \frac{1}{c} \frac{\partial \vec{E}}{\partial t}$$

$$2) \text{div } \vec{E} = 0$$

$$4) \text{rot } \vec{E} = - \frac{1}{c} \frac{\partial \vec{H}}{\partial t}$$

حيث  $\vec{k}$  هي متجهة الوحدة على المحور  $oz$ ,  $\phi(x, y, z, t)$  هو

تابع سلمي يحقق المعادلة :

$$\nabla^2 \phi = \frac{1}{c^2} \frac{\partial^2 \phi}{\partial t^2}$$

## الفصل الثالث

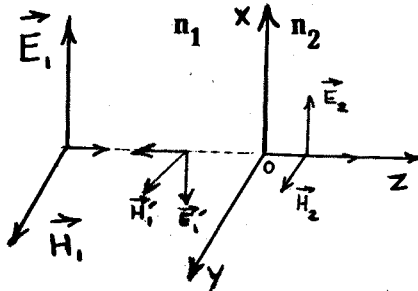
انعكاس وانكسار الامواج الكهربية على المستوى الفاصل بين  
اوساط مادية مختلفة

1-3 - انعكاس وانكسار الامواج الكهربية المستوية على السطح الفاصل بين

وسطين غير ناقلين - الورد الناظمي:

عند سقوط موجة كهربية مستوية ناظما على السطح الفاصل

بين عازلين فان جزءا منها سوف ينعكس وجزءا آخر سوف ينفذ الى



الوسط الثاني . شكل ( 1 - 3 ) .

بفرض أن الموجة

الواردة تنتشر وفق الاتجاه الموجب

للمحور Z . ولنرمز بـ  $\vec{E}_1$  ،  $\vec{H}_1$

للحقلين الكهربائي والمغناطيسي

في الموجة الواردة وبـ  $\vec{E}_1'$  ،  $\vec{H}_1'$

لنفس الحقلين في الموجة المنعكسة

بالاتجاه السالب للمحور Z وبـ

$\vec{E}_0$  ،  $\vec{H}_0$  للحقلين الكهربائي

والمغناطيسي في الموجة النافذة في الوسط الثاني . ولنختار السطح

الفاصل بين الوسطين العازلين بحيث يكون منطبقا على المستوي XY

في النقطة  $z = 0$  فيكون الوسط الاول على يساره والوسط الثاني

على يمين هذا المستوي . ان الحقول الكهربائية المستقطبة خطيا وفق

الاتجاه x تكتب من أجل الموجة الواردة ، المنعكسة والنافذة على الشكل التالي :

$$\vec{E}_1 = E_{1x} \cdot e^{i(k_1 z - \omega t)} \cdot \vec{i}$$

$$\vec{E}'_1 = -E'_{1x} \cdot e^{-i(k_1 z + \omega t)} \cdot \vec{i} \quad (3-1)$$

$$\vec{E}_2 = E_{2x} \cdot e^{i(k_2 z - \omega t)} \cdot \vec{i}$$

حيث  $k_2, k_1$  هما طولتا متجهة الموجة الواردة والنافذة ويساويان

$$k_1 = \frac{n_1}{c} \omega = \frac{\omega}{v_1}$$

$$k_2 = \frac{n_2}{c} \omega = \frac{\omega}{v_2}$$

أما حقول التمريض المغناطيسي لكل من الموجة الواردة والمنعكسة والنافذة فتساوي على الترتيب :

$$\vec{B}_1 = \frac{n_1}{c} E_{1x} \cdot e^{i(k_1 z - \omega t)} \cdot \vec{j} = B_{1x} \cdot e^{i(k_1 z - \omega t)} \cdot \vec{j}$$

$$\vec{B}'_1 = \frac{n_1}{c} E'_{1x} \cdot e^{-i(k_1 z + \omega t)} \cdot \vec{j} = B'_{1x} \cdot e^{-i(k_1 z + \omega t)} \cdot \vec{j}$$

$$\vec{B}_2 = \frac{n_2}{c} E_{2x} \cdot e^{i(k_2 z - \omega t)} \cdot \vec{j}$$

$$= B_{2x} \cdot e^{i(k_2 z - \omega t)} \cdot \vec{j}$$

حيث أن  $\vec{B} = \frac{1}{\omega} (\vec{k} \wedge \vec{E})$  وان تواتر الموجة المنعكسة والنافذة

هو نفس تواتر الموجة الواردة  $\omega$  لان الموجة الكهرومغناطيسية تحافظ على تواترها عند الانعكاس والانكسار (النفوذ).

من شرط استمرار المركبات المماسية للحقول عند  $z = 0$  نجد أن:

$$E_{1x} - E'_{1x} = E_{2x} \quad (3-3)$$

$$H_1 + H'_1 = H_2 \quad (3-4)$$

من أجل الاوساط غير المغناطيسية فان:  $\mu_1 = \mu_2 = \mu_0$  والعلاقة (4) تكتب على الشكل:

$$\frac{n_1}{c} E_{1x} \cdot e^{-i\omega t} + \frac{n_1}{c} E'_{1x} \cdot e^{-i\omega t} = \frac{n}{c} E_{2x} \cdot e^{-i\omega t}$$

وبعد الاختصار نجد أن:

$$n_1 (E_{1x} + E'_{1x}) = n_2 E_{2x} \quad (3-5)$$

ومن (3) و(5) يمكن أن نستنتج العلاقة بين كل من سعة الموجة المنعكسة  $E'_{1x}$  وسعة الموجة النافذة  $E_{2x}$  بدلالة سعة الموجة الواردة  $E_{1x}$  وهذه العلاقات هي:

$$E'_{1x} = \frac{n_2 - n_1}{n_2 + n_1} E_{1x} \quad (3-6)$$

$$E_{2x} = \frac{2n_1}{n_2 + n_1} E_{1x}$$

نستنتج من هاتين العلاقتين أن كلا من النسبتين  $\frac{E_{2x}}{E_{1x}}$  و  $\frac{E'_{1x}}{E_{1x}}$  تتحدد كلياً من معرفة قرينة انكسار الوسط الاول  $n_1$  وقرينة انكسار الوسط الثاني  $n_2$ . وبالمقابل فإنه يمكن بسهولة ايجاد العلاقة بين كل من سعتي الحقل المغناطيسي للموجة المنعكسة والنافذة بدلالة سعة الحقل المغناطيسي للموجة الواردة وهذه العلاقات هي:



$$H'_1 = \frac{n_2 - n_1}{n_1 + n_2} H_1 \quad (3-7)$$

$$H_2 = \frac{2n_2}{n_1 + n_2} H_1$$

تدعى كل من النسبتين :  $\frac{E'_{1x}}{E_{1x}}$  و  $\frac{E_{2x}}{E_{1x}}$  بمعاملات فرنل في الانعكاس والانكسار في الحالة التي تكون فيها الموجة الكهرومغناطيسية الواردة عمودية على السطح الفاصل ونرمز لها بالرمز  $r_{12}$  و  $t_{12}$ :

$$r_{12} = \frac{E'_{1x}}{E_{1x}} = \frac{n_2 - n_1}{n_2 + n_1} \quad (3-8)$$

$$t_{12} = \frac{E_{2x}}{E_{1x}} = \frac{2n_1}{n_1 + n_2}$$

في الواقع ان مايقاس ليس الحقل الكهربائي المنعكس أو المنكسر وانما هو متوسط متجهة بوينتنغ أي متوسط الطاقة المتدفقة في واحدة المساحة وتدعى بالشددة وتساوي :

$$\langle p_1 \rangle = \frac{1}{2} \frac{n_1}{\mu_0 c} E_{1x}^2 \quad (3-9)$$

$$\text{المنعكسة} = = = = \langle p'_1 \rangle = \frac{1}{2} \frac{n_1}{\mu_0 c} E_{1x}^2 \quad (3-10)$$

$$\text{النافذة} = = = = \langle p_2 \rangle = \frac{1}{2} \frac{n_2}{\mu_0 c} E_{2x}^2 \quad (3-11)$$

نعرف عامل الانعكاس  $R_n$  وعامل النفاذية  $T_n$  بالعلاقتين:

$$R_n = \frac{\langle p'_1 \rangle}{\langle p_1 \rangle} \quad (3-12)$$

$$T_n = \frac{\langle p_2 \rangle}{\langle p_1 \rangle}$$

وفي حالة الورود الناظمي للموجة الكهرومغناطيسية فان عامل الانعكاس

$R_n$  والنفوذ  $T_n$  يساويان :

$$R_n = \frac{\langle p_1' \rangle}{\langle p_1 \rangle} = \frac{\hat{E}_{1x}^2}{E_{1x}^2} = r_{12}^2 \quad (3-13)$$

$$T_n = \frac{\langle p_2 \rangle}{\langle p_1 \rangle} = \frac{E_{2x}^2}{E_{1x}^2} \cdot \frac{n_2}{n_1} = \frac{n_2}{n_1} t_{12}^2 \quad (3-14)$$

يرتبط عامل الانعكاس والنفوذ بالعلاقة :

$$R_n + T_n = 1$$

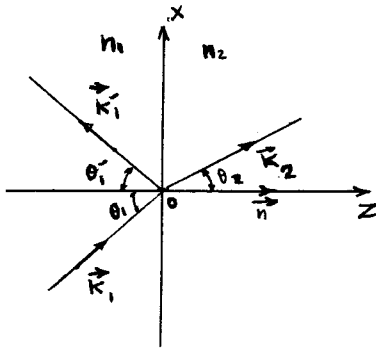
وهذه العلاقة ليست الا شكلا من أشكال عبارات انحفاظ الطاقة عندالسطح الفاصل بين وسطين مختلفين ،وتبين على أن الموجة الواردة اما أن تكون منعكسة أو نافذة ولايوجد أي تخزين للطاقة على السطح الفاصل . اذا كان السطح الفاصل هو بين الهواء  $n_1 = 1$  والزجاج  $n_2 = 1,5$  فان عامل الانعكاس يساوي  $R_n = 0,04$  وعامل النفوذ يساوي  $T_n = 0,96$  وفي حالة الهواء  $n_1 = 1$  والماء  $n_2 = 1,33$  ( عند ترددات الضوء المرئي ) فان  $R_n = 0,02$  ،  $T_n = 0,98$  . عند الترددات الراديوية يصبح الماء النقي تقريبا غير ناقل وقرينة انكسار  $n_2 = \sqrt{\epsilon_r} = 9$  ولذلك فان عامل الانعكاس  $R_n = 0,64$  و  $T_n = 0,36$  أي أن 64 % من الموجة الواردة تنعكس على سطح الماء و 36% من الموجة الكهرطيسية ينفذ الى الماء . وأخيرا يجب التنويه الى أنه اذا كانت  $n_2 > n_1$  فان  $r_{12}$  في العلاقة ( 8 ) يكون موجبا والموجة المنعكسة تكون متعاكسة في الطور مع الموجة الواردة وهذا ما ألفناه عند دراستنا للضوء من أن الانعكاس على وسط أشد كسرا يسبب تغيرا في الطور بمقدار  $\pi$  راديان أما انعكاس الضوء من وسط أشد

كسرا الى وسط أقل كسرا فلا يحدث تغيرا في طور للموجة المنعكسة وبالمقابل فان الموجة الواردة والنافذة تكونان على اتفاق في الطور سواء كانت  $n_2$  أكبر أم أصغر من  $n_1$  ، أي  $t_{12} > 0$  دوما .

### 2 - 3 - الانعكاس والانكسار على السطح الفاصل بين وسطين غيرناقلين

#### الورود المائل :

تعتبر هذه الحالة أعم من الحالة السابقة ولذلك سوف نستنتج قوانين الانعكاس والانكسار المعروفين في الضوء ثم نستنتج العلاقة بين سعات الموجة المنكسرة والمنعكسة وبين سعة الموجة الواردة وهذه العلاقة تتبع طبيعة الحقول الكهربية وشروطها المدية على السطح الفاصل . يبين الشكل ( 2 - 3 ) موجة كهربية واردة وفق الاتجاه  $\vec{k}_1$  على الحد الفاصل بين وسطين عازلين قرينة انكسارهما



الشكل ( 2 - 3 ) انعكاس وانكسار موجة كهربية ترد بزاوية  $\theta_1$  على المستوى  $xz$  يمثل مستوى الورود

$n_1$  و  $n_2$  تمثل  $\vec{k}_1$  و  $\vec{k}_2$  متجهات الانتشار للموجة المنعكسة والمنكسرة على الترتيب وهذه المتجهات  $\vec{k}_1$  ،  $\vec{k}_2$  و  $\vec{k}_1'$  تقع جميعها في مستوى واحد هو المستوى  $xz$  .

يمكن كتابة المتجهات  $\vec{k}_1$  ،  $\vec{k}_2$  و  $\vec{k}_1'$  على الشكل  $\vec{k}_1 = k_1 \vec{u}_1$  ،  $\vec{k}_1' = k_1 \vec{u}_1'$  و  $\vec{k}_2 = k_2 \vec{u}_2$  .

$\vec{n} = \vec{k}$  هي متجهة الواحدة العمودية على الحد الفاصل .

والمستوي المعروف بـ  $\vec{k}_1$  و  $\vec{n}$  يدعى بمستوي الورود وناظم هـ هذا

المستوى يكون في الاتجاه  $\vec{k}_1 \wedge \vec{n}$  . تعطى معادلات الحقل الكهربائي

للموجة الواردة والمنعكسة والمنكسرة على الترتيب بالمعادلات التالية :

$$\begin{aligned}\vec{E}_1 &= \vec{E}_1 \cdot e^{i(\vec{k}_1 \cdot \vec{r} - \omega t)} \\ \vec{E}'_1 &= \vec{E}'_1 \cdot e^{i(\vec{k}'_1 \cdot \vec{r} - \omega t)} \\ \vec{E}_2 &= \vec{E}_2 \cdot e^{i(\vec{k}_2 \cdot \vec{r} - \omega t)}\end{aligned}\quad (3-15)$$

ان الشروط الحدية عند  $z = 0$  تتحقق في أي نقطة من السطح الفاصل وفي أي لحظة زمنية وتغير الحقول الزماني والمكاني يجب أن يكون نفسه ولذلك فان الاطوار في كل نقطة من السطح الفاصل  $z = 0$  تكون متساوية أي :

$$\vec{k}_1 \cdot \vec{r} = \vec{k}'_1 \cdot \vec{r} = \vec{k}_2 \cdot \vec{r} \quad (3-16)$$

ان  $\vec{r}$  هي متجهة اختيارية على الحد الفاصل ولذلك يمكن اختيارها بحيث أن العلاقة ( 16 ) تصح فقط عندما  $z = 0$  أو عندما  $\vec{n} \cdot \vec{r} = 0$  في كل نقطة من السطح الفاصل وبلاستفادة من المطابقة :

$$\vec{n} \wedge (\vec{n} \wedge \vec{r}) = (\vec{n} \cdot \vec{r}) \vec{n} - \vec{r} = -\vec{r} \quad \text{فان :}$$

$$\vec{k}_1 \cdot \vec{r} = -\vec{k}_1 \cdot \vec{n} \wedge (\vec{n} \wedge \vec{r}) = -(\vec{k}_1 \wedge \vec{n}) \cdot (\vec{n} \wedge \vec{r})$$

وبالمثل فان :

$$\vec{k}'_1 \cdot \vec{r} = -\vec{k}'_1 \cdot \vec{n} \wedge (\vec{n} \wedge \vec{r}) = -(\vec{k}'_1 \wedge \vec{n}) \cdot (\vec{n} \wedge \vec{r})$$

$$\vec{k}_2 \cdot \vec{r} = -\vec{k}_2 \cdot \vec{n} \wedge (\vec{n} \wedge \vec{r}) = -(\vec{k}_2 \wedge \vec{n}) \cdot (\vec{n} \wedge \vec{r})$$

والعلاقة ( 16 ) تكون صحيحة فقط اذا كان :

$$(\vec{k}_1 \wedge \vec{n}) = (\vec{k}'_1 \wedge \vec{n}) = \vec{k}_2 \wedge \vec{n} \quad (3-17)$$

وهذا يعني أن  $\vec{k}'_1$  تقع في مستوى الورد وبما أن ناظم المستوى المعرف بـ  $(\vec{n}, \vec{k}'_1)$  هو موازيا لناظم مستوى الورد فإن  $\vec{k}'_2$  تقع في مستوى الورد والمتجهات  $\vec{n}, \vec{k}'_1, \vec{k}'_2$  و  $\vec{k}'_1, \vec{k}'_2$  تقع جميعها في مستوى واحد هو مستوى الورد . وبحساب الجداءات الشعاعية في العلاقة ( 17 ) نجد :

$$\vec{k}'_2 \cdot \vec{n} = k_2 \cos \theta_2 , \quad \vec{k}'_1 \cdot \vec{n} = -k'_1 \cos \theta'_1 , \quad \vec{k}'_1 \cdot \vec{n} = k_1 \cos \theta_1$$

و :

$$|\vec{k}'_1 \wedge \vec{n}| = k_1 \sin \theta_1 , \quad |\vec{k}'_1 \wedge \vec{n}| = k'_1 \sin \theta'_1 , \quad |\vec{k}'_1 \wedge \vec{n}| = k_2 \sin \theta_2$$

وبالتعويض عن قيم هذه الجداءات في العلاقة ( 17 ) نحصل على العلاقة

$$k'_1 \sin \theta'_1 = k_1 \sin \theta_1 = k_2 \sin \theta_2 \quad (3-18)$$

وبما أن  $k_1 = k'_1$  فإننا نستنتج من ( 18 ) أن :

$$\theta_1 = \theta'_1 \quad (3-19)$$

أي أن زاوية الورد تساوي زاوية الانعكاس وهذا هو قانون الانعكاس . ومن المساواة الثانية في العلاقة ( 18 ) فإن :

$$k_1 \sin \theta_1 = k_2 \sin \theta_2$$

ولكن :  $k_1 = n_1 \frac{\omega}{c}$  و  $k_2 = n_2 \frac{\omega}{c}$  والعلاقة السابقة

تساوي :

$$n_1 \cdot \sin \theta_1 = n_2 \cdot \sin \theta_2 \quad (3-20)$$

وهذا هو قانون سنل في الانكسار . ان قانون الانعكاس والانكسار لايعتمد على الشروط الحدية للمحلقين الكهربائي والمغناطيسي المشتقين من معادلات ماكسويل ولايعتمد على طبيعة الموجة .

### 3 - 3 - معادلات فرنل :

تتوقف العلاقة بين سعات الموجة الكهروضيية الواردة والمنعكسة والمنكسرة على الشروط الحدية للحقل الكهريطسي وعلى طبيعته أي على الحالة التي يكون فيها الحقل الكهربائي للموجة الكهريطسية موازيا لمستوى الورود أو عموديا عليه. ان كل موجة كهريطسية واردة يمكن تحليلها الى موجتين في الاولى يكون الحقل الكهربائي  $\vec{E}_P$  موازيا لمستوى الورود وفي الاخرى عموديا عليه  $\vec{E}_N$ . يمكن كتابة سعيات

الموجة الواردة والمنعكسة بدلالة متجهات الواحدة على الشكل :

$$\vec{E}'_{1N} = \hat{E}'_{1N} \vec{N}'_1, \vec{E}_{1N} = \hat{E}_{1N} \vec{N}_1, \vec{E}'_{2P} = \hat{E}'_{2P} \vec{P}'_2, \vec{E}_{1P} = \hat{E}_{1P} \vec{P}'_1, \vec{E}_{1P} = \hat{E}_{1P} \vec{P}'_1, \vec{E}'_{2N} = \hat{E}'_{2N} \vec{N}'_2$$

وتكون العلاقة بين متجهات الواحدة لهذه المركبات

على الشكل :

$$\vec{N}'_1 = \vec{N}_2 = \vec{N}'_1 = \vec{j} \quad \text{ولذلك فان} \quad \vec{N} = \vec{u} \wedge \vec{p}, \quad \vec{P} = \vec{N} \wedge \vec{u}$$

من شرط استمرار المركبة المماسية لـ  $\vec{E}$  و  $\vec{B}$  نجد:

$$\vec{n} \wedge (\vec{E}_1 + \vec{E}'_1) = \vec{n} \wedge \vec{E}_2 \quad (3-21)$$

$$\vec{n} \wedge (\vec{B}_1 + \vec{B}'_1) = \vec{n} \wedge \vec{B}_2 \quad (3-22) \quad (\text{بفرض أن الوسط العازل غيرمغنت})$$

ننوه هنا الى أنه اذا أخذنا المطابقة التالية :

$$\vec{n} \wedge (\vec{n} \wedge \vec{E}) = (\vec{n} \cdot \vec{E}) \vec{n} - \vec{E}$$

فان:

$$\hat{E} = (\vec{n} \cdot \vec{E}) \vec{n} - \vec{n} \wedge (\vec{n} \wedge \vec{E})$$

فالحد الاول  $(\vec{n} \cdot \vec{E}) \vec{n}$  يمثل المركبة الناعظمية لـ  $\vec{E}$  والمحد

الثانية  $\vec{n} \wedge (\vec{n} \wedge \vec{E})$  يمثل المركبة المماسية وهذا ما أشرنا اليه

سابقا من أن  $\vec{E}$  يتألف من مركبتين ناعظمية ومماسية .

إذا عوضنا عن قيمة  $\vec{B}$  :

$$\vec{B} = \frac{n}{c} \vec{u} \wedge \vec{E}$$

و:

$$\vec{E} = - \frac{c}{n} \vec{u} \wedge \vec{B} \quad (3-23)$$

في العلاقة ( 22 ) نجد:

$$n_1 \cdot \vec{n} \wedge (\vec{u}_1 \wedge \vec{E}_1 + \vec{u}'_1 \wedge \vec{E}'_1) = n_2 \vec{n} \wedge (\vec{u}_2 \wedge \vec{E}_2) \quad (3-24)$$

وللحمول على العلاقة بين  $\vec{E}_1$  و  $\vec{E}'_1$  بدلالة  $\vec{E}_2$  يجب حل المعادلتين

(24) و ( 21 ) مع الملاحظة أن الجداء الخارجى لثلاثة متجهات يساوي:

$$\vec{n} \wedge (\vec{u}_1 \wedge \vec{E}_1) = (\vec{n} \cdot \vec{E}_1) \vec{u}_1 - (\vec{n} \cdot \vec{u}_1) \vec{E}_1$$

وبشكل مشابه يمكن كتابة هذا الجداء من أجل المركبات  $\vec{E}_1$  و  $\vec{E}'_1$  و  $\vec{E}_2$

من أجل المركبة الناظمية  $\vec{E}_{1N}$  فإن  $\vec{n} \cdot \vec{E}_{1N} = 0$  والجداء الثلاثي السابق

يصبح على الشكل:

$$\vec{n} \wedge (\vec{u}_1 \wedge \vec{E}_{1N}) = -\cos \theta_1 \vec{E}_{1N}$$

حيث  $\vec{n} \cdot \vec{u}_1 = \cos \theta_1$  وهكذا فإن المعادلة ( 24 ) تصبح على الشكل:

$$n_1 (\cos \theta_1 \vec{E}_{1N} - \cos \theta'_1 \vec{E}'_1) = n_2 \cos \theta_2 \vec{E}_{2N} \quad (3-25)$$

وبما أن  $\theta_1 = \theta'_1$  فإن ( 24 ) تساوي :

$$n_1 \cos \theta_1 (\vec{E}_{1N} - \vec{E}'_1) = n_2 \cos \theta_2 \vec{E}_{2N} \quad (3-26)$$

وبأخذ الجداء الخارجى للعلاقة ( 21 ) مع  $\vec{n}$  من أجل المركبة الناظمية

لـ  $\vec{E}$  نجد:

$$\vec{E}_{1N} + \vec{E}'_1 = \vec{E}_{2N} \quad (3-27)$$

من العلاقتين ( 26 ) و ( 27 ) يمكن الحمول على العلاقة بين سعة الموجة

الواردة وبين كل من سعة الموجة المنعكسة والمنكسرة عندما يكون

الحقل الكهربائي عموديا على مستوى الورود كما يمكن الحصول على هذه العلاقة عندما يكون الحقل الكهربائي موازيا لمستوي الورود وذلك بتعويض قيمة  $\vec{E}$  من ( 23 ) في ( 21 ) . وسوف نقسم المناقشة الى جزأين نعالج في الجزء الاول الاستقطاب N للموجة الكهرطيسية وفي الجزء الثاني نعالج الاستقطاب من النوع p .

### ١ - الاستقطاب N :

بحل المعادلتين ( 26 ) و ( 27 ) مرتين في الاولى نحذف  $\vec{E}_{2N}$

وفي الثانية نحذف  $\vec{E}_{1N}$  فنجد :

$$r_{12N} = \frac{\vec{E}_{1N}}{\vec{E}_{1N}} = \frac{n_1 \cos \theta_1 - n_2 \cos \theta_2}{n_1 \cos \theta_1 + n_2 \cos \theta_2} \quad (3-28)$$

و :

$$t_{12N} = \frac{\vec{E}_{2N}}{\vec{E}_{1N}} = \frac{2n_1 \cos \theta_1}{n_1 \cos \theta_1 + n_2 \cos \theta_2} \quad (3-29)$$

والشكل ( 3 - 3 ) يبين انكسار وانعكاس موجة كهرطيسية في حالة الاستقطاب N أي عندما يكون الحقل الكهربائي عموديا على مستوى الورود . تدعى العلاقتان ( 28 ) و ( 29 ) بالزوج الاول من معادلات فرنل

### ٢ - الاستقطاب p ( $\vec{E}$ مواز لمستوي الورود ) :

يبين الشكل ( 4 - 3 ) انعكاس وانكسار موجة كهرطيسية في

حالة الاستقطاب p :  $\vec{E}$  مواز لمستوي الورود . عندما تقع المتجهات

$\vec{E}_1$  و  $\vec{E}_1'$  و  $\vec{E}_2$  جميعها في مستوى الورود فان العلاقة ( 23 ) توضح

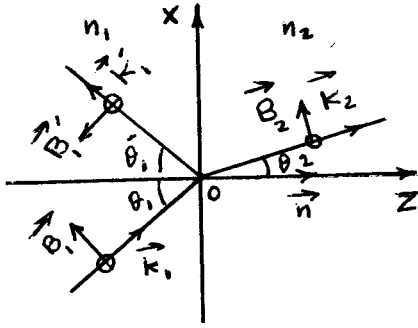
أن المتجهات  $\vec{B}$  تكون متجهة بالاتجاه العمودي أي بالاتجاه  $\vec{z}$  شكل

( 4 - 3 ) .

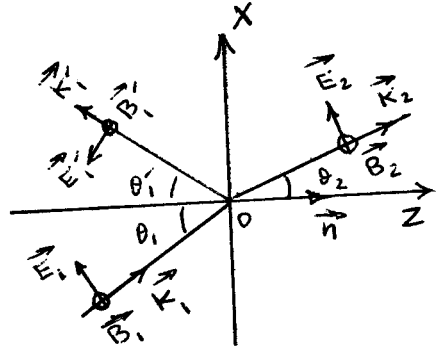
وإذا عوضنا قيمة  $\vec{E} : \vec{B} = -\frac{c}{n} \vec{u} \wedge \vec{B}$  في العلاقة ( 21 ) نجد :

$$\frac{1}{n_1} \cos \theta_1 (\vec{B}_{1N} - \vec{B}_{1N}') = \frac{1}{n_2} \cos \theta_2 \vec{B}_{2N} \quad (3-30)$$





شكل (3 - 3)



شكل (3 - 4)

حيث :  $\vec{n} \cdot \vec{B}_{1N} = \vec{n} \cdot \vec{B}_{2N} = \vec{n} \cdot \vec{B}_{1N}' = 0$

وبالمقابل فان المعادلة ( 22 ) تساوي:

$$\vec{B}_{1N} + \vec{B}_{1N}' = \vec{B}_{2N} \quad (3-31)$$

من العلاقتين ( 30 ) و ( 31 ) نجد أن العلاقة بين  $\vec{B}_{1N}$  وبين  $\vec{B}_{1N}'$  و  $\vec{B}_{2N}$  هي :

$$\frac{\vec{B}_{1N}'}{\vec{B}_{1N}} = r_{12p} = \frac{n_2 \cos \theta_1 - n_1 \cos \theta_2}{n_2 \cos \theta_1 + n_1 \cos \theta_2} \quad (3-32)$$

$$t_{12p} = \frac{\vec{B}_{2N}}{\vec{B}_{1N}} = \frac{2n_2 \cos \theta_1}{n_2 \cos \theta_1 + n_1 \cos \theta_2} \quad (3-33)$$

وبحساب طويلة  $\vec{E}$  من العلاقة ( 23 ) نحصل على :

$$r_{12p} = \frac{\hat{E}_{1p}'}{\hat{E}_{1p}} = \frac{n_1 \cos \theta_1 - n_2 \cos \theta_2}{n_2 \cos \theta_1 + n_1 \cos \theta_2} \quad (3-34)$$

$$t_{12p} = \frac{\hat{E}_{2p}}{\hat{E}_{1p}} = \frac{2n_1 \cos \theta_1}{n_2 \cos \theta_1 + n_1 \cos \theta_2} \quad (3-35)$$

تدعى هاتين العلاقتين بالزوج الثاني لمعادلات فرنل.

وهكذا فان الزوج الاول والثاني لمعادلات فرنل يعطي حلا للمسائل

المتعلقة بالقيم الحدية على اعتبار أن الموجة الواردة المستقطبة

كيفياً، يمكن تحليلها الى مركبتين عمودية وموازية لمستوي الورد، ويجب التنويه هنا الى أن الاستقطاب  $p$  و  $N$  يعود دوماً الى اتجاه الحقل الكهربائي  $\vec{E}$ . عند الورد الناظمي للموجة الكهرطيسية فإن  $\theta_1 = 0$  ومن علاقة سنل فإن  $\theta_2 = 0$  والعلاقات ( 34 ) و ( 36 ) تصبح مساوية الى العلاقات ( 8 ) ولكننا نجد أن  $r_{12N} = -r_{12p}$  ويمحدث هذا الاختلاف في الاشارة نظراً لتعاكس اتجاه  $\vec{E}_{1p}$  و  $\vec{E}'_{1p}$  على حين يكون  $\vec{E}_{1N}$  و  $\vec{E}'_{1N}$  نفس الاتجاه عند الورد الناظمي . في الاستقطاب  $N$  تربط معادلات فرنل بين متجهات الحقل الكهربائي أما عند الاستقطاب  $p$  فانها تربط بين طويلة هذه المتجهات ويعود السبب الى أن الحقل الكهربائي  $\vec{E}_{1p}$ ،  $\vec{E}'_{1p}$ ،  $\vec{E}_{2p}$  تتوضع في اتجاهات مختلفة عند الورد المائل . نحصل على العلاقة بين الشدات انطلاقاً من معادلات فرنل وذلك بمعالجة كل استقطاب بشكل منفصل عن الاخر . نعرف عامل الانعكاس وعامل النفوذ بدلالة المتوسط الزمني لمركبة متجهة بويينتنغ العمودية على السطح الفاصل والتي تنتمي الى المركبة العمودية لمتجهة بويينتنغ للموجة الكهرطيسية الواردة :

$$R_N = \frac{\vec{n} \cdot \langle \vec{p}'_{1N} \rangle}{\vec{n} \cdot \langle \vec{p}_{1N} \rangle} \quad T_N = \frac{\vec{n} \cdot \langle \vec{p}_{2N} \rangle}{\vec{n} \cdot \langle \vec{p}_{1N} \rangle} \quad (3-36)$$

$$R_p = \frac{\vec{n} \cdot \langle \vec{p}'_{1p} \rangle}{\vec{n} \cdot \langle \vec{p}_{1p} \rangle} \quad T_p = \frac{\vec{n} \cdot \langle \vec{p}_{2p} \rangle}{\vec{n} \cdot \langle \vec{p}_{1p} \rangle} \quad (3-37)$$

وبدلالة معاملات فرنل فإن عامل الانعكاس والنفوذ يساوي :

$$R_N = r_{12N}^2 \quad T_N = \frac{n_1 \cos \theta_1}{n_1 \cos \theta_1} t_{12N}^2 \quad (3-38)$$

$$R_p = r_{12p}^2 \quad T_p = \frac{n_2 \cos \theta_2}{n_1 \cos \theta_1} t_{12p}^2 \quad (3-39)$$

والعلاقات  $R_N + T_N = 1$  و  $R_p + T_p = 1$  تظل صحيحة في حالة الورود المائل لموجة كهروطيسية على سطح غير ناقل ، في بعض الاحيان يكون من الملائم التعبير عن معادلات فرنل بالشكل التالي:

$$r_{12N} = \frac{\sin(\theta_2 - \theta_1)}{\sin(\theta_2 + \theta_1)} \quad (3-40)$$

$$t_{12N} = \frac{2 \cos \theta_1 \cdot \sin \theta_1}{\sin(\theta_2 + \theta_1)} \quad (3-41)$$

$$r_{12p} = \frac{\tan(\theta_1 - \theta_2)}{\tan(\theta_1 + \theta_2)} \quad (3-42)$$

$$t_{12p} = \frac{2 \cos \theta_1 \cdot \sin \theta_2}{\sin(\theta_1 + \theta_2) \cdot \cos(\theta_1 - \theta_2)} \quad (3-43)$$

وقد تم الحصول على هذه العلاقات باستخدام بعض المطابقات في المثلثات ومن استخدام قانون سنل في الانسكار.

#### 4 - 3 - زاوية بروستر - الزاوية الحرجة :

سوف نعتبر أن كلاً من  $R$  و  $T$  تتعلق بزاوية الورود

في الحالة التي يكون فيها الوسطين غير ناقلين لأنه يمكن كتابة  $\theta_2$

بدلالة  $\theta_1$  ،  $n_1$  و  $n_2$  . وجدنا سابقا عندما يكون ورود الموجة

الكهروطيسية ناظمية على السطح الفاصل فان :  $\theta_1 = 0 \leftarrow \theta_2 = 0$

وفي هذه الحالة فان الاستقطاب لا يعود فهما وعامل الانعكاس R يزدادا عند زيادة النسبة  $\frac{n_2}{n_1}$  التي تختلف عن الواحد. عندما ترد الموجة الكهروضوئية مماسيا على السطح الفاصل أي عندما تكون  $\theta_1 = \frac{\pi}{2}$  فان  $\cos \theta_1 = 0$  و  $R_p = 1 = R_N$  ويمكن للتأكد من ذلك بتعويض قيمة  $\theta_1$  بالمعادلات ( 28 ) و ( 34 ) . وهنا يجب الا يغيب عن بالنا أنه في كل مرة نحسب R فان T تساوي  $1 - R$  . بالقرب من الورود المماسي فان عامل الانعكاس يكون كبيرا وهذا هو السبب في أن سطح البحيرة الهادئة تكون كالمراة عند ورود الأشعة الضوئية على سطحها بزواوية قريبة من  $90^\circ$  . وبين ورود الموجات الكهروضوئية بزواوية مماسية وزاوية ناظمية توجد زاويتين لهما أهمية خاصة هما زاوية بروستر والزواوية المرجبة . وقد يخطر في ذهننا سؤال : هل توجد حالة تكون فيها الانعكاسية ( عامل الانعكاس ) معدومة ؟ والجواب : نعم ، والمعادلتين ( 40 ) و ( 42 ) تؤيدان ذلك . فعندما  $\theta_1 = \theta_2$  فان :

$$\sin(\theta_2 - \theta_1) = 0 = \tan(\theta_1 - \theta_2)$$

ولا توجد عندئذ موجة منعكسة لان  $r_{12p} = 0 = r_{12N}$  أي أن عامل الانعكاس ينعدم مهما كان نوع الاستقطاب p أو N . ولسوء الحظ أن ذلك يحدث أيضا عندما تكون  $n_1 = n_2$  أي عندما يكون الوسطين غير متميزين ضوئيا وهذا ما نستبعده الآن ، من جهة أخرى اذا كانت :

$$\theta_1 + \theta_2 = \frac{\pi}{2} \text{ فان المقدار } \tan(\theta_1 + \theta_2) = \infty \text{ و } r_{12p} = 0$$

أي أنه لا توجد موجة منعكسة أيضا اذا كانت الموجة الواردة مستقطبة بحيث أن  $\vec{E}$  يكون موازيا لمستوي الورود ( الاستقطاب p ) ويمكن أن نفسر ذلك بقولنا ان الوسطين غير متميزين ضوئيا بالنسبة لهذا

النوع من الموجة . واذا كان  $r_{12p} = 0$  عندما  $\theta_1 + \theta_2 = \frac{\pi}{2}$  فان  $r_{12p} \neq 0$  أي أنه توجد موجة منعكسة عندما يكون الحقل الكهربائي  $\vec{E}$  في الموجة الواردة عموديا على مستوى الورود (الاستقطاب N) واذا سقطت الموجة (الضوئية) الواردة بزوايا تحقق العلاقة  $\theta_1 + \theta_2 = \frac{\pi}{2}$  فان هذه الموجة الضوئية تستقطب بالانعكاس بتبديل  $\theta_1 - \theta_2 = \frac{\pi}{2}$  في قانون سنل :  $n_1 \sin \theta_1 = n_2 \sin \theta_2$  نجد :

$$n_1 \sin \theta_1 = n_2 \sin \left( \frac{\pi}{2} - \theta_1 \right) = n_2 \cos \theta_1$$

تدعى  $\theta_1$  بزواوية بروستر ويرمز لها بـ  $\theta_B$  وتتعين بالعلاقة :

$$\tan \theta_B = \frac{n_2}{n_1} \quad \text{قانون بروستر} \quad (3-44)$$

عند هذه الزاوية لا توجد موجة منعكسة اذا كانت الموجة الواردة على

السطح من الاستقطاب p اما اذا لم تكن كلياً من الاستقطاب p فانه توجد موجة منعكسة وتكون ذات استقطاب N أي أن الحقل الكهربائي للموجة المنعكسة يكون عموديا على مستوى الورود . يوضح الشكل (5 - 3) موجة مستقطبة يكون فيها  $\vec{E}$  موازيا لمستوى الورود

ترد على السطح الفاصل بين الهواء والزجاج بزواوية بروستر التي تساوي في هذه الحالة الى  $\theta_B = 56^\circ$  كما وينمثل على الشكل

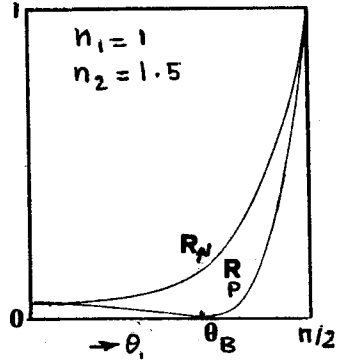
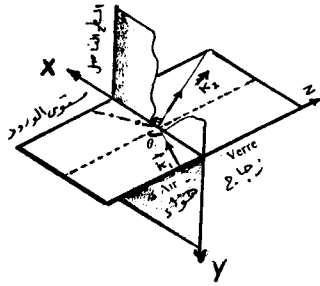
(6 - 3) تغيرات  $R_N$  و  $R_p$  بدلالة زوايا الورود  $\theta_1$  حيث

$$n_1 = 1 \text{ و } n_2 = 1,5 \text{ (زجاج) .}$$

ان الانعكاسية المنخفضة للضوء المستقطب p ( $R_p$ ) يعلّل

فائدة النظارات الشمسية . وبما أن معظم السطوح العاكسة الخارجية

أو الخلية Out door هي أفقية فان مستوى الورود لمعظم الشدة



شكل (6 - 3) انعكاس الامواج الكهرطيسية شكل (5 - 3)

ذات الاستقطاب N و p على السطح الفاصل

هواء - زجاج  $\theta_B = 56^\circ$

الضوئية المنعكسة الذي يصل العين يكون عموديا . واذا فرضنا  
 أن رأس شخص ما كان بوضعية صحيحة ( أي مرفوعا ) فان العدسات  
 المقطبة الموضوعة على العين تعمل بحيث تمرر الضوء الذي يكون  
 فيه الحقل الكهربائي  $\vec{E}$  في المستوي العمودي عليها وتمنح  
 المركبات الاخرى المنعكسة بشدة من النوع N .

توجد حالة أخرى اضافة الى حالة الورود المماسي الذي

يكون فيها  $R_p = R_N = 1$  ومن المعادلات ( 28 ) و ( 34 ) نرى أن انعكاسا  
 كليا يحدث عندما  $\theta_2 = \frac{\pi}{2}$  مثلما يحدث عندما  $\theta_1 = \frac{\pi}{2}$  . تسمى  
 زاوية الورود التي من أجلها تكون  $\theta_2 = \frac{\pi}{2}$  بالزاوية المرجية أي  
 $\theta = \theta_c$  ومن قانون سنل فان  $\theta_c$  تساوي :

$$\sin \theta_c = \frac{n_2}{n_1} \quad (3-45)$$

تكون الزاوية الحرجة حقيقية فقط عندما تكون  $n_1 > n_2$  والعلاقة

بين زاوية بروستر والزاوية الحرجة هي :

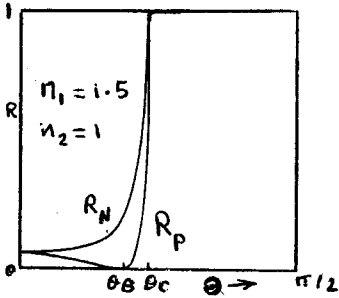
$$\tan \theta_B = \sin \theta_C \quad (3-46)$$

وبما أن  $\tan \theta > \sin \theta$  فإن  $\theta_C > \theta_B$  , نمثل على الشكل ( 7 - 3 )

تغير R بدلالة  $\theta_1$  في حالة السطح الفاصل بين الزجاج  $n_1 = 1,5$  والهواء  $n_2 = 1$  . عندما يكون الورد من الزجاج الى الهواء فإن  $\theta_B = 34^\circ$  و  $\theta_C = 42^\circ$  وعند زوايا ورود أكبر من الزاوية

الحرجة :  $\theta_1 > \theta_C$  فان قانون سنل يساوي :

$$\sin \theta_2 = \frac{n_1}{n_2} \sin \theta_1 > \frac{n_1}{n_2} \sin \theta_C$$



الشكل ( 7 - 3 ) انعكاس موجة

كهرطيسية ذات استقطاب N و p

على السطح الفاصل بين الزجاج -

هواء زاوية بروستر تساوي في

هذه الحالة  $\theta_B = 34^\circ$  و  $\theta_C = 42^\circ$

الكهرطيسية ذات الاستقطاب N أو p . ويمكن البرهان على ذلك

كمايلي : ان متوسط تدفق الطاقة بوحدة الزمن وبوحدة السطح من

السطح الفاصل تساوي من أجل الموجة المنكسرة :

$$\langle \vec{p}_2 \rangle \cdot \vec{n} = \frac{1}{2} R_e [\vec{n} \cdot (\vec{E}_{2N} \wedge \vec{H}_{2N}^*)] = \frac{n_2}{2c\mu} R_e [\vec{n} \cdot (\vec{E}_{2N} \wedge \vec{u}_2 \wedge \vec{E}_{2N}^*)]$$

$$= \frac{n_2}{2c\mu} R_e [(\vec{n} \cdot \vec{u}_2) |\vec{E}_{2N}|^2] = \frac{n_2}{2c\mu} R_e [\cos \theta_2 \cdot |\vec{E}_{2N}|^2] = 0$$

لان  $\cos \theta_2$  هي كمية عقدية . عندما  $\theta_2 = \frac{\pi}{2}$  وعند زوايا  
 ورود أكبر من  $\theta_c$  فان الطاقة تنعكس كليا في الوسط الاول وتدفق  
 الطاقة يكون معدوما عبر السطح الفاصل وهذا مايبينه الشكل (4-7)  
 حيث أن عامل الانعكاس يساوي الواحد دوما عند زوايا  $\theta_1 < \theta_c$ .

ورب سائل يقول : ان ماتقدم صحيح ولكن اذا أخذنا

معادلة الموجة النافذة  $\vec{E}_2$  من العلاقة ( 15 ) فان الحقل الكهربائي  
 $\vec{E}_2$  لاينعدم عندما تكون  $\theta_1 < \theta_c$  . للاجابة على هذا السؤال نعيد  
 كتابة  $\vec{E}_2$  على الشكل :

$$\vec{E}_2 = \vec{E}_2 \cdot e^{i[\vec{k}_2 \cdot \vec{r} - \omega t]} = \vec{E}_2 \cdot e^{i[k_2(z \cos \theta_2 + x \sin \theta_2) - \omega t]}$$

نكتب  $\cos \theta_2$  على الشكل:

$$\cos \theta_2 = (1 - \sin^2 \theta_2)^{\frac{1}{2}} = [1 - (\frac{n_1}{n_2})^2 \sin^2 \theta_1]^{\frac{1}{2}}$$

$$= i [(\frac{n_1}{n_2})^2 \sin^2 \theta_1 - 1]^{\frac{1}{2}}$$

نعوض قيمة  $\cos \theta_2$  في التابع الاسي فنجد:

$$\vec{E}_2 = \vec{E}_2 \cdot e^{-z [(\frac{n_1}{n_2})^2 \sin^2 \theta_1 - 1]^{\frac{1}{2}} k_2} \cdot e^{i(k_2 x \sin \theta_2 - \omega t)}$$

$$= \vec{E}_2 \cdot e^{-z/\delta} \cdot e^{i(k_2 x \sin \theta_2 - \omega t)} \quad (3-47)$$

حيث  $\delta$  هو عمق التوغل :

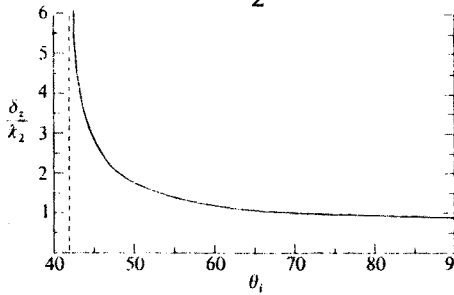


$$k_2 = \frac{\omega}{v_2} = \frac{\omega}{\lambda_2/T} = \frac{2\pi}{\lambda_2} = \frac{1}{\lambda_2}$$

$$\delta = \frac{1}{\left[ \left( \frac{n_1}{n_2} \right)^2 \sin^2 \theta_1 - 1 \right]^{\frac{1}{2}} \cdot k_2} = \frac{\lambda_2}{\left[ \left( \frac{n_1}{n_2} \right)^2 \sin^2 \theta_1 - 1 \right]^{\frac{1}{2}}}$$

وكما نلاحظ فان سعة الموجة النافذة تتناقص مع ازدياد  $z$  ومنحى التناقص يكون عموديا على السطح الفاصل . يبين الشكل ( 8 - 3 ) تغير

$$\frac{\delta}{\lambda_2} = 1,5 \quad \text{بدلالة زاوية الورود } \theta_1 \text{ من أجل : } \frac{n_1}{n_2}$$



شكل ( 8 - 3 ) تغير  $\frac{\delta}{\lambda_2}$  للموجة المنكسرة بدلالة زوايا الورود عند الانعكاس الكلي .

ويكون متوسط تدفق الطاقة في

الاتجاه العمودي على السطح الفاصل مساويا الصفر .

اذا كتبنا  $\cos \theta_2$  عند الانعكاس الكلي بالشكل :

$$\cos \theta_2 = \sqrt{1 - \sin^2 \theta_2} = \sqrt{1 - \left( \frac{n_1}{n_2} \right)^2 \sin^2 \theta_1} = i \sqrt{\left( \frac{n_1}{n_2} \right)^2 \sin^2 \theta_1 - 1}$$

وعوضنا قيمتها في ( 28 ) فان معامل فرنل في حالة الاستقطاب N

يساوي :

$$r_{12N} = \frac{\vec{E}_{1N}}{\vec{E}_{1N}} = \frac{n_1 \cos \theta_1 - n_2 \cos \theta_2}{n_1 \cos \theta_1 + n_2 \cos \theta_2} = \frac{n_1 \cos \theta_1 - n_2 i \sqrt{\left( \frac{n_1}{n_2} \right)^2 \sin^2 \theta_1 - 1}}{n_1 \cos \theta_1 + i n_2 \sqrt{\left( \frac{n_1}{n_2} \right)^2 \sin^2 \theta_1 - 1}}$$

$$\tan\left(\frac{\delta_N}{2}\right) = \frac{\frac{n_1}{n_2} \cos \theta_1 - i \sqrt{\left(\frac{n_1}{n_2}\right)^2 \sin^2 \theta_1 - 1}}{\frac{n_1}{n_2} \cos \theta_1 + i \sqrt{\left(\frac{n_1}{n_2}\right)^2 \sin^2 \theta_1 - 1}}$$

وبالاستفادة من العلاقة:  $\frac{a - ib}{a + ib} = e^{-i\delta_N}$  حيث  $\frac{b}{a}$

فان معامل فرنل يساوي :

$$r_{12N} = \frac{\vec{E}'_{1N}}{\vec{E}_{1N}} = e^{-i\delta_N} \quad (3-48)$$

حيث أن تغير الطور  $\delta_N$  يساوي:

$$\delta_N = 2 \operatorname{Arctg}\left(\frac{\sqrt{\left(\frac{n_1}{n_2}\right)^2 \sin^2 \theta_1 - 1}}{\frac{n_1}{n_2} \cos \theta_1}\right)$$

وبشكل مشابه اذا بدلنا قيمة  $\cos \theta_2$  في العلاقة ( 34 ) فاننا

نحصل :

$$r_{12p} = \frac{\vec{E}'_{1p}}{\vec{E}_{1p}} = \frac{\frac{n_2}{n_1} \cos \theta_1 - i \sqrt{\left(\frac{n_1}{n_2}\right)^2 \sin^2 \theta_1 - 1}}{\frac{n_2}{n_1} \cos \theta_1 + i \sqrt{\left(\frac{n_1}{n_2}\right)^2 \sin^2 \theta_1 - 1}} = e^{-i\delta_p} \quad (3-49)$$

حيث :

$$\tan\left(\frac{\delta_p}{2}\right) = \frac{\sqrt{\left(\frac{n_1}{n_2}\right)^2 \sin^2 \theta_1 - 1}}{\frac{n_2}{n_1} \cos \theta_1}$$

وكما يبدو من العلاقتين ( 48 ) و ( 49 ) فان سعات الموجة المنعكسة

تساوي سعات الموجة الواردة ويبقى R دوما مساويا الواحد ولكن

سعة الموجة المنعكسة تتأخر في الطور بمقدار  $\delta_N$  في حال الاستقطاب N

وبمقدار  $\delta_p$  في حال الاستقطاب p . واذا كانت الموجة الواردة مستقطبة

كيفية فان الموجة المنعكسة انعكاسا كلياً تكون مستقطبة استقطاباً

اهليجيا . ان طول الموجة المنعكسة يتغير من  $0^\circ$  عندما تكون زاوية الورود مساوية الى الزاوية الحرجة الى  $180^\circ$  عندما تكون زاوية الورود مماسية أي مساوية  $\frac{\pi}{2}$  ، يمكن مشاهدة ظاهرة الانعكاس الكلي وعلى سبيل المثال لاحصرا في المواشير وعند النظر الى حوض الاسماك أو النظر من تحت الماء الى السطح... الخ ومن التطبيقات المهمة لهذه الظاهرة نذكر الانبوب الضوئي "Fineglass Fiber" حيث تنتقل الحزمة الضوئية فيه نتيجة الانعكاسات الكلية على الجوانب الداخلية للانبوب وبشكل مشابه للموجة الموجهة في الامواج الميكروية كما سئرى لاحقا . ان الامثلة التي ذكرت في هذه الفقرة تنطبق على الترددات في مجال الضوء المرئي وعلى المواد الشفافة التي قريئة انكسارها تساوي  $n = \sqrt{\epsilon_r}$  . في المواد اللاقطبية تظل العلاقات السابقة صحيحة عند الترددات المنخفضة أما عند ترددات الاشعة فوق البنفسجية وما فوق فان هذه العلاقات تصبح غير صحيحة. وفيما يخص المواد القطبية الشفافة ضوئيا والمؤلفة من جزيئات قطبية كالماء أو من الايونات كما في الملح الصفري فان ماسبق نكره من علاقات لا يكون صحيحا عند الترددات المنخفضة والسبب هو أن  $\epsilon_r$  يكون تابعا لتردد الموجة المستخدمة .

3-5 - انعكاس موجة كهرومغناطيسية على مستوى ناقل - معاملات فرنل

#### العقدية:

وجدنا في الفقرة السابقة أنه من أجل زوايا ورود أكبر من الزاوية الحرجة فان  $\sin \theta_2 > 1$  و  $\cos \theta_2$  تكون عقدية وبالتالي فان معاملات فرنل تكون عقدية أيضا . من جهة أخرى تكون معاملات فرنل

عقدية أيضا عندما يكون الوسط الثاني وسطا ناقلا وتكون كذلك  
 قرينة الانكسار  $n_2$  عقدية حيث نرمز لها بالرمز  $\hat{n}_2$  . ومن قانون  
 سنل :

$$n_1 \sin \theta_1 = \hat{n}_2 \sin \hat{\theta}_2$$

فان  $\sin \hat{\theta}_2$  يكون مقدارا عقديا .

لاتوجد في الحقيقة طريقة لرسم الاشكال (3 - 3) و (4 - 3)  
 بزاوية عقدية  $\hat{\theta}_2$  ولذلك سوف نلجأ الى الجبر الشعاعي حيث تكون  
 قوانينه صالحة ليس فقط بالنسبة للكميات الحقيقية وانما أيضا  
 بالنسبة للكميات العقدية . لنعتبر الآن أحد الوسطين شفافا وليكن  
 الوسط الاول والمعادلات ( 17 ) تصبح عندئذ على الشكل التالي :

$$\vec{k}_1 \wedge \vec{n} = \vec{k}_2 \wedge \vec{n} \quad (3-50)$$

تبقى  $\vec{j}$  متجهة الواحدة العمودية على مستوى الورود أما متجهة  
 الانتشار العقدية  $\vec{k}_2$  فلا يكون لها مركبات في الاتجاه  $\vec{j}$  أي :

$$\vec{k}_2 \cdot \vec{j} = 0 \quad (3-51)$$

والجداً  $\vec{k}_2 \cdot \vec{n}$  يساوي :

$$\vec{k}_2 \cdot \vec{n} = \hat{k}_2 \cdot \cos \hat{\theta}_2 \quad (3-52)$$

ان الشروط الحدية على السطح الفاصل التي يخضع لها الحقل الكهربائي  
 والمغناطيسي تبقى نفسها كما مر معنا سابقا ومعاملات فرنل العقدية  
 تعطى بالعلاقات ( 28 ) ، ( 29 ) ، ( 34 ) و ( 35 ) مع مراعات أن  $n_2$  و

$\cos \theta$  هي كميات عقدية :  $\hat{n}_2$  ،  $\cos \hat{\theta}_2$  .

وإذا عبرنا عن هذه المعاملات بالصيغة القطبية نجد أن :

$$\hat{r}_{12p} = |\hat{r}_{12p}| \cdot e^{i\alpha_p} \quad \text{و} \quad \hat{r}_{12N} = |\hat{r}_{12N}| \cdot e^{i\alpha_N} \quad (28)$$

و ( 34 ) نحصل على الحقل الكهربائي  $\vec{E}_{1N}$  و  $\vec{E}_{1p}$  :

$$\vec{E}_{1N} = |\hat{r}_{12N}| \cdot e^{i\alpha_N} \cdot \vec{E}_{1N} \quad (3-53)$$

$$\vec{E}_{1p} = |\hat{r}_{12p}| \cdot e^{i\alpha_P} \cdot \vec{E}_{1p}$$

ويتضح من هذه العلاقة أن الحقول الكهربائية للموجة المنعكسة تكون مزاحة في الطور بالنسبة للحقل الكهربائي للموجة الواردة . كما يمكن اثبات وجود فرق في الطور بين الحقل  $\vec{E}$  للموجة الواردة وبين الحقل  $\vec{E}$  للموجة العائدة . يتضح من ( 53 ) أن  $\vec{E}_{1N}$  و  $\vec{E}_{1p}$  يملكان فرقا في الطور  $\alpha_N - \alpha_P$  ولذلك إذا كانت الموجة الواردة مستقطبة خطيا فان الموجة المنعكسة تكون مستقطبة اهليلجيا عند الورود المائل يمكن ايجاد كل من الانعكاسية  $R_N$  و  $R_P$  بسهولة ، ويساويان :

$$R_P = |\hat{r}_{12p}|^2 \quad (3-54)$$

$$R_N = |\hat{r}_{12N}|^2$$

في الاوساط اللاناقلة وجدنا أن  $R + T = 1$  وعندما يكون أحد الوسطين ناقلا فاننا نستخدم بدلا من العلاقة السابقة المطابقات :

$$\hat{r}_{12} = -\hat{r}_{21} \quad (3-55)$$

$$\hat{r}_{12}^2 + \hat{t}_{12}\hat{t}_{21} = 1$$

والعلاقتين ( 55 ) تصلحان عندما يكون الاستقطاب  $N$  و  $p$  . عند الورود الناظمي لموجة كهروطيسية من الهواء  $n_1 = 1$  الى سطح ناقل فان عامل الانعكاس يعطى بالعلاقة :

$$R_n = \frac{(n-1)^2 + \hat{n}^2}{(n+1)^2 + \hat{n}^2} \quad (3-56)$$

حيث :

$$\hat{n}_2 = n' + in'$$

وباعتبار أن كل الطاقة النافذة تمتص في الوسط الناقل فاننا نعرف عامل الامتصاص بالعلاقة :

$$A = 1 - R \quad (3-57)$$

وفي حالة الورود الناظمي فان :

$$A_n = \frac{4n}{(n+1)^2 + \hat{n}^2} \quad (3-58)$$

يكون عامل الامتصاص ضئيلا (نعكاس كبير) اذا كان  $n \ll 1$  أو اذا كان  $n \gg 1$  أو اذا كان  $n \gg 1$  وعندما يكون  $n \approx n' \gg 1$  فان :

$$A_n \approx \frac{2}{n'} \ll 1 \quad (3-59)$$

وفي هذه الحالة فان :

$$n' \approx \sqrt{\epsilon_r/2} = \sqrt{\sigma/2\epsilon_0\omega}$$

و:

$$A_n \approx \frac{2}{\sqrt{2\epsilon_0\omega/\sigma}} \quad (3-60)$$

تدعى العلاقة (60) بعلاقة Hagen - Rubens وتطبق على النواقل الجيدة في مجال ترددات الامواج الميكروية ومادون وتطبق على المعادن في مجال ترددات الاشعة تحت الحمراء. ان عامل الامتصاص للفضة عند التردد  $f = 10^{10}$  Hz يساوي :

$$A_n = 2 \cdot \sqrt{2(8.854 \times 10^{-7})(2\pi \times 10^{10})/3 \times 10^7} = 3.9 \times 10^{-4}$$

وهو مقدار ضئيل جدا أما عامل الانعكاس فيساوي الى:  $R_n = 0,9996$

من أجل ماء البحر وعندد التردد  $f = 6.10^{11} \text{ Hz}$  فــــــــــــــــــــــ ان  
 $A_n = 25 \times 10^{-4}$  و  $R_n = 0,9975$  . والانعكاسية ( عامل  
الانعكاس ) العالية لماء البحر تخلق مشكلة في الاتصال بين الغواصات  
والمحطات على سطح اليابسة . فعندما يكون هوائي الغواصة تحت الماء  
فان الاتصال مع اليابسة يكون ضعيف الفعالية لان قسما كبيرا من  
الطاقة ينعكس على سطح البحر والطاقة النافذة الضعيفة تتخامد بقوة  
مع المسافة ، تخامد موجة كهروطيسية ترددها 20 MHz في ماء البحر  
يساوي 170 dB/m و 5,4 dB/m عند التردد 20 KHz ولذلك  
يبدو أن الاتصال بين سطح الارض والغواصات في الوقت الحالي غير  
ممکن حتى عند استخدام ترددات ضعيفة لان ذلك يتطلب استطاعة للبث  
كبيرة جدا وهذا بدوره يتطلب وضع هوائي ذو حجم كبير جدا على  
الغواصة . تعود الامتصاصية الضئيلة الى أن عمق التوغل يكون ضئيلا  
نسبيا فمن العلاقة :  $\delta = \frac{c}{k\omega}$  نجد أن الامتصاصية  $A_n$  تساوي

$$A_n = \frac{4\pi \cdot \delta}{\lambda_1} \quad (3-61)$$

حيث  $\lambda_1$  هو طول الموجة الكهروطيسية في الهواء .

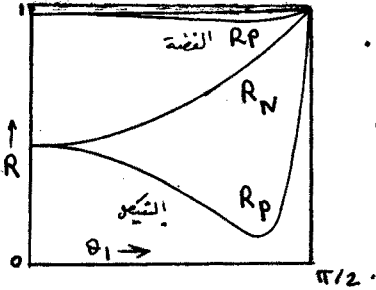
في مجال ترددات الاشعة المرئية فان  $n \cong 0,05$  تساوي  
و  $n' \cong 3$  من أجل معدن الفضة والعلاقة ( 61 ) لاتكون صالحة في  
هذه الحالة . من أجل النيكل  $n \cong 2$  ،  $n' \cong 3$  و  $R_n = 0,56$   
يبين الشكل التالي ( 9 - 3 ) تغير R بدلالة زاوية الورود من  
أجل Ni و Ag .

نلاحظ من الشكل أنه عند زاوية بروستر فان  $R_p$  لاينعدم  
وانما يمر بنهاية صغرى وتظل الانعكاسية  $R_p$  أقل من الانعكاسية

$R_N$  دوما . لدراسة وضع الموجة النافذة نكتب متجهة الانتشار  $\vec{k}_2$  على

$$\vec{k} = \vec{k}_r + ik_i \quad \text{الشكل :} \quad (3-62)$$

$$= \hat{k} \sin \hat{\theta} \vec{i} + \hat{k} \cos \hat{\theta} \vec{k} \quad (3-63)$$



( نسط الدليل 2 في هذه المناقشة ) .

شكل ( 9 - 3 ) : الانعكاس على السطح

الفاصل بين العواء - معدن ( Ag - Ni )

عند الاستقطاب N و p للضوء المرئي .

ان المعادلة ( 63 ) تثبتها المعادلة ( 51 ) وهذا

يعني أن  $\vec{k} \wedge \vec{n}$  هو حقيقي ومن العلاقة ( 62 ) فان :

$$\vec{k}_r \wedge \vec{n} = \vec{k}_1 \wedge \vec{n} \quad (3-64)$$

$$\vec{k}_i \wedge \vec{n} = 0 \quad (3-65)$$

تبين المعادلة ( 65 ) أن  $\vec{k}_i$  تكون موازية  $\vec{n}$  والمعادلة

( 64 ) تساوي عندئذ الى :

$$k_r \sin \phi = k_1 \sin \theta_1 \quad (3-66)$$

حيث  $\phi$  هي الزاوية الحقيقية بين  $\vec{k}_r$  و  $\vec{n}$  ( الشكل (3-10) ) وهذه

الزاوية تدعى " زاوية الانكسار الحقيقية " وهي الزاوية الكائنة بين

مستويات تساوي الطور وبين السطح الفاصل . ومن جهة أخرى فإن

مستويات تساوي السعة تكون موازية للسطح الفاصل . ولذلك فان الموجة

تتخادم على نحو سريع داخل الناقل . اذا أعدنا كتابة المعادلة ( 62 )

$$\vec{k} = k_r \sin \phi \vec{i} + k_r \cos \phi \vec{k} + ik_i \vec{k} \quad \text{على الشكل :}$$

$$= k_1 \sin \theta_1 \vec{i} + (k_r \cos \phi + ik_i) \vec{k}$$



وبمقارنة مركبات هذه المعادلة مع مركبات المعادلة ( 63 ) نجد :

$$k_1 \sin \theta_1 = \hat{k} \sin \hat{\theta} \quad (3-67)$$

$$k_r \cos \phi + ik_i = \hat{k} \cos \hat{\theta} \quad (3-68)$$

تشير العلاقة ( 67 ) الى قانون سنل Snell ، أما العلاقة ( 68 ) فهي بالاضافة الى ( 66 ) تعطي العلاقة بين  $k_i, k_r$  و  $\phi$  مع  $n$  ،  $k$  و  $\theta_1$  وهذا ما سوف نفتش عنه . لنكتب  $\hat{k}_2 \cos \hat{\theta}_2$  على الشكل :

$$\hat{k} \cos \hat{\theta} = \frac{\omega}{c} (p + iq) \quad (3-69)$$

فيكون :

$$\hat{n} \cos \hat{\theta} = p + iq \quad (3-70)$$

ومن المعادلة ( 69 ) نجد :

$$k_r \cos \phi = \left(\frac{\omega}{c}\right) p$$

ومن المعادلة ( 66 ) نجد أن :

$$k_r = \frac{\omega}{c} \sqrt{p^2 + n_1^2 \sin^2 \theta_1} \quad (3-71)$$

$$k_i = \frac{\omega}{c} q \quad (3-72)$$

لايجاد  $p$  و  $q$  نربع المعادلة ( 70 ) فنجد :

$$\begin{aligned} p^2 - q^2 + 2ipq &= \hat{n}^2 (1 - \sin^2 \hat{\theta}) \\ &= (n + in')^2 - n_1^2 \sin^2 \theta_1 \\ &= n^2 - \hat{n}^2 - n_1^2 \sin^2 \theta_1 + 2inn' \end{aligned}$$

حيث استخدمنا قانون سنل :  $\hat{n} \sin \hat{\theta} = n_1 \sin \theta_1$  واذا عوضنا عن  $\hat{n}^2$  بالمقدار  $\bar{\epsilon}_r = \epsilon_r + i\epsilon_r'$  (حيث  $\bar{\epsilon}_r$  هي ثابتة العزل

العقدية ( في العلاقة السابقة نجد :

$$p^2 - q^2 + 2ipq = \epsilon_r - \epsilon_{r_1} \sin^2 \theta_1 + i\epsilon'_r$$

وبمساواة الاجزاء الحقيقية والتخيلية نحصل على :

$$\epsilon_r - \epsilon_{r_1} \sin^2 \theta_1 = p^2 - q^2$$

$$\epsilon'_r = 2pq \quad (3-73)$$

وبحل ( 53 ) نجد:

$$p = \sqrt{\frac{1}{2} [(\epsilon_r - \epsilon_{r_1} \sin^2 \theta_1) + \sqrt{(\epsilon_r - \epsilon_{r_1} \sin^2 \theta_1)^2 + \epsilon_r'^2}]} \quad (3-74)$$

$$q = \sqrt{\frac{1}{2} [-(\epsilon_r - \epsilon_{r_1} \sin^2 \theta_1) + \sqrt{(\epsilon_r - \epsilon_{r_1} \sin^2 \theta_1)^2 + \epsilon_r'^2}]}$$

ان p و q كما نلاحظ تعتمد على زاوية الورود  $\theta_1$  فعندما  $\theta_1 = 0$

فان  $p = n$  و  $q = n'$  . تحدد العلاقة ( 72 ) مسافة التخماد  $\delta = \frac{1}{k_i}$

التي تعطى بدلالة q . هذا ويمكن أن نكتب العلاقة ( 71 ) على الشكل

$$k_r = \frac{\omega}{c} N \quad (3-75)$$

حيث  $N(\theta_1)$  هي قرينة الانكسار وتساوي :

$$N = \sqrt{p^2 + n_1^2 \sin^2 \theta_1} \quad (3-76)$$

والمقدار :

$$\frac{c}{N} = \frac{c}{\sqrt{p^2 + n_1^2 \sin^2 \theta_1}}$$

يساوي الى السرعة الطورية . بتعويض ( 75 ) في

العلاقتين ( 66 ) و ( 71 ) نجد:

$$\left. \begin{aligned} N \sin \phi &= n_1 \sin \theta_1 \\ N \cos \phi &= p \end{aligned} \right\} \quad (3-77)$$

يمكن استخدام العلاقتين ( 77 ) لتحديد الزاوية  $\phi$  .

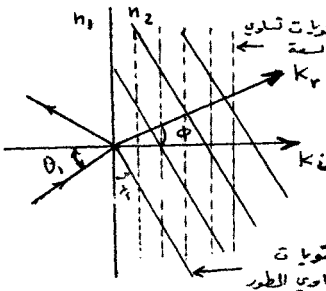
على الرغم من أن  $N$  لا يمثل الجزء الحقيقي لـ  $\hat{n}$  و  $\phi$  لا تمثل الجزء الحقيقي لـ  $\hat{\theta}$  إلا أن  $N \cos \phi$  تمثل الجزء الحقيقي لـ  $\hat{n} \cos \hat{\theta}$  وبذلك يكون لدينا حل تام للحالة العقدية . ان المعادلات ( 74 ) هي معادلات معقدة وينوه عنها في كثير من الاحيان عند انتشار الامواج الكهرطيسية في الاوساط الناقلة عند السقوط المائل ماعدا بعض الحالات الضرورية . فمثلا عندما تكون  $\epsilon_r$  كبيرة جدا تقودنا هذه الحالة الى علاقة هاجن - روينز Hagen-Rubens .

$$p \cong n \cong q \cong n \gg 1$$

ومن العلاقة ( 76 ) فان :  $N \gg 1$

ومن العلاقة الاولى في ( 77 ) نجد أن :  $\phi \cong 0$

ان جهة الانتشار تكون عندئذ عمودية على السطح الفاصل داخل الوسط الناقل مهما كانت زاوية الورود ويكون التخامد قوي جدا وهذا ما يؤدي الى تناقص السرعة وطول الموجة بشكل كبير .



شكل ( 10 - 3 ) : انكسار موجة كهرطيسية في النواقل . ان مستويات تساوي الطور تكون عمودية على اتجاه الانتشار وتضع زاوية  $\phi$  مع المستوي الفاصل ولكـن مستويات تساوي السعة تكون موازية المستوي الفاصل .

6 - 3 - انعكاس وانكسار الامواج الكهرطيسية على الافلام الرقيقة :

لنعتبر سطحين منقطعين مؤلفين من مستويين متوازيين  
لانهايين مختلفين بخواصهما يشكلان صفيحة مادية محدودة من كل  
جانب بوسط نصف لانهايين كما في الشكل (11-3) . ندعو المنطقة

الواقعة الى يسار المستوي  $z = 0$   
بالوسط ( 1 ) المنطقة الواقعة الى

يمين المستوي  $z = d$  بالوسط ( 3 ) ،  
والمنطقة الواقعة بين المستويين

بالوسط ( 2 ) . لحساب الحقول  
الكهربائي  $\vec{E}$  والحقل المغناطيسي

$\vec{H}$  في كل منطقة من المناطق الثلاث

شكل ( 11 - 3 )

السابقة نطبق الشروط الحدية على كل من المستويين ثم نقوم باجراء  
المنساب كما في الفقرة السابقة فنحصل بذلك على  $\vec{E}$  و  $\vec{H}$

وسوف نستخدم طريقة تقريبية أخرى تعطي نفس النتائج التي تعطيها  
الطريقة السابقة . وتقوم هذه الطريقة على الفكرة التالية : نعتبر

أن موجة واردة على الوسط الاول ينعكس جزء منها على السطح الفاصل  
الاول وجزء آخر ينفذ الى الوسط الثاني وهذه الموجة تنعكس جزئيا

على السطح الفاصل الثاني لتعود وتمقظ على السطح الاول أما الجزء  
الاخر من هذه الموجة فينفذ الى الوسط ( 3 ) وهكذا تتوالى

الانعكاسات والانكسارات على كلا المستويين . بما أن معادلات فرنسل  
السابقة تعطي الجزء المنعكس والنافذ من الموجة على كل مستوي

فاصل لذلك نضيف الاسهامات المختلفة في الموجة الاطية المنعكسة على  
الحد الفاصل في الوسط الاول وتلك النافذة الى الوسط ( 3 ) . وهذا

يمكن تحقيقه . وهنا يجب جمع السعات المختلفة لهذه الامواج كما يجب جمع فرق أطوارها . وفي كل مرة تمر الموجة خلال الصفيحة أو الفلم الرقيق فان الطور ينزاح بسبب تغير  $\vec{k}_2 \cdot \vec{r}$  في التابع الاسي للموجة نفرض أن شعاعين ضوئيين متوازيان عموديان على جبهة الموجة (شكل 11-3) في الوسط ( 1 ) يسقطان على السطح الفاصل بين الوسطين ( 1 ) و ( 2 ) . ينعكس جزء من الشعاع الاول عند النقطة 0 من السطح الفاصل الاول أما الجزء الاخر فينعكس في الوسط الثاني ليسقط على السطح الفاصل بين الوسطين ( 2 ) و ( 3 ) عند A حيث يبرز قسما منه الى الوسط ( 3 ) والاخر ينعكس ليسقط على السطح الاول عند X حيث ينفذ قسما منه الى الوسط الاول يتراكب مع الشعاع ( 2 ) المنعكس عند النقطة X . بما أن الطور نفسه في النقطتين 0 و 0' الواقعتين على صدر موجة واحدة فانه لاامكان حساب فرق الطور بين المسار ox والمسار ozx . بفرض أن  $\theta_1$  هي زاوية الورد و  $\theta_2$  هي زاوية الانكسار وان الوسط ( 2 ) هو وسط ناقل . ان فرق الطور بين المسارين المذكورين يساوي :

$$\hat{\beta} = 2\vec{k}_2 \cdot \vec{r}_2 - \vec{k}_1 \cdot \vec{r}_1 \quad (3-78)$$

حيث  $\vec{r}_2 = x\vec{i} + d\vec{k}$  و  $\vec{r}_1 = 2x\vec{i} - \omega\vec{p}_1$  و  $\vec{p}_1 = N\Lambda\vec{u}_1 = j\Lambda\vec{u}_1$  هو عمودي على  $\vec{k}_1 = k_1\vec{u}_1$  و  $\beta$  اذن تساوي :

$$\hat{\beta} = 2x(\vec{k}_2 \cdot \vec{i} - \vec{k}_1 \cdot \vec{i}) + 2d\vec{k}_2 \cdot \vec{k}$$

$$\vec{k}_2 \cdot \vec{i} - \vec{k}_1 \cdot \vec{i} = k_2 \sin \hat{\theta}_2 - k_1 \sin \theta_1 = 0$$

وذلك بموجب قانون سنل .

أما المقدار  $\vec{k}_2 \cdot \vec{k}$  فيساوي الى :  $\vec{k}_2 \cdot \vec{k} = k_2 \cos \theta_2$  وتكتب  $\beta$

على الشكل :

$$\beta = 2dk_2 \cos \hat{\theta}_2 = 2d \frac{\omega}{c} \hat{n}_2 \cos \hat{\theta}_2 \quad (3-79)$$

$$= 2d \frac{\omega}{c} (p + iq) \quad (3-80)$$

عندما يكون الوسط ( 2 ) وسطا غير ناقل فان  $q = 0$  و  $p = n_2 \cos \theta_2$  وذلك مهما كانت زاوية الورود ، أما اذا كان الوسط ( 2 ) هـ وسطا ناقلا وعند الورود الناظمي فان  $p = n$  و  $q = n$  والقسم الحقيقي من  $\hat{\beta}$  يعطي انزياحا طوريا حقيقيا أما القسم التخيلي من  $\hat{\beta}$  فيعطي تخامدا تسببه الصفيحة. لنتذكر أن معاملات فرنل عند الاستقطاب  $p$  تختلف عن معاملات فرنل عند الاستقطاب  $N$  ولذلك سوف نسقط في الوقت الراهن الدليل  $N$  و  $p$  ويجب أن لانسى دوماً أن الاستقطاب بين  $p$  و  $N$  يعالج كل منهما بشكل مختلف عن الآخر. بجمع كـ الاسباهات في معامل انعكاس السعة الكلية  $r$  فنجد

من الشكل (12 - 3) :

$$\hat{r} = \hat{r}_{12} + \hat{t}_{12} \hat{r}_{23} e^{i\beta} \cdot \hat{t}_{21} + \hat{t}_{12} \hat{r}_{23} \cdot \hat{r}_{21} \cdot \hat{r}_{23} \hat{t}_{21} e^{2i\beta} + \dots \quad (3-81)$$

$$= \hat{r}_{12} + \hat{t}_{12} \cdot \hat{r}_{23} \cdot \hat{t}_{21} e^{i\beta} [1 + \hat{r}_{21} \cdot \hat{r}_{23} e^{i\beta} + (\hat{r}_{21} \hat{r}_{23} e^{i\beta})^2 + \dots]$$

ولكننا نعلم أن :

$$1 + z + z^2 + \dots = \frac{1}{1 - z}$$

والعلاقة ( 81 ) تساوي :

$$\hat{r} = \hat{r}_{12} + \frac{\hat{t}_{12} \cdot \hat{t}_{21} \cdot \hat{r}_{23} e^{i\beta}}{1 - \hat{r}_{21} \cdot \hat{r}_{23} e^{i\beta}}$$

ومن المطابقتين  $\hat{r}_{12} = -\hat{r}_{21}$  و  $\hat{r}_{12}^2 + \hat{t}_{12} \hat{t}_{21} = 1$  فان العلاقة السابقة تصبح

على الشكل :

$$\hat{r} = \frac{\hat{r}_{12} + \hat{r}_{23} \cdot e^{i\beta}}{1 + \hat{r}_{12} \cdot \hat{r}_{23} \cdot e^{i\beta}} \quad (3-82)$$

وبشكل مشابه نجد أن السعة الكلية النافذة في الوسط ( 3 ) تساوي :

$$\hat{t} = \frac{\hat{t}_{12} \cdot \hat{t}_{23} \cdot e^{i\beta}}{1 + \hat{r}_{12} \cdot \hat{r}_{23} \cdot e^{i\beta}} \quad (3-83)$$

هذا ويجدر الانتباه الى أن صيغة الكسر في العلاقاتين ( 82 ) و ( 83 ) تعود الى تأثير كل من السطحين الامامي والخلفي أما المخرج في العلاقاتين السابقتين فيعود الى الانعكاسات المتعددة على السطحين ، وباعتبار أننا فرضنا أن الاوساط ( 1 ) و ( 3 ) غير ناقلة فإنه بإمكاننا حساب شدة الانعكاس والنفوذ الكلية :

$$R = \hat{r} \cdot \hat{r}^* , \quad T = \frac{n_3 \cos \theta_3 \cdot \hat{t} \cdot \hat{t}^*}{n_1 \cos \theta_1} \quad (3-84)$$

حيث أن R و T تختلف عند الاستقطاب N عن R و T عند الاستقطاب p . اذا كانت الصفيحة ( فلم رقيق ) غير ناقلة فان :  $R + T = 1$  أما اذا كانت الصفيحة مؤلفة من وسط ناقل فان :  $R + T + A = 1$  لان الصفيحة سوف تمتص قسما من الطاقة على شكل حرارة بفعل جول . تصبح المعادلات ( 84 ) من أجل الاوساط الناقلة معقدة عند التعبير عنها بدلالة n و n' وحتى في حالة الورود الناظمي للموجة الكهرطيسية ولكن رغم ذلك تعتبر هذه المعادلات مهمة لان قياس R و T لفالم معدني رقيق يشكل احدى الطرائق لتعيين الثوابت الضوئية تجريبيا وفي هذه الحالة لابد من استخدام الحاسوب لحل هذه المعادلات من أجل n و n' بدلالة القيم التجريبية لـ R و T . تتناسب النفوذية T مع  $\hat{t} \hat{t}^*$  وهذه بدورها تتناسب مع :

$$e^{\frac{1}{2}i\hat{\beta}} \cdot e^{-\frac{1}{2}i\hat{\beta}^*} = e^{\frac{1}{2}i(\hat{\beta} - \hat{\beta}^*)}$$

$$= e^{-2d(\omega/c)q}$$

عند الورود الناظمي فإن  $q=n$  و  $T$  في هذه الحالة تحوي العامل  $e^{-2d/\delta}$  حيث  $\delta = \frac{c}{k\omega}$  . واذا كان الوسط ( 1 ) هو الهواء ، فان  $\frac{\omega}{c} = \frac{2\pi}{\lambda_1}$  : ولذلك فان :

$$e^{-2d/\delta} = e^{-4\pi n d / \lambda_1}$$

في المعادن (  $n' \approx 2$  ) عند طول موجة الضوء المرئي (  $\lambda \approx 5000 \text{ \AA}$  ) فان  $d$  تكون أقل بـ  $10^3 \text{ \AA}$  من قيمة نفوذية الضوء التي يمكن تقديرها وعندما يكون هذا العامل صغيراً فان مخرج العلاقتين ( 83 ) و ( 84 ) يساوي تقريباً الواحد . في الاوساط اللامعدنية تكون  $q=0$  ( ماعدا حالة الانعكاس الكلي ) ، ولا يوجد في هذه الحالة تخامساً يعود الى هذا العامل ولكن المعادلات مازال تنبأ عن بعض المفاعيل المهمة . عندما تكون  $\beta$  وجميع معاملات فرنل حقيقية فان الانعكاسية  $R$  تساوي :

$$R = \frac{r_{12}^2 + r_{23}^2 + 2r_{12} \cdot r_{23} \cos \beta}{1 + r_{12}^2 \cdot r_{23}^2 + 2r_{12} \cdot r_{23} \cos \beta} \quad (3-85)$$

وعند الورود الناظمي فان :

$$\beta = 2d \frac{\omega}{c} n_2 , \quad r_{12} = \frac{n_1 - n_2}{n_1 + n_2} , \quad r_{23} = \frac{n_2 - n_3}{n_2 + n_3}$$

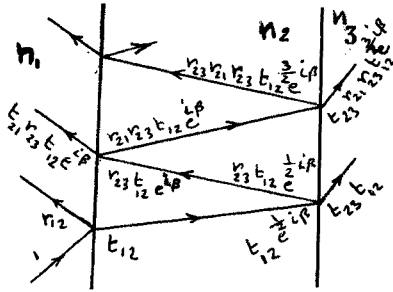
والآن اذا افترضنا أن الوسط ( 1 ) هو الهواء والوسط ( 3 ) هو الزجاج  $n_3 = 1.5$  وكان الوسط الثاني هو طبقة معدنية رقيقة ( فلم )  $n_2 = 1.3$  فعند ذلك تساوي الانعكاسية  $R$  الى :



$$R = \frac{0,02221 + 0,0186 \cos \beta}{1,0001 + 0,0186 \cos \beta} \quad (3-86)$$

حيث  $\beta$  تساوي :

$$\beta = 4\pi n_2 \frac{d}{\lambda_1} = 16,3 \frac{d}{\lambda_1} \quad (6-87)$$



تتغير قيمة R بين 0,04 و 0,004

تكون R عظمى عندما تكون  $\beta = 2\pi$

أو مضاعفاتهما الصحيحة أو عندما

تأخذ  $\frac{d}{\lambda_1}$  مضاعفات صحيحة من 0,39

كما هو مبين في الشكل ( 1 - 3 )

شكل (12- 3): الانعكاسات

والانكسارات المتعددة لشعاع

وارد سعته الواحد. كل سعة

تتميز بمعاملات فرنل وتأخر

في الطور قدرة  $\beta$

ان العلاقة المميزة لهذه النتيجة هو

أن R أقل من القيمة:  $r_{12}^2 = 0,017$

التي تمثل شدة الانعكاس على السطح

الامامي لوحده. يحدث هذا المفعول

فقط بسبب التداخل الهدام.

ان تغير R يكون بين  $r_{13}^2 = 0,04$  ( القيمة بدون أي

طبقة معدنية ) وبين قيمة أقل قليلا من  $r_{23}^2 = 0,005$  التي تمثل

الانعكاسية على الوجه الخلفي لوحده. وفي الحقيقة أن القيمة الدنيا

لـ R يمكن أن تكون صفرا اذا كانت للمادة قرينة انكسار  $n_2$  :

$$n_2 = \sqrt{n_1 \cdot n_3} \quad (3-88)$$

يستغل هذا المفعول لانتاج عدسات غير عاكسة . فمثلا تظلي عدسات

الكاميرا بطبقة بحيث تكون الانعكاسية مساوية تقريبا الصفر قـرب

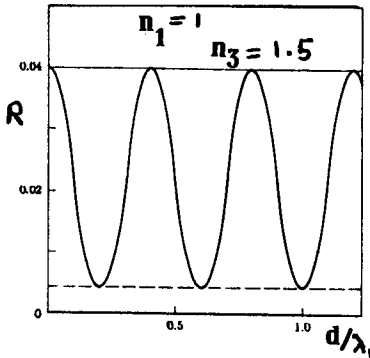
منتصف الطيف المرئي . ان الانعكاسية من أجل اللون الاحمر والازرق

لاتنعدم كلياً ولذلك فإن العدسة المغطاة بطبقة غير عاكسة تمتلك مظهراً أرجوانياً عند رؤية الضوء المنعكس عليها ناجماً عن تراكب الضوء المنعكس الأحمر والأزرق . ومن جهة أخرى فإن الألوان تتعلق كذلك بزاوية الرؤية لأنه عند الورود المائل فإن  $\beta$  تساوي :

$$\beta = 4\pi n_2 \cos \theta_2 \left( \frac{d}{\lambda_1} \right)$$

إذا كانت  $n_2$  أكبر من  $n_1$  و  $n_3$  فإن  $R$  تتغير بين القيمة الدنيا لـ  $r_{13}^2$  وبين القيمة العظمى التي أكبر من  $r_{12}^2$  و  $r_{23}^2$  .

ان طول الموجة التي نحصل عندها على القيمة الصغرى أو القيمة العظمى لـ  $R$  يتعلق بسماكة الطبقة المعدنية  $d$  وإذا كانت هذه الطبقة أو الفلم متغير من نقطة لأخرى فإنه يحدث تغيراً في أطوال الأمواج المنعكسة ومثل هذه التغيرات في السماكة تعلق وجود الألوان التي تظهر على فقاعات الصابون أو على طبقات الزيت الرقيقة العائمة على سطح الماء .



شكل (13 - 3): تأثير التداخل على عامل الانعكاس لسطح فاصل بين هواء - زجاج مغطى بطبقة سماكتها  $d$  من مادة قرينية انكسارها  $n_2 = 1.3$  .

### 7 - 3 - انعكاس موجة كهرومغناطيسية على الأيونوسفير:

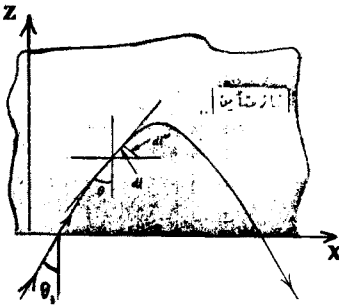
لندرس الآن ما يحدث عندما تصادف موجة كهرومغناطيسية عموداً متأيناً (أو طبقة الأيونوسفير). نفرض كما فعلنا سابقاً عند دراستنا لانتشار الأمواج الكهرومغناطيسية في الأيونوسفير أن الإلكترونات لا تصادم

مع جزيئات الغاز أي أن ضغط الغاز ضعيف . وإذا كان للغاز حدودا واضحة وكان عدد الالكترونات بوحدة المجمع  $N_e$  منتظما في كل مكان من الغاز فان الانعكاس والانكسار على سطح الغاز يتم دون أي صعوبة لأن الغاز سيلعب دور عازل قرينة انكساره  $n$  أصغر من الواحد  $n < 1$  :

$$n = \frac{c}{v} = \left\{ 1 - \left( \frac{\omega_p}{\omega} \right)^2 \right\}^{\frac{1}{2}} \quad (3-89)$$

$$= \left\{ 1 - 80.5 \frac{N_e}{v} \right\}^{\frac{1}{2}}$$

لنعتبر الاحداثيات المبينة في الشكل (14 - 3)، ولنفرض



أن قرينة الانكسار  $n$  تتغير ببطء مع  $z$  وهي لاتتعلق بالاحداثي  $x$  و  $y$  بدقة أكبر نفترض أن تتغير بكمية ضئيلة مع طول الموجة . اذا زادت  $N_e$  بالتدرج مع  $z$  فان الموجة تنحني تدريجيا باتجاه

شكل (14 - 3): موجة كهرومغناطيسية

ترد على سطح المنطقة المتأينة

بزاوية ورود  $\theta_1$  وتنحرف بزاوية

$\theta'$  بعد أن تخترق طبقة الغاز

المتأين لمسافة  $z$  .

الاسفل كما هو مبين على الشكل

السابق حيث تصنع الموجة زاوية

$\theta$  في نقطة من الغاز قرينة

انكسارها هي  $n$  . عند وجود

انكسار على السطح الفاصل بين

وسطين  $n_1$  و  $n_2$  فان الكمية  $n \sin \theta$  تكون محفوظة عبر السطح

الفاصل وهذا هو قانون سنل . واذا تغيرت قرينة الانكسار على نمو

متواصل فانه يمكن تصور الوسط على أنه وسط مؤلف من طبقات كثيفة

رقيقة جدا وأن  $n \sin \theta$  محفوظة على طول المسار . ولذلك فان :

$$n \sin \theta = n_1 \sin \theta_1$$

حيث  $n_1$  هي قرينة الانكسار عند  $z = 0$  إذا وضعنا  $n = 1$  فإن العلاقة السابقة تساوي :

$$n \sin \theta = \sin \theta_1$$

ويكون مناسباً استنتاج هذه المعادلة بالنسبة إلى المسافة  $l$  التي تقبـس طول المسار. وبالنتيجة نجد أن :

$$\frac{d\theta}{dl} = - \frac{1}{n} \frac{dn}{dl} \operatorname{tg} \theta \quad (3-90)$$

إذا اخترق الشعاع منطقة من الأيونوسفير تزداد فيها كثافة الأيونات مع ازدياد  $z$ ، فإن قرينة الانكسار  $n$  تتناقص مع  $l$  والمشتق  $\frac{dn}{dl}$  يكون سالبا بحيث أن  $\theta$  تزداد مع المسافة كما يظهر على الشكل (14-3). وإذا زادت قيمة  $n$  إلى حد ملحوظ في نهاية بعض المسارات  $\theta$  تصبح مساوية  $90^\circ$ . وفي هذه الحالة فإن  $\operatorname{tg} \theta$  يساوي لانهاية ولكن  $\frac{dn}{dl}$  يصبح مساويا للصفر. وبعدها النقطة  $\theta$  يصبح سالبا على حين أن  $\frac{dn}{dl}$  يصبح موجبا وتستمر  $\theta$  بالزيادة حتى تفرج الموجة من المنطقة المتأينة صانعة زاوية مساوية إلى زاوية ورود  $\theta_1$ .

في ذروة المسار تكون :

$$\sin \theta = 1 \quad (3-91)$$

$$n_{90^\circ} = \sin \theta_1 \quad (3-92)$$

$n_{90^\circ}$  تمثل قرينة الانكسار اللازمة كي يتم انعكاس الموجة عندما تساوي زاوية ورود إلى  $\theta_1$ . ومن المعادلة (89) فإن :

$$\frac{\omega}{\omega_p} = \frac{1}{\cos \theta_1} = \sec \theta_1 \quad (3-93)$$

حيث  $\omega$  هو التردد الزاوي للموجة و  $\omega_p$  هو تردد البلازما الزاوي

عند قيمة  $z$  من أجلها  $\theta = 90^\circ$  . عند الورود الناظمي لموجة على طبقة الغاز المتأين أو الايونوسفير :  $\theta_1 = 0$  و  $\sec \theta_1 = 1$  والانعكاس يتم على مسافة  $z$  توافق قيمة  $\omega_p = \omega$  مساوية الى  $\omega$  أي عندما تكون  $n = 0$  والسرعة الطورية مساوية للنهاية ، عند الورود المائل فان  $\sec \theta_i > 1$  ويحصل الانعكاس عندما تكون  $\omega_p < \omega$  أي اذا افترضنا من أجل قيمة صغيرة جداً لـ  $z$  أن كثافة الالكترونات  $N_e$  و بالتالي  $\omega_p$  تزداد بازدياد  $z$  .

يمكن كتابة العلاقة ( 90 ) بدلالة نصف قطر الانحناء  $R$  على الشكل

$$\frac{1}{R} = - \frac{1}{n} \frac{dn}{dl} \operatorname{tg} \theta \quad (3-94)$$

حيث ان  $R = \frac{dl}{d\theta}$  . اذا كان  $R > 0$  فان  $\frac{d\theta}{dl} > 0$  وبالتالي فان المسار يكون مقعرا نحو الاسفل ويمكن كتابة نصف قطر الانحناء بدلالة  $dl$  الطول العمودي على اتجاه الانتشار ( انظر الشكل ) :

$$\frac{1}{R} = - \frac{1}{n} \frac{dn}{dl} \quad (3-94-a)$$

ومن هذه العلاقة نلاحظ أن الموجة تنحني بشدة عندما تتغير قرينة الانكسار تغيرا سريعا في الاتجاه العمودي عليها .

### 8 - 3 - الامواج الموجهة :

درسنا في فصل سابق انتشار الامواج الكهرطيسية في وسط غير محدود ومتنوع ثم درسنا في هذا الفصل انعكاس وانكسار الامواج الكهرطيسية على المستوي الفاصل بين اوساط مختلفة . وسوف نتناول في دراستنا للامواج الموجهة كيفية توجيه الامواج الكهرطيسية وفق محاور معينة باستخدام موجهاة أو أدلة موجة معدنية . سنتعرض في

البداية الى دراسة انتشار الامواج الكهرطيسية وفق خط مستقيم  
وليكن المحور z ومن دون أن نشير الى تابعة هذه الامواج  
للحداثيات x و y ثم نتعرض فيما بعد لبعض نماذج أدلة الموجة .

### 1 - 8 - 3 - انتشار الامواج الكهرطيسية وفق خط مستقيم:

نفرض أن الوسط الذي تنتشر فيه الامواج الكهرطيسية  
هو وسط متمائل المناحي، خطي، ومتجانس ولذلك فان العلاقة بين  
 $\vec{E}$  و  $\vec{D}$  ،  $\vec{H}$  و  $\vec{B}$  هي :  $\vec{D} = \epsilon \vec{E}$  و  $\vec{H} = \vec{B}/\mu$  كما نفرض  
أن ناقلية الوسط معدومة مادامت الامواج الكهرطيسية تتخامد بشدة  
في هذا الوسط . وماهنا في هذه الدراسة هو أدلة الامواج  
المعدنية الصنع حيث تنتشر الامواج الكهرطيسية خارج النواقل أضف  
الى ذلك أننا سنعتبر أن كثافة الشحنات الحجمية  $\rho$  تساوي الصفر  
في الوسط ولذلك فان  $\vec{\nabla} \cdot \vec{E} = 0$  . نفرض في البداية أن التخامد  
معدوما وفي فترة لاحقة نشير فيها الى الطريقة التي تسمح بأخذ  
التخامد بعين الاعتبار ، وأخيرا نشير الى أن اهتمامنا يتركز على  
انتشار الامواج في خط مستقيم وهو المحور z . لنفرض أن الموجة  
الكهرطيسية المستخدمة هي موجة جيبية نكتبها على الشكل :

$$\vec{E} = (E_{ox} \vec{i} + E_{oy} \vec{j} + E_{oz} \vec{k}) \cdot e^{i(\omega t - k_g z)} = \vec{E}_0 \cdot e^{i(\omega t - k_g z)} \quad (3-95)$$

$$\vec{H} = (H_{ox} \vec{i} + H_{oy} \vec{j} + H_{oz} \vec{k}) \cdot e^{i(\omega t - k_g z)} = \vec{H}_0 \cdot e^{i(\omega t - k_g z)} \quad (3-96)$$

حيث  $H_{ox}, H_{oy}, H_{oz}, E_{ox}, E_{oy}, E_{oz}$  هي توابع نعتبرها أنيا مجهولة  
بالنسبة لـ x و y فقط .  $k_g$  هو العدد الموجي للموجة الموجهة

ويساوي :  $k_g = \frac{1}{x_g}$  وهو ليس بالضرورة مساو الى العـدد الموجي للموجة المستوية، ويكون  $k_g$  حقيقيا عندما لا يوجد أي تخامد للموجة. نكتب معادلة ماكسويل لتفرق  $\vec{E}$  عندما  $\rho = 0$  على الشكل :

$$\vec{\nabla} \cdot \vec{E} = 0 \implies \frac{\partial E_{ox}}{\partial x} + \frac{\partial E_{oy}}{\partial y} = ik_g E_{oz} \quad (3-97)$$

وكذلك فان معادلة ماكسويل لتفرق  $\vec{H}$  :  $\vec{\nabla} \cdot \vec{H} = 0$  تساوي :

$$\frac{\partial H_{ox}}{\partial x} + \frac{\partial H_{oy}}{\partial y} = ik_g H_{oz} \quad (3-98)$$

نعيد أيضا كتابة معادلة ماكسويل لدوار  $\vec{E}$  ومعادلة ماكسويل لدوار  $\vec{H}$  على شكل ثلاث معادلات جبرية لكل منهما على الشكل :

$$\vec{\nabla} \wedge \vec{E} = - \frac{\partial \vec{B}}{\partial t} \implies \frac{\partial E_{oz}}{\partial y} + ik_g E_{oy} = -i\omega\mu H_{ox} \quad (3-99)$$

$$ik_g E_{ox} + \frac{\partial E_{oz}}{\partial x} = i\omega\mu H_{oy} \quad (3-100)$$

$$\frac{\partial E_{oy}}{\partial x} - \frac{\partial E_{ox}}{\partial y} = -i\omega\mu H_{oz} \quad (3-101)$$

$$\vec{\nabla} \wedge \vec{H} = \frac{\partial \vec{D}}{\partial t} \implies \frac{\partial H_{oz}}{\partial y} + ik_g H_{oy} = i\omega\epsilon E_{ox} \quad (3-102)$$

$$ik_g H_{ox} + \frac{\partial H_{oz}}{\partial x} = -i\omega\epsilon E_{oy} \quad (3-103)$$

$$\frac{\partial H_{oy}}{\partial x} - \frac{\partial H_{ox}}{\partial y} = i\omega\epsilon E_{oz} \quad (3-104)$$

ومن مجموعة هذه المعادلات يمكن أن نستنتج أربع مركبات عرضية  
 $H_{Ox}, H_{Oy}, E_{Ox}, E_{Oy}$  ومركبتان طولويتان هما  $H_{Oz}$  و  $E_{Oz}$  من  
 المعادلات ( 100 ) و ( 102 ) نحصل على المعادلة التالية :

$$E_{Ox} = \frac{-i\omega\mu}{\frac{1}{\lambda^2} - \frac{1}{\lambda_g^2}} \left( \frac{k_g}{\omega\mu} \frac{\partial E_{Oz}}{\partial x} + \frac{\partial H_{Oz}}{\partial y} \right), (\lambda_g \neq \lambda) \quad (3-105)$$

و :

$$H_{Oy} = \frac{-i\omega\epsilon}{\frac{1}{\lambda^2} - \frac{1}{\lambda_g^2}} \left( \frac{\partial E_{Oz}}{\partial x} + \frac{k_g}{\omega\epsilon} \frac{\partial H_{Oz}}{\partial y} \right) \quad (3-106)$$

حيث  $\lambda$  هو طول الموجة المخترزل  $\lambda = 1/\omega(\epsilon\mu)^{1/2}$  وهو لايساوي  
 طول الموجة الموجهة  $\lambda_g = \frac{1}{k_g}$  ومن المعادلات ( 99 ) و ( 103 ) نجد

$$E_{Oy} = \frac{i\omega\mu}{\frac{1}{\lambda^2} - \frac{1}{\lambda_g^2}} \left[ \frac{\partial H_{Oz}}{\partial x} - \frac{k_g}{\omega\mu} \frac{\partial E_{Oz}}{\partial y} \right], (\lambda \neq \lambda_g) \quad (3-107)$$

و :

$$H_{Ox} = \frac{i\omega\epsilon}{\frac{1}{\lambda^2} - \frac{1}{\lambda_g^2}} \left[ \frac{\partial E_{Oz}}{\partial y} - \frac{k_g}{\omega\epsilon} \frac{\partial H_{Oz}}{\partial x} \right] \quad (3-108)$$

يتضح من المعادلات ( 105 - 108 ) إن الموجة تتعين بالكامل عند  
 تعيين  $E_{Oz}$  و  $H_{Oz}$  . يمكن ايجاد المعادلات التي تعطي  $E_{Oz}$  و  $H_{Oz}$   
 انطلاقا من معادلة الموجة الكهرطيسية المستوية :

$$\left. \begin{aligned} \nabla^2 \vec{E} &= \epsilon\mu \frac{\partial^2 \vec{E}}{\partial t^2} = -k^2 \vec{E} \\ \nabla^2 \vec{H} &= \epsilon\mu \frac{\partial^2 \vec{H}}{\partial t^2} = -k^2 \vec{H} \end{aligned} \right\} \quad (3-109)$$



من المعادلة الاولى نحصل على المعادلة التفاضلية لـ  $E_{Oz}$  نجد:

$$\frac{\partial^2 E_{Oz}}{\partial x^2} + \frac{\partial^2 E_{Oz}}{\partial y^2} - k_g^2 E_{Oz} = -k^2 E_{Oz}$$

$$\frac{\partial^2 E_{Oz}}{\partial x^2} + \frac{\partial^2 E_{Oz}}{\partial y^2} = -\left(\frac{1}{\lambda^2} - \frac{1}{\lambda_g^2}\right) E_{Oz} \quad (3-110)$$

كذلك من المعادلة الثانية ( 109 ) نجد أن:

$$\frac{\partial^2 H_{Oz}}{\partial x^2} + \frac{\partial^2 H_{Oz}}{\partial y^2} = -\left(\frac{1}{\lambda^2} - \frac{1}{\lambda_g^2}\right) H_{Oz} \quad (3-111)$$

لم نعرف حتى الآن طول الموجة  $\lambda_g$ : انه ثابت يجب اختياره لكي يحقق كل من  $E_{Oz}$  و  $H_{Oz}$  المعادلات التفاضلية السابقة ويحقق الشروط الحدية لدليل الموجة . وسنرى لاحقا أن بعض القيم المتميزة لـ  $\lambda_g$  ستكون ممكنة ، هذه القيم ندعوها بالقيم الفاصدة وهي تعتمد على: التردد، على الشكل الهندسي للوسط وعلى الثوابت المميزة للوسط:  $\epsilon_r$  و  $\mu_r$  وأخيرا على الشكل الهندسي لدليل الموجه وعلى خواصه الكهربائية  $\sigma$  و  $\mu_r$  .

ان الطريقة العامة لحساب الحقل الكهربائي  $\vec{E}$  والحقل المغناطيسي  $\vec{H}$  تكون على النحو التالي :

في البداية نحل معادلات الموجة بالنسبة لـ  $E_{Oz}$  و  $H_{Oz}$  مع الاخذ بالاعتبار الشروط الحدية لدليل الموجة هذا الحل يمكننا من الوصول على  $E_{Oz}$  ,  $H_{Oz}$  و  $\lambda_g$  . والمركبات الاخرى لـ  $\vec{E}$  و  $\vec{H}$  نحصل عليها عندئذ من المعادلات ( 104 ) الى ( 107 ) .

### 2 - 8 - 3 - الموجات TE والموجات TM :

من الشائع عادة التمييز بين نوعين من الامواج الموجهة

الامواج الكهربية العرضية TE، من أجلها يكون  $E_{Oz} = 0$  والامواج العرضية المغناطيسية TM التي من أجلها  $H_{Oz} = 0$ . لنكتب الآن المركبات العرضية للمتجهات  $\vec{E}_O$  و  $\vec{H}_O$  بالصيغة المتجهية على الشكل :

$$\vec{E}_{Ot} = \vec{E}_{Ox} \vec{i} + \vec{E}_{Oy} \vec{j} \quad (3-112)$$

$$\vec{H}_{Ot} = \vec{H}_{Ox} \vec{i} + \vec{H}_{Oy} \vec{j} \quad (3-113)$$

ولتحديد جهة  $E_{Ot}$  بالنسبة لـ  $H_{Ot}$  نأخذ جداءهما السلمي فنجد:

$$\vec{E}_{Ot} \cdot \vec{H}_{Ot} = E_{Ox} H_{Ox} + E_{Oy} H_{Oy} = 0 \quad (3-114)$$

اذن فالمركبات العرضية للحقل الكهربائي  $\vec{E}$  والحقل المغناطيسي  $\vec{H}$  في الامواج TE و TM متعامدة في كل نقطة من نقاط الوسط . وهذا ينطبق على أي موجة سواءً كانت TE أو TM تنتشر وفق خط مستقيم . وهذه البرهان لا يكون صحيحا إلا إذا كانت  $\chi_g \neq \chi$  ولكن نتائج هذا البرهان تكون مطابقة عندما  $\chi_g = \chi$  كما سوف نرى فيما بعد .

لنوجد الآن النسبة  $E_{Ot}/H_{Ot}$  التي تدعى بممانعة الموجة وذلك من أجل الامواج  $TE (E_{Oz} = 0)$  و  $TM (H_{Oz} = 0)$ . يمكننا اختيار المحاور في نقطة ما معينة بحيث  $E_{Oy} = H_{Ox} = 0$  وممانعة الموجة في حالة الامواج  $TE (E_{Oz} = 0)$  تساوي :

$$\frac{E_{Ot}}{H_{Ot}} = \frac{E_{Ox}}{H_{Oy}} = \frac{\omega \mu}{k_g} = \left( \frac{\mu}{\epsilon} \right)^{\frac{1}{2}} \frac{\chi_g}{\chi} = 377 \frac{\chi_g}{\chi_0} (\Omega) \quad (3-115)$$

حيث اعتبرنا  $(\epsilon_r = 1, \mu_r = 1)$

وبنفس الطريقة من أجل الامواج  $TM (H_{Oz} = 0)$  نجد أن:

$$\begin{aligned} \frac{E_{Ot}}{H_{Ot}} &= \frac{k_g}{\omega \epsilon} = \left( \frac{\mu}{\epsilon} \right)^{\frac{1}{2}} \frac{\chi}{\chi_g} \\ &= 377 \frac{\chi_0}{\chi_g} (\Omega) \quad (\epsilon_r = 1, \mu_r = 1) \quad (3-116) \end{aligned}$$

وممانعة الموجة كما نرى هي عدد حقيقي وموجب.

### 3 - 8 - 3 الامواج الكهرطيسية العرضانية TEM :

نعتبر أن  $\lambda_g = \lambda$  ولذلك فان الحد:  $0 = \frac{1}{\lambda^2} - \frac{1}{\lambda_g^2}$  والمعادلات ( 103 - 106 ) تصبح على الشكل :

$$\frac{k}{\omega\mu} \frac{\partial E_{Oz}}{\partial x} + \frac{\partial H_{Oz}}{\partial y} = 0 \quad (3-117)$$

$$\frac{k}{\omega\mu} \frac{\partial E_{Oz}}{\partial y} - \frac{\partial H_{Oz}}{\partial x} = 0 \quad (3-118)$$

$$\frac{\partial E_{Oz}}{\partial y} - \frac{k}{\omega\epsilon} \frac{\partial H_{Oz}}{\partial x} = 0 \quad (3-119)$$

$$\frac{\partial E_{Oz}}{\partial x} + \frac{k}{\omega\epsilon} \frac{\partial H_{Oz}}{\partial y} = 0 \quad (3-120)$$

ان الزوج الاول من هذه المعادلات يساوي الى الزوج الاخير لكون

فرضا وبالتالي :  $\lambda = \lambda_g$

$$\frac{k}{\omega\mu} = \omega\epsilon/k = \left(\frac{\epsilon}{\mu}\right)^{\frac{1}{2}}$$

تتحقق هذه المعادلات اذا وضعنا  $E_{Oz} = 0$  و  $H_{Oz} = 0$  ونحصل على

مايسمى بالموجة الكهرطيسية العرضانية ( TEM ) . يكون للموجة TEM

بعض الخواص المميزة : بما أن  $\lambda = \lambda_g$  فان السرعة الطورية

$v_{ph} = \omega\lambda$  تساوي الى سرعة الموجة المستوية اذا كان الانتشار في نفس

الوسط ، وهذه السرعة تساوي الى  $v_{ph} = 1/(\epsilon\mu)^{\frac{1}{2}}$  وهي مستقلة عن

التردد وذلك في الحالة التي يكون فيها  $\epsilon$  و  $\mu$  مستقلة أيضا عنه  
 اذا انتشرت الموجة الكهرطيسية في الفراغ فان سرعتها تساوي  $c$   
 مهما كان الشكل الهندسي لدليل الموجة ومهما كان ترددها ويقال  
 في هذه الحالة أن الخط الذي تنتشر وفقه الموجة هو خط بدون التواء

وجدنا سابقا أن الحقل الكهربائي  $\vec{E}$  يكتب بصيغة مجموع للكمونين  
 السلمي والمتجه :

$$\vec{E} = -\frac{\partial \vec{A}}{\partial t} - \vec{\nabla} \phi \quad (3-121)$$

يرتبط الحد الاول بتغيرات الحقل المغناطيسي ، بينما يرتبط الحد  
 الثاني بتوزيع الشحنات ، وسوف نرى في الفقرة التالية أن التيارات  
 يجب أن تكون طولية وبالتالي فان  $\vec{A}$  و  $\frac{\partial \vec{A}}{\partial t}$  يجب أن تكون  
 طولية أيضا . اذا أخذنا  $\vec{A} = A \cdot \vec{K}$  فان  $\vec{E}$  يساوي :

$$\vec{E} = -\frac{\partial \phi}{\partial x} \vec{i} - \frac{\partial \phi}{\partial y} \vec{j} - \left( \frac{\partial \phi}{\partial z} + \frac{\partial A}{\partial t} \right) \vec{K} \quad (3-122)$$

وبما أن  $\vec{E}$  هي عرضية فيجب أن تكون المركبات الطولية لـ  $\vec{\nabla} \phi$  و  
 $\frac{\partial \vec{A}}{\partial t}$  معدومة أي أن :

$$\frac{\partial \phi}{\partial z} + \frac{\partial A}{\partial t} = 0 \implies \frac{\partial \phi}{\partial z} = -\frac{\partial A}{\partial t} \quad (3-123)$$

والحقل الكهربائي  $\vec{E}$  يساوي :

$$\vec{E} = -\frac{\partial \phi}{\partial x} \vec{i} - \frac{\partial \phi}{\partial y} \vec{j} \quad (3-124)$$

وباعتبار أن ما يهمنا هي الموجة لذلك فان  $\vec{E}$  و  $\phi$  يكتبان على

الشكل :

$$\vec{E} = \vec{E}_0 \exp i(\omega t - \frac{z}{\lambda}) \quad (3-125)$$

$$\phi = \phi_0 \exp i(\omega t - \frac{z}{\lambda}) \quad (3-126)$$

حيث  $\vec{E}_0$  و  $\varphi_0$  لايتعلقان الا بالاحداثي  $y$  .

لنعيد كتابة العلاقة ( 125 ) بدلالة الكمون السلمي  $\varphi$  على

الشكل التالي :

$$\vec{E} = - \left( \frac{\partial \varphi_0}{\partial x} \vec{i} + \frac{\partial \varphi_0}{\partial y} \vec{j} \right) \exp i \left( \omega t - \frac{z}{\lambda} \right) \quad (3-127)$$

حيث :

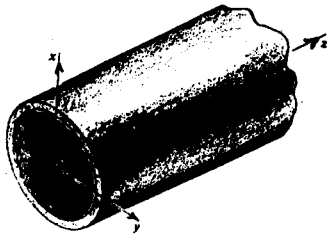
$$\vec{E}_0 = - \frac{\partial \varphi_0}{\partial x} \vec{i} - \frac{\partial \varphi_0}{\partial y} \vec{j} \quad (3-128)$$

يمثل  $\vec{E}_0$  الحقل الكهربائي في مستوي عمودي على اتجاه الانتشار

( هذا المستوي هو المستوي الموازي لـ  $xy$  ) وهو يشتق من كمون  $\varphi_0$

بنفس الطريقة التي يشتق منها حقل كهربائي ساكن .

اذا كان دليل الموجة هو انبوب اسطواني ناقل كما في



شكل (15- 3) انبوب اسطواني

ناقل

الشكل (15- 3) فان المركبة المماسية

للحقل الكهربائي  $\vec{E}$  على السطح تكون

معدومة و  $\varphi_0$  تكون ثابتة في كل جهة

من الانبوب والحل الوحيد داخـل

الانبوب هو أن يكون  $\varphi_0 = \text{const}$  .

ولكن اذا كان  $\varphi_0$  ثابتا داخل

الانبوب فان  $\vec{E}_0 = 0$  داخله وبالتالي

فان  $\vec{E} = 0$  . وبما أن  $\vec{E} = -\mu \frac{\partial \vec{H}}{\partial t}$  فان الحقل المغناطيسي

$\vec{H}$  داخل الانبوب لا يكون متغيرا .

يمكن تلخيص ماتقدم كالتالي : لايمكن لموجة TEM

أن تنتقل داخل الانابيب الناقلة الا ان هذا ليس صحيحا بشكل دائم

فمثلا ، عندما تكون الابعاد العرضية للانبوبة أكبر بكثير من طول موجة الموجة TEM يمكن عندئذ للموجة أن تنتقل داخل الانبوبة المعدني بخط مستقيم كما هو الحال بالنسبة للضوء المرئي .  
 إذا أعدنا كتابة المعادلات ( 98 - 105 عدا 104 ) بعم وضع  $E_{Oz} = 0$  و  $H_{Oz} = 0$  فاننا نحصل على ستة معادلات تمثل انتشار موجة كهربية في الاتجاه الموجب للمحور z وهذه المعادلات هي:

$$\frac{\partial E_{Ox}}{\partial x} + \frac{\partial E_{Oy}}{\partial y} = 0 \quad (3-129)$$

$$\frac{\partial H_{Ox}}{\partial x} + \frac{\partial H_{Oy}}{\partial y} = 0 \quad (3-130)$$

$$E_{Oy} = -\left(-\frac{\mu}{\epsilon}\right)^{\frac{1}{2}} H_{Ox} \quad (3-131)$$

$$E_{Ox} = \left(-\frac{\mu}{\epsilon}\right)^{\frac{1}{2}} H_{Oy} \quad (3-132)$$

$$\frac{\partial E_{Oy}}{\partial x} - \frac{\partial E_{Ox}}{\partial y} = 0 \quad (3-133)$$

$$\frac{\partial H_{Oy}}{\partial x} - \frac{\partial H_{Ox}}{\partial y} = 0 \quad (3-134)$$

من المعادلتين ( 131 ) و ( 132 ) نرى أن الحقل الكهربائي  $\vec{E}$  والمغناطيسي  $\vec{H}$  متعامدان في الموجة TEM ومماثلة هذه الموجة تساوي :

$$\frac{E_{Ox}}{E_{Oy}} = \left(-\frac{\mu_0}{\epsilon_0}\right)^{\frac{1}{2}} = 377\Omega \quad (\epsilon_r = 1 , \mu_r = 1)$$

من جهة أخرى فان كثافة الطاقة الكهربائية تساوي كثافة الطاقة

المغناطيسية أي :

$$\frac{1}{2} \epsilon E^2 = \frac{1}{2} \mu H^2$$

وكثافة الطاقة الكلية تساوي  $\epsilon E^2$  أو  $\mu H^2$  .

وإذا حسبنا متوسط متجهة بوينتنگ بعد الاخذ بعين الاعتبار العلاقة

( 132 ) نجد :

$$\langle \vec{p}_C \rangle = \frac{1}{2} R_e (\vec{E} \wedge \vec{H}^*) = \frac{1}{2} \left( \frac{\epsilon}{\mu} \right)^{1/2} E_{OX}^2 \vec{k} \quad (3-135)$$

$$= \left( \frac{\epsilon}{\mu} \right)^{1/2} E_{eff}^2 \vec{k} \quad (3-136)$$

$$= v_{ph} \mu H_{eff}^2 \vec{k} \quad (3-137)$$

ومتجهة بوينتنگ تكون موجهة بالاتجاه الموجب لـ z الذي هو اتجاه انتشار الموجة وطولتها تساوي الى جداء سرعة الطور  $v_{ph} = \frac{1}{\sqrt{\epsilon\mu}}$  بكثافة الطاقة المتوسطة وهذا ما رأيناه سابقا . لايجاه الحقول  $\vec{E}$  و  $\vec{H}$  نختار أولا الحقل الكهربائي الساكن  $\vec{E}_O$  الموافق لنمط الانتشار الذي نريده . اذا كان ، مثلا ، دليل الموجة كابـل محوري يكون  $\vec{E}_O$  قطريا ، ونحصل على الحقل الكهربائي  $\vec{E}$  من المعادلة ( 127 ) وعلى الحقل المغناطيسي  $\vec{H}$  من المعادلتين ( 131-132 )

#### 4 - 8 - 3 - الشروط الحدية على سطح دليل موجة معدني :

مهما يكن نموذج الموجة فان المركبة المماسية للحقل الكهربائي  $\vec{E}$  تنعدم على سطح دليل موجة ناقل كامل . ينتج عن ذلك أنه بقرب سطح الدليل يكون الحقل الكهربائي عموديا على السطح ويكون  $E_{Oz} = 0$  . أما الحقل المغناطيسي  $\vec{H}$  فيجب أن يتمف بالقرب من السطح بالفواض التالية :

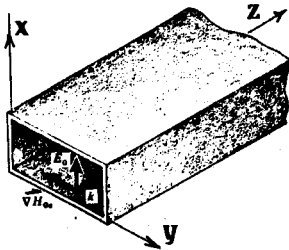
أ - مماسا للسطح، ب - عمودي على كثافة التيار، ج - طويلا  
 تساوي كثافة التيار السطحي معبرا عنه بوحدة A/m . فـ  
 الامواج TM و TEM على سبيل المثال ، يكون الحقل المغناطيسي  $\vec{H}$   
 عرضيا في كل نقطة من السطح وكثافة التيارات تكون في الدليل  
 طولانية . في الموجة TE وعند استخدام دليل موجة ناقل كامل يضاف  
 شرط آخر للشروط الحدية السابقة يستخدم  $H_{Oz}$  هذا الشرط نحصل  
 عليه من كتابة  $\vec{E}_O$  على الشكل:

$$\vec{E}_O = E_{Ox} \vec{i} + E_{Oy} \vec{j}$$

حيث أن  $E_{Oz} = 0$  فرضا ، باستخدام المعادلات (105) و (107) نجد:

$$\vec{E}_O = \frac{i\omega\mu}{\frac{1}{\chi^2} - \frac{1}{\chi_g^2}} \left[ -\frac{\partial H_{Oz}}{\partial y} \vec{i} + \frac{\partial H_{Oz}}{\partial x} \vec{j} \right]$$

$$= \frac{i\omega\mu}{\frac{1}{\chi^2} - \frac{1}{\chi_g^2}} \vec{k} \wedge \vec{\nabla} H_{Oz} \quad (3-138)$$



نمثل على الشكل (16 - 3) المتجهات

$\vec{E}_O$  و  $\vec{k}$  و  $\vec{\nabla} H_{Oz}$  حيث

نلاحظ أن  $\vec{\nabla} H_{Oz}$  مماس لجدار الناقل.

شكل (3-16) انتشار موجة

TE في ناقل كامل مستطيل

الشكل .

5 - 8 - 3 الموجات الكهربائية العرضية TE في أدلة الموجة ذات الاشكال

### المستطيلة الجوفاء:

يوجد في للواقع عدة نماذج لادلة الموجة نذكر منها

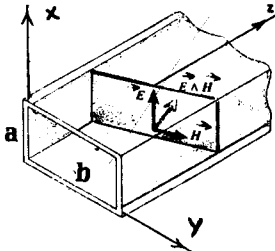
الناقل المحوري المحمي ( كابل محوري ) La Ligne Coaxiale



الناقل الثنائي السلك المصفح Ligne Bifilaire Blindée  
 والناقل ذو الخطين المتوازيين Ligne a fils parallèles ودليل  
 الموجة ذو الشكل المستطيل الاجوف . الخ . أدلة الموجة الجوفاء عبارة  
 عن أنابيب معدنية تنتشر فيها الامواج الكهرطيسية عن طريق  
 انعكاساتها على الجدران الداخلية للدليل على نحو يشابه قليلا  
 انتشار الموجات الصوتية في الانابيب وهي كثيرة الاستعمال في  
 الترددات العالية ( HF ) . يعتبر أن العازل في الدليل المستطيل  
 الاجوف هو الهواء وان طول الموجة  $\lambda_g$  للموجة TE يختلف عن  $\lambda$   
 الذي يساوي في هذه الحالة الى  $\lambda_0$  :

$$\lambda_0 = \frac{1}{(\epsilon_0 \mu_0)^{\frac{1}{2}}}$$

لتكن موجة كهربية عرضية TE حيث  $E_z = 0$  ، اتجاهات الحقلين  
 $\vec{E}$  و  $\vec{H}$  فيها مبين على الشكل ( 17 - 3 ) ، تنتشر هذه الموجة



شكل ( 17 - 3 )

بالانعكاسات المتتالية على الجدران  
 التي توازي المستوي xz . لتعيين  
 $\vec{E}$  و  $\vec{H}$  ينبغي ايجاد المركبات:

$$E_{ox} , E_{oy} , H_{ox} , H_{oz} , H_{oy}$$

ومن الشكل  $\lambda_g = \frac{1}{k_g}$  ،

نرى أن :

$$H_{ox} = 0 , E_{oy} = 0 \quad (3-139)$$

لتعيين المركبات الاربعة المتبقية  $E_{ox} , H_{oy} , H_{oz} , \lambda_g$  نحصل  
 معادلات الموجة بالنسبة للمركبة  $H_{oz}$  مع اعتبار الشروط الحدية  
 المناسبة المذكورة في الفقرة ( 4 - 8 - 3 ) فنحصل على  $H_{oz}$  و  $\lambda_g$

ومن ثم نستنتج المركبات  $E_{Ox}$  و  $H_{Oy}$  من المعادلات (105) و (108) من المعادلة (111) نجد أن  $H_{Oz}$  يخضع لمعادلة الموجة

$$\frac{\partial^2 H_{Oz}}{\partial x^2} + \frac{\partial^2 H_{Oz}}{\partial y^2} = \left( \frac{1}{\lambda_g^2} - \frac{1}{\lambda_o^2} \right) H_{Oz} \quad (3-140)$$

وحيث أن الموجة TE لاتتعلق بالاحداثي  $x$  كما يبينه الشكل (17-3)

فان المقدار  $\frac{\partial^2 H_{Oz}}{\partial x^2} = 0$ ، بتعويض هذا المقدار بالمعادلة (139)

نحصل على المعادلة التالية :

$$\frac{\partial^2 H_{Oz}}{\partial y^2} = \left( \frac{1}{\lambda_g^2} - \frac{1}{\lambda_o^2} \right) H_{Oz} \quad (3-141)$$

وحل هذه المعادلة نأخذ من الشكل :

$$H_{Oz} = A \sin cy + B \cos cy \quad (3-142)$$

حيث :

$$-c^2 = \frac{1}{\lambda_g^2} - \frac{1}{\lambda_o^2} \quad (3-143)$$

لنطبق الآن الشروط الحدية ليجاد الثوابت  $A$  و  $B$  :

$$x = a \text{ و } x = 0 \text{ عندما } \frac{\partial H_{Oz}}{\partial x} = 0 \quad (3-144)$$

$$y = b \text{ و } y = 0 \text{ عندما } \frac{\partial H_{Oz}}{\partial y} = 0 \quad (3-145)$$

الشرط الحدي الاول محقق باعتبار أن  $H_{Oz}$  لاتتعلق بالاحداثي  $x$  ممن

الشرط الحدي الثاني نجد :

$$y = b , y = 0 \text{ عندما } \frac{\partial H_{Oz}}{\partial y} = c[A \cos cy - B \sin cy] = 0 \quad (3-146)$$

الشرط الحدي عند  $y = 0$  يعطي  $A = 0$  والحل  $c = 0$  هو مرفوض

لانه يؤدي الى أن  $\lambda_0 = \lambda_g$  وهذا ليس صحيحا في حالة الموجة مــــ

النوع TE .

والشرط الحدي عند  $y = b$  يعطي :  $\sin cb = 0$  ومنه فــــان

$$c = \frac{n\pi}{b} \quad (3-147)$$

حيث  $n$  عدد صحيح لايساوي الصفر .

بتعويض قيمة  $c$  في العلاقة ( 142 ) نجد:

$$H_{Oz} = B \cos\left(\frac{n\pi}{b}y\right) \quad (3-148)$$

لايجاد قيمة  $\lambda_g$  نعوض قيمة  $c$  في العلاقة ( 147 ) نحصل على

المعادلة التالية :

$$\frac{-n^2\pi^2}{b^2} = \frac{1}{\lambda_g^2} - \frac{1}{\lambda_0^2} \quad (n=1,2,\dots) \quad (3-149)$$

ان  $\lambda_g$  كما يلاحظ لاتأخذ الا قيما متقطعة توافق  $n = 1, 2, 3, \dots$

ان وجود اشارة سالب في الطرف الايسر من ( 149 ) يدل على أن

وتكون السرعة الطورية عندئذ أكبر من سرعة الموجة الكهربية

في الخلاء .  $c$  بعد ايجاد  $H_{Oz}$  و  $\lambda_g$  يمكننا تعيين  $E_{Ox}$  و  $H_{Oy}$

انطلاقا من المعادلات ( 105 و 108 ) وذلك بعد وضع  $\lambda = \lambda_0$  و

$\mu_r = 1, \epsilon_r = 1$  فنجد:

$$E_{Ox} = \frac{i\omega\mu_0 bB}{n\pi} \cdot \sin\left(\frac{n\pi}{b}y\right) \quad (3-150)$$

$$H_{Oy} = \frac{ibB}{n\pi\lambda_g} \cdot \sin\left(\frac{n\pi}{b}y\right) \quad (3-151)$$

وبوضع :  $E_{Oox} = \frac{i\omega\mu_0 bB}{n\pi}$  حيث تمثل  $E_{Oox}$  القيمة العظمى لـ  $E$

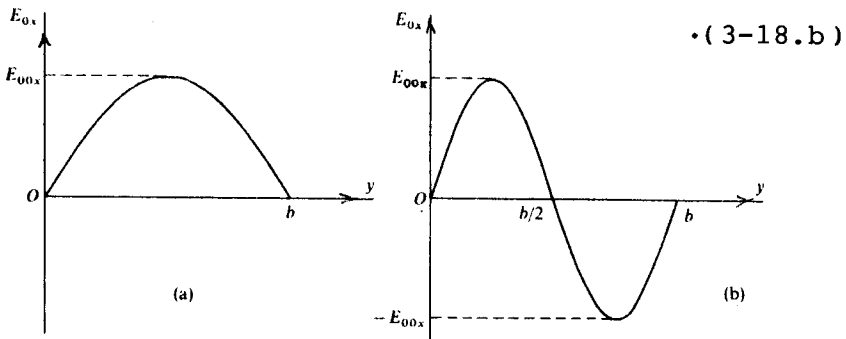
( وجدنا أن  $E_{Oy} = 0$  داخل الدليل، نجد أن:

$$E_x = E_{OOx} \sin\left(\frac{n\pi}{b} y\right) \exp i\left(\omega t - \frac{z}{\lambda_g}\right) \quad (3-152)$$

$$H_y = \frac{E_{OOx}}{\omega \mu \lambda_g} \sin\left(\frac{n\pi}{b} y\right) \exp i\left(\omega t - \frac{z}{\lambda_g}\right) \quad (3-153)$$

$$H_z = -\frac{E_{OOx} n\pi}{i\omega \mu_0 b} \cos\left(\frac{n\pi}{b} y\right) \exp i\left(\omega t - \frac{z}{\lambda_g}\right) \quad (3-154)$$

من العلاقة ( 152 ) نرى بأن الحقل الكهربائي لموجة مستوية كالتي تظهر على الشكل (17 - 3) تنتشر في الاتجاه الموجب للمحور  $z$  مستقلة عن  $x$  وبنتيجة الانعكاسات المتعددة يحدث تداخل لهذه الامواج مما يؤدي الى تغير السعة مع  $y$ . من جهة أخرى فإن  $n$  تأثيراً على السعة أيضاً، فمن أجل  $n = 1$ ، فإن  $E_{Ox}$  تتغير من 0 عند  $y = 0$  الى قيمة عظمى  $E_{OOx}$  عندما  $y = b/2$  ثم تنعدم من جديد عند القيمة  $y = b$  (شكل 18.a - 3) وعندما  $n = 2$ ، فإن  $E_{Ox}$  تنعدم في منتصف الدليل عندما  $y = b/2$  وتغير اشارتها من جهة لآخرى شكل



شكل (18 - 3): تغير السعة  $E_{Ox}$  لموجة TE في دليل موجة مستطيل

ان  $n = 1$  في ( a ) وتساوي ( 2 ) في ( b ) .

ان اختلاف قيم  $n$  توافق اذن اختلافا في نمط الانتشار في الدليل.  
لنكتب المعادلة ( 149 ) على الشكل :

$$\frac{\chi_g}{\chi_o} = \frac{1}{[1 - (\frac{n\lambda_o}{2b})^2]^{\frac{1}{2}}} \quad (3-155)$$

عندما  $n=1$  فان العلاقة السابقة تساوي :

$$\frac{\chi_g}{\chi_o} = \frac{1}{[1 - (\frac{\lambda_o}{2b})^2]^{\frac{1}{2}}} \quad (3-156)$$

اذا كانت  $\lambda_o < 2b$  فان  $\chi_g$  لها قيمة حقيقية وهذا يعني أن التوابع الاسية في المعادلات (152)، (153) و (154) تصف موجة غير متفادمة . ويمكن شرح المتراجعة  $\lambda_o < 2b$  بالشكل التالي : اذا كان التردد عاليا الى حد كاف وكانت جدران الدليل مصنوعة من ناقل كامل فان الموجة يمكنها أن تنتشر في الدليل دون تخامد، عندما تكون  $\lambda_o > 2b$  أي عندما يكون التردد منخفضا جدا فان  $\chi_g$  تكون عقدية والتوابع الاسية للعلاقات التي سبق ذكرها سوف تحوي على حد يعبر عن التخماد، والنتيجة أن الحقل الكهربائي والمغناطيسي سوف يتخامدان بتابعية  $z$  . ولكن الطور من جهة أخرى لا يتغير مع  $z$  ولذلك لا توجد موجة وتدفق الطاقة يكون معدوما في الدليل ويكون تخامد الموجة TE سريعا ان وجد، فاذا كانت  $\lambda_o = 4b$  (ترددات منخفضة جدا) فان المقدار:

$$\frac{1}{\chi_g} = \pm i \frac{\sqrt{3}}{\chi_o} \quad (3-157)$$

ويجب هنا أخذ الاشارة السالبة. والا حصلنا على تزايد أسى للسعة بدلالة  $z$  . وبلاستفادة من العلاقة السابقة فان المقدار  $\exp(-i \frac{z}{\chi_g})$  يساوي

$$\exp(-i \frac{z}{\lambda_g}) = \exp(- \frac{2\pi\sqrt{3} z}{\lambda_0})$$

وسعة الموجة تتخامد بمقدار  $4 \times 10^{-5}$  على بعد  $z$  مساو اللى  $\lambda_0$  وتتخامد متوسط متجهة بوينتنغ  $\langle \vec{p}_g \rangle$  عند مسافة  $z = \lambda_0$  بالمقدار  $16 \times 10^{-10}$  وفي الحالة الخلصة التي يكون فيها طول الموجة  $\lambda_0 = 2b$  فان  $\lambda_g$  تصبح لانهائية . تدعى الكمية  $\lambda_c = 2b$  طول موجة القطع Longueur d'onde de Coupure. نستخلص مما سبق أن أدلة الموجة المستطيلة الجوفاء لاتستعمل الا عندما يكون طول الموجة في الفلاء  $\lambda_0$  أقل بكثير من  $2b$  :  $\lambda_0 \ll 2b$  في النمط  $n = 1$  اذا كان  $b = 10 \text{ cm}$  على سبيل المثال، فان  $\lambda_0$  يجب أن تكون أصغر بكثير من  $20 \text{ cm}$  وهذا يعني أن التردد الاصغري يساوي  $1,5 \text{ GHz}$ . وهكذا فان الدليل يعمل كهرشح حيث أن الامواج لاتنتشر فيه الا عند الترددات الاكبر والتي تساوي  $1,5 \text{ GHz}$  ( الترددات العالية ) . من أجل التمث  $n = 1$  فان مركبات الحقلين الكهربائي والمغناطيسي تساوي :

$$\left. \begin{aligned} E_x &= E_{00x} \sin\left(\frac{\pi y}{b}\right) \exp i\left(\omega t - \frac{z}{\lambda_g}\right) \\ E_y &= 0 \quad , \quad E_x = 0 \end{aligned} \right\} \quad (3-158)$$

$$H_y = \frac{E_{00x}}{\omega \mu_0 \lambda_g} \sin\left(\frac{\pi y}{b}\right) \exp i\left(\omega t - \frac{z}{\lambda_g}\right) \quad (3-159)$$

$$H_z = \frac{\pi E_{00x}}{\omega \mu_0 b} \cos\left(-\frac{\pi y}{b}\right) \exp i\left(\omega t - \frac{z}{\lambda_g} - \frac{\pi}{2}\right) \quad (3-160)$$

$$= \frac{\pi E_{00x}}{\omega \mu_0 b} \cos\left(\frac{\pi y}{b}\right) \exp i\left[\omega t - \frac{1}{\lambda_g}\left(z + \frac{\lambda_g}{4}\right)\right] \quad (3-161)$$

$$H_z = 0$$

حيث  $\lambda_g$  طول الموجة في الدليل يساوي :

$$\lambda_g = \frac{\lambda_0}{\left[1 - \left(\frac{\lambda_0}{2b}\right)^2\right]^{\frac{1}{2}}} > \lambda_0 \quad (3-162)$$

وسرعة الطور تساوي الى :

$$v_{ph} = \frac{c}{\left[1 - \left(\frac{\lambda_0}{2b}\right)^2\right]^{\frac{1}{2}}} > c \quad (3-163)$$

نلاحظ مما سبق أن  $E_x$  و  $H_y$  على توافق في الطور ، أما  $H_z$  فيملك

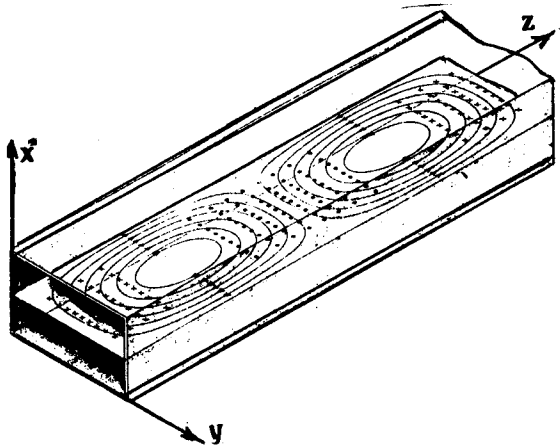
في النقطة  $z + \lambda_g/4$  طورًا يساوي طور  $E_x$  و  $H_y$  في النقطة  $z$  .

يمثل الشكل التالي (19 - 3) خطوط الحقل الكهربائي  $\vec{E}$

(مستقيمات عمودية مثلث بنقاط وعلامة  $x$ ) والمغناطيسي  $\vec{H}$  (خطوط

بيضوية) لموجة TE من النمط  $n = 1$  تنتشر في دليل موجة

مستطيل الشكل .



شكل ( 19 - 3 ) .

6 - 8 - 3 - انتقال الطاقة الكهرطيسية لموجة من النوع TE في

دليل أمواج مستطيل :

لنحسب الطاقة التي تنقلها موجة من النوع TE في دليل

أمواج مستطيل الشكل فقداؤه للطاقة ضعيف وذلك من أجل النمط  $n = 1$ .  
تعطى القيمة الوسطية لمتجهة بوينتنغ من العلاقة :

$$\langle \vec{p}_c \rangle = \frac{1}{2} R_e (\vec{E} \wedge \vec{H}^*)$$

حيث  $\vec{H}^*$  هو المرافق العقدي لـ  $\vec{H}$  :

$$\langle \vec{p}_c \rangle = \frac{1}{2} R_e \begin{vmatrix} \vec{i} & \vec{j} & \vec{k} \\ E_x & 0 & 0 \\ 0 & H_y^* & H_z^* \end{vmatrix}$$

$$= \frac{1}{2} R_e (-E_x H_z^* \vec{j} + E_x H_y^* \vec{k}) \quad (3-164)$$

وإذا عوضنا في هذه المعادلة قيم  $E_x$  و  $H_y$  و  $H_z$  من المعادلات

( 151 الى 153 ) نجد أن الحد الأول للمقدار مابين قوسين هو

مقدار تخيلي أما الحد الثاني فهو مقدار حقيقي . والطاقة المنتقلة

تكون فقط في الاتجاه  $z$  وتساوي :



$$\langle \vec{p}_c \rangle = \frac{E_{00x}^2}{2\omega\mu_0\chi_g} \sin^2\left(\frac{\pi}{b} y\right) \vec{k} \quad (3-165)$$

وكما نلاحظ أن  $\langle \vec{p}_c \rangle$  مستقلة عن  $x$  لان الموجة وطورها مستقلين عنه ولذلك فإن  $\langle \vec{p}_c \rangle$  تنعدم على الجدران عند  $y = 0$  و  $y = b$  حيث ينعدم الحقل الكهربائي  $\vec{E}$ ، وتأخذ  $\langle \vec{p}_c \rangle$  قيمة عظمى عندما  $y = b/2$  ان الاستطاعة الكلية الوسطية المنتقلة يمكن مساها بعد معرفة  $\langle \vec{p}_c \rangle$  وتساوي :

$$W_T = \int_{y=0}^{y=b} \frac{E_{00x}^2}{2\omega\mu_0\chi_g} \sin^2\left(\frac{\pi}{b} y\right) ady \quad (3-166)$$

$$= \frac{E_{00x}^2 \cdot ab}{4\omega\mu_0\chi_g} \quad (3-167)$$

$$= \frac{ab \cdot E_{00x}^2}{4c\mu_0} \left\{ 1 - \left(\frac{\lambda_0}{2b}\right)^2 \right\}^{1/2} \quad (3-168)$$

لنقارن هذه الاستطاعة المنتقلة مع الطاقة الكهرطيسية الوسطية في واحدة الطول في الدليل . ان كثافة الطاقة الكهرطيسية الانية تساوي  $\frac{1}{2} \epsilon_0 E_0^2$  وقيمتها المتوسطة تساوي  $\frac{1}{4} \epsilon_0 E_0^2$  . وتكون الطاقة الكهرطيسية في واحدة الطول مساوية الى :

$$\int_0^b \frac{1}{4} \epsilon_0 E_{00x}^2 \sin^2\left(\frac{\pi}{b} y\right) ady = \frac{\epsilon_0}{8} ab \cdot E_{00x}^2 \quad (3-169)$$

لايجاد الطاقة المغناطيسية الوسطية في واحدة الطول نطبق نفس الطريقة على مركبات الحقل  $\vec{H}$  :  $H_x$  و  $H_y$  ، حيث  $H^2 = H_x^2 + H_y^2$  . نجد في النتيجة أن هذه الطاقة المغناطيسية الوسطية تساوي :

وهي اذن تساوي الى الطاقة الكهربائية الوسطية  $\frac{\epsilon_0}{8} abE_{0ox}^2$

وهذا منطقي، لان الامواج الكهرطيسية الناتجة من انعكاس الحقل  $\vec{E}$  على جدران الدليل يكون لها كثافة طاقة كهربائية ومغناطيسية متساويين . وقد لا يكون كذلك في بعض الاحيان بسبب ظواهر التداخل .

والطاقة الكهرطيسية الوسطية الكلية في واحدة الطول في الموجة تساوي:

$\frac{1}{4} \epsilon_0 abE_{0ox}^2$  . اذا قسمنا الاستطاعة الوسطية المنقولة على الطاقة الكهرطيسية الكلية نحصل على :

#### الاستطاعة الوسطية المنقولة

الطاقة الكهرطيسية الوسطية الكلية

$$= E_{0ox}^2 \frac{ab}{4\omega\mu_0\chi_g} \frac{4}{\epsilon_0 abE_{0ox}^2} = c \frac{\chi_0}{\chi_g}$$

$$= c \left\{ 1 - \left( \frac{\lambda_0}{2b} \right)^2 \right\}^{\frac{1}{2}} = v_s \quad (3-170)$$

$v_s$  هي سرعة الاشارة ( السرعة المجموعية ) وهي السرعة التي تنتقل فيها اشارة معينة على طول الدليل والاستطاعة الوسطية المنقولة تساوي اذن الى جداء سرعة الاشارة  $v_s$  في جداء الطاقة الكهرطيسية الوسطية الكلية في واحدة الطول .

#### 7 - 8 - 3 - تخامد موجة TE في دليل الموجة المستطيل الشكل:

لقد فرضنا حتى الآن أن جدران الدليل هي نواقل تامّة أو كاملة حيث لا يوجد خسارة في طاقة الموجة أما الآن فسنعتبر أن جدران الدليل ذات ناقلية محدودة ولذلك فانها تبدو قسما من طاقة الموجة

على شكل حرارة بفعل جول . تولد الامواج تيارات كهربائية في  
الدليل والحساب الدقيق للحقول في الدليل يكون صعبا ولحسن الحظ  
أن مثل هذه الحسابات ليست مهمة .

ان حساب الخسارة بفعل جول على الجدران يتم على الشكل  
التالي : كانت حساباتنا قائمة على اعتبار أن الدليل كامل الناقلية  
وهذا أدى الى حساب الحقل المغناطيسي  $\vec{H}$  المماس لسطح الدليل .  
وبما أن المركبة المماسية للحقل  $\vec{H}$  يجب أن تكون مستمرة على السطح  
الفاصل فان قيمة  $\vec{H}$  يمكن معرفتها داخل الناقل بمساعدة معادلات  
ماكسويل ومتجهة بوينتنغ التي تكون عمودية على السطح الناقل وهي  
موجهة الى داخل الجدار . هذا ويعبر متوسط متجهة بوينتنغ عن  
الاستطاعة المتوسطة  $W_p$  الضائعة في واحدة الطول في الدليل . عندما  
تخترق الحقول  $\vec{E}$  و  $\vec{H}$  الجدار نعدم بعد أن تكون قد توغلست  
مسافة  $\delta$  ضئيلة جدا (  $\delta = 1,2 \mu$  في النحاس عند استفادام  
تردد مقداره :  $\nu = 3 \text{ GHz}$  وعند قيمة  $b$  مساوية الى  
 $b = 7,5 \text{ cm}$  ) . بما أن  $\vec{H}$  مماسا لسطح الناقل فان كثافة التيار  
 $\vec{J}_c$  تكون موازية للسطح وعمودية على الحقل المغناطيسي  $\vec{H}$   
لان  $\vec{J} \wedge \vec{H} = \vec{\nu}$  . نظرا للتخامد الذي تسببه جدران الدليل كان  
من الهمية تعيين ثابت التخامد  $k_{gi}$  . يعرف ثابت التخامد

من العلاقة :

$$\frac{\text{الاستطاعة الوسطية الضائعة في واحدة الطول في الدليل}}{\text{الاستطاعة الوسطية المنتقلة في الدليل}} = \frac{W_p}{2 \cdot W_T} (3-171)$$

ولحساب هذا الثابت يجب تعيين كل من الاستطاعة الوسطية الضائعة في

واحدة الطول  $W_p$  والاستطاعة الوسطية المنتقلة في الدليل  $W_T$  وهذا  
 ماسنفعه في هذه الفقرة .

يولد الحقل المغناطيسي  $\vec{H}$  المماسي موجة كهرومغناطيسية  
 تخترق الجدار بشكل عمودي وداخل الجدار تكون النسبة بين الحقل  $\vec{E}$   
 الى  $\vec{H}$  مساوية الى :

$$\frac{E}{H} = \left( \frac{\omega \mu_0}{\sigma} \right)^{1/2} e^{i\pi/4} \quad (3-172)$$

بفرض أن العازل الذي يملأ الدليل هو الهواء وأن  $n = 1$  ، فإن  
 الحقل المغناطيسي على امتداد الوجه الواقع في المستوى  $xz$  يساوي :

$$H_z = \frac{\pi E_{00x}}{\omega \mu_0 b} \exp i \left( \omega t - \frac{z}{\lambda_g} - \frac{\pi}{2} \right) \quad (y = 0) \quad (3-173)$$

ان  $E_x^0$  لتساوي الصفر عندما  $y = 0$  وهي تساوي الى :

$$E_x = \left( \frac{\mu_0 \omega}{\sigma} \right)^{1/2} \frac{\pi E_{00x}}{\omega \mu_0 b} \exp i \left( \omega t - \frac{z}{\lambda_g} - \frac{\pi}{4} \right) \quad (y = 0) \quad (3-174)$$

لنلاحظ أن  $E_x \rightarrow 0$  عندما  $\sigma \rightarrow \infty$  . ان متوسط متجهة بوينتنگ الموافقة  
 لتخسارة في هذا الجدار يساوي :

$$\langle \vec{p}_c \rangle = \frac{1}{2} R_e (\vec{E} \wedge \vec{H}^*) = \left( \frac{\pi E_{00x}}{b} \right)^2 \frac{1}{\sigma^{1/2} (2\omega \mu_0)^{3/2}} \quad (y = 0) \quad (3-175)$$

وهي تمثل الاستطاعة الوسطية المفقودة في المتر مربع من الجدار  $y = 0$   
 وهي نفسها في كل نقطة من نقاط الجدار . والاستطاعة المفقودة بوحدة  
 الطول تكون أكبر من الاستطاعة الوسطية السابقة بمقدار  $a$  مرة وتساوي  
 من أجل الجدارين الموازيين للمستوى  $xz$  الى :

$$W_{xz} = \left( \frac{\pi E_{oox}}{b} \right)^2 \frac{2a}{\sigma^{\frac{1}{2}} (2\omega\mu_o)^{3/2}} \quad (3-176)$$

وهي تمثل الاستطاعة الوسطية المفقودة بالانعكاس .

أما على الحائط  $x = 0$  فان للحقل المغناطيسي  $\vec{H}$

مركبتان واحدة على  $y$  :  $H_y$  والاخرى على  $z$  :  $H_z$  , يوافق المركبة  $H_y$  الحقل الكهربائي  $E_z$  ويساوي :

$$E_z = \left( \frac{\mu_o \omega}{\sigma} \right)^{\frac{1}{2}} \left( \frac{E_{oox}}{\omega\mu_o \chi_g} \right) \sin\left(-\frac{\pi y}{b}\right) \exp i\left(\omega t - \frac{z}{\chi_g} + \frac{\pi}{4}\right) \quad (3-177)$$

والقيمة الوسطية لمتجهة بوينتنگ التي تدخل في الجدارين الموازيين

$$\text{ للمستوى } yz \text{ تساوي :} \quad \left( \frac{E_{oox}}{\chi_g} \right)^2 \frac{1}{\sigma^{\frac{1}{2}} (2\omega\mu_o)^{3/2}} \sin^2\left(\frac{\pi y}{b}\right) \quad (3-178)$$

ونفس الخطوات السابقة اذا أجريناها على المركبة  $H_z$  نجد أن القيمة الوسطية لمتجهة بوينتنگ تساوي :

$$\left( \frac{\pi E_{oox}}{b} \right)^2 \frac{1}{\sigma^{\frac{1}{2}} (2\omega\mu_o)^{3/2}} \cos^2\left(\frac{\pi y}{b}\right) \quad (3-179)$$

وبمكاملة العلاقتين ( 178 ) و ( 179 ) من  $y = 0$  إلى  $y = b$  وضرب النتيجة بالمقدار 2 نحصل على الاستطاعة المفقودة في المتر فسي

الجدارين الموازيين للمستوى  $yz$  :

$$W_{yz} = \frac{\pi^2 E_{oox}^2}{b\sigma^{\frac{1}{2}} (2\omega\mu_o)^{3/2}} \left\{ 1 + \left( \frac{2b}{\chi_g} \right)^2 \right\} = \frac{\pi^2 E_{oox}^2}{b\sigma^{\frac{1}{2}} (2\omega\mu_o)^{3/2}} \left( \frac{2b}{\lambda_o} \right)^2 \quad (3-180)$$

والاستطاعة الكلية المفقودة في واحدة الطول تساوي :

$$W_p = W_{xz} + W_{yz} = \frac{\pi^2 E_0^2}{b\sigma^{\frac{1}{2}}(2\omega\mu_0)^{\frac{3}{2}}} \left[ \frac{2a}{b} + \left(\frac{2b}{\lambda_0}\right)^2 \right] \quad (3-181)$$

و ثابت التخماد  $k_{gi}$  يساوي :

$$k_{gi} = \frac{W_p}{2W_T} = \frac{1}{a(120\sigma\lambda_0)^{\frac{1}{2}}} \frac{1 + \frac{2a}{b} \left(\frac{\lambda_0}{2b}\right)^2}{\left[1 - \left(\frac{\lambda_0}{2b}\right)^2\right]^{\frac{1}{2}}} \quad (3-182)$$

فاذا كان ارتفاع الدليل لانهايي :  $a \rightarrow \infty$  فان ثابت التخماد في هذه الحالة يساوي :

$$k_{gi} = \frac{1}{b(30\sigma\lambda_0)^{\frac{1}{2}}} \frac{\left(\frac{\lambda_0}{2b}\right)^2}{\left[1 - \left(\frac{\lambda_0}{2b}\right)^2\right]^{\frac{1}{2}}} \quad (a \rightarrow \infty) \quad (3-183)$$

وهذا الحد ناتج عن  $W_{xz}$  أي ناجم عن الخسارة على الوجة الموازية للمستوي xz فقط .

من الناحية العملية يساوي المقدار  $\frac{2a}{b}$  الواحد بينما يساوي المقدار  $\left(\frac{\lambda_0}{2b}\right)^2$  النصف والخسارات الحادثة على الوجة الموازية للمستوي xz تكون أقل بمرتين من الخسارات التي تحدث على الوجة الاخرى . نمثل على الشكل ( 20 - 3 ) تغيير

الشكل (  $k_{gi} \cdot b^{3/2}$  ) بدلالة النسبة  $\frac{\lambda_0}{2b} = \frac{\lambda_0}{\lambda_c}$  عندما :  $\frac{a}{b} = 0,5$  . ومن

الشكل نرى أن القيمة المثلى للمقدار  $\frac{\lambda_0}{2b}$  هي القيمة القريبة من 0,4

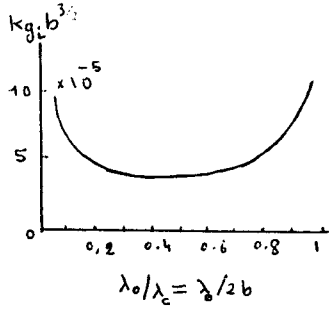
ولكن النهاية الصغرى عريضة ولذلك نأخذ من الناحية العملية القيم

الأكبر للمقدار  $\frac{\lambda_0}{2b}$  لكي يكون التخماد في النمط  $n = 2$  شديداً .

يكون التخماد من مرتبة  $0,1 \text{ dB/m}^2$  (ديسي بل / متر مربع ) عند

ترددات تساوي عدة ميغا هرتز ويزداد التخماد مع زيادة التردد مرفوعاً

لأس 3/2 :  $\nu^{3/2}$  وذلك عندما نحافظ على بقاء النسبة  $\frac{a}{b}$  و  $\frac{\lambda_0}{2b}$  ثابتة .



شكل (20 - 3) : تغيير  $(k_{gi} \cdot b^{3/2})$

بدلالة  $\frac{\lambda_0}{\lambda_c}$  في النحاس  
عندما  $\frac{a}{b} = 0,5$  .

وبشير الجدول ( 1 ) الى ميزات بعض نماذج أدلة موجة مستطيلة الشكل

| الابعاد الداخلية للدليل<br>cm | تردد القطع<br>GHz | مجال الترددات<br>GHz | التخامد<br>dB/m. 10 <sup>2</sup> | الاستطاعة المقبولة<br>MW |
|-------------------------------|-------------------|----------------------|----------------------------------|--------------------------|
| 7,21 x 3,4                    | 2,08              | 2,6 - 3,95           | 3,67-2,75                        | 2,2 - 3,2                |
| 4,755 x 2,215                 | 3,155             | 3,95 - 5,85          | 6,93-4,8                         | 1,4 - 2                  |
| 3,485 x 1,580                 | 4,285             | 5,85 - 8,2           | 9,57-7,67                        | 0,6 - 0,7                |

جدول ( 1 ) خواص بعض أنواع أدلة الموجة المستطيلة الشكل .

### مسائل غير محلولة

- ١ - احسب معامل فرنل في الانعكاس عند ورود موجة مستقطبة من النوع N ترد من الهواء على عازل عند زاوية ورود تساوي زاوية برونستر  $\theta_1 = \theta_B$  . أوجد الانعكاسية عندما تساوي قرينة انكسار العازل 1,5 .
- ٢ - تنعكس موجة ضوئية ذات استقطاب p عن سطح معدني . أوجد صيغة  $R_p$  عندما تكون  $\cos \theta_2 \approx 1$  . أوجد قيمة  $\cos \theta_1$  عندما يكون  $R_p$  أصغريا واحسب قيمة الزاوية وقيمة  $R_p$  اذا كان:  $n' = 6, n = 1$
- ٣ - تسقط موجة كهرومغناطيسية على سطح معدني بزاوية  $\theta_1$ ، بين أنه في المجال الذي تصح فيه علاقة هاجن - روبنز فان العلاقة (59 - 3) تستبدل بكل من العلاقتين :

$$A_n = \frac{2 \cos \theta_1}{n'} \quad , \quad A_p = \frac{2}{n' \cos \theta_1}$$

- ٤ - تنعكس موجة كهرومغناطيسية على سطح معدني عندما تسقط عمودية عليه، بين من العلاقة التي تعطي  $r_{12N}$  أن انزياح الطور للحقل الكهربائي  $\vec{E}$  هو:

$$\alpha_N = \tan^{-1} \frac{2n'}{n^2 + n'^2 - 1}$$

تحقق أن  $\alpha_N = \pi$  عندما تكون  $\sigma = \infty$  .

- ٥ - بفرض أن موجة راديوية نبضها الزاوي  $\omega = 10^7 \text{ s}^{-1}$  تنعكس عن سطح الارض عند ورودها ناظميا عليه . احسب انزياح الطور عند



الانعكاس من نتيجة المسألة السابقة مفترضا أن  $\epsilon_r = 9$  و  
 $\sigma = 10^{-4} (\Omega m)^{-1}$  لسطح الأرض .

- ٦ - تنعكس موجة مستوية واردة على السطح الفاصل بين عازلين ،  
 فإذا كانت الموجة الواردة واقعة في الوسط ( 1 ) وكان  
 $n_2/n_1 = 1 + a$  حيث  $a$  مقدار ثابت برهن :  
 ١ - ان معامل فرنل في الانعكاس من أجل الامواج المنعكسة التي  
 يكون فيها الحقل الكهربائي  $\vec{E}$  للموجة الواردة عموديا على  
 مستوى الورود يساوي :

$$R_N = \left\{ \frac{1 + a - B}{1 + a + B} \right\}^2$$

حيث :  $B^2 = 1 - a(a + 2) \operatorname{tg}^2 \theta_1$  ،  $\theta_1$  هي زاوية الورود .

٢ - برهن أن  $B = 0$  عند ورود الموجة بزواوية حرجة .

- ٧ - تسقط موجة كهروطيسية مستوية ناظميا على حائط مصنوع من مادة  
 عازلة ، سماحيته النسبية  $\epsilon_r = 1,25$  و نفوذيته النسبية  
 $\mu_r = 1$  وذلك عند تردد معين للموجة الكهروطيسية ،  
 وإذا كانت سعة الحقل الكهربائي لهذه الموجة في الهواء هي :  
 $E_{oi} = 15 \mu V/m$  وسعة الحقل الكهربائي للموجة النافذة هي :

$$E_{ot} = \frac{2}{n + 1} E_{oi}$$

احسب :

١ - سعة الحقل المغناطيسي  $H_{oi}$  للموجة الواردة .

٢ - سعة الموجة النافذة  $E_{ot}$

٣ - ممانعة الحائط للموجة الكهروطيسية .

٤ - سعة الحقل المغناطيسي للموجة النافذة  $H_{Oz}$  .

٨ - تسقط موجة كهرومغناطيسية ناظمية على وجه مصقول من الالماس قرينة انكساره 2,417 ، احسب :

١ - نسبة سعة الحقل الكهربائي للموجة المنعكسة الى سعة الحقل الكهربائي للموجة الواردة .  
٢ - الشدة المنعكسة .

٩ - موجة كهرومغناطيسية سرعتها الطورية  $V$  تكون تابعة لطول الموجة والتابع الذي يصف هذه العلاقة هو من الشكل:  $V = Cf(\xi)$  حيث  $\xi = \lambda/b$  ،  $b$  : ثابت مناسب ، والمطلوب :

١ - أثبت أن :  $\lambda dV/d\lambda = c\xi df/d\xi$

٢ - اعتماد على العلاقة التي تعطي السرعة المجموعية  $V_g = V - \lambda dV/d\lambda$  بين أن :

$$VV_g = c^2(f^2 - f\xi df/d\xi)$$

٣ - لكي نتحقق العلاقة:  $VV_g = c^2$  أثبت أن  $V$  يجب أن يساوي :

$$V = c\sqrt{1 + (\lambda/b)^2}$$

٤ - اذا كان  $\lambda_0$  هو طول الموجة في الخلاء أثبت أن :

$$V = c\sqrt{1 - (\lambda_0/b)^2}$$

١٠ - ان الحل العام للمعادلة ( 140 - 3 ) بعد اعتبار الشروط الحدية المناسبة لتابع الحقل هو من الشكل :

$$H_z = A \sin\left(\frac{m\pi x}{a}\right) \cdot \sin\left(\frac{n\pi y}{b}\right) \cos(\omega t - k_z z)$$

حيث A ثابتة تمثل مقدار حقيقي . برهن أن :

$$\frac{1}{\lambda_c^2} = \frac{1}{\lambda_o^2} - \frac{1}{\lambda_g^2} = \left(\frac{m}{2a}\right)^2 + \left(\frac{n}{2b}\right)^2$$

حيث  $\lambda_c$  هو طول موجة القطع ، m و n أعداد صحيحة . والعلاقة

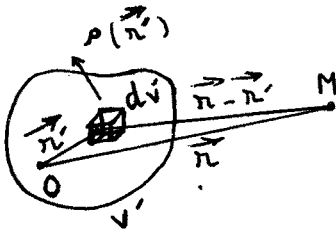
الاخيرة صحيحة أيضا للموجة من النوع TM .

# الفصل الرابع

## متعددات الاقطاب

### 1-4 - متعددات الاقطاب الكهربائية (حالة شحنات غير متحركة):

تمشأ الحقول الكهربائية الساكنة عين شحنات كهربائية ساكنة، ومن الطرق المتبعة في حساب هذه الحقول هي معرفة الكمون الكهراكي لهذه الشحنات المولدة للحقل . ان التأثير المتبادل بين



الشحنات الساكنة يمكن وصفه على أساس تصورات التأثير عن بعد ومن أجل ذلك نعتبر توزعا مستمرا ومحدودا للشحنات  $\rho(\vec{r}')$  ولنبحث عن الكمون  $\phi(\vec{r})$  الناجم عن هذا التوزع وذلك في نقطة بعيدة

الشكل (1 - 4)

كما هو واضح في الشكل (1 - 4) .

فمن أجل حساب الكمون  $\phi(\vec{r})$  نمدد في البداية الكمون الناشئ عن الشحنة العنصرية  $dq = \rho(\vec{r}') dv'$  التي تولد عند النقطة  $M(\vec{r})$  الكمون :

$$d\phi(\vec{r}) = \frac{1}{4\pi\epsilon_0} \int \frac{\rho(\vec{r}') dv'}{|\vec{r} - \vec{r}'|} \quad (4-1)$$

ان هذه العلاقة تمثل الكمون المتولد عن الشحنة النقطية  $dq$  أما الكمون الكلي عند النقطة  $M(x_1, x_2, x_3)$  والناجم عن مختلف الشحنات

العنصرية الموجودة في التوزع  $\rho(\vec{r}')$  فيعطى بالعلاقة :

$$\varphi(\vec{r}) = \frac{1}{4\pi\epsilon_0} \int \frac{\rho(\vec{r}') dv'}{|\vec{r} - \vec{r}'|} \quad (4-2)$$

يفرض أن  $\vec{r} \gg \vec{r}'$  فإنه يمكن نشر هذا الكمون على شكل سلسلة تايلور أي يمكن نشر التابع  $\frac{1}{|\vec{r} - \vec{r}'|}$  حول النقطة  $\vec{r}' = 0$  وينشر هذا التابع ثم تعويضه في العلاقة (2 - 4) نحصل على متعددات الاقطاب الكهربائية ( أحادي القطب الكهربائي ، ثنائي القطب الكهربائي ، رباعي القطب ، الخ ) .

1 - 1 - 4 - نشر تابع الكمون - الحقل المتولد عن ثنائي القطب :

ان نشر التابع  $f(\vec{r}, \vec{r}') = \frac{1}{|\vec{r} - \vec{r}'|}$  حسب سلسلة تايلور يعطى بالعلاقة التالية :

$$f(\vec{r}, \vec{r}') = f(\vec{r}') \Big|_{\vec{r}'=0} + \sum_{i=1}^3 \frac{\partial f(\vec{r}')}{\partial x_i} \Big|_{\vec{r}'=0} x'_i + \frac{1}{2} \sum_{i,j=1}^3 \left( \frac{\partial}{\partial x_i} \frac{\partial}{\partial x_j} f(\vec{r}') \Big|_{\vec{r}'=0} \right) x'_i x'_j + \dots$$

وبالتالي يمكن أن نكتب النشر للتابع  $\frac{1}{|\vec{r} - \vec{r}'|}$  بالصيغة التحليلية التالية :

$$\frac{1}{|\vec{r} - \vec{r}'|} = \frac{1}{r} - \sum_{i=1}^3 \left( \frac{\partial}{\partial x_i} \frac{1}{r} \right) x'_i + \frac{1}{2} \sum_{i,j=1}^3 \left( \frac{\partial}{\partial x_i} \frac{\partial}{\partial x_j} \frac{1}{r} \right) x'_i x'_j - \dots \quad (4-3)$$

ويمكن للطالب أن يتأكد بسهولة من أنه :

$$1-f(\vec{r}) \Big|_{\vec{r}=0} = \frac{1}{\sqrt{(x_1-x'_1)^2+(x_2-x'_2)^2+(x_3-x'_3)^2}} \Big|_{\vec{r}=0}$$

$$= \frac{1}{x_1^2+x_2^2+x_3^2} = \frac{1}{r}$$

$$2- \frac{\partial f(\vec{r})}{\partial x_1} \Big|_{\vec{r}=0} = \frac{-(x_i-x'_i)}{(\sqrt{(x_1-x'_1)^2+(x_2-x'_2)^2+(x_3-x'_3)^2})^3} \Big|_{\vec{r}=0}$$

$$= \frac{-x_i}{(\sqrt{x_1^2+x_2^2+x_3^2})^3} = \frac{-x_i}{r^3}$$

$$3- \frac{\partial^2 f(\vec{r})}{\partial x_i \partial x_j} \Big|_{\vec{r}=0} = \frac{\partial}{\partial x_i} \frac{(x_j-x'_j)}{(\sqrt{(x_1-x'_1)^2+(x_2-x'_2)^2+(x_3-x'_3)^2})^3} \Big|_{\vec{r}=0}$$

$$= \left\{ \frac{3(x_i-x'_i)(x_j-x'_j)}{(\sqrt{(x_1-x'_1)^2+(x_2-x'_2)^2+(x_3-x'_3)^2})^5} \right. \\ \left. - \frac{1 \cdot \delta_{ij}}{(\sqrt{(x_1-x'_1)^2+(x_2-x'_2)^2+(x_3-x'_3)^2})^3} \right\} \Big|_{\vec{r}=0}$$

$$= \frac{3x_i x_j - r^2 \delta_{ij}}{r^5}$$

حيث  $\delta_{ij}$  يسمي رمز كرونكير ويعرف كما هو معهود كما يلي :

$$\delta_{ij} = \begin{cases} 1 & \text{عندما } i = j \\ 0 & \text{عندما } i \neq j \end{cases} \quad \text{حيث } i, j = 1, 2, 3, \dots$$

وآن لنعوض العلاقة (3 - 4) بالعلاقة (2 - 4) فنحصل على عبارة

الكومون من أجل  $\vec{r}' \gg \vec{r}$

$$\varphi(\vec{r}) = \frac{1}{4\pi\epsilon_0} \int_V \rho(\vec{r}') \frac{1}{|\vec{r}-\vec{r}'|} dv' = \frac{1}{4\pi\epsilon_0} \int_V \rho(\vec{r}') \left\{ \frac{1}{r} + \right.$$

$$\left. + \sum_{i,j=1}^3 \frac{x_i x_j}{r^3} + \frac{1}{2!} \sum_{i,j=1}^3 \frac{(3x_i x_j - r^2 \delta_{ij}) x_i x_j}{r^5} + \dots \right\} dv'$$

$$\frac{1}{r} + \frac{1}{r^3} \sum_{i,j=1}^3 x_i x_j + \frac{1}{2!} \sum_{i,j=1}^3 \frac{(3x_i x_j - r^2 \delta_{ij}) x_i x_j}{r^5} + \dots$$

$$\rho(\vec{r}') x_i x_j dv' + \dots \quad (4-4)$$

وللتسهيل يمكن اعادة صياغة الحد الثالث وذلك

تساوي المصغر:

$$\frac{1}{2 \cdot 3} \sum_{i,j=1}^3 \frac{(3x_i x_j - r^2 \delta_{ij})}{r^5} \int_V \rho(\vec{r}') (3x_i x_j - r^2 \delta_{ij}) dv' +$$

$$\frac{1}{2 \cdot 3} \sum_{i,j=1}^3 \frac{(3x_i x_j - r^2 \delta_{ij})}{r^5} \int_V \rho(\vec{r}') r^2 \delta_{ij} dv'$$

$$= \frac{1}{6} \sum_{i,j} \frac{(3x_i x_j - r^2 \delta_{ij})}{r^5} \int_V \rho(\vec{r}') (3x_i x_j - r^2 \delta_{ij}) dv' +$$

$$+ \frac{1}{6} \sum_i \frac{(3x_i^2 - r^2)}{r^5} \int_{V'} \rho(\vec{r}') \vec{r}'^2 dv' = \frac{1}{6} \sum_{ij} \frac{(3x_i x_j - r^2 \delta_{ij})}{r^5} \phi_{ij} \quad (4-5)$$

ون:

$$\frac{1}{6} (\sum_i (3x_i^2 - r^2)) \int_{V'} \frac{\rho(\vec{r}') \vec{r}'^2 dv'}{r^5} = \frac{1}{6} (3r^2 - 3r^2) \frac{\int_{V'} \rho(\vec{r}') \vec{r}'^2 dv'}{r^5} = 0$$

حيث اعتبرنا أن :

$$\phi_{ij} = \int_{V'} \rho(\vec{r}') (3x_i x_j - r'^2 \delta_{ij}) dv' \quad (4-6)$$

وبالنتيجة تصبح علاقة الكمون على الشكل التالي :

$$\phi(\vec{r}) = \frac{1}{4\pi\epsilon_0} \left[ \frac{Q}{r} + \frac{\vec{r} \cdot \vec{p}}{r^3} + \frac{1}{6} \sum_{ij} \left( \frac{3x_i x_j - r^2 \delta_{ij}}{r^5} \right) \phi_{ij} + \dots \right] \quad (4-7)$$

ان الحد الاول من العلاقة (4-7) يوافق التقريب الذي

من أهله اعتبرت الشحنة بأكملها متجمعة في نقطة واحدة ( $\vec{r}' = 0$ )

أي في مركز الامدادثبات، أي بمعنى آخر ان هذا الحد يوافق التعريف

من كامل جولة الشحنات بصفة نقطة موزعة في نقطة الخفض وبدون

في الحد الكمون، ان الحد من الشحنة والوزن والوزن

نقطة موزعة بصفة نقطة موزعة في نقطة الخفض وبدون

أما الحد الثاني من العلاقة (4-7) فهو

$$\frac{\vec{r} \cdot \vec{p}}{r^3} \quad (4-8)$$

يمثل هذه العلاقة كمون ثنائي القطب الذي حيث يتناسب طردياً

مع المقدار  $\frac{1}{r^3}$  من أجل النقاط البعيدة، لذلك يتناقض بشدة أكبر

من تناقض كمون كولون ( $\phi \sim \frac{1}{r}$ ) بدمى المقدار  $\vec{p}$  يعزم ثنائي



القطب ويعرف على الشكل :

$$\vec{p} = \int_V \rho(\vec{r}') \vec{r}' dv' \quad (4-9)$$

الحد الثالث من السلسلة ( 4-7 ) يساوي الى :

$$\varphi_2(\vec{r}) = \frac{1}{4\pi\epsilon_0} \left[ \frac{1}{6} \sum_{i,j} \frac{(3x_i x_j - r^2 \delta_{ij})}{r^5} \phi_{ij} \right] \quad (4-10)$$

يحوي هذا الحد على عزم رباعي الاقطاب  $\phi_{ij}$  والذي يعرف بالعلاقة :

$$\phi_{ij} = \int_V (3x'_i x'_j - r'^2 \delta_{ij}) \rho(\vec{r}') dv' \quad (4-11)$$

والجدير بالذكر أن رباعي القطب  $\phi_{ij}$  ينجم عن الجمل اللامتناظرة كرويا وسوف نحدد فيما بعد كيف يكون هذا العزم مميزا لتوزيع غير كروي .

نستطيع الآن بسهولة حساب الحقل الكهربائي لثنائي القطب

من العلاقة الاساسية بين الحقل والكمون :

$$\vec{E}_1(\vec{r}) = -\overrightarrow{\text{grad}} \varphi_1(\vec{r}) = -\frac{1}{4\pi\epsilon_0} \left\{ (\vec{p} \cdot \vec{r}) \overrightarrow{\text{grad}} \frac{1}{r^3} + \frac{1}{r^3} \overrightarrow{\text{grad}} (\vec{p} \cdot \vec{r}) \right\}$$

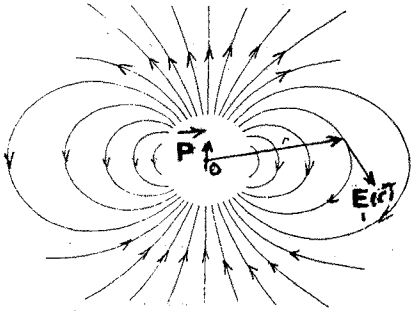
ولكن :

$$\overrightarrow{\text{grad}} (\vec{p} \cdot \vec{r}) = \vec{p} \quad , \quad \overrightarrow{\text{grad}} \left( \frac{1}{r^3} \right) = -3 \frac{1}{r^4} \frac{\vec{r}}{r}$$

والحقل الكهربائي  $\vec{E}_1(\vec{r})$  يصبح على الشكل التالي :

$$\vec{E}_1(\vec{r}) = \frac{1}{4\pi\epsilon_0 r^3} \{ 3(\vec{p} \cdot \vec{e}_r) \vec{e}_r - \vec{p} \} \quad (4-12)$$

حيث  $\vec{e}_r = \frac{\vec{r}}{r}$



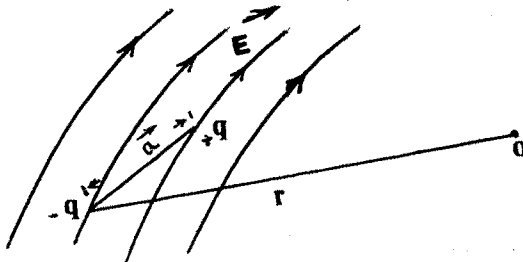
الشكل (2 - 4) يمثل خطوط  
الحقل الكهربائي  $\vec{E}_1(\vec{r})$   
لثنائي القطب الكهربائي.

نلاحظ من العلاقة (12-4) أن الحقل الكهربائي المتشكل من ثنائي القطب يتناسب عكسا مع  $(r^3)$  وهذا يعني أن شدة الحقل الكهربائي الناتج عن ثنائي قطب أصغر من شدة الحقل الكهراكدي  $\vec{E}_0(\vec{r}) \sim \frac{1}{r^2}$  ونلاحظ أيضا أن الحقل  $\vec{E}_1(\vec{r})$  يتعلق بالزاوية التي يمنعها عزم ثنائي القطب  $\vec{p}$  مع الشعاع  $\vec{r}$  ويكون له الشكل التالي  
( الشكل (2 - 4) ) .

#### 2 - 4 - ثنائي القطب في حقل كهراكدي خارجي متجانس :

سوف نعالج في هذه الفقرة التأثير المتبادل بين ثنائي قطب

وحقل كهراكدي خارجي  $\vec{E}(\vec{r})$  ( انظر الشكل (3 - 4) ) :



الشكل (3 - 4) يمثل ثنائي القطب في حقل كهراكدي خارجي  $E(r)$

وسوف نحسب القوة المؤثرة على هذا الثنائي ثم ندرس

عزم الدوران والطاقة .

1 - 2 - 4 - القوة المؤثرة على ثنائي القطب :

نفرض أن الثنائي يملك اتجاهها محددًا ولنحسب القوة المطبقة عليه والتي تساوي إلى مجموع قوى كولون على شحنتي الثنائي  $+q$  و  $-q$  :

$$\vec{F} = q\vec{E}(\vec{r} + \vec{a}) - q\vec{E}(\vec{r}) \quad (4-13)$$

حيث  $\vec{r} \gg a$  .

بنشر المقدار  $\vec{E}(\vec{r} + \vec{a})$  وفق سلسلة تايلور مكتفيين بالحدين الأولين للنشر نجد :

$$\vec{E}(\vec{r} + \vec{a}) = \vec{E}(\vec{r}) + (\vec{a} \text{ grad}) \vec{E}(\vec{r}) \quad (4-14)$$

نعوض هذه العلاقة في (13 - 4) فنجد :

$$\vec{F} = qa \text{ grad } \vec{E}(\vec{r}) = p \text{ grad } \vec{E}(\vec{r}) \quad (4-15)$$

تدل هذه العلاقة على أن الثنائي الموجود في حقل كهربائي منتظم لا يخضع لاية قوة لأن :

$$\vec{\nabla} \cdot \vec{E} = 0$$

2 - 2 - 4 - عزم الدوران المطبق على الثنائي :

يمكن بالمثل إيجاد عزم الدوران المطبق على الثنائي إذا

فنكتب :

$$\vec{M} = q_1 \vec{r}_1 \times \vec{E}(\vec{r}_1) + q_2 \vec{r}_2 \times \vec{E}(\vec{r}_2)$$

$$\vec{M} = q_1 \vec{r}_1 \times \vec{E}(\vec{r}_1) + q_2 \vec{r}_2 \times \vec{E}(\vec{r}_2) \quad (4-16)$$

وبنفس الطريقة نشر  $\vec{E}(\vec{r} + \vec{a})$  ونفس الطريقة نشر

في العلاقة (16) فنجد:

$$\vec{M} = \vec{p} \wedge \vec{E} + \vec{r} \wedge \vec{p} \operatorname{grad} \vec{E} = \vec{p} \wedge \vec{E} + \vec{r} \wedge \vec{F} \quad (4-17)$$

يتكون عزم الدوران المطبق على ثنائي القطب من الحد  $\vec{r} \wedge \vec{E}$  الذي يساوي الصفر عندما يكون  $\vec{E}$  منتظما ولا يبقى سوى الحد الاول الذي يحاول ادارة الثنائي بشكل مواز للمحل  $\vec{E}$  وهذا متوقع لان الوضع هو وضع الطاقة الدنيا ( وضع الاستقرار ) .

3-2-4 - طاقة التأثير المتبادل بين ثنائي القطب وحقل كهربائي

$$\text{خارجي } \vec{E}(\vec{r}) :$$

ان طاقة التأثير المتبادل لشحنة نقطية  $q$  مع حقل كهربائي خارجي  $\vec{E}(\vec{r})$  هي بالتعريف عمل القوة الخارجية الواجب بذلها لنقل الشحنة  $q$  من اللانهاية ( $\phi(\infty) = 0$ ) الى الموضع  $\vec{r}$  وتعطى بالعلاقة التالية :

$$W = q\phi(\vec{r}) \quad (4-18)$$

اما طاقة التأثير المتبادل لشحنتي الثنائي فتعطى بالعلاقة :

$$W_d = q\phi(\vec{r} + \vec{a}) - q\phi(\vec{r}) = q\vec{a} \cdot \operatorname{grad} \phi(\vec{r}) + \dots = -\vec{p} \cdot \vec{E} \quad (4-19)$$

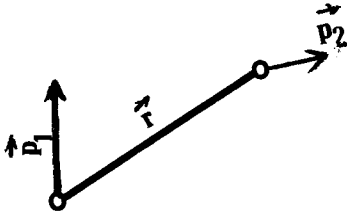
تأخذ  $W_d$  قيمتها الصغرى في وضع التوازن المستقر للثنائي أي عندما  $\vec{p} \uparrow \uparrow \vec{E}$  وتأخذ قيمتها العظمى في وضع التوازن غير المستقر أي عندما يكون  $\vec{p} \uparrow \downarrow \vec{E}$  . يعمل ثنائي القطب الكهربائي الموجود في حقل كهراكدي خارجي الى أخذ وضعية تكون فيها طاقة التأثير

المتبادلة صغرى .

#### 4 - 2 - 4 - طاقة التأثير المتبادل بين ثنائي قطب :

لنأخذ ثنائي قطب  $\vec{p}_1$  و  $\vec{p}_2$  تفصل بينهما مسافة  $\vec{r}$

انظر الشكل (4 - 4) .



استنادا الى العلاقتين

(12 - 4) و (19 - 4) يمكن

استنتاج طاقة التأثير المتبادل

بين الثنائيين المفروضين فحسب

العلاقة (19 - 4) تكون طاقة

تأثير الحقل  $E_1$  ( الناتج عن

ثنائي القطب الاول ) في ثنائي

القطب الثاني هي :

الشكل (4 - 4) الطاقة المتبادلة

بين ثنائي قطب .

$$W_{12} = -\vec{p}_2 \cdot \vec{E}_1(\vec{r}_2)$$

$$= \frac{1}{r^3} [\vec{p}_1 \cdot \vec{p}_2 - 3(\vec{p}_1 \cdot \vec{e}_1)(\vec{p}_2 \cdot \vec{e}_2)] \quad (4-20)$$

نلاحظ أن طاقة التأثير المتبادل بين الثنائيين لاتتعلق فقط بالبعد

$\vec{r}$  وانما تتعلق أيضا بالزاوية بين  $\vec{p}_1$  و  $\vec{p}_2$  وهذا النوع من

القوى يختلف عن القوى المركزية ( قوى كولون ، قوى الجاذبية

التي تتعلق فقط بالبعد  $\vec{r}$  . تكون الجملة مستقرة

اذا كانت طاقتها أصغر ما يمكن وهذا يحدث في حالة توازي  $\vec{p}_1$  و  $\vec{p}_2$

وتكون الجملة في طاقتها الاعظمية وبالتالي في حالة كوانتية غير

مستقرة وذلك في حالة تعامد  $\vec{p}_1$  مع  $\vec{e}$  وتعامد  $\vec{p}_2$  مع  $\vec{e}$  وهذا



3 - 4 - رباعي الاقطاب الكهربائي وخواصه :

وجدنا أن الحد الثالث من العلاقة ( 3 - 4 ) يدعى بعزم " رباعي الاقطاب الكهربائي " وهو عبارة عن جملة مؤلفة من ثنائيين متساويين عزم كل منهما  $\vec{p}$  ويختلفان عن بعضهما بالاتجاه ويمثل عزم رباعي الاقطاب رياضيا بتنسور من المرتبة الثانية :

$$\phi_{ij} = \int_V \rho(\vec{r}') (3x_i'x_j' - \vec{r}'^2 \delta_{ij}) dv'$$

ومركباته الستة تعطى بالشكل التالي :

$$\phi_{11} = \int_V \rho(\vec{r}') (3x_1'^2 - \vec{r}'^2) dv'$$

$$\phi_{22} = \int_V \rho(\vec{r}') (3x_2'^2 - \vec{r}'^2) dv'$$

$$\phi_{33} = \int_V \rho(\vec{r}') (3x_3'^2 - \vec{r}'^2) dv'$$

$$\phi_{12} = \int_V \rho(\vec{r}') (3x_1'x_2') dv' = \phi_{21}$$

$$\phi_{13} = \int_V \rho(\vec{r}') (3x_1'x_3') dv' = \phi_{31}$$

$$\phi_{23} = \int_V \rho(\vec{r}') (3x_2'x_3') dv' = \phi_{32}$$

نلاحظ أن الكميات الستة  $\phi_{11}, \phi_{22}, \phi_{33}, \phi_{12}, \phi_{13}, \phi_{23}$  تتوقف قيمتها فقط على توزيع الشحنات في الجملة وليس على المكان الذي يعين فيه الكمون . ان مركبات  $\phi_{ij}$  التسعة تشكل مصفوفة ( 3 X 3 )

تكون فيها مجموع عناصر القطر الرئيسي تساوي الصفر :

$$\phi_{11} + \phi_{22} + \phi_{33} = \int_V \rho(\vec{r}') [3(\bar{x}_1^2 + \bar{x}_2^2 + \bar{x}_3^2) - 3r'^2] dv' = 0$$

ذكرنا سابقا أن رباعي القطب الكهربائي يعبر عن مدى اختلاف توزيع الشحنات في الجملة عن التناظر الكروي أي لا يظهر حد الرباعي في نشر الكمون الا في حالة توزع الشحنات توزعا غير كروي ولنمــدد الآن كيف يكون عزم الرباعي مميزا لتوزع غير كروي .

إذا كانت الشحنات موزعة توزعا كرويا متناظرا فان :

$$\frac{\bar{r}^2}{3} = \bar{x}^2 = \bar{y}^2 = \bar{z}^2 \implies r^2 = x^2 + y^2 + z^2 = 3z^2$$

وهذا يعني حسب العلاقة ( 11 - 4 ) أن :

$$\phi_{ij} = 0$$

ان النوى التي لها عزم رباعي أقطاب كهربائي معدوم هي

كروية وهذا ما أثبتته التجربة فجملة ذرة الاوكسجين 16

يكون لأعزم رباعي اقطاب معدوم. يمكن أيضا عن طريق رباعي الاقطاب

الكهربائي معرفة شكل النواة ، فقد تبين أن النوى الثقيلة في

الطبيعة توجد على شكلين : اما متطاولة ( كالسيجار ) واما مفلطحة

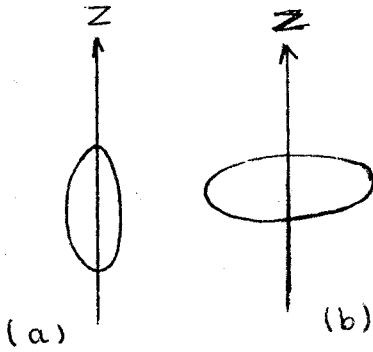
وهذين الشكلين يتعلقان فقط باشارة  $\phi_{ij}$  كونها موجبة أو سالبة ،

فاذا كان  $\phi_{ij} > 0 \implies r^2 < 3z^2$  وتكون النواة ممتدة على المحور z

بشكل سيجار ، شكل ( 4 - 6.a ) أما اذا كانت  $\phi_{ij} < 0 \implies r^2 > 3z^2$

تكون النواة متباعدة عن المحور z ( مفلطحة ) شكل ( 4 - 6 .b )



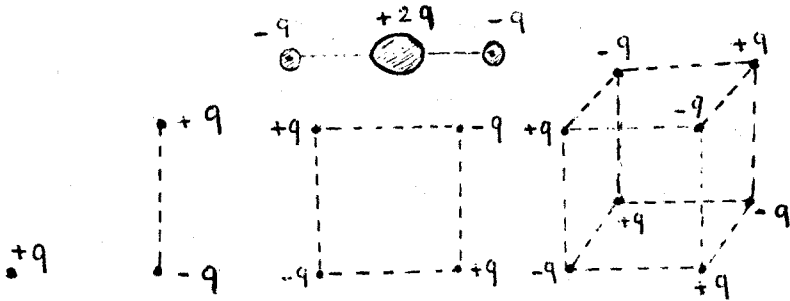


شكل ( 6 - 4 ) تمثيل شكل النواة

في حالة كون  $\phi_{ij}$  موجبة ( a )  
أو سالبة ( b )

ملاحظة :

يمكن أن نتصور نماذج مختلفة لمتعددات الاقطاب الكهربائية  
فأبسط نموذج لاجدي القطب هو شحنة نقطية . أما ثنائي القطب فهو  
جملة مؤلفة من شحنتين متساويتين بالقيمة ومختلفتين بالاشارة وأبسط  
نموذج لرباعي الاقطاب يمثل بأربع شحنات متوضعة على رؤوس متوازي  
الاضلاع على أن تكون هذه الشحنات متساوية بالقيم ومتناوبة بالاشارة  
عند الدوران على رؤوس متوازي الاضلاع وهكذا ، انظر الشكل ( 7 - 4 ) .



الشكل ( 7 - 4 ) متعددات الاقطاب الكهربائي

#### 4 - 4 - العزوم المغناطيسية المتعددة الاقطاب :

تولد التيارات المستقرة  $\vec{J}(\vec{r})$  ( أي المستقلة عن الزمن )  
حقولا مغناطيسية ساكنة ، ولحساب هذه الحقول نقوم بتعيين الكمون  
الشعاعي  $\vec{A}(\vec{r})$  الذي يعطى بالصيغة التالية :

$$\vec{A}(\vec{r}) = \frac{\mu_0}{4\pi} \int_{V'} \frac{\vec{J}(\vec{r}') dv'}{|\vec{r} - \vec{r}'|} \quad (4-21)$$

عندما يكون  $\vec{r} \gg \vec{r}'$  يمكن نشر التابع  $\frac{1}{|\vec{r} - \vec{r}'|}$  وفق سلسلة تايلور :

$$\frac{1}{|\vec{r} - \vec{r}'|} = \frac{1}{|\vec{r}|} - \vec{r}' \cdot \frac{\partial}{\partial \vec{r}} \frac{1}{r} + \frac{1}{2} \vec{r}' \cdot \frac{\partial}{\partial \vec{r}} \vec{r}' \cdot \frac{\partial}{\partial \vec{r}} \frac{1}{r} - \dots$$

لنعوض هذا النشر في العلاقة (4-21) فنجد :

$$\begin{aligned} \vec{A}(\vec{r}) &= \frac{\mu_0}{4\pi} \int_{V'} dv' \vec{J}(\vec{r}') \left\{ \frac{1}{|\vec{r}|} - \vec{r}' \cdot \frac{\partial}{\partial \vec{r}} \frac{1}{r} \right. \\ &\quad \left. + \frac{1}{2} \vec{r}' \cdot \frac{\partial}{\partial \vec{r}} \vec{r}' \cdot \frac{\partial}{\partial \vec{r}} \frac{1}{r} - \dots \right\} \\ &= \vec{A}^0(\vec{r}) + \vec{A}^{(1)}(\vec{r}) + \vec{A}^{(2)}(\vec{r}) + \dots \end{aligned}$$

1 - 4 - 4 - أحادي القطب المغناطيسي :

ان الحد الاول من النشر السابق معدوم ، أي :

$$\vec{A}^0(\vec{r}) = \frac{\mu_0}{4\pi} \frac{1}{|\vec{r}|} \int_{V'} \vec{J}(\vec{r}') dv' = 0$$

لأن :

$$\begin{aligned} \int_{V'} (\vec{r}' \cdot \text{div } \vec{J}) dv' &= 0 = \int_{V'} \text{div}(\vec{r}' \cdot \vec{J}) dv' - \int_{V'} \vec{J} \cdot dv' \\ &= \oint_S (\vec{r}' \cdot \vec{J}) d\vec{s} - \int_{V'} \vec{J} \cdot dv' \end{aligned}$$

حيث حولنا التكامل المجمي الى تكامل سطحي وذلك حسب دعوى غاوس  
1 ستروغرادسكي وعندما يكون السطح المحيط بالحجم  $V'$  لانتهائي فان

التكامل السطحي ينعدم لأن  $\vec{J}$  في اللانهاية تكون معدومة وبالتالي

$$\int_{V'} \vec{J} dv' = 0$$

أي أن الحد :

$$\vec{A}^0(\vec{r}) = \frac{\mu_0}{4\pi} \frac{1}{|\vec{r}|} \int_{V'} \vec{J}(\vec{r}') dv' = 0 \quad (4-22)$$

وكما نلاحظ فإن الكمون المتجه  $\vec{A}^0(\vec{r})$  الناجم عن أحادي قطب مغناطيسي يساوي الصفر وهذا يتفق مع ماذكرناه في الفصل الأول من أن أحادي القطب المغناطيسي غير موجود في الطبيعة .

#### 2 - 4 - 4 - ثنائي القطب المغناطيسي :

لنأخذ الآن بعين الاعتبار الحد الثاني من النشر السابق :

$$\vec{A}^{(1)}(\vec{r}) = \frac{-\mu_0}{4\pi} \int_{V'} dv' \vec{J}(\vec{r}') \vec{r}' \frac{\partial}{\partial \vec{r}} \frac{1}{r}$$

وبما أن :  $\frac{\partial}{\partial \vec{r}} \frac{1}{r} = -\frac{\vec{r}}{r^3}$  فإنه ينتج :

$$\vec{A}^{(1)}(\vec{r}) = \frac{\mu_0}{4\pi} \int_{V'} \vec{J}(\vec{r}') \vec{r}' \frac{\vec{r}}{r^3} dv' \quad (4-23)$$

ان خطوط الحقل هي خطوط مغلقة لأن :  $\vec{\nabla} \cdot \vec{J} = 0$

فاذا كانت هذه الخطوط متجاورة بحيث تشكل انبوب حقل يكون لدينا في هذه الحالة :

$$\vec{J}(\vec{r}') dv' = I d\vec{r}'$$

حيث  $I$  شدة التيار في الانبوب و  $d\vec{r}'$  هو عنصر خطي على طول خط الحقل وبالتالي يكون لدينا من أجل هذا الانبوب :

$$dv' \vec{J}(\vec{r}') \vec{r}' \cdot \vec{r} = I d\vec{r}' \cdot \vec{r}'$$

ونستطيع الآن أن نجزي الطرف الايمن كمايلي :

$$d\vec{r}' \cdot \vec{r}' \cdot \vec{r} = \frac{1}{2} [d\vec{r}' \cdot \vec{r}' \cdot \vec{r} + \vec{r}' \cdot d\vec{r}' \cdot \vec{r}] + \frac{1}{2} [d\vec{r}' \cdot \vec{r}' \cdot \vec{r} - \vec{r}' \cdot d\vec{r}' \cdot \vec{r}]$$

ويمكن كتابة الحد الاول على الشكل التالي:

$$d\left[\frac{\vec{r}' \cdot \vec{r}' \cdot \vec{r}}{2}\right]$$

والتكامل على خط حقل مغلق لهذا التفاضل الكلي يساوي الصفر ؟  
أما الحد الثاني فموجب قاعدة التكامل بالتجزئة يمكن كتابته  
على الشكل التالي :

$$\frac{1}{2} \vec{r} \wedge (d\vec{r}' \wedge \vec{r}) = \frac{1}{2} (\vec{r}' \wedge d\vec{r}') \wedge \vec{r}$$

وبالتالي نحصل على :

$$dv' \vec{J}(\vec{r}') \cdot \vec{r}' \cdot \vec{r} = \frac{1}{2} (\vec{r}' \wedge \vec{J}(\vec{r}')) \wedge \vec{r}$$

وبذلك يكون لدينا :

$$\vec{A}^{(1)}(\vec{r}) = \frac{\mu_0}{4\pi} \int_{V'} dv' \frac{1}{2} (\vec{r}' \wedge \vec{J}) \wedge \vec{r} \frac{1}{r^3}$$

أو :

$$\vec{A}^{(1)}(\vec{r}) = \frac{\mu_0}{4\pi} (\vec{\mu} \wedge \frac{\vec{r}}{r^3}) = -\frac{\mu_0}{4\pi} [\vec{\mu} \wedge (\vec{\nabla} \cdot \frac{1}{|\vec{r}|})] \quad (4-24)$$

حيث  $\vec{\mu}$  يساوي :

$$\vec{\mu} = \int_{V'} dv' \frac{1}{2} [\vec{r}' \wedge \vec{J}(\vec{r}')] \quad (4-25)$$

يدعى  $\vec{\mu}$  عزم ثنائي القطب المغناطيسي و  $\vec{A}^{(1)}(\vec{r})$  الكمون المتجه  
لثنائي القطب المغناطيسي . يمكن هنا بسهولة حساب الحقل المغناطيسي  
المتولد عن ثنائي القطب المغناطيسي حيث ننتقل من العلاقة  
 $\vec{B} = \text{rot } \vec{A}$  ونعوض عن قيمة  $\vec{A}$  من العلاقة : ( 4 - 24 ) فنجد :

$$\begin{aligned}
\vec{B} &= \overrightarrow{\text{rot}} \vec{A} = \overrightarrow{\text{rot}} \left( \vec{\nabla} \frac{1}{|\vec{r}|} \wedge \vec{\mu} \right) \cdot \frac{\mu_0}{4\pi} \\
&= \frac{\mu_0}{4\pi} \left[ (\vec{\mu} \cdot \vec{\nabla}) \vec{\nabla} \frac{1}{|\vec{r}|} - \vec{\mu} \nabla^2 \frac{1}{|\vec{r}|} \right] \\
&= -\frac{\mu_0}{4\pi} (\vec{\mu} \cdot \vec{\nabla}) \frac{\vec{r}}{r^3} = -\left\{ \frac{\vec{\mu}}{r^3} - \frac{3\vec{r}}{r^4} (\vec{\mu} \cdot \vec{\nabla} r) \right\} \frac{\mu_0}{4\pi} \\
&= \frac{\mu_0}{4\pi} \left( -\frac{\vec{\mu}}{r^3} + \frac{3(\vec{\mu} \cdot \vec{r}) \vec{r}}{r^5} \right) \quad (4-26)
\end{aligned}$$

ملاحظة (1):

يمكن الاستمرار في المحاكمة نفسها واستنتاج علاقة رباعية الاقطاب المغناطيسي والكمون  $\vec{A}^{(2)}$  ( $\vec{r}$ ) نترك هذه المحاكمة جانبا لعدم أهمية رباعي القطب المغناطيسي .

ملاحظة (2):

ان الجسيمات الاساسية التي لها سبين تملك ثنائي قطب مغناطيسي أو اختصارا نقول عزم مغناطيسي  $\vec{\mu}$  مرتبط مع سبين هذه الجسيمات . فالالكترون مثلا يملك سبين مقداره  $\frac{1}{2} \hbar$  يرتبط بعزم مغناطيسي  $\vec{\mu}$  وفقا للعلاقة التالية:

$$\vec{\mu}_e = g \hbar \vec{s} = \frac{e \hbar}{m_e} \vec{s}$$

وبما أن لسبين الالكترون احدى القيمتين  $+\frac{1}{2}$  أو  $-\frac{1}{2}$  فانه يكون:

$$\vec{\mu}_e = \frac{e \hbar}{2 m_e} = -\mu_{13} \quad \text{عندما} \quad s = +\frac{1}{2}$$

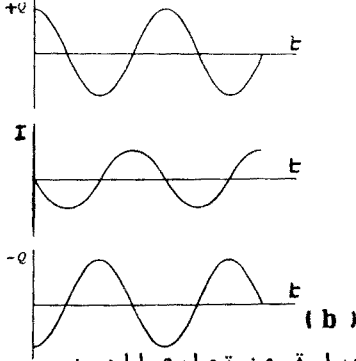
$$\vec{\mu}_e = \frac{-e\hbar}{2m_e} = \vec{\mu}_{13} \quad \text{عندما } s = -\frac{1}{2}$$

$$\text{حيث يدعى المقدار } \vec{\mu}_B = \frac{e\hbar}{2m_e} \text{ بمغنتون بور.}$$

ان السبين والعزم المغناطيسي للالكترون قد تم قياسهما تجريبيا . وبنفس الطريقة نبين أنه لجميع الجسيمات التي تملك سبين يكون لها عزم مغناطيسي  $\vec{\mu}$  ومن ثم يمكن تعميم هذا على النواة أيضا فكل نواة لها سبين غير معدوم تملك عزمًا مغناطيسيًا  $\vec{\mu}$  .

#### 5 - 4 - الكمون المتأخر المتولد عن ثنائي قطب كهربائي مهتز:

لنتصور لدينا ثنائي قطب كهربائي عبارة عن تابع جيبي



للزمن كما هو موضح في الشكل ( 8 - 4 ) .

شكل ( 8 - 4 ) ( a ) تمثّل ثنائي قطب كهربائي مهتز. الشحنة الكلية معدومة أما الشعاع  $\vec{a}$  متجهه

من  $-q$  الى  $+q$  . ( b ) الشحنات و التيار عبارة عن توابع للزمن .

يمكن كتابة الشحنة على الشكل:

$$q = q_0 e^{i\omega t} \quad (4-27)$$

وكتابة عزم ثنائي القطب على الشكل :

$$\vec{p} = q_0 e^{i\omega t} \cdot \vec{a} = \vec{p}_0 e^{i\omega t} \quad (4-28)$$

حيث  $\vec{p}_0 = q_0 \cdot \vec{a}$  هو العزم في اللحظة  $t = 0$  .

لنتصور الآن أنه يوجد لدينا زوج من الكرات تمثل الأولى شحنة موجبة والثانية شحنة سالبة وموصلتين فيما بينهما بواسطة سلك رفيع جدا ذو مقاومة مهملة. ان التيار  $I$  الذي يجري ضمن السلك يسعطى بالعلاقة التالية :

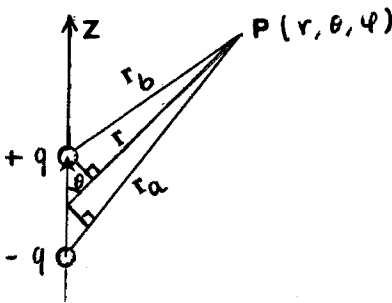
$$I = \frac{dq}{dt} = i\omega q_0 e^{i\omega t} = I_0 e^{i\omega t} \quad (4-29)$$

حيث :

$$I_0 = i\omega q_0 \quad (4-30)$$

ان الكمون الناتج عن ثنائي القطب المهتز في اللحظة  $t$  في نقطة من الفراغ  $(r, \theta, \varphi)$  تبعد عن الشحنة  $(+q)$  بالمسافة  $r_b$  وعن الشحنة  $-q$  بالمسافة  $r_a$ ، الشكل (9 - 4) يساوي :

$$\varphi = \frac{1}{4\pi\epsilon_0} \left[ \frac{q_0 \exp i\omega(t - \frac{r_b}{c})}{r_b} - \frac{q_0 \exp i\omega(t - \frac{r_a}{c})}{r_a} \right] \quad (4-31)$$



الشكل (9 - 4) ثنائي القطب

الكهربائي مع النقطة  $p$  التي

تدرس عندها الكمون السلمي  $\varphi$ .

وكما نلاحظ أن الشحنتين

$+q$  و  $-q$  تولدان كمونين مختلفين بالقيمة والطور، مختلف بالقيمة

بسبب وجود  $r_0$  في مخرج علاقة الكمون المتولد عن  $-q$  ووجود  $r_b$

في مخرج علاقة الكمون المتولد عن  $+q$  :  $r_a \neq r_b$ . هذا من جهة

ومن جهة أخرى يأتي الاختلاف في الطور من اختلاف الحدين  $\frac{r_a}{c}$  و

في التابعين الاسيين، العلاقة (31-4) .

عندما يكون  $r \gg a$  فان :

$$r_a \approx r + \frac{a}{2} \cos \theta \quad (4-32)$$

$$r_b \approx r - \frac{a}{2} \cos \theta \quad (4-33)$$

$$\begin{aligned} \omega(t - \frac{r_b}{c}) &\approx \omega(t - \frac{r}{c} + \frac{a \cos \theta}{2c}) \\ &\approx (t - \frac{r}{c}) + \frac{a}{2\lambda} \cos \theta \end{aligned} \quad (4-34)$$

$$\lambda = \frac{\lambda}{2\pi} \quad \text{حيث :}$$

وإذا أخذنا بعين الاعتبار التقريب السابق فان علاقة الكمون تصبح  
على الشكل :

$$\varphi \approx \frac{q_0}{4\pi\epsilon_0} \frac{\exp i\omega(t - \frac{r}{c})}{r} \left[ \frac{\exp(i\frac{a}{2\lambda} \cos \theta)}{1 - \frac{a}{2r} \cos \theta} - \frac{\exp(-i\frac{a}{2\lambda} \cos \theta)}{1 + \frac{a}{2r} \cos \theta} \right] \quad (4-35)$$

وإذا نشرنا الحدود الموجودة بين القوسين المتوسطين على شكل سلسلة  
واكتفينا بالحدود حتى المرتبة الثانية لـ  $\frac{a}{r}$  و  $\frac{a}{\lambda}$  فان العلاقة  
(4-35) تصبح على الشكل :

$$\varphi = \frac{1}{4\pi\epsilon_0} \frac{p_0 \exp i\omega(t - \frac{r}{c})}{r\lambda} \left( -\frac{\lambda}{r} + i \right) \cos \theta \quad (4-36)$$

حيث بدلنا قيمة  $q_0 a \rightarrow p_0$  وافترضنا أيضا أن المقدار  $a$  صغير  
جدا بالنسبة لـ  $r$  و  $\lambda$  أي  $a \ll r$  و  $a \ll \lambda$ .

يمكن الحصول على العلاقة (8 - 4) التي تعطي الكمون السلمي

المتولد عن ثنائي قطب ساكن إذا وضعنا  $\omega = 0$  وهو  $\lambda \rightarrow \infty$  فنجد أن:

$$\varphi = \frac{aq}{4\pi\epsilon_0 r^2} \cos \theta \quad (4-37)$$



وهي نفس معادلة الكمون التي حصلنا عليها سابقا مع ملاحظة أن  $\frac{\vec{r}}{r}$

يمثل متجهة الواحدة على  $r$  و  $\theta$  هي الزاوية بين  $\vec{r}$  و  $\vec{p}$  .

4 - 6 - الكمون المتجه الناجم عن ثنائي قطب مغناطيسي مهتز :

يمثل الشكل (10 - 4) ثنائي قطب مغناطيسي مغذى بواسطة

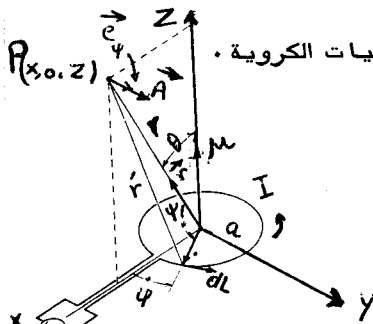
تيار متناوب من الشكل :

$$I = I_0 \exp i\omega t$$

يعطى للكمون المتجه الناتج عن ثنائي القطب المغناطيسي

بالعلاقة :

$$\vec{A} = \frac{\mu_0}{4\pi} \int_0^{2\pi} \frac{I_0 \exp i\omega(t - \frac{r'}{c})}{r'} a \cos \varphi d\varphi \vec{e}_\varphi \quad (4-38)$$



$\vec{e}_\varphi$  متجهة الواحدة السمتية في الاهدائيات الكروية .

ان  $\vec{A}$  عبارة عن مجموع

$d\vec{A}$  ناتج عن عناصر التيار

$I d\vec{l}$  للحلقة، وكل عنصر

يتأخر بالمقدار  $r'/c$  عن العنصر

المقابل له وبالتالي يمكن

اعادة صياغة علاقة الكمون بالشكل

التالي :

$$\vec{A} = \frac{\mu_0}{4\pi} a I_0 \exp i\omega(t - \frac{r}{c}) \int_0^{2\pi} \frac{\exp i(\frac{r-r'}{c})}{r'} \cos \varphi d\varphi \vec{e}_\varphi \quad (4-39)$$

إذا كانت دائرة التيار صغيرة أمام  $\lambda$  فان:  $|r - r'| \ll \lambda$  فانه يكون :

$$\exp i\left(\frac{r - r'}{\lambda}\right) \approx 1 + i \frac{r - r'}{\lambda} \quad (4-40)$$

وعلاقة الكومون المتجه تصبح على الشكل :

$$\vec{A} = \frac{\mu_0 a I_0 \exp i\omega\left(t - \frac{r}{c}\right)}{4\pi r} \int_0^{2\pi} \left[ \frac{r}{r'} + i \frac{r}{\lambda} \left(\frac{r}{r'} - 1\right) \right] \cos\psi d\psi \vec{e}_\phi \quad (4-41)$$

وعندما تكون  $a \ll r$  يمكن أن نكتب  $\frac{r}{r'}$  على الشكل :

$$\frac{r}{r'} \approx 1 - \frac{a^2}{2r^2} + \frac{ax}{r^2} \cos\phi \quad (4-42)$$

باجراء التكامل بوضع  $r \sin\theta = x$  نحصل على :

$$\vec{A} = \frac{\mu_0}{4\pi} \frac{I_0 \pi a^2 \exp i\omega\left(t - \frac{r}{c}\right)}{r\lambda} \left(\frac{\lambda}{r} + i\right) \sin\theta \vec{e}_\phi \quad (4-43)$$

وبفرض أن  $\mu_0 = \pi a^2 I_0 = s I_0$  يكون :

$$\vec{A} = \frac{\mu_0}{4\pi} \frac{\mu_0 \exp i\omega\left(t - \frac{r}{c}\right)}{r\lambda} \left(-\frac{\lambda}{r} + i\right) \sin\theta \vec{e}_\phi \quad (4-44)$$

$$= \frac{\mu_0}{4\pi} \frac{\vec{\mu}_0 \wedge \vec{r}_1}{r\lambda} \left(\frac{\lambda}{r} + i\right) \exp i\omega\left(t - \frac{r}{c}\right) \quad (4-45)$$

حيث يمثل المقدار  $\vec{\mu}_0$  العزم المغناطيسي لحلقة التيار.

عند انعدام التردد :  $\omega = 0 \iff \lambda \rightarrow \infty$  وستأخذ علاقة

الكومون المتجه الشكل:

$$\vec{A} = \frac{\mu_0}{4\pi} \frac{\vec{\mu} \wedge \vec{r}_1}{r^2} \quad (4-46)$$

وهي نفس العلاقة التي مرت معنا سابقا.

الذرية والنوية :

تكمّن التطبيقات العامة لمتعددات الاقطاب الكهربائيــــــــــــة  
والمغناطيسية في استخدام هذه المتعددات في الفيزياء الذرية  
والنوية لتفسير ودراسة خواص الطيوف الذرية والنوية ( أشعة غاما )  
الاصدار والامتصاص الذي يحدث للجمل الذرية وكذلك في حالة تحلل  
النوى أو في حالة التخلص من طاقة الاثارة . ان اصدار النوى لاشعة  
غاما يستند الى تشكل متعددات الاقطاب الكهربائية والمغناطيسية على  
حد سواء في العُمامة الالكترونية للذرة أو داخل النوى وبالتالي  
لكي تعود الجملة الى وضعها المتوازن والمستقر ( عدم التوازن والاستقرار  
نتاجان عن تشكل متعددات الاقطاب ) يجب أن نتخلص من هذه المتعددات  
باصدار اشعاعات كهربطيسية مرئية وفوق بنفسجية في حالة الجمل  
الذرية واشعاعات كهربطيسية من نوع أشعة غاما في حال الجمل النوية .  
من أهم أشكال هذه الاشعاعات ، الاشعاع ثنائي القطب  
الكهربائي المرتبط بتغير عزم ثنائي القطب الكهربائي للجملــــــــــــــــة  
والمعطى بالعلاقة :

$$\vec{p} = \sum_i e_i \vec{r}_i \quad (4-47)$$

حيث  $e_i$  هي القيمة المطلقة لشحنة الالكترون،  $\vec{r}_i$  يمثل نصف القطر  
الشعاعي للالكترون (  $i$  ) بالنسبة لجملة المقارنة الساكنة . لنفرض أن  
هذا الالكترون أبعد عن وضع توازنه فسيقوم بحركة اهتزازية هارمونية  
والانزياح الخطي يتعين بالعلاقة :

$$a = a_o \cos(\omega t + \varphi) \quad (4-48)$$

حيث  $\varphi$  هي الطور البدئي .

أما عزم ثنائي الاقطاب الكهربائي  $p$  لهذه الجملة فيتعين

بالعلاقة :

$$p = ea = ea_0 \cos(\omega t + \varphi) = p_0 \cos(\omega t + \varphi) \quad (4-49)$$

ان الاهتزازات الهارمونية للالكترونون بين السويتين الطاقيتين  $E_i$  و

$E_k$  تتوافق باشعاع كهربي عباره عن فوتونات يتحدد تواترها

بالعلاقة :

$$v_{ik} = (E_i - E_k) / h \quad (4-50)$$

وباستطاعة متوسطة  $\bar{w}$  تعطى بالعلاقة :

$$w = \frac{2}{3c^3} \left| \frac{d^2 p}{dt^2} \right|^2 = \frac{2\omega^4}{3c^3} |p_0|^2 \cos^2(\omega t + \varphi) \quad (4-51)$$

ولما كانت القيمة المتوسطة لمربع جيب التمام تساوي  $\frac{1}{2}$  فان العلاقة

السابقة ستأخذ الشكل :

$$\bar{w} = \frac{\omega^4}{3c^3} p_0^2 \quad (4-52)$$

وهكذا نجد من العلاقة (4-52) أن الاستطاعة المتوسطة التي تشعها

الجملة المهتزة تتناسب طردا مع مربع سعة عزم ثنائي القطب الكهربائي

$p_0 = \pm ea$  وبالتالي فهي تتناسب طردا مع مربع سعة الاهتزاز  $a$  .

ان هذه العلاقة الخاصة باشعاع ثنائي القطب الكهربائي لا يصح

استخدامها الا في ظروف تحقق الشرط :

$$\lambda \gg a \quad (4-53)$$

هذا الشرط محقق بالنسبة للانتقالات ذات الترددات الواقعة في المجال

المرئي وفوق البنفسجي التي تقوم بها الذرات ، حيث تكون  $(\lambda)$  من

مرتبة  $10^{-5}$  cm بينما تكون سعة الالكترونة المهتر من مرتبة  $10^{-8}$  cm . أما في الحالات التي لا يتحقق فيها الشرط (53 - 4) فاننا نحصل الى جانب اشعاع ثنائي القطب الكهربائي على اشعاع ثنائي القطب المغناطيسي واشعاع رباعي القطب الكهربائي ، وبالرغم من كون هذين الاشعاعين الاخيرين اضعف بكثير من اشعاع القطب الكهربائي الا انهما يلعبان دورا مهما في الفيزياء النووية .

ملاحظة :

لقد ثبت تجريبيا ان اشعاع ثنائي القطب الكهربائي يمر بوجود في طيف النوى ، وذلك لكون مركز الشحنة (البروتونات) منطبعا على مركز ثقل البروتونات والنترونات (مركز ثقل النواة) أي ان البروتونات والنترونات تنزاح بشكل منتظم في النواة . ان اشعاع ثنائي القطب المغناطيسي يحدث من جراء تغير عزم ثنائي القطب  $\vec{p}$  للجملة مع الزمن والاستطاعة المشعة تعطى بعلاقة مشابهة للعلاقة (52 - 4) وذلك باستبدال  $\vec{p}$  ب  $\vec{m}$  .

أما اشعاع رباعي القطب الكهربائي فيحدث من جراء تغير عزم رباعي القطب  $\phi_{ij}$  للجملة مع الزمن وهذا الاشعاع اضعف بكثير من اشعاع ثنائي القطب الكهربائي .

وأخيرا نذكر بأن بعض النوى تملك عزم رباعي اقطاب كهربائي حيث أن قيمته وشارته تعكس طبيعة القوى بين البروتونات والنترونات كما أنها تعكس شكل النواة نفسها .

تمهيد :

في الفصل الثاني ، تم دراسة الحقل الكهربيسي بشكل عام وأوجدنا معادلات الحقل وانتشاره في الخلاء وفي وسط ما وذلك لتميزه عن الخلاء .

في هذا الفصل ، سوف ندرس الحقل الكهربيسي في المادة أو مايسمى بالوسط المادي ، وتسمى النظرية التي تصف الحوادث الكهربيسية في المادة بالالكتروديناميك ( التمريك الكهربائي ) .

ان دراسة الحقل الكهربيسي في المادة هي أقل سهولة من دراسته في الخلاء وذلك بسبب علاقة الحقل ببنية المادة ، وسنرى أن طبيعة الظواهر الكهربيسية تتعلق بخواص المادة ( الوسط المادي ) .

المادة كما هو معروف هو اسم عام ، يطلق على كل الاجسام التي تملك كتلة خاصة بها ، هذه الكتلة مؤلفة من مجموعة كبيرة من الجزيئات ، والجزيئات مؤلفة من ذرات ( نوى والكترونات ) أي مؤلفه من شحنات صغيرة جدا تتحرك بسرعة كبيرة وبطريقة عشوائية . عند دراسة الحقل الكهربيسي في منطقة صغيرة من جسم ما ذات أبعاد ذرية تكون الكميات الكهربيسية المدروسة ( حقل ، كثافة شحنة ... ) متغيرة تغيرا سريعا مع الزمن وبالتالي تأخذ هذه الكميات قيم مختلفة حتى في منطقتين متجاورتين وفي نفس اللحظة الزمنية .

لذلك عند دراسة الحقل الكهربيسي في وسط مشحون ، نجد أن

هذا الحقل يتبع لمكان توضع الشحنات والزمن .

بما أن الكميات الكهرطيسية تكون متغيرة نتيجة الحركة المتغيرة فان تابعة الحقل ( للمكان والزمان ) تكون متغيرة تغيرا سريعا ، ويكون في هذه الحالة الحقل غير متجانس في المنطقـة الصغيرة ذات الابعاد الذرية .

عند دراسة الحقل الكهرطيسي في الاجسام ككل ، يهمننا معرفة ماينتج ، لذلك نستعمل مفهوم القيمة الوسطية لعدد كبير من الذرات ، كما هو الحال في الميكانيك حيث نحسب القيمة الوسطية للكثافة عندما نأخذ مجما ما من الجسم الذي يحوي عددا كبيرا من الذرات ومن ثم نقسم كتلة هذا الحجم على الحجم نفسه .

عند استعمال القيم الوسطية للمقادير المدروسة يجب أن تكون ابعاد الجسم المدروس كبيرة نسبيا بالمقارنة مع الابعاد الذرية ، لكي لاتؤثر البنية الذرية للمادة ( الجسم ) على القيمة الوسطية للحجم المعتبر .

لكي نتعين القيمة الوسطية بشكل دقيق يجب الاخذ بعين الاعتبار أيضا القيمة الوسطية للزمن ، لهذا يجب أن تكون الفترة الزمنية التي توجد فيها القيمة الوسطية كبيرة مقارنة مع أزمنة الحركة الذرية .

ان معادلات ماكسويل في الخلاء تحتوي على مقادير تتعلق بالموضع في لحظة معينة ، هذه المقادير تكون غير صحيحة في المادة المولفة من ذرات وجزيئات ، لانه عند دراسة الحقل الكهرطيسي في المادة

سوف تنتج ظواهر كهربية جديدة لان المقادير التي تميز هذا الحقل تتغير من نقطة الى أخرى في المادة بينما تكون واحدة في الفراغ فمثلا قيمة الحقل الكهربائي داخل الذرة تكون كبيرة وتتناقص بسرعة في خارج هذه الذرة .

بهذا المفهوم ، تهتم عادة بالقيمة الوسطية للمقادير التي تحدد الحقل الكهربي ، وسوف نأخذ القيمة الوسطية للمقادير في معادلات ماكسويل في حجم لامتناهي في الصغر فيزيائيا  $V_0$  خلال فترة زمنية  $\tau$  .

وبذلك فالقيمة الوسطية لكمية كهربية  $f$  تعطى بالعلاقة :

$$\bar{f} = \frac{1}{2\tau} \int_{-\tau}^{\tau} \frac{1}{V_0} \int_{V_0} f dV \cdot dt$$

ويمكن المفاضلة بالنسبة للامدائيات والزمن فمثلا :

$$\frac{\partial}{\partial x} \bar{f}(x, y, z, t) = \frac{\partial f}{\partial x} , \quad \frac{\partial \bar{f}}{\partial t} = \frac{\partial f}{\partial t}$$

أي أن مشتق القيمة الوسطية لكمية كهربية يساوي القيمة الوسطية لمشتق الكمية نفسها .

#### 9-4 - معادلات ماكسويل بالقيم الوسطية :

اذن يجب كتابة معادلات ماكسويل بالقيم الوسطية ، قبيل

ذلك سنرمز لـ  $\vec{E}$  بـ  $\vec{E}$  و  $\vec{B}$  بـ  $\vec{B}$  فتصبح معادلات ماكسويل (4-24)

على الشكل التالي :



$$\vec{\nabla} \wedge \vec{e} = - \frac{\partial \vec{b}}{\partial t}$$

$$\vec{\nabla} \cdot \vec{b} = 0$$

(4-54)

$$\vec{\nabla} \wedge \vec{b} = \mu_0 (\vec{j} + \epsilon_0 \frac{\partial \vec{e}}{\partial t})$$

$$\vec{\nabla} \cdot \vec{e} = \frac{\rho}{\epsilon_0}$$

هذه المعادلات التي تصف الحقل الكهرومغناطيسي في الفراغ ، لا تنطبق في المادة إذ أنه تحت تأثير الحقل الكهرومغناطيسي على المادة يحدث توزيع جديد للشحنات والتيارات ، لذلك يمكن كتابة معادلات ماكسويل السابقة بالقيم الوسطية أي أن :

$$\vec{\nabla} \wedge \vec{\bar{e}} = - \frac{\partial \vec{\bar{b}}}{\partial t}$$

$$\vec{\nabla} \cdot \vec{\bar{b}} = 0$$

(4-55)

$$\vec{\nabla} \wedge \vec{\bar{b}} = \mu_0 (\rho \vec{v} + \epsilon_0 \frac{\partial \vec{\bar{e}}}{\partial t})$$

$$\vec{\nabla} \cdot \vec{\bar{e}} = \frac{\bar{\rho}}{\epsilon_0}$$

حيث من ( 19 - 2 )  $\vec{j} = \rho \vec{v}$  .

فاذا فرضنا من جديد أن  $\vec{E} = \vec{\bar{e}}$  و  $\vec{B} = \vec{\bar{b}}$  حيث  $\vec{E}$

القيمة الوسطية لشعاع الحقل الكهربائي في المادة و  $\vec{B}$  القيمة الوسطية لشعاع التمريض المغناطيسي في المادة في هذه الحالة

تأخذ مجموعة المعادلات ( 2 - 4 ) الشكل التالي :

$$\left. \begin{aligned}
 \nabla \wedge \vec{E} &= - \frac{\partial \vec{B}}{\partial t} \\
 \nabla \cdot \vec{B} &= 0 \\
 \nabla \wedge \vec{B} &= \mu_0 (\rho \vec{v} + \epsilon_0 \frac{\partial \vec{E}}{\partial t}) \\
 \nabla \cdot \vec{E} &= \frac{\bar{\rho}}{\epsilon_0}
 \end{aligned} \right\} (4-56)$$

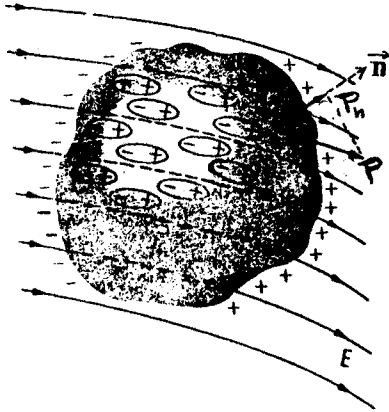
ويرتبط هذا التحويل في المعادلات بايجاد القيم الوسطية  $\bar{\rho}$  و  $\bar{\rho \vec{v}}$  وليذي يتطلب بعض الفرضيات حول بنية المادة ومن ثم ايجاد اتجاه معين لدراسة خواصها ، وتصنيفها الى عوازل ونواقل من حيث ناقليتها الكهربائية بعد أن يطبق حقل كهربائي ، وتحديد نوعية المادة بعد أن يطبق عليها حقل مغناطيسي . لذلك سنطبق على وسط مادي ، حقل كهربائي وحقل مغناطيسي وسوف نرى ما يحدث .

#### 10-4 - الاستقطاب الكهربائي لوسط مادي :

عندما نطبق حقل كهربائي خارجي على جسم معتدل كهربائيا ( عازل مثلا ) فإنه يحدث توجيه للشحنات الموجبة والسالبة في ذرات وجزيئات الجسم المعتدل كهربائيا ، ويبقى الجسم معتدلا كما في الشكل ( 11 - 4 ) ، ولكن تتكثف ثنائيات أقطاب في الجسم المعتدل وتحت تأثير الحقل الكهربائي تنزاح الشحنات عن وضع توازنها وتشكل عددا كبيرا من ثنائيات الاقطاب العنصرية ، هذه العملية تدعى بالاستقطاب . يتميز الجسم بعزم ثنائيات الاقطاب الناتجة عن الشحنات الموجودة في واحدة الحجم ويرمز له ب  $\vec{P}$

ونسميه شعاع الاستقطاب الكهربائي للوسط ( الجسم ) وبذلك يكون  
عزم ثنائيات الاقطاب الموجودة في الجسم تساوي :

$$\vec{P} = \int_V \vec{P} \cdot dV \quad (4-57)$$



الشكل ( 11 - 4 )

بشكل عام ، يتناسب شعاع  
الاستقطاب  $\vec{P}$  طردا مع الحقل  
الكهربائي المطبق  $\vec{E}$  . عند  
تطبيق حقل كهربائي فان الشحنات  
المرتبطة في الجسم المعتدل تنزاح  
عن وضع توازنها وتتشكل ثنائيات  
أقطاب في الجسم المعتدل كهربائيا  
بحيث :

$$\vec{P} = \sum_i q_i \vec{r}_i$$

وفي حالة التوزع المستمر للشحن يكون :

$$q = \int_V \rho_p dV \quad (4-58)$$

حيث  $\rho_p$  الكثافة الوسطية للشحنات المستقطبة ( الشحنات المرتبطة ) وعزم

ثنائي القطب يكتب على الشكل :

$$\vec{P} = \int_V \rho_p \vec{r} \cdot dV \quad (4-59)$$

بمقارنة ( 59 ) مع ( 57 ) نجد :

$$\vec{P} = \int_V \rho_p \vec{r} \cdot dV = \int_V \vec{P} \cdot dV \quad (4-60)$$

اذن  $\vec{P}$  يكتب بدلالة مقدارين :  $\rho_p$  للشحنات المرتبطة و  $\vec{P}$  شعاع  
الاستقطاب . لنرى ماهي العلاقة بين هذين المقدارين بحيث يبقى

تأثير الحقل الكهربائي الخارجي محتفظا بمعناه السابق .

### 1-10-4 - العلاقة بين $\rho_p$ و $\vec{P}$ :

يمكن كتابة التكامل ( 57 ) على الشكل التالي :

$$\int_V \vec{P} \cdot d\vec{v} = - \int_V \vec{r} \operatorname{div} \vec{P} \cdot d\vec{v} \quad (4.61)$$

حيث يمكن البرهان على هذه العلاقة في التكاملات المحددة اذا كتبت بدلالة مركبات احداثية ، فمثلا يكتب الطرف الايمن من ( 61 ) على

$$\begin{aligned} \int_V x \left[ \left( \frac{\partial P_x}{\partial x} + \frac{\partial P_y}{\partial y} + \frac{\partial P_z}{\partial z} \right) dx dy dz \right] &= \int_s x P_x \Big|_{x_1}^{x_2} dy dz \\ &+ \int_s x P_y \Big|_{y_1}^{y_2} dx dz + \int_s x P_z \Big|_{z_1}^{z_2} dx dy - \int_V P_x dx dy dz \end{aligned} \quad (4-62)$$

ويمكن اختيار سطح التكامل المحدد خارج الحجم الذي يشغله الجسم فيكون الاستقطاب خارج الجسم معدوم أي  $\vec{P} = 0$  وبالتالي فإن المركبات  $P_x$  و  $P_y$  و  $P_z$  معدومة خارج الجسم ، اذن يبقى من التكاملات ( 62 ) التكامل :

$$\int_V x \operatorname{div} \vec{P} \cdot d\vec{v} = - \int_V P_x d\vec{v}$$

وبالمثل يكون لدينا :

$$\int_V y \operatorname{div} \vec{P} \cdot d\vec{v} = - \int_V P_y d\vec{v}$$

$$\int_V z \operatorname{div} \vec{P} \cdot d\vec{v} = - \int_V P_z d\vec{v}$$

وبشكل عام تكتب :

$$\int_V \vec{r} \operatorname{div} \vec{P} \cdot d\vec{v} = - \int_V \vec{P} \cdot d\vec{v}$$

وهي نفس العلاقة ( 61 ) .

بتعويض ( 61 ) في ( 60 ) نجد أن :

$$\int_V \vec{r} (\text{div } \vec{P} + \rho_p) dV = 0$$

بما أن شكل الجسم وأبعاده كيفية فانه لا يمكن أن يكون  $\vec{r}$  و  $dV$  معدومين ومنه :

$$\text{div } \vec{P} + \rho_p = 0$$

أو :

$$\text{div } \vec{P} = -\rho_p \quad (4-63)$$

حيث  $\rho_p$  الكثافة الوسطية للشحنات المرتبطة أي  $\bar{\rho}_p$  في المادة .

نستنتج من العلاقة السابقة أن الاستقطاب يبدو وكأنه ظاهرة

حجمية فاذا كان الاستقطاب غير متجانس وكان شعاع الاستقطاب متغيرا

من نقطة لآخرى فانه يتشكل في الجسم شحنات حجمية كثافتها  $\rho_p$

ويتشكل أيضا على السطح الخارجي  $s$  للجسم شحنات تتجمع بكثافة

$$\sigma_p = \vec{P}_n$$

ملاحظة ( 1 ) :

في الجسم المستقطب نكتب بشكل عام :

$$\sigma_T = \sigma_f + \sigma_p = \sigma_f + P_n \quad (4-64)$$

وأن :

$$\rho_T = \rho_f + \rho_p = \rho_f - \text{div } \vec{P} \quad (4-65)$$

حيث تمثل  $\sigma_f$  ،  $\rho_f$  الشحنات السطحية الحرة والحجمية الحرة في الجسم .

على الترتيب .

وتمثل  $\sigma_T$  ،  $\rho_T$  الشحنات السطحية الوسطية الكلية على الجسم والحجمية

الوسطية الكلية في الجسم

11-4 - الاستقطاب المغناطيسي ( التمغنت ) :

ان مفهوم الاستقطاب المغناطيسي هو عبارة عن دراسة استقطاب وسط مادي تحت تأثير حقل مغناطيسي خارجي .

لدراسة الاستقطاب المغناطيسي لابد من فهم ثنائي القطب المغناطيسي والعزم المغناطيسي كما هو الحال في ثنائي القطب الكهربائي وعزمه . نذكر بأن ثنائي القطب المغناطيسي هو عبارة عن مجموعة مؤلفة من شحنتين مغناطيسيتين ( وهميتين ) نقطيتين متساويتين وبشارتين مختلفتين البعد بينهما  $r$  .

نستنتج من ذلك ، أنه عندما نطبق حقل مغناطيسي خارجي على مادة فانها تصبح على شكل مغناط صغيرة ( ثنائيات قطب مغناطيسية

للقيمة الوسطية لعزوم هذه المغناط تعطى بالعلاقة :

$$\vec{\mu} = \sum_i q_i \frac{\vec{r}_i \wedge \vec{v}_i}{2} \quad (4-66)$$

ويكتب العزم المغناطيسي  $\mu$  لجملة تيارات كثافتها  $\vec{j}$  وموجودة في حجم  $dV$  كما يلي :

$$\vec{\mu} = \frac{1}{2} \int_V (\vec{r} \wedge \vec{j}) dV \quad (4-67)$$

كما وجدنا الكثافة الوسطية للشحنات المرتبطة ( المتحرزة ) في حالة الاستقطاب الكهربائي فاننا نستطيع ايجاد الكثافة الوسطية للتيار الناتج عن الشحنات المرتبطة ( التيار المتحرض ) في المادة . نعرف شعاع الاستقطاب المغناطيسي ( التمغنت )  $\vec{M}$  بأنه العزم المغناطيسي في واحدة الحجم أي :

$$\vec{\mu} = \int_V \vec{M} \cdot dV \quad (4-68)$$

وهي علاقة مشابهة للعلاقة ( 57 ) .

لنبرهن الآن على وجود مطابقة شبيهة بالمطابقة ( 61 - 4 )

وتكون على الشكل التالي :

$$\vec{\mu} = \int_V \vec{M} \cdot dV = \frac{1}{2} \int_V (\vec{r} \wedge \overrightarrow{\text{rot}} \vec{M}) dV \quad (4-69)$$

للبرهان على ذلك نأخذ المركبات الاحداثية للطرف الايمن ونكتب :

$$\int_V (\vec{r} \wedge \overrightarrow{\text{rot}} \vec{M})_x dV = \int_V (y \overrightarrow{\text{rot}}_z \vec{M} - z \overrightarrow{\text{rot}}_y \vec{M}) dV$$

نبدل  $\overrightarrow{\text{rot}}_y \vec{M}$  و  $\overrightarrow{\text{rot}}_z \vec{M}$  بقيمهما فنجد :

$$\int_V (\vec{r} \wedge \overrightarrow{\text{rot}} \vec{M})_x dV = \int_V [y (\frac{\partial M_y}{\partial x} - \frac{\partial M_x}{\partial y}) - z (\frac{\partial M_x}{\partial z} - \frac{\partial M_z}{\partial x})] dx dy dz$$

تكامل الجدايين  $-z \frac{\partial M_x}{\partial z}$  و  $-y \frac{\partial M_x}{\partial y}$  بالتجزئة وبقيمة

التكاملات تصبح معدومة. بادخال حدود التكامل ( نفس المناقشة فسي

الفقرة (1-10-4)) ويبقى فقط التكامل  $\int_V 2M_x dx dy dz$  الذي يتفق

مع الطرف الايسر من العبارة ( 69 - 4 ) .

بنفس الطريقة السابقة وبعد أخذ مركبتي  $(\vec{r} \wedge \overrightarrow{\text{rot}} \vec{M})$

على المحورين  $y$  و  $z$  ، فانهما يساويان على الترتيب :

$$\int_V 2M_y dx dy dz \quad \text{و} \quad \int_V 2M_z dx dy dz$$

$$\frac{1}{2} \int_V (\vec{r} \wedge \overrightarrow{\text{rot}} \vec{M}) dV = \frac{1}{2} \int_V 2\vec{M} \cdot dV = \int_V \vec{M} \cdot dV$$

وهي نفس العلاقة ( 69 - 4 ) .

الآن بمقارنة ( 69 - 4 ) مع ( 67 - 4 ) نجد أن :

$$\int_V (\vec{r} \wedge \vec{J}) dV = \int_V (\vec{r} \wedge \text{rot } \vec{M}) dV \quad (4-70)$$

وبالتطابق نجد أن :

$$\vec{J}_a = \text{rot } \vec{M} \quad (4-71)$$

أي أن كثافة التيار الوسطية تساوي إلى دوار التمغنط . هذا التيار ناتج عن الاستقطاب المغناطيسي ( ونسميه تيار التمغنط  $\vec{J}_a$  ) وهو ناتج من جراء إعادة توزيع الشحنات ( التيارات ) عند تطبيق الحقل المغناطيسي على المادة :

نتيجة هامة :

لكي يتم تعيين كثافة التيار بشكل دقيق يجب أن نأخذ قانون انحفاظ الشحنة بالقيمة الوسطى من أجل الحمول على العبارة العامة لكثافة التيار في الوسط المادي ولذلك نكتب قانون انحفاظ الشحنة في الوسط المادي بالشكل :

$$\text{div } \vec{J} = - \frac{\partial \bar{\rho}}{\partial t} \quad (4-72)$$

ولكن  $\bar{\rho}$  ماهي الا كثافة الشحنة الحجمية الوسطية الكلية في الوسط المستقطب وتساوي :

$$\bar{\rho} = \rho_T = \rho_f + \rho_p = \rho_f - \text{div } \vec{P}$$

بالتعويض في العلاقة ( 72 - 4 ) نجد :

$$\text{div } \vec{J} = - \frac{\partial}{\partial t} (\rho_f - \text{div } \vec{P})$$

$$\text{div } \vec{J} = - \frac{\partial \rho_f}{\partial t} + \text{div } \frac{\partial \vec{P}}{\partial t}$$



$$\operatorname{div} \vec{J} = \operatorname{div} \vec{J}_f + \operatorname{div} \frac{\partial \vec{P}}{\partial t}$$

$$\operatorname{div} \vec{J} = \operatorname{div} \vec{J} = \operatorname{div} \left( \vec{J}_f + \frac{\partial \vec{P}}{\partial t} \right) \quad (4-73)$$

من هذه العلاقة نستنتج نتيجة هامة وهي أنه إذا كان استقطاب الجسم غير متجانس ( أي  $\operatorname{div} \vec{P} \neq 0$  ) فإنه يظهر في الجسم تيار اضافي كثافته  $\frac{\partial \vec{P}}{\partial t}$  ناتج عن حركة الشحنات المرتبطة  $\rho_p$  بالاضافة الى تيار الشحنات الحرة  $\vec{J}_f$  أي أن :

$$\vec{J} = \vec{J}_f + \vec{J}_p \quad (4-74)$$

( القيمة السابقة للتيار هي دائما القيم الوسطية في المادة ) .

حيث أن :

$$\vec{J}_p = \frac{\partial \vec{P}}{\partial t} \quad (4-75)$$

وهي كثافة التيار الناتجة عن الشحنات المرتبطة أو المستقطبة ، هذا التيار ينتج عن تغير الاستقطاب الكهربائي مع الزمن .

#### 12-4 - عبارة كثافة التيار الكلي في المادة :

بشكل عام يتألف التيار الكلي في وسط يحوي مادة مغناطيسية

من مجموع كثافة التيارات التالية :

- تيار الناقلية للشحنات الحرة  $\vec{J}_f$
- تيار الاستقطاب الكهربائي للشحنات المرتبطة  $\vec{J}_p$
- تيار التمغنط  $\vec{J}_a$  ( ويسمى بالتيار الامبييري أو الجزئي ) ويرتبط بالعزوم المغناطيسية لذرات وجزيئات المادة وينتج عن الاستقطاب المغناطيسي للشحنات المرتبطة ، بذلك يمكن وصف الوسط المادي المستقطب استقطابا كهربائيا ومغناطيسيا بكثافة التيارات الثلاثة



تيارات الاستقطاب الناتجة عن تغير الاستقطاب  $p$  في الوسط المادي وكثافة هذه التيارات :

$$\vec{J} = \frac{\partial \vec{P}}{\partial t}$$

بالإضافة إلى تيارات التمغنط الناتجة عن خواص المادة الممغنطة ( عزوم مغناطيسية لذرات وجزيئات المادة ... ) وتسمى هذه التيارات أيضا بالتيارات الجزيئية وكثافتها تعطى بالعلاقة :

$$\vec{J}_a = \text{rot } \vec{M}$$

حيث  $\vec{M}$  شعاع تمغنط الوسط المادي أو كثافة التمغنط .

- لنوضح الآن أكثر ماهو تيار التمغنط أو التيار الجزيئي الذي ينتج عن خواص المادة الممغنطة ( القابلة للتمغنط ) .

- إذا كان لدينا وسطا مغناطيسيا غير ناقل للكهرباء ، مؤلفا من جزيئات حيادية أو من أيونات مثبتة في عقد الشبكة البلورية في هذه الحالة لا يتم نقل الشحنات المرتبطة إلى مسافات ماكروسكوبية ( انتقال بين الذرات ) أي أن  $\frac{\partial \vec{P}}{\partial t}$  معدوم بالإضافة إلى انعدام تيار الشحنات الحرة  $\vec{J}_f$  .

ولكن الأمر يختلف داخل الجزيئات المعزولة والأيونات حيث توجد حركة معينة للإلكترونات توافق توزيعا معيناً للتيارات ، هذه التيارات تسمى بالتيارات الجزيئية  $\vec{J}_a$  ( تيارات التمغنط ) وهي تقع ضمن حجوم ميكروسكوبية وتنتج فقط عن الشحنات المرتبطة بالذرة . وتأتي فعاليتها من العزوم المغناطيسية في ذرات المادة وجزيئاتها بما في ذلك العزم المركزي الداخلي للجزيئة (السين) .

في الاوساط المغناطيسية الغير القابلة للتمغنط وتحت تأثير حقل مغناطيسي خارجي فان توزع هذه العزوم المغناطيسية يتم بشكل عشوائي بحيث أن حقولها تنعدم مع بعضها البعض .

في الاوساط المغناطيسية القابلة للتمغنط وتحت تأثير حقل مغناطيسي خارجي تستقطب هذه الاوساط ( أي تولد مجال مغناطيسي ذاتي ) وينتج عن ذلك كثافة تمغنط  $\vec{M}$  مشكلة تيارات جزئية  $\vec{J}_a$  . ( تيار تمغنط ) هذا يؤدي الى تشكل حقل مغناطيسي لانهاى لهذه التيارات بحيث يختلف عن المفر .

تجدر الاشارة الى أن تيارات التمغنط  $\vec{J}_a$  موجودة في الاوساط المغناطيسية الناقلة أو العازلة ، لكن في الاوساط المغناطيسية الناقلة يضاف اليها كثافة تيار الناقلة للشحنات الحرة  $\vec{J}_f$  .

#### 14 - 4 - معادلات ماكسويل في الوسط المادي :

ان معادلات ماكسويل العامة في الخلاء تصلح أيضا في الاوساط بشرط اضافة الشحنات المرتبطة الى الشحنات الحرة وعبارات التيارات الناتجة عن هذه الشحنات أي :

$$\left. \begin{aligned} \text{rot } \vec{E} &= - \frac{\partial \vec{B}}{\partial t} \\ \text{div } \vec{B} &= 0 \\ \text{rot } \vec{B} &= \mu_0 [ (\vec{J}_f + \vec{J}_p + \vec{J}_a) + \epsilon_0 \frac{\partial \vec{E}}{\partial t} ] \\ \text{div } \vec{E} &= \frac{\rho_f + \rho_p}{\epsilon_0} \end{aligned} \right\} (4-27)$$

تكتب المعادلة ( c ) على الشكل :

$$\overrightarrow{\text{rot}} \vec{B} = \mu_0 \left[ (\vec{J}_f + \frac{\partial \vec{P}}{\partial t} + \overrightarrow{\text{rot}} \vec{M}) + \epsilon_0 \frac{\partial \vec{E}}{\partial t} \right] \Rightarrow$$

$$\overrightarrow{\text{rot}} (\vec{B} - \mu_0 \vec{M}) = \mu_0 \left[ \vec{J}_f + \frac{d}{dt} (\epsilon_0 \vec{E} + \vec{P}) \right]$$

والمعادلة ( d ) على الشكل :

$$\text{div} \vec{E} = \frac{\rho_f - \text{div} \vec{P}}{\epsilon_0} \Rightarrow \text{div} (\epsilon_0 \vec{E} + \vec{P}) = \rho_f$$

وبادخال شعاع جديد بحيث :

$$\vec{D} = \epsilon_0 \vec{E} + \vec{P} \quad (4-78)$$

المسمى بشعاع التحريض الكهربائي في المادة وشعاع أخرجديد بحيث :

$$\vec{H} = \frac{\vec{B} - \mu_0 \vec{M}}{\mu_0} \quad (4-79)$$

المسمى بشعاع الحقل المغناطيسي في المادة ( الحقل المغناطيسي

$$\text{في الخلاء } (\vec{H} = \frac{\vec{B}}{\mu_0})$$

بتعويض المتجهات الجديدة (4-78) و(4-79) في معادلات

ماكسويل في المادة ( 4 - 77 ) نحصل على معادلات ماكسويل التالية :

$$\overrightarrow{\text{rot}} \vec{E} = - \frac{\partial \vec{B}}{\partial t}$$

$$\text{div} \vec{B} = 0$$

$$\overrightarrow{\text{rot}} \vec{H} = \vec{J}_f + \frac{\partial \vec{D}}{\partial t}$$

$$\text{div} \vec{D} = \rho_f$$

(4-80)

هذه المعادلات هي نفس معادلات

ماكسويل التي درسناها في الفصل

الاول ، وهي مستقلة عن الوسط

المدرس لذلك سميت معادلات

عامة ولا يدخل فيها سوى

الشحنات الحرة والتيارات

لناتجة عنها .

# الفضاء الخليلي

## النظرية النسبية وتحويلات الحقول

نبحث في هذا الفصل تحويلات غاليله ونسبية نيوتن نسم  
تعرض ملخصا لفرضيات الميكانيك الكلاسيكي ،ننتقل بعدها الى عرض  
واحدة من أهم التجارب التي بينت فشل الميكانيك الكلاسيكي وهي  
تجربة مايلكسون ومورلي التي كان من نتائجها النسبية الخاصة التي  
وضها العالم البرت اينشتاين .

وقد أوردنا بايجاز أهم نتائج النسبية الخاصة : التوافق

تمدد الازمنة، وأوردنا أهم ما جاء في النسبية العامة .

واعتمادا على تحويلات لورنتس استنتجنا تحويلات القسوى  
والحقول الكهرطيسية من جملة عطالية متحركة  $S'$  الى جملة عطالية  
أخرى ساكنة  $S$  كما أوردنا صيغ معادلات ماكسيول في الجملة المتحركة  
وقد أعدنا استنتاج كثافة التيار وكثافة الشحنات كمتجهات رباعية  
الابعاد وأخيرا تعرضنا لمفهوم تونور الحقل الكهرطيسي .

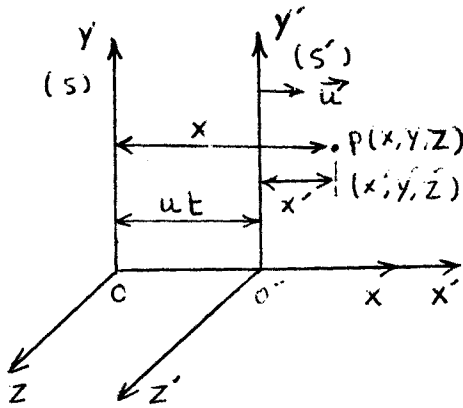
1- 5 - تحويلات غاليله Galileo :

لنفرض وجود جملتين احدائيتين تتحرك احدهما بالنسبة

للاخرى حركة مستقيمة منتظمة بسرعة  $\vec{u}$  بالاتجاه الموجب للمحور  $x$

المشترك بينهما كما في الشكل ( 1 - 5 ) .

لنفرض في بدء الزمن أن الجملتين متطابقتين . وبعند



مرور زمن  $t$  تنتقل الجملة  $O'$  مسافة  $ut$  وتكون العلاقة بين احداثيات الجملتين هي:

$$\left. \begin{aligned} x' &= x - ut \\ y &= y', z = z', t = t' \end{aligned} \right\} (5-1)$$

والتحويل المعاكس أي من  $x'$

الى  $x$  هو:

$$x = x' + ut, \quad y = y', \quad z = z', \quad t = t' \quad (5-2)$$

تدعى هذه المعادلات بتحويلات غاليليه . نرمز عادة لجملة الاحداثيات الساكنة بالرمز  $S$  وبالرمز  $S'$  لجملة الاحداثيات التي تتحرك بحركة مستقيمة منتظمة بالنسبة لـ  $S$  .

### 2 - 5 - المرجع العطالي :

- اذا وجدت نقطة مادية حرة في منطقة من الفراغ لا يوجد فيها قوى تؤثر على هذه النقطة ونسبنا هذه المنطقة الى جملة احداثيات ثابتة . ان هذه النقطة تبقى ساكنة اذا كانت ساكنة في الاصل أو تتحرك بحركة مستقيمة منتظمة اذا كانت متحركة في الاصل تدعى جملة الاحداثيات هذه بالجملة العطالية أو الغاليلية وتسمى أيضا بالمرجع العطالي . وبشكل عام نعتبر كل جملة مرجعية تتحرك بحركة مستقيمة منتظمة بالنسبة لجملة عطالية هي مرجع عطالي .

### 3 - 5 - قانون جمع السرعة في الميكانيك الكلاسيكي :

- ان من إحدى نتائج تحويلات غاليليه هو قانون جمع السرعة .

بفرض أن جسيم يتحرك بسرعة  $(v'_x, v'_y, v'_z)$  في المرجع  $S'$  بالنسبة لمراقب موجود في هذا المرجع. ماهي السرعة  $\vec{v}$  لهذا الجسيم كما يراها مراقب ساكن في الجملة  $S$  ؟

لايجاد  $\vec{v}$  ننطلق من مركباته على المحاور  $x, y, z$  :

$$v_x = \frac{dx}{dt}, \quad v_y = \frac{dy}{dt}, \quad v_z = \frac{dz}{dt}$$

وخلال زمن قدره  $dt' = dt$  فإن الفاصلة  $x$  للجسيم تتغير بمقدار

$$dx' = v'_x dt' \quad \text{والمرجع } S' \text{ يكون قد تحرك مسافة قدره } u :$$

$$u dt' = u dt \quad \text{وحسب العلاقة ( 2 ) فان :$$

$$dz = dz', \quad dy = dy', \quad dx = dx' + u dt'$$

ومنه فان:

$$v_x = \frac{dx' + u dt'}{dt'} = v'_x + u, \quad v_y = v'_y, \quad v_z = v'_z$$

ويكتب قانون جمع السرعة في الميكانيك الكلاسيكي بالشكل المتجه على

النحو التالي :

$$\vec{v} = \vec{v}' + \vec{u} \quad (5-3)$$

ومن هذا القانون يمكن استنتاج تحويلات الكتل والقوى عند تغيير

المرجع العطالي .

#### 4 - 5 - مبدأ النسبية عند نيوتن :

وجد نيوتن أن قوانين الميكانيك لا تتغير عند الانتقال

من مرجع عطالي لأخر وقد عبر عن هذه النتيجة بقوله :

" ان قوانين الميكانيك هي نفسها في جميع الانظمة

الغاليلية ولذلك فانه يستحيل استنتاج حركة هذا النظام بواسطة



تجارب ميكانيكية تجري فيه .

لنفرض مثلا أن فيزيائيا يجري تجارب داخل مركبة فضائية تسير بحركة منتظمة , ان كل التجارب الميكانيكية التي تجرى داخل هذه المركبة ( قياس دور نواس مثلا ) كما يراها هذا الفيزيائي تكون هي نفسها سواء كانت المركبة ساكنة أو تتحرك بحركة مستقيمة منتظمة وبمعنى آخر أنه لا يمكن لهذا الفيزيائي قياس سرعة هذه المركبة . هذه النتيجة تكون صحيحة عندما يكون النظام غاليليا ولكن عند تسارع المركبة أو عند تحركها حركة دائرية فان الفيزيائي سوف يشعر بالحركة وبالتالي يستطيع اكتشاف هذا الدوران عن طريق اجراء التجارب داخل المركبة وذلك لأن الدوران يبطل مبدأ العطالة ( قانون نيوتن الاول ) حيث تنشأ قوة نابذة تغير القوانين داخل النظام المتحرك ( أي داخل المركبة في مثالنا ) .

ان الارض في دورانها حول محورها لاتملك خاصية النظام الغاليلي ( الجملة العطالية ) وبالتالي لا يمكن تطبيق قوانين نيوتن لان الحركة متسارعة . وبالفعل توجد تجارب عديدة تظهر دوران الارض مثلا : ميل القذائف الى يمين مستوى القصف في النصف الشمالي من الكرة الارضية . وتوجد ظواهر طبيعية تشير أيضا الى دوران الارض حول نفسها مثل : ميل الرياح والتيارات المائية البحرية الى اليمين في النصف الشمالي من الكرة الارضية ، تفلطح الكرة الارضية عند خط الاستواء . . . وغيرها . أما حركة الارض حول الشمس فيمكن اعتبارها خلال فترة زمنية قصيرة ( عدة ساعات أو يوم ) حركة مستقيمة منتظمة أو حركة انسابية بالنسبة لمجاور تمر من مركز الشمس ومتجهمة نحو النجوم البعيدة .

وخاصة نقول أنه يمكن تطبيق مبدأ النسبية النيوتني على حركة الأرض هذه ( حركة الأرض حول الشمس ) ولذلك فإن التجارب الميكانيكية التي تجري على سطحها تكون عاجزة عن اظهار وجودها .

5 - 5 - لا تغير القوانين الفيزيائية - مثال من الميكانيك الكلاسيكي :

سوف نرى في هذه الفقرة أن قانون نيوتن  $\vec{F} = m\vec{\gamma}$  لا يتغير عند الانتقال من مرجع عطالي ساكن الى آخر متحرك بمركبة مستقيمة منتظمة في الاتجاه  $x$  .

نفرض في البداية أن جملتي الاحداثيات  $s$  و  $s'$  منطبقتين على بعضهما وان راصدا يجري تجربة فيزيائية : تأثير قوة  $F$  على كتلة  $m$  معلقة بنابض بالاتجاه  $x$  . في هذه الحالة تكون  $x = x'$  ( مقدار استطالة النابض ) ويكون :

$$F_x = m \frac{d^2x}{dt^2} = m \frac{d^2x'}{dt^2} = F'_x , F_y = F'_y , F_z = F'_z$$

والقانون  $\vec{F} = m\vec{\gamma}$  هو صالح في المرجعين .

عندما تتحرك الآن الجملة  $s'$  بسرعة مستقيمة منتظمة  $u$  في الاتجاه  $x$  ، هل يرى الراصد في هذه الجملة  $s'$  أن قانون نيوتن السابق صحيحا بالنسبة له ؟ لاختبار ذلك نعوض  $x$  بالمقدار :

$$F_x = m \frac{d^2x}{dt^2} = m \frac{d^2}{dt^2}(x' + vt) = m \frac{d^2x'}{dt^2} = F'_x$$

وبما أن  $y = y'$  و  $z = z'$  فان :

$$F_y = m \frac{d^2y}{dt^2} = F'_y , F_z = F'_z$$

وبناءً على ماتقدم فإن القوانين التي يراها الراصد في الجملة  $s$  هي نفسها التي يراها في  $s'$  أي أن القانون  $\vec{F} = m\vec{a}$  صالح في كلا المرجعين العطاليين وهذا يكافئ قولنا: إن قانون نيوتن لا يتغير عند تطبيق تحويلات غاليليه عليه. وتجدر الإشارة هنا إلى أن الكتلة  $m$  التي يقيسها الراصد الساكن والمتحرك هي نفسها فرضاً.

### 6 - 5 - فرضيات الميكانيك النيوتني أو الكلاسيكي :

لكي نفهم الاسس التي قامت عليها النسبية نورد أهم المفاهيم التي قام عليها الميكانيك الكلاسيكي وهي :

- 1 - يعتبر الميكانيك الكلاسيكي ان الزمن هو نفسه في منطقة من العالم وهو متماثلاً عند الانتقال من جملة عطالية الى أخرى متحركة بالنسبة للاولى بحركة مستقيمة منتظمة أي ان الزمن مطلق.
- 2 - ان قياس طول ما ( طول مسطرة معينة مثلا ) هو واحد في كلا الجملتين المتحركة والساكنة بالنسبة لراصدين موجودين في كلا الجملتين وذلك عند استخدام نفس واحدة الطول أي ان الطول مستقل عن اختيار المرجع. وسوف نرى لاحقاً أن هاتين الفرضيتين لاتصلحان الا عند السرع الصغيرة جداً بالنسبة لسرعة الضوء.
- 3 - يعتبر الميكانيك الكلاسيكي أن الفراغ اقليدي.
- 4 - الاحداثيات والسرعات تتغير لدى الانتقال من مرجع لآخر ولكن المسافة وتغير السرعة والقوة لاتتغير لدى الانتقال من مرجع عطالي الى آخر.
- 5 - الفراغ هو متجانس ومتماثل المناحي ولذلك فان الخواص الفيزيائية هي نفسها في كل اتجاهات الفراغ. وهكذا فان الكتلة

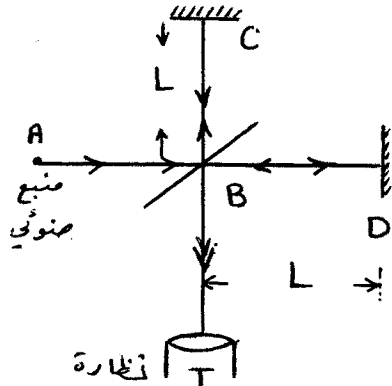
• في القانون  $F = m\vec{\gamma}$  لاتتعلق باتجاه التسارع  $\vec{\gamma}$  .

٦ - لاتتحقق قوانين نيوتن إلا بالنسبة للجمل العطالية .

٧ - قانون الجاذبية العام هو محقق دوما ( يوجد تجاذب بين أي كتلتين  $m_1$  و  $m_2$  تبعدان عن بعضهما مسافة  $R$  :  $F = G \frac{m_1 m_2}{R^2}$  هو ثابت التجاذب الكوني ) .

٧- 5 - تجربة مايكلسون ومورلي (Michelson-Morley) :

تعتبر تجربة مايكلسون ومورلي واحدة من أهم التجارب التي أجريت لقياس سرعة الأرض ( السرعة الانسحابية حول الشمس ) في الاثير بالاعتماد على تداخل الامواج الضوئية وقد أجريت هذه التجربة عام 1887 . وهذه التجربة تعتبر دقيقة نظرا لامكانياتها في كشف سرعات من مرتبة  $1,5 \text{ km/s}$  في حين تبلغ سرعة الأرض المدارية



$30 \text{ km/s}$  . يتألف جهاز مايكلسون،

الشكل ( 2 - 5 ) من منبع ضوئي A ومصفيحة زجاجية B مفضضة جزئيا ومرآتين C و D وقد ركبت جميع الاجزاء على قاعدة قابلة للدوران .

يخرج الضوء من المتبع A

ليسقط على المصفيحة B نصف الشفافة

حيث تميل على الحزمة الضوئية بزاوية  $45^\circ$  . تنقسم الحزمة الضوئية عند B الى حزمتين : الحزمة الاولى تنعكس عن B لتسقط على مرآة C تبعد عنها مسافة L والحزمة الثانية تخترق المصفيحة لتسقط على

ثانية D تبعد عن B أيضا مسافة تساوي L ، والجزمان المنعكسان  
 عن C و D تعود الى الصفيحة B ثم تبرزان منها الى منظار T  
 بحيث يمكن بواسطته رؤية اهداب التداخل .

ان مراقبة اهداب التداخل تشكل طريقة فائقة الدقة  
 في معرفة تساوي الزمن اللازم لذهاب الضوء من B الى C وعودته  
 الى C مع الزمن اللازم لذهاب الضوء من B الى D والعودة اليها .  
 فاذا كان الجهاز في حالة السكون فيجب أن يتساوى هذين الزمنين  
 أما اذا كان الجهاز يتحرك بسرعة u نحو اليمين فسيوجد اختلاف  
 بينهما . اذا فرضنا أن  $t_1$  هو زمن ذهاب الضوء من B الى D و  $t_2$   
 هو زمن عودته . في لحظة انتقال الضوء من B الى D فان الجهاز  
 يكون قد تحرك مسافة  $ut_1$  وبالتالي فان المسافة التي قطعها الضوء  
 خلال الزمن  $t_1$  تساوي :

$$Ct_1 = L + ut_1 \implies t_1 = \frac{L}{C - u} \quad (5-4)$$

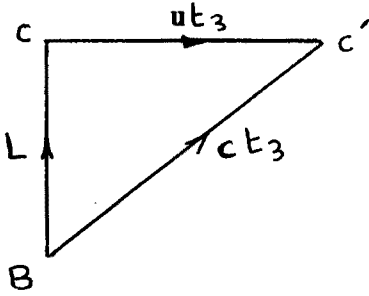
حيث C-u هي سرعة الضوء النسبية وفق BD .  
 وبشكل مماثل فانه خلال الزمن  $t_2$  اللازم لعودة الضوء من  
 D الى B تكون الصفيحة B قد انتقلت مسافة تساوي  $ut_2$  ومسافة  
 العودة التي يقطعها الضوء تساوي  $L - ut_2$  أي :  $Ct_2 = L - ut_2$   
 ومنه فان  $t_2$  تساوي :

$$t_2 = \frac{L}{L + u} \quad (5-5)$$

حيث C+u هي سرعة الضوء النسبية وفق DB ، والزمن الكلي يساوي :

$$t_1 + t_2 = \frac{L}{c - u} + \frac{L}{c + u} = \frac{2L/c}{1 - u^2/c^2} \quad (5-6)$$

وبحساب  $t_3$  زمن ذهاب الضوء من B الى C (الاتجاه العمودي على جهة الحركة) نجد أنه خلال هذا الزمن تتحرك المرآة C الى اليمين مسافة  $ut_3$  بنفس الوقت يسير الضوء مسافة  $ct_3$  على طول الوتر  $BC'$  للمثلث



القائم  $BCC'$ ، الشكل (3 - 5).

وتر هذا المثلث يساوي :

$$(ct_3)^2 = L^2 + (ut_3)^2$$

ومنه :

$$t_3 = \frac{L}{\sqrt{c^2 - u^2}} \quad (5-7)$$

الشكل (3 - 5)

عند عودة الضوء من C الى B تتحرك B مسافة  $ut_3$  ويكون هناك تناظراً في الشكل السابق وبالتالي فان زمن العودة يكون نفسه والزمن

الكلي يساوي  $2t_3$  :

$$2t_3 = \frac{2L/c}{\sqrt{1 - u^2/c^2}} \quad (5-8)$$

نلاحظ من (6) و (8) أن الزمن اللازم للضوء للذهاب من B الى C والعودة اليه أقل من الزمن اللازم للضوء للذهاب من B الى D والعودة اليه رغم أن C و D تبعدان عن B بمسافتين متساويتين. اذا قبلنا باننا لانستطيع أن نجعل هاتين المسافتين متساويتين بالضبط مهما كانت تقنيتنا المستخدمة ولنفرض أن الطولين  $L$  غير متساويين مثلا  $\overline{BD}$  أطول من  $\overline{BC}$  ولذلك عندما نرير الجهاز بمقدار  $90^\circ$  بحيث يأخذ  $\overline{BD}$  محل  $\overline{BC}$  عندها يجب أن نرى انزياحا لاهداب التداخل

وعند اجراء التجربة وجه ميكلسون ومورلي الجهاز بحيث يكون  $\overline{BD}$  مواز لحركة الارض وكانت النتيجة مفاجئة لانه لم يحصل أي انتقال للاهداب والفارق الزمني بين المسارين الضوئين صفرا وكأن الارض ثابتة لاتتحرك .

وقد حاول الفيزيائيون الحصول على نتائج ايجابية بعد ادخال تعديلات على جهاز ميكلسون واجراء التجارب في أمكنة مختلفة وفي مختلف أوقات السنة ولكن النتيجة بقيت صفرا أي انه لا يمكن كشف سرعة الارض في الاثير .

### 8 - 5 - نتائج تجربة مايكلسون:

كان من نتائج مايكلسون النتيجةين التاليين :

- ١ - بطلان قانون جمع السرعة ، أي لا يمكن جمع سرعة الضوء مع سرعة الارض وأن سرعة الضوء  $C$  تكون واحدة في كل الاتجاهات في المرجع العطالي وهي كسرعة الصوت لاتتعلق بحركة المنبع .
- ٢ - لا يمكن قياس سرعة الارض المطلقة في الاثير بواسطة تجارب ضوئية تجري فيها .

ولحل المعضلة التي خلفتها نتيجة تجربة مايكلسون ومورلي اقترح لورنتس Lorantz أن الاجسام المادية تتقلص عند حركتها وان هذا التقلص يكون فقط في اتجاه الحركة ، فإذا فرضنا أن الطول يساوي  $L$  عندما يكون ساكنا فان طوله يصبح  $L'$  عندما يتحرك بسرعة  $u$  موازية لطوله ويساوي :

$$L' = L\sqrt{1 - u^2/c^2} \quad (5-9)$$

وعند تطبيق هذه الظاهرة على جهاز مايكلسون ومورلي فان طول الخراع

CD هو الذي يتغير فقط ويصبح  $L\sqrt{1-u^2/C^2}$  ولذلك فإن المعادلة

( 8 ) لاتتغير أما المعادلة ( 6 ) فتصبح مساوية :

$$t_1 + t_2 = \frac{2L/C \cdot \sqrt{1-u^2/C^2}}{1 - u^2/C^2} = \frac{2L/C}{\sqrt{1 - u^2/C^2}} \quad (5-10)$$

وعند مقارنة هذه النتيجة مع المعادلة ( 8 ) نجد أن  $t_1 + t_2 = 2t_3$  وهذا يفسر نتيجة تجربة مايكلسون ومورلي . ولقد قوبل هذا النجاح باعتراضات كبيرة على أساس أنه يفسر عرضاً محدوداً .

9 - 5 - فشل تحويلات غاليليه وفشل الميكانيك الكلاسيكي عند السرعات

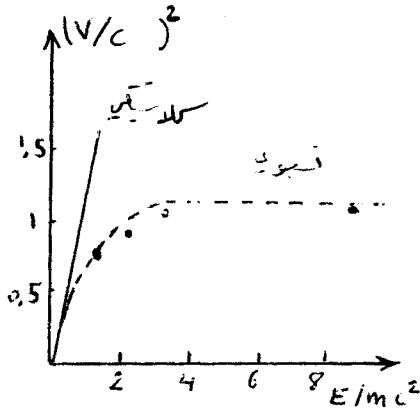
### العالية:

ان تحويلات غاليليه والميكانيك النيوتني لاتأخذ بعين الاعتبار الظواهر التي تكون فيها السرعات قريبة من سرعة الضوء ونورد هنا بعض الامثلة على ذلك .

1 - ان سرعة الجزيئات لايمكن أن تتجاوز سرعة الضوء : وجد تجريبياً أن سرعة الجسم لاتزداد الى مالانهاية عند زيادة طاقتها الحركية ولكنها تتناهى وفق خط متقارب نحو سرعة الضوء  $C$  . لذلك فان عبارة الطاقة الحركية  $\frac{1}{2}mv^2$  لجسيم كتلته  $m$  وسرعته  $v$  تكون غير صحيحة ، انظر الشكل ( 4 - 5 ) .

2 - تركيب الشرع : بحسب تحويلات غاليليه فان السرعات يمكن جمعها شعاعياً فمثلاً: لنفرض أن مسافر يسير بسرعة  $\vec{u}$  باتجاه مقدمة القطار وان القطار يسير بسرعة  $\vec{v}$  فتكون سرعة المسافر





الشكل (4 - 5)

بالنسبة للارض هي مجموع السرعتين  $\vec{v} + \vec{u}$  ولكن هذا القانون لا يكون صالحا في حالة التفاعلات النووية حيث تكون سرع الجسيمات قريبة من سرعة الضوء . ان المحصلة لا تكون  $\vec{u} + \vec{v}$  بل أقل منها بحيث لا يمكن أن تتجاوز سرعة الضوء

٣ - تفرض تحويلات غاليليه انه اذا كان راصدين يحملان ميقاتيين ممتائلين ومتزامنين احدهما مثلا موجود في الجملية  $S'$  المتحركة بحركة مستقيمة منتظمة والاخر موجود على الارض كان الزمن الذي يقيسه الراصدين واحدا . سوف نبرهن فيما بعد ان هذه النتيجة تصبح خاطئة عند السرعات العالية أي القريبة من سرعة الضوء فمثلا ، يمضي الزمن بالنسبة لميزونات الاشعة الكونية ذات الطاقات العالية ، 9 مرات أقل من الزمن الذي يمضي في المختبر ( مرجع ساكن ) .

#### 10 - 5 - نظرية اينشتاين النسبية :

تقسم نظرية اينشتاين النسبية الى نظريتين تدعى الاولى بالنسبية الخاصة أو المقصورة حيث وضعت عام 1905 وقد دعيّت بالمقصورة أو الخاصة لانها تقتصر على الجمل العطالية أي اللامتسارعة وهذه النظرية تعبر عن مبدأ تكافؤ الجمل العطالية المتحركة بالنسبة لبعضها البعض . النظرية الثانية تدعى بالنسبية العامة حيث

وصفها اينشتاين عام 1915 وهي تعميم للنسبية الخاصة لتشمل حالة الجاذبية والجمل المتسارعة .  
1-10-5 - النظرية النسبية الخاصة :

تعبر الفرضيتين التاليتين عن مبدأ النسبية الخاصة :

- 1 - في مرجع عطالي ما تكون سرعة انتشار الضوء في الخلاء هي  $C$  في جميع الاتجاهات مهما تكن السرعة الانسحابية المنتظمة لهذا المرجع وهي مستقلة عن حركة المنبع والكاشف .
- 2 - لا يمكن تحديد سرعة المرجع العطالي مهما كان نوع التجارب الفيزيائية التي تجرى فيه .

تلغي الفرضية الاولى نظرية الاثير وتشرح النتيجة السلبية لتجربة مايكلسون ومورلي وترد على قانون جمع السرع في الميكانيك الكلاسيكي .

الفرضية الثانية هي تعميم لنسبية نيوتن التي تعتبر أن القوانين الفيزيائية هي متماثلة في جميع المراجع العطالية لانه اذا اختلفت هذه القوانين يمكن عندئذ تعيين حركة المرجع العطالي .  
لنأخذ مثال توضيحي : لو أخذنا القانون الاساسي في

التحريك  $F_1 = m_1 \gamma_1$  كما يراه راصد موجود في المرجع العطالي ( $S$ )  
فانه يوجد قانون مماثل :  $F_2 = m_2 \gamma_2$  كما يراه راصد في الجملة العطالية ( $S'$ ) . يجب عندئذ أن توجد تحويلات مختلفة عن تحويلات غاليله بحيث أن قوانين الطبيعة تكون واحدة في كلا المرجعيين ( $S$ ) و ( $S'$ ) .

عند تطبيق تحويلات غاليليه على معادلات ماكسويل فان شكل هذه المعادلات يتغير وهذا يعني أن الظواهر الكهرومغناطيسية في جملة عطالية متحركة سوف تختلف عن تلك التي تظهر في جملة عطالية ساكنة ولذلك يمكن أن تستخدم هذه الظواهر لتعيين سرعة الجملة المتحركة المطلقة عن طريق اجراء قياسات ضوئية أو كهربائية مناسبة ولكن كما رأينا سابقا أن هذا غير ممكن تجريبيا . ولقد انحصر تفكير الفيزيائيون في ايجاد تحويلات أعم من تحويلات غاليليه بحيث يتمكن من الانتقال من جملة عطالية لاخرى دون أن تتغير القوانين الفيزيائية . ولتحقيق ذلك يجب على التحويلات الجديدة أن تحقق الشروط التالية :

١ - أن تكون هذه التحويلات متناظرة بالنسبة لكلا الجملتين الساكنة  $s(x, y, z, t)$  والمتحركة  $s'(x', y', z', t')$  أي أن الصيغة الرياضية تبقى نفسها عند التحويل من جملة لاخرى وبالعكس .

٢ - أن تكون هذه التحويلات خطية .

٣ - تتطابق معادلات التحويل عندما تؤول السرعة النسبية للجملتين

الى الصفر أي تصبح :  $x = x' , y = y' , t = t' , z = z'$

٤ - أن تكون سرعة الضوء في الفراغ ثابتة في كلا الجملتين أي  $C = C'$  لاستنتاج هذه التحويلات ، نكتب العلاقة الخطية بين  $x$  ،  $t$  و  $x'$  ،  $t'$  على الشكل

$$x' = Ax + Bt \quad (5-11)$$

$$t' = Ex + Dt \quad (5-12)$$

حيث  $A$  ،  $B$  ،  $E$  ،  $D$  ثوابت . وقد اعتبرنا أن  $t \neq t'$  .

إذا فرضنا أن  $x' = 0$  أي أن مبدأ الاحداثيات  $O'$  للجملة

$S'$  يتحرك بسرعة  $u$  بالنسبة للجملة  $(O, x, y, z)$  تساوياً

$u = \frac{x}{t}$  ، وبتعويض قيمة  $x$  بالمقدار  $u - t$  و  $x' = 0$  في العلاقة

( 11 ) وبعد حذف الزمن نجد :

$$Au + B = 0 \quad (5-13)$$

وعند حل المعادلات ( 11 ) و ( 12 ) بالنسبة لـ  $x$  و  $t$  نجد العلاقتين

$$x = \frac{Dx' - Bt'}{AD - EB} \quad (5-14)$$

$$t = \frac{Ex' - At'}{EB - BD} \quad (5-15)$$

ومعادلات التحويل المعاكس للعلاقات ( 11 ) و ( 12 ) مع الانتباه

الى أن  $B$  و  $C$  يجب أن تغير اشاراتها عند ادارة المحاور  $x$  و  $x'$  في الاتجاه المعاكس ، هذه المعادلات هي :

$$x = Ax' - Bt' \quad (5-16)$$

$$t = -Ex' + Dt' \quad (5-17)$$

وبمقارنة ( 16 ) مع ( 14 ) نجد أن :

$$A = \frac{D}{AD - EB} \quad (5-18)$$

$$B = \frac{B}{AD - EB} \quad (5-19)$$

من ( 19 ) نجد أن :

$$AD - EB = 1 \quad (5-20)$$

ومن ( 18 ) نجد أن :

$$A = D \quad (5-21)$$

بتقسيم ( 11 ) على ( 12 ) نحصل على العلاقة :

$$\frac{x'}{t'} = \frac{\frac{A}{t} x + B}{\frac{x}{t} E + D} \quad (5-22)$$

وبفرض أن  $x$  هو موضع النقطة التي تستقبل إشارة ضوئية صادرة عن

المبدأ  $O$  في بدء الزمن فإن  $C = \frac{x}{t}$  ومن الشرط الرابع فإن:

$C = C' = \frac{x}{t}$  نعوض هذه القيم في ( 22 ) فنحصل على :

$$C = \frac{AC + B}{CE + D} \quad (5-23)$$

الآن نعوض العلاقات ( 13 ) و ( 21 ) في ( 23 ) فنجد :

$$EC^2 + AC = AC - Au$$

ومنه :

$$E = -A \frac{u}{C^2} \quad (5-24)$$

وبتعويض العلاقات ( 24 ) و ( 13 ) و ( 21 ) في ( 20 ) نجد أن :

$$A^2 \left(1 - \frac{u^2}{C^2}\right) = 1 \quad (5-25)$$

وإذا أخذنا بعين الاعتبار الشرط ( 3 ) فإنه يجب أخذ الإشارة الموجبة

للجذر التربيعي أي أن :

$$A = \frac{1}{\sqrt{1 - u^2/C^2}} \quad (5-26)$$

بتعويض قيم الثوابت  $A$  ،  $B$  ،  $E$  و  $D$  في العلاقاتين ( 11 ) و ( 12 )

نجد التحويلات المطلوبة وهي :

$$x' = \frac{x - ut}{\sqrt{1 - u^2/C^2}}$$

$$t' = \frac{t - \frac{ux}{C^2}}{\sqrt{1 - u^2/C^2}} \quad (5-27)$$

$$y = y' , \quad z = z'$$

تدعى هذه المعادلات بتحويلات لورنتس .

للانتقال الى التحويل المعاكس نعوض قيم الثوابت السابقة

في المعادلات ( 16 ) و ( 17 ) فنحصل على :

$$y = y', z = z', t = \frac{t' + \frac{ux'}{c^2}}{\sqrt{1-u^2/c^2}}, x = \frac{x' + ut'}{\sqrt{1-u^2/c^2}} \quad (5-28)$$

من هذه المعادلات نجد :

١ - اذا وضعنا سرعة الضوء  $c$  مساوية لانهاية في تحويلات لورنتس

فاننا نحصل على تحويلات غاليليه .

٢ - لايمكن أن تكون السرعة النسبية  $u$  بالنسبة للجملتين أكبر من

$c$  لان  $x, y, z$  و  $t$  تصبح عناصر تخيلية في احدى

هاتين الجملتين .

٣ - في الحقيقة لا يوجد سوى أربعة معادلات مستقلة لانه بالامكان

أن نستنتج ( 28 ) من ( 27 ) والعكس صحيح . وكقاعدة عامة

يمكن القول أن العلاقة بين كمية ما في احدى الجمل وبين

الكمية المطابقة لها في الجملة الاخرى يمكن أن يعبر عنها

بدلالة المعادلات ( 27 ) أو ( 28 ) .

٤ - المعادلات ( 27 ) و ( 28 ) متماثلة حيث يمكن الانتقال من

واحدة لاخرى عن طريق استبدال  $+u$  بـ  $-u$  واعتبار ذلك قاعدة

عامة .

٥ - تسمح تحويلات لورنتس بحساب الاحداثيات الفراغية والزمانية

لحادثة فيزيائية ما في مرجع عطالي  $(\bar{x}, \bar{y}, \bar{z}, \bar{t})$  بدلالة

احداثياتها  $(x, y, z, t)$  في مرجع عطالي آخر .

٦ - الزمن ليس مطلقا كما في ميكانيك نيوتن ولذلك قياسه في الجملة المتحركة يختلف عن قياسه في الجملة الساكنة أي أن قياس الزمن يتغير بالحركة النسبية و  $t$  لاتساوي  $t'$  إلا عند السرعات النسبية الصغيرة . وهكذا فإن الميكانيك النيوتني يعتبر حالة خاصة من النسبية عندما تكون  $C \gg u$ .

### 3- 10- 5 - تمدد الزمن:

لنعد الى تجربة ميكلسون ومورلي ولنعتبر أن الظاهرة الفيزيائية المدروسة هي ظاهرة انتشار الاشارة الضوئية من المرآة B الى المرآة C والعودة الى B . في المرجع المتحرك فان الراصد الموجود ضمنه يقيس زمن انتشار الاشارة الضوئية وعودتها فيراه مساويا الى :

$$2t' = \frac{2L}{C}$$

أما بالنسبة للراصد الموجود في المرجع العطالي الساكن فانه يجد أن الزمن الذي يقيس به نفس الظاهرة مساويا الى :

$$2t = \frac{2L/C}{\sqrt{1 - u^2/C^2}}$$

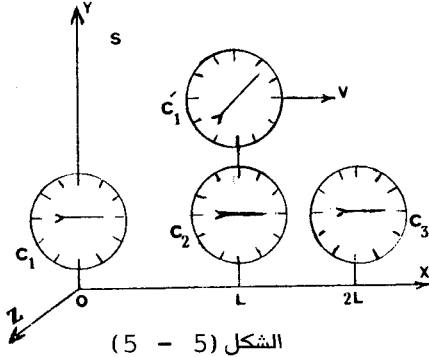
إذا فرضنا أن  $t'$  هو زمن استمرار الظاهرة الفيزيائية كما يراه الراصد المتحرك مع الجملة فان الراصد الساكن يجد أن نفس الظاهرة قد استغرقت زمنا  $t$  مساويا :

$$t = \frac{t'}{\sqrt{1 - u^2/C^2}} \quad t > t' \quad (5-29)$$

أي أن الزمن كما يبدو للراصد  $s$  أطول من الزمن عند الراصد  $s'$

وهذا المفعول يدعى بتمدد الأزمنة . وإذا وضعنا ميقاتية عند نقطة  
 الاصل للجلمة  $s$  أي عند  $x = 0$  و عومًا هذه القيمة في المعادلة  
 الثانية من ( 27 ) نجد أن :  $t = \frac{t'}{\sqrt{1-u^2/c^2}}$  وتكون  $t' \leq t$  أي أن

الراصد في  $s'$  يرى أن الزمن أطول من الزمن عند الراصد  $s$  ، وليس  
 في هذه النتيجة تناقض مع ( 29 )



ولكنها تعبر عن حقيقة وهي  
 أن الميقاتية المتحركة بالنسبة  
 لراصد ما تكون بطيئة بالنسبة  
 لميقاتية الخاصة . انظر الشكل ( 5 - 5 )

#### 4 - 10 - 5 - مفعول دوبلر النسبوي :

يعبر مفعول دوبلر النسبوي عن التغير الحاصل في طول  
 موجة كهروطيسية نتيجة لحركة المنبع الضوئي الذي قد يكون ذرة أو نجم  
 أو مجرة..... الخ .

#### 1 - مفعول دوبلر الطولي :

إذا فرضنا أن المنبع الضوئي ساكن في المرجع  $s'$  الذي  
 يتحرك بسرعة  $u\vec{i}$  وفق المحور  $x$  بالنسبة للمرجع  $s$  ماذا أرسل المنبع  
 إشارة ضوئية في لحظة ما ترددها  $\nu$  فان التردد الذي يستقبله الراصد  
 في المرجع  $s$  الساكن يساوي :



عند اقتراب المنبع من  
الراصد في s

$$\left[ \begin{array}{l} v = v' \sqrt{\frac{1+u/C}{1-u/C}} > v' \\ \text{أو} \\ \lambda = \lambda' \sqrt{\frac{1-u/C}{1+u/C}} \end{array} \right. \quad (5-30)$$

ويساوي :

عند ابتعاد المنبع

$$\left[ \begin{array}{l} v = v' \sqrt{\frac{1-u/C}{1+u/C}} < v' \\ \text{أو} \\ \lambda = \lambda' \sqrt{\frac{1+u/C}{1-u/C}} \end{array} \right. \quad (5-31)$$

٢ - مفعول دوبلر العرضي :

يعتبر هذا المفعول من نتائج النظرية النسبية ويطبق عندما يصنع الراصد زاوية قائمة مع اتجاه حركة الضوء الصادر عن المنبع ويساوي :

$$v = \frac{v'}{\sqrt{1 - u^2/C^2}} \quad (5-32)$$

مثال:

لنفرض راصدا ساكنا موجودا في جملة عطالية متحركة بسرعة  $u = 0,2 C$  بالنسبة لجملة ساكنة s وان هذا الراصد أصدر ضوءا وحيد اللون طول موجته  $\lambda = 5750 \text{ \AA}$  ( اللون الاصفر ) . فاذا كانت الحركة باتجاه الراصد الساكن فان هذا الراصد يستقبل ضوءا طول موجته  $\lambda = 7050 \text{ \AA}$  ( أحمر كاشف ) أما اذا تحرك المنبع

بعيدا عنه فان الراصد الساكن سوف يستقبل ضوءاً طول موجته  $\lambda = 4470 \text{ \AA}$  (بنفسجي) . واذا كانت سرعة المنبع الضوئي تساوي  $u = 0,5 c$  فان أطوال الموجات التي يستقبلها الراصد الساكن هي  $\lambda = 10^4 \text{ \AA}$  عند اقتراب المنبع الضوئي منه و  $\lambda = 3300 \text{ \AA}$  عند ابتعاد المنبع عنه وفي كلا الحالتين فان الضوء يكون غير مرئي بالنسبة له . يستخدم مفعول دوبلر لقياس سرعة اقتراب أو ابتعاد النجوم والمجرات . . . . عن الارض .

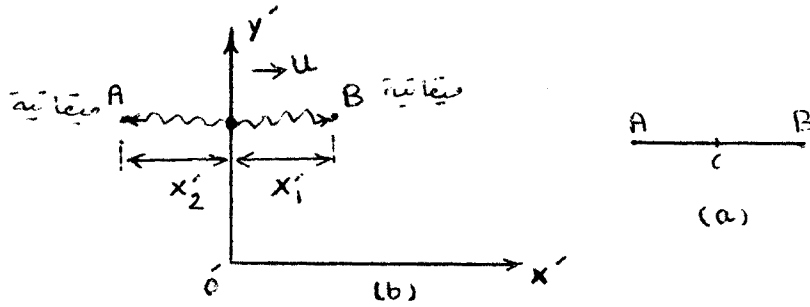
#### 5-10 - التواقــــــــــــــــت :

نقول عن حادثتين أنهما متواقبتين اذا وقعتا في آن واحد . يمكن الحصول على التواقب باجراء التجربة التالية : يوضع مصباحين ضوئيين في موضعين مثلا A و B ، شكل (6a - 5) يقف راصد في C منتصف AB وينظر في آن واحد الى المصباحين بواسطة مرآة ذات وجهين ، فاذا شاهد الاشارتين الضوئيتين معا فانه يحزم بوقوعهما في آن واحد . ويمكن أن نضع ساعتين في A و B وارسال اشارة ضوئية من C في كلا الاتجاهين فتصل الى الساعتين في نفس الزمن ونحصل بذلك على ساعتين متواقبتين . لنفرض الآن أن الراصد في S الذي يتحرك بسرعة u ( مركبة فضائية طويلة ) يوافق ميقاتيته فهل يرى الراصد الساكن في S الساعتين متواقبتين ؟ . ان الراصد في S سوف يرى أن الساعة الامامية تهرب من الاشارة الضوئية أي على الضوء أن يقطع أكثر من نصف المسافة ليبلغها ، اما الساعة الخلفية فتتقدم للقاء الاشارة الضوئية أي المسافة تقصر . فالراصد الساكن يرى أولا الاشارة الخلفية قبل الاشارة الامامية أي أن تسلسل الحوادث

مختلفا عند هذا الراصد فالحوادث الواقعة في آن واحد بالنسبة للراصد في  $S'$  ليست كذلك بالنسبة للراصد في  $S$  . لنفرض الآن وقوع حادثتين في الموضعين  $x_1$  و  $x_2$  في نفس اللحظة  $t$  بالنسبة لراصد ساكن في  $S$  ، ان الراصد في  $S'$  سوف يرى أن الفارق الزمني بين الحادثتين مساويا :

$$\Delta t' = t'_2 - t'_1 = \frac{u(x_1 - x_2)/C^2}{\sqrt{1 - u^2/C^2}} \quad (5-33)$$

والخلاصة هي أن التواقت غير مطلق مثلما الزمن .



شكل ( 6 - 5 )

6 - 10 - 5 - تقلص الأطوال :

نأخذ قضيبا ساكنا يقع على امتداد المحور  $x$  في الجملة الساكنة  $S$  . بما أن القضيب ساكن فان احداثيات نهايتيه  $x_1$  و  $x_2$  تكون مستقلة عن الزمن  $t$  في هذه الجملة ويكون طول القضيب الساكن مساويا  $L_0 = x_2 - x_1$  . لننظر الآن من المرجع  $S'$  الذي يتحرك بسرعة  $\vec{u}$  بالنسبة للقضيب الساكن في الجملة  $S$  ان قياس طول القضيب في الجملة  $S'$  يتحدد في اللحظة  $t'$  التي يكون فيها طرفا القضيب أونهايتاه منطبقين على الموضعين

$x_1$  و  $x_2$  والمسافة بين  $x_1$  و  $x_2$  في الجملة  $S$  التي يتطابق عندها الموضعين في أن واحد على نهايتنا القضيب تساوي الى طول القضيب المتحرك  $L$  في هذه الجملة ، أي :

$$L = x_2(t') - x_1(t')$$

ومن تحويلات لورنتس :

$$x_2 = x_2'(t')\gamma + Ct'\beta\gamma$$

$$x_1 = x_1'(t')\gamma + Ct'\beta\gamma$$

$$\gamma = (1 - \beta^2)^{-\frac{1}{2}} \text{ و } \beta = \frac{u}{c} \quad \text{حيث}$$

ومنه فان  $x_2 - x_1$  تساوي :

$$x_2 - x_1 = L_0 = [x_2'(t') - x_1'(t')] \gamma$$

$$L_0 = L\gamma \implies L = L_0(1 - \beta^2)^{\frac{1}{2}} \quad (5-34)$$

وهذا المفعول يدعى بتقلص لورنتس أو تقلص لورنتس - فيتزجيرالد

Fitwgerald- Lorentz لقضيب يتحرك موازيا لطوله . وكما نلاحظ

من العلاقة ( 34 ) أن طول القضيب يتناقص كلما زادت سرعة الجملة  $\vec{u}$

والراصد في  $S'$  يرى أن طول القضيب  $L$  أقصر من  $L_0$  وطول القضيب

ينعدم عندما تبلغ  $\vec{u}$  سرعة الضوء ، من جهة أخرى فان الراصد في  $S$

يرى أن القضيب  $L$  الذي يتحرك بسرعة  $\vec{u}$  بالنسبة له أقصر من طول

القضيب  $L_0$  في جملته . فظاهرة التقلص كما نلاحظ هي ظاهرة متبادلة

لدى الرامدين تنجم عن الحركة النسبية للمراقب والقضيب .

ان القوانين العيوائية التي مرت معنا في النظرية النسبية الخاصة كانت لامتغيرة في الجمل العطالية فقط وكانت قنائة اينشتاين بأن قوانين الطبيعة يجب أن يعبر عنها بصيغ تكون لامتغيرة في جميع الجمل العطالية متسارعة كانت أم غير متسارعة ولذلك عمل على تعميم نظريته النسبية الخاصة بحيث تشمل الجمل العطالية المتسارعة ولهذا السبب دعيت بالنظرية النسبية العامة .

1 - 11 - 5 - الكتلة الثقالية ( الوازنة ) والكتلة العطالية:

يمكن ، كما هو معروف ، قياس الكتلة عن طريق الميزان الذي يقيس بالضبط نسبة كتلتين وفي هذا القياس تلعب قوة الثقالة أو جاذبية الارض دورا في تعيين الكتلة ولذلك تدعى الكتل التي نحصل عليها بهذه الطريقة بالكتل الثقالية أو الوازنة .

إذا وضعنا جسما A على مستو أملس واعطيناه صدمة ، نلاحظ أن الجسم يتحرك بسرعة ما وإذا كررنا هذه العملية على جسما آخر B وكانت سرعته تساوي ثلاثة أضعاف سرعة A نستنتج أن كتلة A أكبر بثلاث مرات من كتلة الجسم B . في هذه التجربة ليس للثقالة أي علاقة في تعيين الكتلة ، والكتلة المقاسة بهذه الطريقة تدعى بالكتلة العطالية . وإذا قسنا بهاتين الطريقتين نسبة كتلتين سوف نحصل على قيمة واحدة . هذا التكافؤ بين الكتلة العطالية والكتلة الثقالية اكتشفته الفيزياء الكلاسيكية ولكنها لم تعطه أي مدلول عميق ، بينما النسبية العامة اعتبرت أن لهذا التكافؤ مدلول كبير وهو أن الكتلة الثقالية هي نفسها الكتلة العطالية

والتجربة التالية تثبت تطابق الكتلتين :

عندما أسقط غاليله من قمة برج بجزا عدة أجسام مختلفة من حيث الوزن والمادة بحيث يمكن اهمال مقاومة الهواء لها ، وجد أن هذه الاجسام تصل الارض في أزمنة متساوية مهما كان حجمها ومادتها وفي جميع الظروف . ان جاذبية الارض للاجسام تتناسب مع كتلتها الثقالية في حين أن سرعة الاجسام تتعلق بكتلتها العطالية، وتساوي زمن سقوط هذه الاجسام ما هو الآ دليل على أن الكتلة العطالية تساوي الكتلة الثقالية .

اذا وضعنا عدة أجسام مختلفة بالوزن والطبيعة في مجال كهربائي معين نجد أن هذه الاجسام تكتسب تسارعات مختلفة لان القوة الكهربائية المؤثرة فيها تتناسب طردا مع الشحنة الكهربائية التي تحملها هذه الاجسام التي تتأثر حركتها بكتلتها العطالية . لا يوجد في هذا المثال اذن علاقة بين القوة الكهربائية والكتلة العطالية فالجسم الثقيل المشحون بكثافة ما يتحرك بتسارع أكبر من الجسم الخفيف المشحون بكثافة أقل . واذا تركت هذه الاجسام تسقط من ارتفاع ما الى سطح الارض فانها تصل بأزمنة متساوية .

## 2 - 11 - 5 - انحراف الضوء بالجاذبية :

يرى اينشتاين شيئا واحدا على صورتين حسب الظروف :صورة الثقالة وصورة العطالة ، فالثقالة هي قوة عطالية وقوانين التجاذب يجب أن تعبر عن قوانين العطالة .

ان للطاقة مظهر عطالي والتجاذب يؤثر في الطاقة كما يؤثر في المادة ولذلك فان الضوء الذي يحمل طاقة ما لا ينتشر وفق

خط مستقيم بجوار الاجرام السماوية وانما ينحني مثل انحناء مسار القذيفة . ان الشعاع الضوئي المار بقرب الشمس ينحرف  $1.74$  ثانية عن مساره المستقيم وقد تم التأكد من ذلك للمرة الاولى عند كسوف الشمس الكلي في ٢٩ أيار ١٩١٩ . ان النسبية الخاصة لاتسمح بهذا التنبؤ لذلك تعتبر حالة خاصة من النسبية العامة عندما يكون المجال التجاذبي معدوم أو شبد معدوم .

### 3 - 11 - 5 - التجاذب الكوني والهندسة :

ان الفراغ من حولنا كما تراه النسبية العامة ليس اقليديا وانما منحنيا ( فراغ ريمان ) والانحناء الذي يحصل على الفراغ هو بفعل الجاذبية . والفراغ لاينحني بانتظام بل أن انحناءه يزيد بالقرب من المادة والطاقة ويقل بالابتعاد عنهما . وبسبب الانحناء الملاحظ في ضوء النجوم بفعل الشمس فان مجموع زوايا المثلث تكون أكبر من  $180^\circ$  ونسبة محيط الدائرة الى قطرها لاتساوي  $\pi$  . . . . . الخ .

ويمكن أن نفهم الانحناء الذي يحصل على الفراغ بفعل الجاذبية من المثال التوضيحي التالي :

اذا وضعنا قطعة قماش مشدودة على اطار دائري فان هندسة القماش تكون مستوية دون شك ولكن عند وضع كرة ثقيلة عند منتصف قطعة القماش فان القماش ينخفض في الوسط بتأثير ثقل الكرة . ان هندسة القماش حول الكرة لم تعد مستوية بل هي هندسة منحنية . أما نقاط القماش البعيدة عن الكرة فتبقى مستوية . ولو وضعنا الآن كرية صغيرة على حواف القماش البعيدة عن

مكان وجود الكرة فان حركتها ستكون مستقيمة مالم تقترب من الكرة ولكن عندما تدنو الكرة من الكرة فانها تنزلق الى الحفرة (مكان منحن ، حركة غير غاليليه) .

لقد كان هدف النسبية العامة هو صياغة قوانين الفيزياء بحيث تحتفظ بشكلها عند الانتقال من مرجع عطالي الى مرجع غير عطالي ( حركة متسارعة) . بقي أن نشير الى أن الاختيار التجريبي للنظرية النسبية العامة هو من الصعوبة ولكن التجارب التي أجريت حتى الآن تؤيد صحة هذه النظرية ( انحراف طيوف النجوم نحو الاحمر، دوران حضيض عطارد بزاوية مقدارها ٤٣ ثانية كل مئة عام) .

12- 5 - التحريك النسبوي :

1- 12- 5 - تحويل السرعة :

لنفرض أن المرجع العطالي  $s'$  يتحرك حركة مستقيمة منتظمة بسرعة  $\vec{u}$  بالنسبة لمرجع ساكن  $s$  وفق المحور  $x$  وان نقطة مادية تتحرك بسرعة  $\vec{v}'$  في المرجع  $s'$  . ماهي السرعة  $\vec{v}$  التي تتحرك بها هذه النقطة بالنسبة لراصد موجود في المرجع الساكن  $s$  ؟

في الميكانيك الكلاسيكي يكون الجواب هو التالي:

$\vec{v} = \vec{v}' + \vec{u}$  أما في الميكانيك النسبوي فالامر يختلف . ففي خلال الفاصل الزمني  $dt'$  تتحرك هذه النقطة في المرجع  $s'$  بمقدار  $d\vec{x}' = (dx', dy', dz')$  حيث :  $d\vec{x}' = \vec{v}' dt'$  . والفترة الزمنية

$dt'$  توافق بالنسبة للراصد الساكن الفترة الزمنية  $dt$  :

$$dt = \frac{dt' + u dx'/c^2}{\sqrt{1 - u^2/c^2}} \quad (5-35)$$



ومن هذه العلاقة نجد أن:

$$v_x = \frac{dx}{dt} = \frac{dx' + u dt'}{dt' + u dx'/C^2} = \frac{v_x' + u}{1 + uv_x'/C^2} \quad (5-36)$$

وهكذا فإن السرعة بالنسبة لراصد في المرجع  $s$  هي أقل من مقدار  $v_x' + u$  بمقدار  $\frac{1}{1 + uv_x'/C^2}$  والتحويل المعاكس للعلاقة (36) هو:

$$v_x' = \frac{v_x - u}{1 + uv_x/C^2} \quad (5-37)$$

والسرعة على المحور  $Y$  و  $Z$  تساوي:  $v_y = \frac{dy}{dt}$  و  $v_z = \frac{dz}{dt}$  وبما أن  $y = y'$  و  $z = z'$  فإن السرعة  $v_y$  و  $v_z$  تساوي:

$$v_y = \frac{dy'}{dt'} \frac{dt'}{dt} = v_y' \frac{dt'}{dt} = \frac{v_y'}{\gamma [1 + v_x' u / C^2]} \quad (5-38)$$

$$v_z = \frac{v_z'}{1 + v_x' u / C^2} \sqrt{1 - u^2 / C^2} = \frac{v_z'}{\gamma [1 + v_x' u / C^2]} \quad (5-39)$$

$$\cdot \gamma = \frac{1}{\sqrt{1 - u^2 / C^2}} \quad \text{مبث}$$

والجدول رقم (1) يبين السرع في كلا الجملتين  $s'$  و  $s$

| السرعة في المرجع العطالي s                      | السرعة في المرجع العطالي s'                    |
|-------------------------------------------------|------------------------------------------------|
| $v_x = \frac{v'_x + u}{1 + v'_x u / C^2}$       | $v'_x = \frac{v_x - u}{1 - uv_x / C^2}$        |
| $v_y = \frac{v'_y}{\gamma [1 + (uv'_x / C^2)]}$ | $v'_y = \frac{v_y}{\gamma [1 - (uv_x / C^2)]}$ |
| $v_z = \frac{v'_z}{\gamma [1 + (uv'_x / C^2)]}$ | $v_z = \frac{v_z}{\gamma [1 - (uv_x / C^2)]}$  |

عندما يكون  $v'_y = v'_z = 0$  فان عبارة السرعة تكتب بشكل متجهي على النحو التالي:

$$\vec{v} = \frac{\vec{v}' + \vec{u}}{1 + u\vec{v}'/C^2} \quad (5-40)$$

2 - 12 - 5 - تحويل التسارع :

لايجاد التسارع في المرجع s نكتب :

$$a_x = \frac{dv_x}{dt} = \frac{dt'}{dt} \left[ \frac{d}{dt'} \left( \frac{v'_x + u}{1 + uv'_x / C^2} \right) \right] \left[ \frac{1 - uv'_x / C^2}{\sqrt{1 - u^2 / C^2}} \right]$$

وبتعويض  $v_x$  بقيمتها من العلاقة ( 36 ) نجد :

$$a_x = \frac{a'_x}{\gamma^3 [1 + (uv'_x / C^2)]^3} \quad (5-41)$$

وبنفس الطريقة نجد أن  $a_y$  و  $a_z$  يساويان :

$$a'_y = \frac{1}{\gamma^2 [1 + uv'_x/C^2]^2} \left\{ a'_y - \frac{u \cdot v'_y}{C^2 + uv'_x} a'_x \right\} \quad (5-42)$$

$$a'_z = \frac{1}{\gamma^2 [1 + uv'_x/C^2]^2} \left\{ a'_z - \frac{u \cdot v'_z}{C^2 + uv'_x} a'_x \right\} \quad (5-43)$$

والتحويل المعاكس للتسارع هو:

$$a'_x = \frac{a_x}{\gamma^3 [1 - uv_x/C^2]} \quad (5-44)$$

$$a'_y = \frac{1}{\gamma^2 [1 - uv_x/C^2]^2} \left\{ a_y + \frac{v_y \cdot u}{C^2 - uv_x} a_x \right\} \quad (5-45)$$

$$a'_z = \frac{1}{\gamma^2 [1 - uv_x/C^2]^2} \left\{ a_z + \frac{u \cdot v_z}{C^2 - uv_x} a_x \right\} \quad (5-46)$$

3 - 12 - 5 - الطاقة النسبوية:

من تعريف كمية الحركة أو الاندفاع في الميكانيك النسبوي :

$$P = \frac{m_0 v}{(1 - v^2/C^2)^{1/2}} = m_0 C \beta \gamma \quad (5-47)$$

حيث  $v$  هي سرعة الجسم .  $\beta = \frac{v}{C}$

بتربيع العلاقة ( 47 ) نجد أن :

$$P^2 \equiv m_0^2 C^2 \beta^2 \gamma^2$$

وبضرب المطابقة التالية :

$$\frac{1}{1 - v^2/c^2} - \frac{v^2/c^2}{1 - v^2/c^2} = 1$$

أو:

$$\gamma^2 - \beta^2 \gamma^2 = 1$$

بـ  $m_0^2 C^4$  نجد :

$$m_0^2 C^4 \gamma^2 - p^2 C^2 = m_0^2 C^4 \quad (5-48)$$

يمثل المقدار  $m_0^2 C^4 \gamma^2$  كمية فيزيائية هامة لانه عندما نطرح منه

المقدار  $p^2 C^2$  نحصل على المقدار  $m_0^2 C^2$  وهو مقدار لا يتغير ازاى

تحويلات لورنتس ، عندما تكون  $\beta \ll 1$  فان المقدار  $m_0 C^2 \gamma$

يكتب على الشكل التالي:

$$\frac{m_0 C^2}{\sqrt{1 - v^2/c^2}} \cong m_0 C^2 (1 + \frac{1}{2} v^2/c^2 + \dots) \cong m_0 C^2 + \frac{1}{2} m_0 v^2 + \dots \quad (5-49)$$

يدعى المقدار  $E_0 = m_0 C^2$  بطاقة الجسم السكونية والمقدار

$$E = m(v) C^2 \cong \frac{m_0 C^2}{\sqrt{1 - v^2/c^2}}$$

=  $\frac{1}{2} m_0 v^2$  فيمثل الطاقة المركبة للجسيم فني الميكانيك الكلاسيكي

ويساوي في النسبية الى :

$$E_k = \Delta E = E - E_0 = (m - m_0) C^2 \quad (5-50)$$

يعبر القانون  $E = m C^2$  عن التكافؤ بين الكتلة والطاقة فكما

زادت الكتلة ( عند السرعة الكبيرة للجسيم ) زادت طاقة الجسم

فالعلاقة بين E و m اذن هي علاقة تناسب .

بادخال E الى العلاقة ( 48 ) حيث تصبح على الشكل التالي:

$$E^2 - p^2 C^2 = m_0^2 C^4 \quad (5-51)$$

تسمح هذه العلاقة بحساب  $E$  اذا عرفنا الاندفاع  $P$  والعكس صحيح وذلك من أجل جسيم كتلته السكونية  $m_0$  معلومة . عند الانتقال من مرجع عطالي لآخر تستبدل  $P$  بالمقدار  $P'$  و  $E$  بـ  $E'$  فتصبح العلاقة (51) على الشكل:

$$E'^2 - P'^2 C^2 = E^2 - P^2 C^2 = m_0^2 C^4 \quad (5-52)$$

فالعلاقة ( 51 ) اذن لاتتغير عند تطبيق تحويلات لورنتس عليها وهي تمثل مقداراً لامتغيراً ، وهنا نشير الى أن  $m_0$  لاتتغير عند تطبيق تحويلات لورنتس ، والخلاصة أنه مهما كان المرجع العطالي الذي نراقب فيه الجسيم فان طاقة الجسيم واندفاعه ( كمية حركته ) يحققان دوماً العلاقة ( 51 ) .

#### 4 - 12 - 5 - المتجهة الرباعية للاندفاع:

نفرض أن جسماً في المرجع  $S$  كتلته السكونية  $m_0$  وسرعته

$v(v_x, v_y, v_z)$  ويملك طاقة واندفاعاً هما :

$$E = \frac{m_0 C^2}{\sqrt{1 - v^2/C^2}}$$

$$\vec{P} = \frac{m_0 \vec{v}}{\sqrt{1 - v^2/C^2}}$$

لنوجد طاقة هذا الجسيم  $E'$  واندفاعه  $\vec{P}'$  كما يراه راصد مرتبط مع المرجع العطالي  $S'$  الذي يتحرك حركة مستقيمة منتظمة بسرعة  $u$  موازية للمحور  $Ox$  بالنسبة للمرجع  $S$  . اذا كانت  $(v'_x, v'_y, v'_z)$  هي سرعة الجسيم بالنسبة للمرجع العطالي  $S'$  فان العلاقة بين  $v'_x$  و  $v_x$  تعطى بالعلاقات الموجودة في الجدول ( 1 ) . لنحسب المقدار

$$v^2 = \frac{1}{(1 + uv'_x/C^2)^2} \left[ (\hat{v}_x^2 + \hat{v}_y^2 + \hat{v}_z^2) (1 - u^2/C^2) + \hat{v}_x^2 \frac{u^2}{C^2} + u^2 + 2uv'_x \right]$$

بدلالة  $u$  و  $\hat{v}_x$ :  
وبالتقسيم على  $C^2$  نجد:

$$\frac{v^2}{C^2} = \frac{1}{(1 + uv'_x/C^2)^2} \cdot \left[ (1 - u^2/C^2) \frac{\hat{v}^2}{C^2} + (1 + uv'_x/C^2)^2 - (1 - u^2/C^2) \right],$$

و:

$$1 - \frac{v^2}{C^2} = \frac{1}{(1 + uv'_x/C^2)^2} \left(1 - \frac{u^2}{C^2}\right) \left(1 - \frac{\hat{v}^2}{C^2}\right)$$

ومنه فان:

$$\frac{1}{\sqrt{1 - v^2/C^2}} = \frac{1 + uv'_x/C^2}{\sqrt{1 - u^2/C^2} \cdot \sqrt{1 - \hat{v}^2/C^2}}$$

وبالتالي فان:

$$E = \frac{m_0 C^2 / \sqrt{1 - \hat{v}^2/C^2} + u(m_0 v'_x / \sqrt{1 - v^2/C^2})}{\sqrt{1 - u^2/C^2}}$$

$$= \frac{E' + up'_x}{\sqrt{1 - u^2/C^2}} \quad (5-52)$$

$$p_z = p'_z, \quad p_y = p'_y, \quad p_x = \frac{p'_x + uE'/C^2}{\sqrt{1 - u^2/C^2}}$$

ولاجراء التحويل المعاكس نعوض  $+u$  بـ  $-u$  ونستبدل الكمية الغير

مفتوحة بكمية مفتوحة فنجد:

$$E' = \frac{E - up_x}{\sqrt{1 - u^2/c^2}}$$

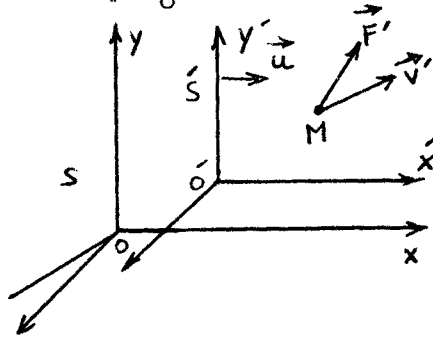
$$p'_x = \frac{p_x - uE/c^2}{\sqrt{1 - u^2/c^2}} \quad (5-53)$$

$$p'_y = p_y, \quad p'_z = p_z$$

تشير هذه الصيغ إلى أن  $(\frac{E}{c^2}, p_x, p_y, p_z)$  تتحول كتحول مركبات متجهة رباعية لذلك فهي تعرف متجهة اندفاع رباعية:  $\vec{p} = (\vec{p}, i \frac{E}{c})$  ومربع طولية هذه المتجهة هي:  $p^2 - \frac{E^2}{c^2}$  تمثل مقداراً لا متغيراً.

### 13-5 - تطبيق تحويلات لورنتس على القوى :

بفرض أن نقطة مادية  $M$  كتلتها السكونية  $m_0$  في المرجع



الشكل ( 7 - 5 )

$S'$  تنتقل تحت تأثير القوة  $\vec{F}'$  بالنسبة لراصد مرتبط بهذا المرجع العطالي، الشكل ( 7 - 5 ) ما هي قيمة هذه القوة كما يراها راصد موجود في المرجع  $S$  ؟

حسب المعادلة

الاساسية في التحريك فان القوة  $\vec{F}$  هي مشتق الدفع  $\vec{p}$  بالنسبة للزمن المقاس في المرجع  $S$  أي:  $\vec{F} = \frac{d\vec{p}}{dt}$  وبموجب تحويلات لورنتس فان الفترة الزمنية  $dt$  توافق فترة زمنية  $dt'$  في المرجع  $S'$  وانتقالاً قدره  $(dx' = v'_x dt', dy' = v'_y dt', dz' = v'_z dt')$  للجسيم في المرجع  $S'$  وهذه الفترة الزمنية  $dt$  تعطى بالعلاقة:

$$dt = \frac{dt' + u dx'/c^2}{\sqrt{1 - u^2/c^2}}$$

وبشكل مماثل فان تغير الاندفاع  $\vec{dp}$  خلال الفترة الزمنية  $dt$  يساوي:

$$dp_x = \frac{dp'_x + u dE'/c^2}{\sqrt{1 - u^2/c^2}}, \quad dp_y = dp'_y, \quad dp_z = dp'_z$$

نستنتج مما سبق أن القوة  $\vec{F}$  تساوي :

$$F_x = \frac{dp_x}{dt} = \frac{dp'_x + u dE'/c^2}{dt' + u dx'/c^2}$$

$$= \frac{1}{1 + uv'_x/c^2} \left[ \frac{dp'_x}{dt'} + \frac{u}{c^2} \frac{dE'}{dt'} \right] \quad (5-54)$$

$$F_y = \frac{dp_y}{dt} = \frac{dp'_y \cdot \sqrt{1 - u^2/c^2}}{dt' (1 + uv'_x/c^2)}$$

$$F_z = \frac{dp_z}{dt} = \frac{dp'_z \cdot \sqrt{1 - u^2/c^2}}{dt' \sqrt{1 - uv'_x/c^2}}$$

وتغير الطاقة  $dE'$  خلال الفترة الزمنية  $dt'$  يساوي :

$$dE' = \vec{F}' \cdot \vec{v}' \cdot dt' \quad (5-55)$$

وبتعويض قيمة  $dE$  في العلاقات ( 54 ) نجد تحويلات القوى :



$$F_x = \frac{1}{1 + uv'_x/c^2} [F'_x + \frac{u}{c^2} \vec{F}' \cdot \vec{v}']$$

$$F_y = F'_y \frac{\sqrt{1 - u^2/c^2}}{1 + uv'_x/c^2} \quad (5-56)$$

$$F_z = F'_z \frac{\sqrt{1 - u^2/c^2}}{1 + uv'_x/c^2}$$

وفي الحالة التي نختار فيها السرعة  $\vec{v}'$  موازية للسرعة الانسحابية  $\vec{u}$  التي تتحرك وفق  $Ox$  فاننا نحصل على :

$$\vec{F}' \cdot \vec{v}' = F'_x \cdot v'_x$$

وعلاقات التحويل ( 56 ) تصبح على الشكل :

$$F_x = F'_x$$

$$F_y = F'_y \frac{\sqrt{1 - u^2/c^2}}{1 + uv'_x/c^2} \quad (5-57)$$

$$F_z = F'_z \frac{\sqrt{1 - u^2/c^2}}{1 + uv'_x/c^2}$$

في الحالة الخاصة التي تكون فيها سرعة الجسم  $v'$  معدومة فإن عبارات التحويل بين  $\vec{F}$  و  $\vec{F}'$  تبسط على النحو التالي :

$$F'_x = F_x$$

$$F'_y = \gamma F_y$$

$$F'_z = \gamma F_z \quad (5-58)$$

وهذه الصيغ ستكون ملائمة لتحديد صيغ الحقول الكهربائية والمغناطيسية

عند تغيير المرجع العطالي .

### 14 - 5 - تحويلات الحقل الكهربائي والحقل المغناطيسي :

إذا وقع جسيم شحنته  $q$  وسرعته  $\vec{v}$  في حقل كهربائي  $\vec{E}$  وحقل مغناطيسي  $\vec{B}$  فإنه يخضع إلى قوة لورنتس التالية مهما كان المرجع العطالي أو الغاليلي :

$$\vec{F} = q(\vec{E} + \vec{v} \wedge \vec{B}) \quad (5-59)$$

وفي الحقيقة فإن  $\vec{E}$  و  $\vec{B}$  يلعبان دوراً أساسياً في وصف الجملة ولكن القيم التي تأخذها الحقول تعتمد على المرجع العطالي المختار من قبل الراصدين .

### 1 - تحويلات الحقل الكهربائي $\vec{E}$ :

لنفرض أنه في المرجع الساكن يوجد حقل كهربائي  $\vec{E}$  وحقل تحريض مغناطيسي  $\vec{B}$  ولنوجد الحقل  $\vec{E}'$  الذي يقيسه راصد متحرك مع المرجع  $S$  بسرعة انسابية منتظمة  $\vec{u}$  . لكي يكتشف الراصد المتحرك الحقل  $\vec{E}'$  فإنه يستعمل شحنة نقطية  $q$  ثابتة في مرجعه  $S'$  وبذلك تكون سرعة هذه الشحنة مساوية  $(0, 0, 0)$  في المرجع  $S'$  و  $(u, 0, 0)$  في المرجع العطالي  $S$  . إن القوة التي تخضع لها الشحنة  $q$  هي  $\vec{F}' = q\vec{E}'$  بالنسبة للراصد يرتبط مع  $S'$  و  $\vec{F} = q(\vec{E} + \vec{u} \wedge \vec{B})$  بالنسبة للراصد يرتبط مع  $S$  وبموجب تحويلات القوى ( 58 ) فإن مركبات هذه القوى هي :

$$F'_x = F_x, \quad F'_y = \frac{F_y}{\sqrt{1-u^2/c^2}}, \quad F'_z = \frac{F_z}{\sqrt{1-u^2/c^2}}$$

وتكون مركبات الحقل الكهربائي  $\vec{E}'$  كما يقيسها الراصد المتحرك هي :

$$\begin{aligned}
 E'_x &= E_x \\
 E'_y &= \frac{(\vec{E} + \vec{u} \wedge \vec{B})_y}{\sqrt{1 - u^2/c^2}} = \frac{E_y - uB_z}{\sqrt{1 - u^2/c^2}} \\
 E'_z &= \frac{(\vec{E} + \vec{u} \wedge \vec{B})_z}{\sqrt{1 - u^2/c^2}} = \frac{E_z + uB_y}{\sqrt{1 - u^2/c^2}}
 \end{aligned}
 \quad (5-60)$$

والتحويلات المعاكسة هي :

$$\begin{aligned}
 E_x &= E'_x \\
 E_y &= \frac{(\vec{E}' - \vec{u} \wedge \vec{B}')_y}{\sqrt{1 - u^2/c^2}} = \frac{E'_y + uB'_z}{\sqrt{1 - u^2/c^2}} \\
 E_z &= \frac{(\vec{E}' - \vec{u} \wedge \vec{B}')_z}{\sqrt{1 - u^2/c^2}} = \frac{E'_z - uB'_y}{\sqrt{1 - u^2/c^2}}
 \end{aligned}
 \quad (5-61)$$

فاذا ساد المرجع  $S$  ، مثلا ، حقل تحريض مغناطيسي  $\vec{B}$  فقط مواز للمحور  $oz$  أي أن  $B_y = 0, E_x = E_y = E_z = 0$  : ولذلك يرى الراصد المرتبط مع  $S'$  حقل تحريض مغناطيسيا  $\vec{B}'$  وحقل كهربائيا  $\vec{E}'$  مركباته  $(0, \frac{-uB_z}{\sqrt{1-u^2/c^2}}, 0)$  .

## 2 - تحويلات حقل التحريض المغناطيسي $\vec{B}$ :

لكشف الحقل  $\vec{B}$  فإن الراصد الموجود في  $S'$  يستعمل شحنة  $q$  متحركة في هذا المرجع . واذا اختيرت سرعة هذه الشحنة  $\vec{v}$  موازية للمحور  $ox$  فإن القوة المؤثرة على هذا الجسم المشحون في الجملة  $S'$  تساوي :

$$\vec{F}' = \begin{cases} qE'_x \\ q(E'_y - v'B'_z) \\ q(E'_z + v'B'_y) \end{cases}$$

من جهة أخرى تكون سرعة الجسم في المرجع العطالي s مساوية :

$$\vec{v} = \begin{cases} v = \frac{u + v'}{1 + uv'/C^2} \\ 0 \\ 0 \end{cases}$$

ولذلك فان القوة كما يراها الراصد في s تساوي :

$$\vec{F} [qE_x, q(E_y - vB_z), q(E_z + uB_y)]$$

وبمقارنة مركبات القوة على المحور ox نجدتها متساوية وبالتالي

فان  $E_x = E'_x$  ، أما العلاقة بين  $F_y$  و  $F'_y$  فتساوي :

$$F_y = F'_y \frac{\sqrt{1 - u^2/C^2}}{1 + uv'/C^2}$$

وبترتيب هذه العلاقة نجد :

$$(1 + uv'/C^2) F_y = F'_y \sqrt{1 - u^2/C^2}$$

وبتعويض قيمة  $F'_y$  و  $F_y$  بقيمتها نحصل على :

$$(1 + uv'/C^2) (E_y - vB_z) = (E'_y - v'B'_z) (\sqrt{1 - u^2/C^2})$$

$$(1 + uv'/C^2) (E_y - vB_z) = E_y - uB_z - v'B'_z \sqrt{1 - u^2/C^2}$$

وإذا أخذنا بعين الاعتبار هذه العلاقة :

$$1 + \frac{uv'}{C^2} = \frac{v' + u}{v}$$

المستنتجة من قانون جمع السرعة فان العلاقة السابقة تساوي :

$$\left(\frac{v' + u}{v}\right) (E'_y - vB'_y) = E_y - uB_z - v'B'_z \sqrt{1 - u^2/C^2}$$

وبفك الأقواس والترتيب نحصل على :

$$\begin{aligned} \text{ومنه: } \frac{u}{C^2} E_y - B'_z &= -B'_z \sqrt{1 - u^2/C^2} \\ B'_z &= \frac{B_z - uE_y/C^2}{\sqrt{1 - u^2/C^2}} \end{aligned} \quad (5-62)$$

ونحصل على علاقة مشابهة من أجل  $B'_y$  . من أجل حساب  $B'_x$  يكفي اختيار شحنة  $q$  سرعتها  $\vec{v}'$  موازية للمحور  $oy$ :  $\vec{v}'(0, \vec{v}', 0)$  وتكون  $\vec{v}$  مساوية :  $\vec{v}(u, \vec{v}'\sqrt{1-u^2/C^2}, 0)$  ومقارنة  $F_z$  مع  $F'_z$  .  
وباعتبار أن السرعة  $v'_x$  معدومة ينتج من ( 58 ) أن :

$$F_z = F'_z \sqrt{1 - u^2/C^2}$$

وبتعويض قيمة  $F_z$  و  $F'_z$  نجد :

$$\begin{aligned} q(E_z + uB_y - v'B_x \sqrt{1 - u^2/C^2}) \\ = q\sqrt{1 - u^2/C^2} (E'_z - v'B'_x) \end{aligned}$$

فاذا أخذنا بعين الاعتبار أن  $E'_z$  يساوي :

$$E'_z = \frac{E_z + uB_y}{\sqrt{1 - u^2/C^2}}$$

نجد بسهولة أن :

$$B_x = B'_x \quad (5-63)$$

وفي الجدول ( ٢ ) التالي نعطي قيم تحويلات  $\vec{B}$  والتحويلات المعاكسة

$$B'_x = B_x$$

$$B_x = B'_x$$

$$B'_y = \frac{B_y + yE_z/C^2}{\sqrt{1 - u^2/C^2}}$$

$$B_y = \frac{B'_y - uE'_z/C^2}{\sqrt{1 - u^2/C^2}}$$

$$B'_z = \frac{B_z - uE_y/C^2}{\sqrt{1 - u^2/C^2}}$$

$$B_z = \frac{B'_z + uE'_y/C^2}{\sqrt{1 - u^2/C^2}}$$

### 15- 5 - ثبات الشحنة الكهربائية:

لنفرض أن شحنة ساكنة في المرجع  $s'$ ، ان هذه الشحنة ستظهر بالنسبة لراصد ساكن في  $s$  اما مساوية  $q_0\gamma$  أو  $\frac{q_0}{\gamma}$  في الواقع ان هذا الافتراض هو خاطئ، اذ أن الشحنة الكهربائية هي ثابتة ( لامتغيرة ) . فالجسيم المشحون يبقى مشحونا بنفس الشحنة الكهربائية عند كلا الراصدين في  $s$  و  $s'$ ، ومن المؤكد أن الاثبات المباشر لثبات الشحنة هو ما وجد تجريبيا من أن النسبة  $\frac{e}{m}$  لجسيم مشحون ( الكترون ) يتحرك بسرعة  $v$  يحقق العلاقة:

$$\frac{e}{m} = \frac{e}{m_0} (1 - v^2/C^2)^{\frac{1}{2}} \quad (5-64)$$

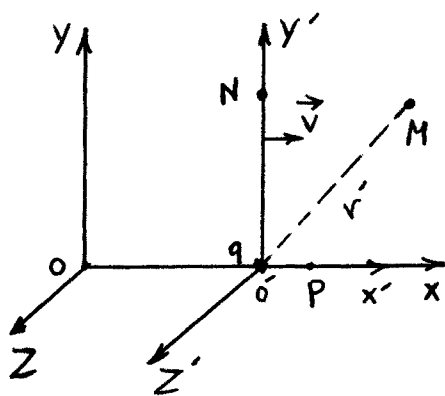
ان شحنة الالكترون  $e$  تبقى اذن ثابتة ومساوية  $1,6 \times 10^{-19} \text{ col}$  مهما كانت سرعة الجسيم بينما تتغير كتلة الالكترون  $m$  تبعاً للسرعة. وقد تم التأكد تجريبيا من صحة هذه العلاقة في مسرعات الجسيمات ذات الطاقات العالية جدا .

وهناك برهان آخر على ثبات الشحنة هو أن المعادلات

لاتنشمن عند تسخينها أو تبريدها ، على الرغم من أن الطاقة الحركية  
الوسطية للالكترونات الناقلة تتغير على نحو أقل بكثير من تغير  
الطاقة الحركية الوسطية للذرات . يظهر أيضا ثبات الشحنة بالنسبة  
للسرعة من خلال التجربة التي قام بها Carlon , Fraser و  
Hughes عام 1968 وذلك بقذف حزمة من ذرات السيزيوم في  
منطقة يسودها حقل كهربائي شديد . فاذا كانت ذرات السيزيوم  
غير حيادية فسوف تنحرف ولكن التجربة بينت أنه لا يوجد أي انحراف  
وكانت دقة القياس  $10^{-18} < \frac{\Delta Q}{Q}$  . حيث  $Q$  هي شحنة النواة ،  $\Delta Q$  شحنة  
الذرة . وهذه التجربة تبرهن أيضا على أن شحنة الالكترونات توازن  
شحنة النواة . ان الالكترونات الطبقة الخارجية تمتلك سرعات من رتبة  
 $0,4c$  وهذا يشكل أيضا برهانا قويا على أن الشحنة الكهربائية  
لا تتغير مع السرعة بل تبقى ثابتة .

16- 5 - الحقل الكهربائي  $\vec{E}$  وحقل التحريض المغناطيسي  $\vec{B}$  الناتج

عن شحنة متحركة حركة مستقيمة منتظمة :



الشكل (8 - 5)

نختار المحاور للجملة

$s$  و  $s'$  بحيث تكون سرعة الجسم  
موازية لـ  $OX$  و  $O'X'$  شكل  
(8 - 5) كما نختار سرعة  
الجملة  $s'$  بالنسبة لـ  $s$   
مساوية  $\vec{v}$  بدلا من  $u$  ان  
الشحنة  $q$  التي تكون ساكنة في  
المرجع  $s'$  تولد في النقطة  $M$

مقلا كهربائيا صرفاً في  $s'$  :

$$\vec{E}' = \frac{q}{4\pi\epsilon_0} \frac{\vec{r}'}{r'^3}$$

$$\vec{B}' = 0$$

حيث  $r'$  هو بعد النقطة M عن  $O$  في المرجع  $s'$  . ان الحقل الكهربائي  $\vec{E}$  وحقل التمريض المغناطيسي  $\vec{B}$  اللذين يقيسهما مراقب ساكن في  $s$  هما :

1 - الحقل الكهربائي  $\vec{E}$  . لدينا :

$$E_x = E'_x = \frac{q}{4\pi\epsilon_0} \frac{x'}{r'^3} = \frac{q}{4\pi\epsilon_0 \sqrt{1-v^2/C^2}} \frac{x-vt}{r'^3}$$

$$E_y = \frac{E'_y}{\sqrt{1-v^2/C^2}} = \frac{q}{4\pi\epsilon_0 \sqrt{1-v^2/C^2}} \cdot \frac{y'}{r'^3}$$

(5-65)

$$= \frac{q}{4\pi\epsilon_0 \sqrt{1-v^2/C^2}} \frac{y}{r'^3}$$

$$E_z = \frac{E'_z}{\sqrt{1-v^2/C^2}} = \frac{q}{4\pi\epsilon_0 \sqrt{1-v^2/C^2}} \frac{z'}{r'^3} = \frac{q}{4\pi\epsilon_0 \sqrt{1-v^2/C^2}} \frac{z}{r'^3}$$

وبشكل متجهي يكتب  $E$  على الشكل :

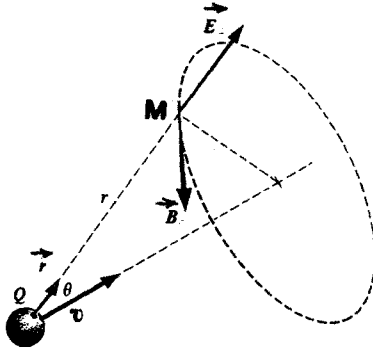
$$\vec{E} = \frac{\gamma q [(x-vt)\vec{i} + y\vec{j} + z\vec{k}]}{4\pi\epsilon_0 [\gamma^2(x-vt)^2 + y^2 + z^2]}$$

حيث أن :

$$\gamma = \frac{1}{\sqrt{1-v^2/C^2}}, \quad r'^2 = x^2 + y^2 + z^2$$

والحقل الكهربائي المتولد في M يكون محمولا على شعاع الموضع الواصل بين الشحنة والنقطة M وواقعا في المستوى الذي يمتنع زاوية قائمة





الشكل (9 - 5)

مع حركة الشحنة وتكون خطوط حقل التمريض المغناطيسي عبارة عن دوائر تقع مراكزها على مسار الشحنة الشكل (9 - 5)، و  $\vec{E}$  لا يكون ذو تناظر كروي . ولو أخذنا، على سبيل المثال نقطة ما مثل p واقعة على

المحور  $ox$  ( $y = z = 0$ ) فإن الحقل  $\vec{E}$  يساوي :

$$E_x = \frac{q}{4\pi\epsilon_0} \frac{(1 - v^2/c^2)^{3/2}}{\sqrt{1 - v^2/c^2}} \frac{(x - vt)}{(x - vt)^3}$$

$$= \frac{q}{4\pi\epsilon_0} \frac{(1 - v^2/c^2)}{(x - vt)^2}$$

$$E_y = E_z = 0$$

وإذا كانت الشحنة ساكنة في نقطة فاصلتها ( $x - vt$ ) فإنها تولد حقلًا كهربائيًا (كولوني) يساوي :

$$E_x = \frac{q}{4\pi\epsilon_0} \frac{1}{(x - vt)^2}$$

بسبب حركة الشحنة بسرعة  $v$  باتجاه  $ox$  فإن الحقل الكهربائي  $\vec{E}$  يقل بالعامل  $(1 - v^2/c^2)$  في الاتجاه  $ox$  وبالمقابل فإن الحقل الكهربائي في نقطة مثل  $N$  الواقعة على المحور  $oy$  ( $x' = z' = 0$ ) يساوي

$$E_x = 0$$

$$E_y = \frac{q}{4\pi\epsilon_0} \gamma \frac{1}{y^2}$$

$$E_z = 0$$

أما الحقل الكولوني الناجم عن الشحنة الساكنة في N فهو:

$$E = \frac{q}{4\pi\epsilon_0} \frac{1}{y^2}$$

وهكذا نجد أن الحقل الكهربائي  $\vec{E}$  الناجم عن شحنة كهربائية تتحرك حركة مستقيمة منتظمة في اتجاه عمودي على منحنى الحركة يزداد بمقدار  $\frac{1}{\sqrt{1-v^2/c^2}}$  بالنسبة للحقل الكهربائي الناتج عن شحنة ساكنة

2 - حقل التحريض المغناطيسي :

نحصل على حقل التحريض المغناطيسي  $\vec{B}$  في الجملة s

بالاعتماد على تحويلات لورنتس ويساوي :

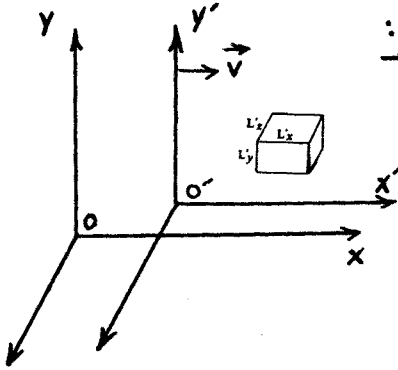
$$\left. \begin{aligned} B_x &= B'_x = 0 \\ B_y &= -\frac{vE'_z}{c^2\sqrt{1-v^2/c^2}} = \frac{(\vec{v} \wedge \vec{E})_y}{c^2} \\ B_z &= \frac{vE'_y}{c^2\sqrt{1-v^2/c^2}} = \frac{(\vec{v} \wedge \vec{E})_z}{c^2} \end{aligned} \right\} (5-66)$$

نستنتج مما تقدم أن الحقل  $\vec{B}$  في النقطة M الناتج عن شحنة تتحرك حركة انسحابية منتظمة يكون تابعا لسرعة الشحنة  $\vec{v}$  وللحقل  $\vec{E}$  الناتج

$$\vec{B} = \frac{\vec{v} \wedge \vec{E}}{c^2} \quad (5-67)$$

بشكل متجه كالتالي :

17-5 - متجهة كثافة التيار الرباعية :



الشكل (10 - 5)

لنأخذ جملة من الشحنات

الساکنة كثافتها الوسطية  $\rho_0$  في

المرجع  $S'$  تتحرك حركة انسحابية

منتظمة بسرعة  $\vec{v}$  بالنسبة للمرجع

$S$ ، شكل (10 - 5). ان الراصد

الموجود في  $S$  يرى أن هناك

شحنات وتيارا مادامت الشحنات تتحرك بالنسبة له. لتكن  $q_0$  الشحنة

الكلية لمكعب طول ضلعه  $L'$  موجود في  $S'$  وتكون  $\rho_0$  مساوية :

$$\rho_0 = \frac{q_0}{L'^3}$$

أما بالنسبة لراصد ساكن فإنه يرى أن المكعب هو متوازي مستطيلات

أضلاعه :

$$L_x = L' \sqrt{1 - v^2/c^2}$$

$$L_y = L'$$

$$L_z = L'$$

وهذا المكعب يحوي بالتأكيد نفس الشحنة الكلية  $q_0$  سواء لوحظت

من قبل راصد ساكن أو متحرك. ان كثافة الشحنات كما

يراهها راصد ساكن هي :

$$\rho = \frac{q_0}{L_x L_y L_z} = \frac{\rho_0}{\sqrt{1 - v^2/c^2}}$$

ان كل شحنة عند هذا الراصد لها سرعة متساوية  $(v, 0, 0)$  وهو

يُصَف جَمَلَةُ الشَّمْنَات بِالكَثَافَةِ :

$$\rho = \frac{\rho_0}{\sqrt{1 - v^2/c^2}} \quad (5-68)$$

وَبِكَثَافَةِ تَيَّارٍ :

$$\vec{j} = \rho \vec{v} = \frac{\rho_0 \vec{v}}{\sqrt{1 - v^2/c^2}} \quad (5-69)$$

تُؤَلَّفُ المَتَجَهَةُ  $(\rho, \vec{j}) = (\rho, j_x, j_y, j_z)$  رِبَاعِيَّةً وَتَسْمَى "مَتَجَهَةً" كَثَافَةِ التَّيَّارِ الرِّبَاعِيَّةِ وَتَكْتَبُ بِالشَّكْلِ :  $\vec{j} = (j_x, i c \rho)$  وَالمَقْدَارُ  $c^2 \rho^2 - j^2$  يَكُونُ مَقْدَارًا لِمَتَغْيِرًا عِنْدَ تَطْبِيقِ تَحْوِيلَاتِ لُورَنْتِسِ .

لِنَفَرِّضُ الآنَ أَنَّ المَرَاقِبَ المَوْجُودَ فِي  $S'$  وَالَّذِي يَتَحَرَّكُ حَرَكَةً مُسْتَقِيمَةً مُنْتَظِمَةً  $\vec{u}$  بِالنِّسْبَةِ لِلْمَرْجِعِ  $S$  يُصَفُ جَمَلَةُ الشَّمْنَاتِ بِالمَرَكَبَاتِ الأربَعَةِ  $(\rho', j'_x, j'_y, j'_z)$  لِمَتَجَهَةِ كَثَافَةِ التَّيَّارِ الرِّبَاعِيَّةِ :  
أَنَّ الرَّاوِدَ فِي  $S$  يَصِفُ نَفْسَ جَمَلَةِ الشَّمْنَاتِ بِالمَرَكَبَاتِ :

$$\left. \begin{aligned} \rho &= \frac{\rho' + u j'_x / c^2}{\sqrt{1 - u^2/c^2}} \\ j_x &= \frac{j'_x + u \rho'}{\sqrt{1 - u^2/c^2}} \\ j_y &= j'_y, \quad j_z = j'_z \end{aligned} \right\} \quad (5-70)$$

وَالتَّحْوِيلَاتِ المَعَاكِسَةِ هِيَ :

$$\begin{aligned}
 j'_x &= \frac{j_x - u\rho}{\sqrt{1 - u^2/c^2}} \\
 \rho' &= \frac{\rho - j_x u/c^2}{\sqrt{1 - u^2/c^2}} \\
 j'_y &= j_y \quad , \quad j'_z = j_z
 \end{aligned}
 \tag{5-71}$$

18 - 5 - متجهة الكمون الرباعية  $\vec{A}$  :

للبهتان على أن  $(\vec{A}, V/c^2)$  هي متجهة رباعية تستخدم تحويلات الحقول التي مرت معنا سابقا . في المرجع العطالي  $S$  فان المركبات

مثلا  $E_y$  و  $B_z$  تساوي :

$$E_y = \left( - \frac{\partial \vec{A}}{\partial t} - \nabla \vec{V} \right)_y = - \frac{\partial A_y}{\partial t} - \frac{\partial V}{\partial y}$$

$$B_z = (\text{rot } \vec{A})_z = \frac{\partial A_y}{\partial x} - \frac{\partial A_x}{\partial y}$$

حيث  $V$  الكمون السلمي . لنرى الآن  $E'_y$  ,  $B'_z$  مركبات الحقول  $\vec{E}'$  و  $\vec{B}'$  كما يراها راصد موجود في الجملة  $S'$  التي تتحرك بسرعة انسحابية منتظمة  $\vec{u}$  بالنسبة للجملة  $S$  .

وجدنا من تحويلات الحقول أن  $E'_y$  تساوي :

$$E'_y = \frac{E_y - uB_z}{\sqrt{1 - u^2/c^2}}$$

$$= \frac{1}{\sqrt{1-u^2/C^2}} \left[ -\frac{\partial A_y}{\partial t} - \frac{\partial V}{\partial y} - u \frac{\partial A_y}{\partial x} + u \frac{\partial A_x}{\partial y} \right]$$

$$E'_y = -\frac{1}{\sqrt{1-u^2/C^2}} \left[ \left( \frac{\partial}{\partial t} + u \frac{\partial}{\partial x} \right) A_y - \frac{\partial}{\partial y} \left( \frac{V - uA_x}{\sqrt{1-u^2/C^2}} \right) \right]$$

ومن تحويلات لورنتس يمكن أن نكتب المشتقات الجزئية التالية :

$$\left. \begin{aligned} \frac{\partial}{\partial t'} &= \frac{\partial}{\partial t} \frac{\partial t}{\partial t'} + \frac{\partial}{\partial x} \frac{\partial x}{\partial t'} = \gamma \left( \frac{\partial}{\partial t} + u \frac{\partial}{\partial x} \right) \\ \frac{\partial}{\partial x'} &= \frac{\partial}{\partial x} \frac{\partial x}{\partial x'} + \frac{\partial}{\partial t} \frac{\partial t}{\partial x'} = \gamma \left( \frac{\partial}{\partial x} + \frac{u}{C^2} \frac{\partial}{\partial t} \right) \\ \frac{\partial}{\partial y'} &= \frac{\partial}{\partial y} \quad \frac{\partial}{\partial z'} = \frac{\partial}{\partial z} \end{aligned} \right\} (5-72)$$

وبأخذ بعين الاعتبار المشتقات الجزئية السابقة فإن  $E'_y$  يساوي :

$$E'_y = -\frac{\partial A_y}{\partial t'} - \frac{\partial}{\partial y'} [\gamma(V - uA_x)].$$

وإذا وضعنا:  $A'_y = A_y$  و  $V' = \gamma(V - uA_x)$  فإننا نجد:

$$E'_y = -\frac{\partial A'_y}{\partial t'} - \frac{\partial V'}{\partial y'} \quad (5-73)$$

وبنفس الطريقة يمكن البرهان على أن:  $B'_z = (\text{rot } \vec{A})_z$  شرط أن

نضع  $A'_x$  مساوية إلى :

$$A'_x = \gamma(A_x - uV/C^2)$$

وعلاقات التحويل التالية هي مركبات متجهة الكون الرباعي

$$: \left( \vec{A}, \frac{V}{C^2} \right)$$

$$\begin{aligned}
 \frac{V}{C^2} &= \gamma(V'/C^2 + uA'_x/C^2) \\
 A_x &= \gamma(A'_x + uV'/C^2) \\
 A_y &= A'_y \\
 A_z &= A'_z
 \end{aligned}
 \quad \left. \vphantom{\begin{aligned} \frac{V}{C^2} \\ A_x \\ A_y \\ A_z \end{aligned}} \right\} \quad (5-74)$$

نحصل على علاقات التحويل المعاكسة بوضع  $-u$  مكان  $u$  نجد

$$\begin{aligned}
 \frac{V'}{C^2} &= \gamma(V/C^2 - uA_x/C^2) \\
 A'_x &= \gamma(A_x - uV/C^2) \\
 A'_y &= A_y \quad , \quad A'_z = A_z
 \end{aligned}
 \quad \left. \vphantom{\begin{aligned} \frac{V'}{C^2} \\ A'_x \\ A'_y \\ A'_z \end{aligned}} \right\} \quad (5-75)$$

نكتب المتجهة الرباعية  $(\vec{A}, \frac{V}{C^2})$  على الشكل:  $\vec{A} = (\vec{A}, iV/C)$  ومربع طولية  $\vec{A}$  يساوي  $A^2 - V^2/C^2$  هو مقدار لامتغير.

### 19-5 - المؤثر الرباعي الابعاد $\vec{\square}$ :

كما عرفنا المؤثر التفاضلي الثلاثي الابعاد  $\vec{\nabla}$  نعرف

أيضا المؤثر التفاضلي الرباعي الابعاد  $\vec{\square}$  مركباته هي:

$$\frac{\partial}{\partial x} , \frac{\partial}{\partial y} , \frac{\partial}{\partial z} , \left(-\frac{1}{iC}\right) \left(\frac{\partial}{\partial t}\right)$$

تعرفه بالشكل :

$$\vec{\square} = (\vec{\nabla} , \frac{1}{iC} \frac{\partial}{\partial t}) \quad (5-76)$$

أما المشتقات الجزئية  $\frac{\partial}{\partial t}$  ،  $\frac{\partial}{\partial z}$  ،  $\frac{\partial}{\partial y}$  ،  $\frac{\partial}{\partial x}$  فتساوي

$$\left. \begin{aligned} \frac{\partial}{\partial x} &= \gamma \left[ \frac{\partial}{\partial x'} - \frac{u}{c^2} \frac{\partial}{\partial t'} \right] \\ \frac{\partial}{\partial y} &= \frac{\partial}{\partial y'} \quad , \quad \frac{\partial}{\partial z} = \frac{\partial}{\partial z'} \\ \frac{\partial}{\partial t} &= \gamma \left[ \frac{\partial}{\partial t'} - u \frac{\partial}{\partial x'} \right] \end{aligned} \right\} \quad (5-77)$$

وهذه التحويلات هي معادلات التحويل المعاكس للمعادلات ( 72 ) أي

التحويل من المرجع  $s'$  الى المرجع  $s$  .

المؤثر  $\vec{\square}$  هو كالمؤثر  $\vec{\nabla}$  يمكن استخدامه لحساب التدرج :

$$\vec{\square} \nabla = \left( \frac{\partial}{\partial x} , \frac{\partial}{\partial y} , \frac{\partial}{\partial z} , \frac{1}{ic} \frac{\partial}{\partial t} \right) \nabla \quad (5-78)$$

أو لحساب تفرق متجهة  $\vec{F}$  :

$$\vec{\square} \cdot \vec{F} = \frac{\partial F_x}{\partial x} + \frac{\partial F_y}{\partial y} + \frac{\partial F_z}{\partial z} + \frac{1}{ic} \frac{\partial F_t}{\partial t} \quad (5-79)$$

نسمي الجداء السلمي للمؤثر  $\vec{\square}$  بنفسه والامبريان

$\square^2$  d'Alembertien ويساوي :

$$\begin{aligned} \square^2 &= \vec{\square} \cdot \vec{\square} = \frac{\partial^2}{\partial x^2} + \frac{\partial^2}{\partial y^2} + \frac{\partial^2}{\partial z^2} - \frac{1}{c^2} \frac{\partial^2}{\partial t^2} \\ &= \nabla^2 - \frac{1}{c^2} \frac{\partial^2}{\partial t^2} \end{aligned} \quad (5-80)$$

يبين الجدول ( 3 ) المؤثرات التفاضلية الموافقة للمركبات

$t, z, y, x$



|                       |                                                                                                                                                                                                                                                         |                               |                               |                                                 |
|-----------------------|---------------------------------------------------------------------------------------------------------------------------------------------------------------------------------------------------------------------------------------------------------|-------------------------------|-------------------------------|-------------------------------------------------|
| الاحداثيات            | x                                                                                                                                                                                                                                                       | y                             | z                             | t                                               |
| المؤثرات الموافقة لها | $\frac{\partial}{\partial x}$                                                                                                                                                                                                                           | $\frac{\partial}{\partial y}$ | $\frac{\partial}{\partial z}$ | $(\frac{-1}{c^2})(\frac{\partial}{\partial t})$ |
| مركبات $\vec{r}$      | x                                                                                                                                                                                                                                                       | y                             | z                             | ict                                             |
| مركبات $\square$      | $\frac{\partial}{\partial x}$                                                                                                                                                                                                                           | $\frac{\partial}{\partial t}$ | $\frac{\partial}{\partial z}$ | $(\frac{1}{ic})(\frac{\partial}{\partial t})$   |
| مربع طولية $\vec{r}$  | $x^2 + y^2 + z^2 + c^2 t^2 = r^2 - c^2 t^2$                                                                                                                                                                                                             |                               |                               |                                                 |
| $\square^2$           | $\begin{aligned} & (\frac{\partial}{\partial x})^2 + (\frac{\partial}{\partial y})^2 + (\frac{\partial}{\partial z})^2 - (\frac{1}{c^2})(\frac{\partial}{\partial t})^2 \\ & = \nabla^2 - (\frac{1}{c^2})\frac{\partial^2}{\partial t^2} \end{aligned}$ |                               |                               |                                                 |

جدول رقم ( 3 )

### 20 - 5 - قانون انحفاظ الشحنة :

بتطبيق المؤثر  $\square$  على متجهة كثافة التيار الرباعية  $\vec{j}$

نجد :

$$\square \cdot \vec{j} = \frac{\partial}{\partial x} j_x + \frac{\partial}{\partial y} j_y + \frac{\partial}{\partial z} j_z + \frac{\partial \rho}{\partial t} \quad (5-81)$$

$$= \vec{\nabla} \cdot \vec{j} + \frac{\partial \rho}{\partial t} \quad (5-82)$$

لنرى أهمية علاقة التقرن هذه من الناحية الفيزيائية :

إذا كانت الشحنة  $\rho$  الموجودة ضمن الحجم  $\tau$  تزداد

خلال الزمن  $\partial t$  بسرعة قدرها  $\tau (\partial \rho / \partial t)$  فان سرعة تناقصها في

هذا الحجم خلال نفس الزمن يساوي  $\tau (\vec{\nabla} \cdot \vec{j})$  ولقد وجد في جميع

التجارب العملية التي أجريت أن الشحنة محفوظة دوماً أي أن :

$$\vec{\nabla} \cdot \vec{j} + \frac{\partial \rho}{\partial t} = 0$$

وهو قانون انحفاظ الشحنة كما مر معنا سابقاً ونموذجه على الشكل التالي :

مهما كان المرجع العطالي المفروض فإن الشحنات لاتتلق

ولاتفنى ، يمكن كتابة هذا القانون على الشكل :

$$\vec{\square} \cdot \vec{j} = 0 \quad (5-83)$$

ونلفت النظر هنا الى عدم الخلط بين هذه الخاصية وبين خاصية ثبات قيمة الشحنة الكهربائية . فثبات قيمة الشحنة يعنى أن قيمة شحنة جسيم ما مستقلة عن السرعة التي يسير بها هذا الجسيم بالنسبة للراصد أي هي نفسها في كل المراجع العطالية .

21 - 5 - شرط لورنتس باستخدام المؤثر الرباعي الابعاد  $\vec{\square}$  :

وجدنا سابقاً أن العلاقة بين الكمون المتجه  $\vec{A}$  والكمون

السلمي  $V$  في الخلاء هي :

$$\vec{\nabla} \cdot \vec{A} + \epsilon_0 \mu_0 \frac{\partial V}{\partial t} = 0 \quad (\text{شرط لورنتس})$$

وباستخدام المؤثر  $\vec{\square}$  فإن شرط لورنتس يصبح على الشكل التالي :

$$\vec{\square} \cdot \vec{A} = 0 \quad (5-84)$$

ويمكن البرهان على شرط لورنتس باستخدام العلاقات ( 74 ) :

22- 5 - معادلات ماكسويل عند تغيير المرجع العطالي :

يمكن استنتاج معادلات ماكسويل في المرجع  $S'$  اعتماداً على قيم الحقل الكهربائي  $\vec{E}$  وحقل التمريض المغناطيسي  $\vec{B}$  المحسوبتين من أجل شحنة  $q$  تتحرك حركة مستقيمة منتظمة بالنسبة للمرجع الساكن  $S$ .

ان معادلات ماكسويل التي نحمل عليها هي نفس المعادلات التي مرت معنا في الحالة العامة :

$$\text{div } \vec{E} = \frac{\rho}{\epsilon_0}$$

$$\text{div } \vec{B} = 0$$

$$\text{rot } \vec{E} = - \frac{\partial \vec{B}}{\partial t}$$

$$\text{rot } \vec{B} = \mu_0 \left( \vec{j} + \epsilon_0 \frac{\partial \vec{E}}{\partial t} \right)$$

نترك برهان هذه المعادلات للطالب ولنثبت من جهتنا أن معادلات ماكسويل في المرجع  $S'$  لها نفس شكل المعادلات في الجملة الساكنة  $S$  أي أن :

$$(a) \quad \text{div } \vec{E}' = \frac{\rho'}{\epsilon_0}$$

$$(b) \quad \text{div } \vec{B}' = 0$$

(5-85)

$$(c) \quad \text{rot } \vec{E}' = - \frac{\partial \vec{B}'}{\partial t'}$$

$$(d) \quad \text{rot } \vec{B}' = \mu_0 \left[ \vec{j}' + \epsilon_0 \frac{\partial \vec{E}'}{\partial t'} \right]$$

1- 22- 5 - تفرق الحقل الكهربائي  $\vec{E}'$  :

لنبرهن على صحة المعادلة ( a ) :

يعطى تفرق الحقل الكهربائي  $\vec{E}'$  بالعلاقة :

$$\begin{aligned} \text{div}' \vec{E}' &= \frac{\partial E'_x}{\partial x'} + \frac{\partial E'_y}{\partial y'} + \frac{\partial E'_z}{\partial z'} \quad (5-86) \\ &= \frac{1}{\sqrt{1-u^2/C^2}} \left[ \left( \frac{\partial}{\partial x} + \frac{u}{C^2} \frac{\partial}{\partial t} \right) E_x \right. \\ &\quad \left. + \frac{\partial}{\partial y} (E_y - uB_z) + \frac{\partial}{\partial z} (E_z + uB_y) \right]. \end{aligned}$$

وتكتب هذه العلاقة بعد ترتيبها على الشكل :

$$\begin{aligned} \text{div}' \vec{E}' &= \frac{1}{\sqrt{1-u^2/C^2}} \left[ \frac{\partial E_x}{\partial x} + \frac{\partial E_y}{\partial y} + \frac{\partial E_z}{\partial z} + \frac{u}{C^2} \frac{\partial E_x}{\partial t} \right. \\ &\quad \left. - u \frac{\partial B_z}{\partial y} + u \frac{\partial B_y}{\partial z} \right]. \\ &= \gamma \left[ \text{div} \vec{E} + u \left( \frac{1}{C^2} \frac{\partial E_x}{\partial t} - (\text{rot} \vec{B})_x \right) \right]. \end{aligned}$$

ومن معادلات ماكسويل في المرجع s :  $\text{div} \vec{E} = \frac{\rho}{\epsilon_0}$  و:

$$\frac{1}{C^2} \frac{\partial E_x}{\partial t} - \text{rot} \vec{B} = -\mu_0 \vec{j} = -\frac{1}{\epsilon_0 C^2} \vec{j},$$

نعوض هاتين المعادلتين في العلاقة الاخيرة فنجد :

$$\text{div}' \vec{E}' = \frac{1}{\epsilon_0} \left[ \frac{\rho - \vec{j}_x u / C^2}{\sqrt{1-u^2/C^2}} \right] = \frac{\rho'}{\epsilon_0} \quad (5-87)$$

2- 22- 5 - تفرق حقل التحريض المغناطيسي  $\vec{B}'$  :

ان تفرق  $\vec{B}'$  يساوي :

$$\begin{aligned} \text{div}' \vec{B}' &= \frac{\partial B'_x}{\partial x'} + \frac{\partial B'_y}{\partial y'} + \frac{\partial B'_z}{\partial z'} \\ &= \gamma \left[ \left( \frac{\partial}{\partial x} + \frac{u}{C^2} \frac{\partial}{\partial t} \right) B_x + \frac{\partial}{\partial y} (B_y + uE_z / C^2) \right. \\ &\quad \left. + \frac{\partial}{\partial z} (B_z - uE_y / C^2) \right]. \end{aligned}$$

$$= \gamma \left[ \frac{\partial B_x}{\partial x} + \frac{u}{c^2} \frac{\partial B_x}{\partial t} + \frac{\partial B_y}{\partial y} + \frac{u}{c^2} \frac{\partial E_z}{\partial y} + \frac{\partial B_z}{\partial z} - \frac{u}{c^2} \frac{\partial E_y}{\partial z} \right]$$

$$\text{div}' \vec{B}' = \gamma \left[ \text{div} \vec{B} + \frac{u}{c^2} \left( \frac{\partial B_x}{\partial t} + \frac{\partial E_z}{\partial y} - \frac{\partial E_y}{\partial z} \right) \right].$$

ولكن:

$$(\text{rot} \vec{E})_x = - \frac{\partial B_x}{\partial t} = \frac{\partial E_z}{\partial y} - \frac{\partial E_y}{\partial z}$$

$$\text{div} \vec{B} = 0 \quad \text{و}$$

نعوض هذه القيم في المعادلة الأخيرة فنجد:

$$\text{div}' \vec{B}' = \gamma(0 + 0) = 0$$

اذن:

$$\text{div}' \vec{B}' = 0 \quad (5-88)$$

### 3-22-5 - دوار الحقل الكهربائي $\vec{E}'$

إذا وجد حقل كهربائي  $\vec{E}$  فقط في الجملة s ناجم عن

شحنة q ساكنة فإن المراقب في  $s'$  يشعر بوجود حقل كهربائي في

جملته وهذا ما تدل عليه المعادلات (60) والجدول (2) من معادلة

ماكسويل لدوار الحقل الكهربائي  $\vec{E}$  في الجملة s نكتب:

$$\vec{\nabla} \wedge \vec{E} = 0$$

والمعادلات السلمية لهذه العلاقة هي:

$$\left[ \frac{\partial E_z}{\partial y} - \frac{\partial E_y}{\partial z} \right] = 0 \quad (a)$$

$$\frac{\partial E_x}{\partial z} - \frac{\partial E_z}{\partial x} = \frac{\partial E_x}{\partial z} - \gamma \left( \frac{\partial E_z}{\partial x'} - \frac{u}{c^2} \frac{\partial E_z}{\partial t'} \right) = 0 \quad (b)$$

$$\frac{\partial E_y}{\partial x} - \frac{\partial E_x}{\partial y} = \gamma \left( \frac{\partial E_y}{\partial x'} - \frac{u}{c^2} \frac{\partial E_y}{\partial t'} \right) - \frac{\partial E_x}{\partial y} = 0 \quad (c)$$

وباستخدام المعادلات (60) وملاحظة أن :

$$\frac{\partial}{\partial t} = 0, \quad \frac{\partial}{\partial z} = \frac{\partial}{\partial z'}, \quad \frac{\partial}{\partial y} = \frac{\partial}{\partial y'}$$

نجد أن المعادلات (a و b و c) تساوي :

$$\left[ \gamma \left( \frac{\partial E_z'}{\partial y'} - \frac{\partial E_y'}{\partial z'} \right) - u \gamma \vec{\nabla}' \cdot \vec{B}' + u \gamma \frac{\partial B_x'}{\partial x'} \right] = 0$$

وهذه المعادلة يمكن كتابتها على الشكل :

$$\left[ \gamma \left( \frac{\partial E_z'}{\partial y'} - \frac{\partial E_y'}{\partial z'} \right) - u \gamma \vec{\nabla}' \cdot \vec{B}' + u \gamma \frac{\partial B_x'}{\partial x'} \right] = 0 \quad (5-89)$$

$$\begin{aligned} \frac{\partial E_x'}{\partial z'} + \gamma^2 \left( \frac{u}{c^2} \frac{\partial E_z'}{\partial t'} - \frac{\partial E_z'}{\partial x'} \right) \\ + \gamma^2 \left( u \frac{\partial B_y'}{\partial x'} - \frac{u^2}{c^2} \frac{\partial B_y'}{\partial t'} \right) = 0 \end{aligned} \quad (5-90)$$

$$\begin{aligned} \gamma^2 \left( \frac{\partial E_y'}{\partial x'} + u \frac{\partial B_z'}{\partial x'} - \frac{u}{c^2} \frac{\partial}{\partial t'} E_y' - \frac{u^2}{c^2} \frac{\partial}{\partial t'} B_z' \right) \\ - \frac{\partial E_x'}{\partial y'} = 0 \end{aligned} \quad (5-91)$$

والمعادلات (89 - 91) تبسط على الشكل :

$$\left. \begin{aligned} \left[ \left( \frac{\partial E_z'}{\partial y'} - \frac{\partial}{\partial z'} E_y' \right) + \frac{\partial}{\partial t'} B_x' \right] &= 0 \\ \left[ \frac{\partial E_x'}{\partial z'} - \frac{\partial E_z'}{\partial x'} + \frac{\partial B_y'}{\partial t'} \right] &= 0 \\ \left[ \frac{\partial E_z'}{\partial x'} - \frac{\partial}{\partial y'} E_x' + \frac{\partial}{\partial t'} B_z' \right] &= 0 \end{aligned} \right\} \quad (5-92)$$

ومنه فان :

$$\vec{\nabla} \wedge \vec{E}' = - \frac{\partial \vec{B}'}{\partial t'} \quad (5-93)$$

وبنفس الطريقة يبرهن على معادلة دوار الحقل  $\vec{B}'$ .

وهكذا نكون قد برهنا أن معادلات ماكسويل لامتغيرة عند تطبيق تحويلات لورنتس أي أن معادلات الحقل الكهرومغناطيسي تكون متماثلة عند الانتقال من مرجع عطالي  $S$  الى مرجع عطالي آخر  $S'$  . فاذا أجرى كلا الراصدين نفس التجربة كل في مرجعه فان النتيجة تكون واحدة لدى كل منهما. اذن لا يمكن للمجرب أن يكتشف بتجارب كهرومغناطيسية حركة مرجعه الذي يسير بسرعة انسحابية مستقيمة منتظمة وهذا ما أشارت اليه النسبية الخاصة كما رأينا سابقا .

### 23 - 5 - التعبير عن تحويلات لورنتس باستخدام المصفوفات:

ان صيغة التحويل من جملة ثلاثية متعامدة الى أخرى والذي يطبق عادة على المتجهات الثلاثية الابعاد يمكن تطبيقه أيضا على الفراغ الرباعي الزمان - المكان وذلك عن طريق اضافة مركبة رابعة  $x_4 = ict$  . فاذا كان  $F_i$  مثلا يمثل المركبة رقم  $i$  للمتجه الثلاثية الابعاد فان  $T_{\mu\nu}$  تمثل المركبة  $\nu, \mu$  لتونسور رباعي الابعاد وتحويلات لورنتس من الجملة  $S$  الى الجملة  $S'$  كما رأينا هي :

$$x' = \gamma(x - ut)$$

$$t' = \gamma(t - \frac{u}{c^2} x)$$

$$y = y' , \quad z = z'$$

حيث يمكن كتابتها على الشكل :

$$x'_1 = \frac{1}{\sqrt{1-\beta^2}} x_1 + 0 \cdot x_2 + 0 \cdot x_3 + \frac{i\beta}{\sqrt{1-\beta^2}} x_4$$

$$x'_2 = 0 \cdot x_1 + x_2 + 0 \cdot x_3 + 0 \cdot x_4$$

(5-94)

$$x'_3 = 0 \cdot x_1 + 0 \cdot x_2 + x_3 + 0 \cdot x_4$$

$$x'_4 = -\frac{i\beta}{\sqrt{1-\beta^2}} x_1 + 0 \cdot x_2 + 0 \cdot x_3 + \frac{1}{\sqrt{1-\beta^2}} x_4$$

حيث :

$$x'_4 = iCt', \quad x'_3 = z', \quad x'_2 = y', \quad x'_1 = x', \quad z = x_3, \quad y = x_2, \quad x = x_1, \quad \beta = \frac{u}{C}$$

ومصفوفة هذا التحويل تساوي :

$$A = \begin{bmatrix} \frac{1}{\sqrt{1-\beta^2}} & 0 & 0 & \frac{i\beta}{\sqrt{1-\beta^2}} \\ 0 & 1 & 0 & 0 \\ 0 & 0 & 1 & 0 \\ \frac{-i\beta}{\sqrt{1-\beta^2}} & 0 & 0 & \frac{1}{\sqrt{1-\beta^2}} \end{bmatrix} \quad (5-95)$$



يمكن التأكد من أن هذا التحويل هو تحويل تعامدي عقدي :

$$\sum_i a_{ij} a_{jk} = \delta_{jk} = \begin{cases} 0 & j \neq k \\ 1 & j = k \end{cases}$$

ان المصفوفة السابقة A هي مصفوفة بسيطة ( تحوي ستة عناصر غير معدومة ) لان تحويل لورنتس يربط في هذه الحالة جملتين احدهما متحركة بالنسبة لآخرى وفق المحور x وفي هذه الحالة رأينا أن x و t تتحول الى x' و t' على حين تبقى y و z بدون تغيير .

في الحالة العامة عندما لاتكون الحركة وفق محور احداثي معين فان التحويل يكون معقدا ولكن مركبات المصفوفة تظل معقدة لعلاقات التعامد . ان تحويل لورنتس ( 95 ) يمكن تفسيره على أنه دوران في المستوي  $x_1 x_4$  وفي هذه الحالة فان زاوية الدوران  $\theta$  تتعين من العلاقة :

$$\left. \begin{aligned} x'_1 &= x_1 \cos \theta + x_4 \sin \theta \\ \tan \theta &= i\beta = i \frac{u}{c} \end{aligned} \right\} \quad (5-96)$$

حيث أن الزاوية  $\theta$  ليست زاوية دوران حقيقية ، من الناحية الرياضية يعتبر تحويل لورنتس بمثابة دوران في المكان الرباعي المتعامد وهو دوران بزاوية تخيلية . والتحويل المعاكس لـ ( 96 ) أي من الجملة s الى s' يعطى بمنقول المصفوفة Transpose Matrix .

$$\vec{A} = \begin{bmatrix} \frac{1}{\sqrt{1-\beta^2}} & 0 & 0 & \frac{-i\beta}{\sqrt{1-\beta^2}} \\ 0 & 1 & 0 & 0 \\ 0 & 0 & 1 & 0 \\ \frac{i\beta}{\sqrt{1-\beta^2}} & 0 & 0 & \frac{1}{\sqrt{1-\beta^2}} \end{bmatrix} \quad (5-97)$$

24 - 5 - تونسور الحقل الكهرومغناطيسي :

نعرف تونسور الحقل الكهرومغناطيسي  $F$  بالعلاقة :

$$F_{\mu\nu} = \frac{\partial A_\nu}{\partial x_\mu} - \frac{\partial A_\mu}{\partial x_\nu} \quad (5-98)$$

وبشكل متجهه بالعلاقة :  $\vec{F} = \vec{\square} \wedge \vec{R}$

حيث :

$$F_{11} = F_{22} = F_{33} = F_{44} = 0$$

$$F_{31} = -F_{13} = B_2, \quad F_{34} = -F_{43} = -iE_3/C, \quad F_{24} = -F_{42} = -i\frac{E_2}{C}$$

$$F_{23} = -F_{32} = B_1, \quad F_{12} = -F_{21} = B_3, \quad F_{14} = -F_{41} = -i\frac{E_1}{C}$$

ونكتب  $F$  بالتمثيل المصفوفي على الشكل :

$$\begin{bmatrix} 0 & B_3 & -B_2 & -i\frac{E_1}{C} \\ -B_3 & 0 & B_1 & -i\frac{E_2}{C} \\ B_2 & -B_1 & 0 & -i\frac{E_3}{C} \\ \frac{iE_1}{C} & \frac{iE_2}{C} & \frac{iE_3}{C} & 0 \end{bmatrix} \quad (5-99)$$

وتفرق تونصور الحقل الكهربي  $F$  يعطى بالعلاقة :

$$\begin{aligned} \sum_v \frac{\partial F_{\mu\nu}}{\partial x_\nu} &= \frac{\partial}{\partial x_\mu} \sum_v \frac{\partial A_\nu}{\partial x_\nu} - \frac{\partial^2 A_\nu}{\partial x_\nu^2} \\ \sum_v \frac{\partial F_{\mu\nu}}{\partial x_\nu} &= \mu_0 \vec{j}_\mu \end{aligned} \quad (5-100)$$

وهذه العلاقة تكتب بشكل متجهي على الشكل :

$$\vec{\square} \cdot \vec{F} = \mu_0 \vec{j} \quad (5-101)$$

يعبر المقدار  $\sum_v \frac{\partial^2 A_\nu}{\partial x_\nu^2}$  عن شرط لورنتس وهو يساوي المفسر

ويكتب اما بالصيغة السابقة أو على الشكل  $\vec{\square} \cdot \vec{A} = 0$  . تمثيل

المعادلة ( 101 ) المعادلتين التاليتين من معادلات ماكسويل :

$$\vec{\nabla} \wedge \vec{B} = \mu_0 \vec{j} + \frac{1}{C^2} \frac{\partial \vec{E}}{\partial t}$$

$$\vec{\nabla} \cdot \vec{E} = \frac{\rho}{\epsilon_0}$$

ومن المعادلة ( 98 ) يمكن استنتاج العلاقة التالية :

$$\frac{\partial F_{\mu\nu}}{\partial x_\lambda} + \frac{\partial F_{\nu\lambda}}{\partial x_\mu} + \frac{\partial F_{\lambda\mu}}{\partial x_\nu} = 0 \quad (5-102)$$

التي تمثل معادلتني ماكسويل التاليتين:

$$\vec{\nabla} \wedge \vec{E} = - \frac{\partial \vec{B}}{\partial t}$$

$$\vec{\nabla} \cdot \vec{B} = 0$$

حيث  $\mu$  و  $\nu$  و  $\lambda$  هي رموز مختلفة ترمز لاي ثلاثة من الادلة: 1, 2, 3, 4

### 25 - 5 - قانون تحويل الحقل الكهربيسي :

لقد سبق واستنتجنا هذه التحويلات بين  $\vec{E}$  و  $\vec{B}$  في كلا الجملتين المتمركة  $s'$  والساكنة  $s$  ونعيد صياغتها باستخدام تونسور الحقل الكهربيسي . بما أن الحقل الكهربيسي هو كمية تونسوريه في صيغة فراغ رباعي الابعاد فانه مركباته تتحول بشكل مشابه لمركبات تونسور من المرتبة الثانية لتحويلات لورنتس :

$$F'_{\mu\nu} = \sum_{\alpha} \sum_{\beta} a_{\mu\alpha} a_{\nu\beta} F_{\alpha\beta}$$

حيث  $F'_{\mu\nu}$  تمثل تونسور الحقل الكهربيسي في الجملة  $s'$  . اذا اعتبرنا أن الجملة  $s'$  تتحرك بسرعة منتظمة  $u$  في الاتجاه  $Ox$  بالنسبة للجملة  $s$  فان تحويلات لورنتس تعطى بالعلاقة ( 95 )، وهكذا فان :

$$B'_x = F'_{23} = \sum_{\alpha} \sum_{\beta} a_{2\alpha} a_{3\beta} F_{\alpha\beta}$$

$$= F_{23} = B_x \quad (5-103)$$

$$B'_y = F'_{31} = \sum_{\alpha} \sum_{\beta} a_{3\alpha} a_{1\beta} F_{\alpha\beta}$$

$$\begin{aligned}
&= \frac{1}{\sqrt{1-\beta^2}} F_{31} + i \frac{\beta}{\sqrt{1-\beta^2}} F_{34} \\
&= \frac{1}{\sqrt{1-\beta^2}} [B_Y + (\frac{\beta}{C}) E_Z] \quad (5-104)
\end{aligned}$$

وبشكل مماثل نجد:

$$B'_Z = \frac{1}{\sqrt{1-\beta^2}} [B_Z - (\frac{\beta}{C}) E_Y] \quad (5-105)$$

أما إذا كان المقصود هو الحقل الكهربائي فان :

$$\begin{aligned}
E'_X &= iCF'_{14} = iC \sum_{\alpha} \sum_{\beta} a_{1\alpha} a_{4\beta} F_{\alpha\beta} \\
&= iC \left[ \frac{-i\beta}{\sqrt{1-\beta^2}} F_{11} + \frac{1}{1-\beta^2} F_{14} + \frac{\beta^2}{1-\beta^2} F_{41} + \frac{i\beta}{1-\beta^2} F_{44} \right] \\
&= \frac{iC}{1-\beta^2} \left[ -i \frac{E_X}{C} + i\beta^2 \frac{E_X}{C} \right] = E_X \quad (5-106)
\end{aligned}$$

وأخيرا يمكن التأكد أن:

$$E'_Y = \frac{1}{\sqrt{1-\beta^2}} [E_Y - C\beta B_Z] \quad (5-107)$$

$$E'_Z = \frac{1}{\sqrt{1-\beta^2}} [E_Z + C\beta B_Y] \quad (5-108)$$

وهكذا فان مركبات  $\vec{E}$  و  $\vec{B}$  التي في اتجاه الحركة لاتتأثر بها على

حين أن المركبات العمودية عليها تتغير. ان النتائج السابقة يمكن

اختصارها على المعادلات التالية :

$$\left. \begin{aligned}
 \vec{E}'_{\parallel} &= \vec{E}_{\parallel} , & \vec{E}'_{\perp} &= \frac{1}{\sqrt{1-\beta^2}} [\vec{E}_{\perp} + \vec{u} \wedge \vec{B}] \\
 \vec{B}'_{\parallel} &= \vec{B}_{\parallel} , & \vec{B}'_{\perp} &= \frac{1}{\sqrt{1-\beta^2}} [\vec{B}_{\perp} - \frac{1}{c^2} \vec{u} \wedge \vec{E}]
 \end{aligned} \right\} (5-109)$$

$F =$  حيث الدليل  $\parallel$  يشير الى المركبات الموازية للسرعة  $\vec{u}$  والدليل  $\perp$

يشير الى المركبات العمودية عليها .

## تمارين محلولة

- ١ - يسافر رجل فضاء في مركبة فضائية تسير بسرعة  $0,5C$  بالنسبة للأرض . يقارن كل من رجل الفضاء ومراقب على الأرض طول تدريج متري عياري موجود لديه مع طول التدريج العياري الموجود لدى الآخر . وتتم القياسات بحيث أن طول التدريج المتري لدى كل من المراقبين يكون موازيا لسرعة المركبة ما هو الطول الذي يدعي به كل من المراقبين بأن طول التدريج المتري للمراقب الآخر هو أقصى ؟ يبلغ طول التدريج المتري  $1 \text{ m}$  عند كل من رجل الفضاء والمراقب على الأرض .  
المحل :

لدينا  $u = 0,5 C$  وتكون  $\gamma$  مساوية لـ :

$$\gamma = \frac{1}{\sqrt{1 - u^2/C^2}} = \frac{1}{\sqrt{1 - (0,5)^2}} = 1.155$$

ويظن كلا من المراقبين أن طول التدريج المتري المتمركز بالنسبة له أقصر من الطول المتري لديه بالمقدار :

$$\begin{aligned} \Delta L &= L' - L = L' - \frac{L'}{\gamma} = L' [1 - \gamma^{-1}] \\ &= 1 [1 - (1,155)^{-1}] = 13.4 \text{ cm} \end{aligned}$$

ويكون هذا المقدار مساويا  $\Delta L = 85,9 \text{ cm}$  عندما تبلغ سرعة المركبة  $u = 0,99C$  .

- تتحرك جملة عطالية  $S$  بسرعة  $u = 0,5 C$  وفق المميز المشترك  $x$  بالنسبة لجملة عطالية ساكنة  $s$  . توضع

ميكاتيتان في المبدأ الاحداثي لكل جملة وتضبطان على المفصل  
 عندما يكون المبدأين متطابقين . لوحظت اشارتين ضوئيتين  
 مترامنتين في الجملة s عند النقطة التي احداثياتها :

$$\text{وعند } (x_1, y_1, z_1, t_1) = (100\text{m}, 20\text{m}, 20\text{m}, 10^{-6}\text{sec})$$

النقطة  $(x_2, y_2, z_2, t_2) = (200\text{m}, 30\text{m}, 30\text{m}, 10^{-6}\text{sec})$  ، ما هي  
 احداثيات هاتين الاشارتين الضوئيتين كما تشاهد في الجملة s ؟  
 الحل :

باستخدام تحويلات لورنتس نجد أن احداثيات الاشارة الضوئية

الاولى هي :

$$x'_1 = \gamma(x_1 - ut_1)$$

$$= 1.115 [100 - (0,5) (3 \times 10^8) (10^{-6})] = -57,75 \text{ m}$$

$$y'_1 = y_1 = 20 \text{ m} \quad , \quad z'_1 = z_1 = 20 \text{ m}$$

$$t'_1 = \gamma(t_1 - \frac{ux_1}{c^2}) = 1.115 [(10^{-6}) - (0,5) (100) / (9 \times 10^{16})]$$

$$= 0,962 \text{ } \mu\text{sec}$$

وبشكل مشابه نجد أن احداثيات الاشارة الثانية هي :

$$x'_2 = 57.75 \text{ m} \quad , \quad y'_2 = 30 \text{ m} \quad , \quad z'_2 = 30 \text{ m}$$

$$t'_2 = 0.770 \text{ } \mu\text{sec}$$



وكما نلاحظ أن الحادثتين غير متزامنتين في الجملة  $s$  والحادثة الثانية  $(x_2, y_2, z_2)$  تكون قد لوحظت قبل الاولى بزمن قدره  $0,192 \mu s$ . ويلاحظ أيضا أن تمدد الزمن وأثر التواقت يساهمان في فقدان التزامن في الجملة  $s'$ .

أظهرت الدراسات الفلكية للضوء القادم من المجرات البعيدة عنا أن هذه المجرات تبعد عنا ولذلك فالكون يتمدد . وقد حددت سرعة أبعاد هذه المجرات انطلاقا من قياسات الانزياحات الدوبلرية للخطوط الطيفية للضوء القادم من هذه المجرات وقد وجد بشكل تقريبي أن العلاقة خطية بين سرعة ابتعاد مجرة ما وبين بعد المجرة  $d$  :  $u \cong Hd$

حيث  $H$  تسمى ثابتة هابل نسبة للعالم الفلكي Edwin Hubble وهذه الثابتة تساوي :  $L.Y$  حيث  $H \cong 2.3 \times 10^{-5} \text{ km/S.L.Y}$  سنة ضوئية وتساوي :  $9,46 \times 10^{15} \text{ m}$  وهي المسافة التي يقطعها الضوء في الخلاء في سنة واحدة . ففي الضوء القادم من المجرة البعيدة من كوكبة بوت Constellation Bootes لوحظ علامة طيفية بارزة عند طول الموجة  $4470 \text{ A}^\circ$  ( ضوء ذرات الكالسيوم ) وعند تحليل الضوء الصادر عن منبع مخبري ساكن وجد أن نفس العلامة لها طول موجة قدره  $3940 \text{ A}^\circ$  ، ما هي المسافة التي تفصل بيننا وبين المجرة في كوكبة بوت ؟  
الحل: يمكن حساب سرعة ابتعاد المجرة باستخدام العلاقة :

$$\frac{v}{v'} = \sqrt{\frac{1 - \beta}{1 + \beta}}$$

وبدلالة طول الموجة ، فان هذه العلاقة تساوي :

$$\frac{\lambda'}{\lambda} = \sqrt{\frac{1 - \beta}{1 + \beta}} = \frac{3950 \text{ \AA}^\circ}{4470 \text{ \AA}^\circ} = 0.881$$

وبحساب  $\beta$  نجد أنها يساوي :  $\beta = 0.126$  والسرعة تساوي  
الى :

$$u = \beta c = (0.126) \times (3 \times 10^8) = 3.78 \times 10^4 \text{ km/s}$$

وباستخدام قانون هابل نحصل على بعد المجرة عن الارض :

$$d = \frac{u}{H}$$

$$= \frac{3.78 \times 10^4 \text{ km/s}}{2.3 \times 10^{-5} \text{ km/S.L.Y}} = 1.6 \times 10^9 \text{ L.Y ( سنة ضوئية )}$$

وهناك مجرات تبتعد بسرعة أكبر من ابتعاد هذه المجرة فسي  
كوكبة بوت ، فالمجرة المعروفة بـ 3C 123 تملك قيمة  $\beta$   
مساوية الى 0,46 والاجرام التي لها مواصفات النجوم تملك  
انزياحا دوبلريا يوافق سرعة ابتعاد عنا تبلغ 91% من سرعة  
الضوء .

٤ - يتشكل الميون في الطبقات العليا من الغلاف الجوي ويتحرك بسرعة

$$u = 0.99c \text{ مسافة } 5 \text{ km قبل أن يتفكك ، احسب :}$$

١ - عمر الميون كما نقيسه نحن وعمره في الجملة المتحركة معه ؟

٢ - ماهي سماكة طبقة الغلاف الجوي الذي يجتازها الميون كما

نقيسها في الجملة المتحركة معه ؟

الـحل : عمر الميون كما نقيسه نحن يساوي :

$$\tau = \frac{5}{0.99 \times 3 \times 10^5} = 1583 \times 10^{-6} \text{ s}$$

أما عمر الميون في الجملة المتحركة فيساوي :

$$\begin{aligned} \tau_0 &= \tau \cdot \sqrt{1 - v^2/c^2} \\ &= 16.83 \times 10^{-6} \times \sqrt{1 - \left(\frac{0.99c}{c}\right)^2} \\ &= 2.37 \times 10^{-6} \text{ s} = 2.37 \mu\text{s} \end{aligned}$$

الطلب الثاني : سمك الغلاف الجوي الذي يجتازه الميون في

الجملة المتحركة يساوي :

$$2.37 \times 10^{-6} \times 0.99 \times 3 \times 10^5 = 0,7 \text{ km}$$

هـ - توضع في المرجع  $s'$  شحنتان تساوي كل منهما الى  $q$  على المحور

$o'y'$  الاولى توضع في المبدأ والثانية في النقطة  $Q$  التي

ترتيبها  $a$  . احسب بطرق مختلفة القوة  $\vec{F}$  التي تخضع لها الشحنة

في النقطة  $Q$  والتي يعيشها مراقب في  $s$  وذلك :

أ - بحساب  $\vec{F}'$  في المرجع العطالي  $s'$  وذلك باستخدام صيغ

تحويلات القوى .

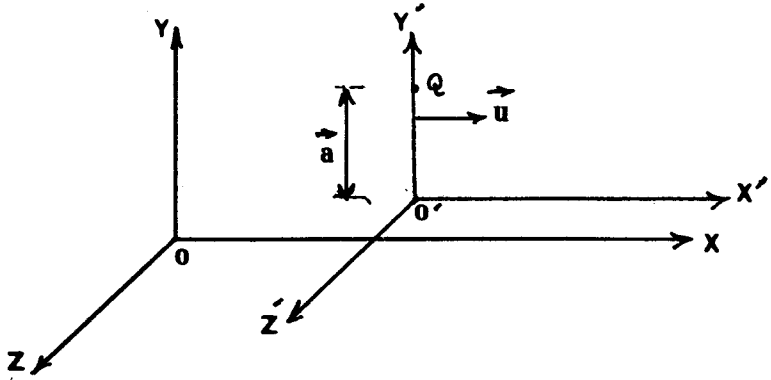
ب - بحساب المقل  $\vec{E}$  و  $\vec{B}$  في المرجع  $s$  في النقطة  $Q$  .

المحل:

أ - ان الشحنة تبدو ساكنة بالنسبة لمراقب في  $s$  ولذلك فان

القوة المؤثرة في النقطة  $Q$  تكون كهراكدية . ولحساب

القوى في الجملة  $s$  نطبق علاقات التحويل ( فنجد:



في الجملة  $S'$

$$\vec{F}' \begin{cases} F'_X = 0 \\ F'_Y = \frac{1}{4\pi\epsilon_0} \frac{q^2}{a^2} \\ F'_Z = 0 \end{cases}$$

في الجملة  $S$

$$F \begin{cases} F_X = F'_X = 0 \\ F_Y = \frac{1}{4\pi\epsilon_0} \frac{q^2}{a^2} \sqrt{1-u^2/C^2} \\ F_Z = 0 \end{cases}$$

ان طول القطعة  $O'Q$  هو  $a$  بالنسبة لمراقب ساكن في  $S$  وبالتسبة

لمراقب متحرك مع  $S'$  أيضا .

ب - ان الحقل الكهربائي في النقطة  $Q$  والمتولد من الشحنة  $q$

الموجودة في  $O'$  يزداد بالنسبة للحقل الكولوني بالمقدار

$$\text{ولذلك: } \frac{1}{\sqrt{1-u^2/C^2}}$$

$$\begin{cases} \vec{E}_Q = (0, E_Y, 0) \\ \vec{B} = \frac{\vec{u} \wedge \vec{E}}{C^2} = (0, 0, \frac{uE_Y}{C^2}) \end{cases}$$

$$E_Y = \frac{1}{4\pi\epsilon_0} \frac{q}{a^2} \frac{1}{\sqrt{1-u^2/C^2}}$$

والقوة تساوي :

$$\vec{F} = q(\vec{E} + \vec{u} \wedge \vec{B}) = (0, F_Y, 0)$$

حيث  $F_y$  تساوي :

$$F_y = \frac{1}{4\pi\epsilon_0} \frac{q^2}{a^2} \frac{1}{\sqrt{1-u^2/c^2}} (1-u^2/c^2) = \frac{1}{4\pi\epsilon_0} \frac{q^2}{a^2} \sqrt{1-u^2/c^2}$$

- ليكن في الجملة العطالية  $s$  ناقل اسطواني سطح قاعدته  $S$  وطوله  $L$  مملوء بالالكترونات الموزعة فيه بشكل متجانس ، ولتكن  $Q$  الشحنة الكلية فيه .

أ - ماهي كثافة الشحنة كما تبدو بالنسبة لمراقب في  $s'$  وفي  $s$  .

ب - يفرض أن المراقب في الجملة  $s$  يرى ناقل اسطواني  $(S, L)$  يحوي على شبكة من الايونات الموجبة ثابتة في مرجعه  $(\rho_+$  هي كثافة الشحنة ) كما يحوي على غاز الكتروني كثافته  $\rho_-$  وسرعته الجرية  $\vec{u}$  موازية لـ  $OX$  .

فاذا كان المراقب في  $s'$  يتحرك بسرعة  $u$  بالنسبة للمراقب الساكن أثبت أن الناقل الاسطواني يبدو بالنسبة للمراقب غير مشحون وبالنسبة للمراقب المتحرك مشحون ؟

المحل:

أ - المراقب المتحرك: يرى هذا المراقب أن كثافة الشحنة  $\rho_-'$  تساوي:

$$\rho_-' = - \frac{Q}{S' \cdot L'}$$

- المراقب الساكن : يرى بالنسبة له أن :  $s = s'$  و

$$L = L' \sqrt{1 - u^2/c^2}$$

وكثافة الشحنة  $\rho_-$  تساوي :

$$\rho_- = - \frac{Q}{L \cdot S} = \frac{\rho_-'}{\sqrt{1 - u^2/c^2}}$$

ب- في هذه الحالة يكون المراقب في  $S$  ساكناً بالنسبة لكثافة الشحنة الموجبة، بينما يكون المراقب المتحرك ساكناً بالنسبة للغاز الإلكتروني .

وتكون كثافة الشحنة  $\rho_+$ ,  $\rho_-$  بالنسبة للمراقبين مساوية :

- المراقب الساكن يجد أن الكثافة هي :

$$\rho_- = \frac{\rho'_-}{\sqrt{1 - u^2/c^2}} \quad , \quad \rho_+$$

- المراقب المتحرك يجد أن الكثافة هي :

$$\rho'_- \quad \text{و} \quad \rho'_+ = \frac{\rho_+}{\sqrt{1 - u^2/c^2}}$$

وبالنسبة للمراقب الساكن فإن الناقل غير مشحون ولذلك فإن:

$$\rho = \rho_+ + \rho_- = 0$$

أما بالنسبة للمراقب المتحرك فإن :

$$\rho' = \rho'_+ + \rho'_- = \rho_+ \frac{u^2/c^2}{\sqrt{1 - u^2/c^2}}$$

حيث أن :

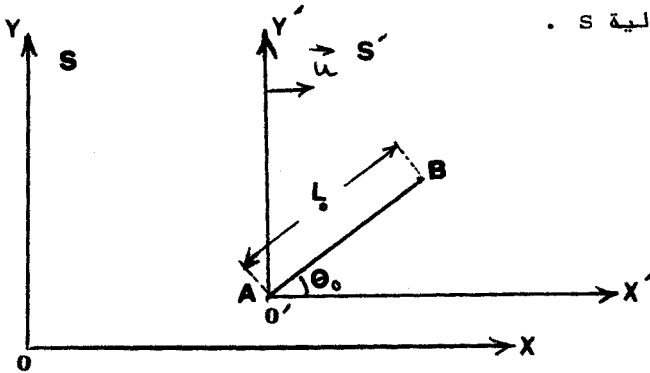
$$\rho'_- = \rho_- \sqrt{1 - u^2/c^2} = -\rho_+ \sqrt{1 - u^2/c^2}$$

## تمارين غير مطولة

١ - يسافر رجل فضاء في مركبة فضائية تسير بسرعة  $0.5c$  بالنسبة للارض . يقيس رجل الفضاء نبضات قلبه فيجدها بمعدل 75 نبضة في الدقيقة . تحول نبضات رجل الفضاء الى اشارات تبث الى الارض عندما تكون حركة المركبة عمودية على الخط الواصل بين المركبة ومراقب الارض . ما هو معدل النبضات الذي يقيسه المراقب على الارض ؟ كم يصبح هذا المعدل عندما تبلغ سرعة المركبة الفضائية  $0.99c$  ؟

الجواب :  $64,9 \text{ min}^{-1}$  ,  $10.6 \text{ min}^{-1}$

٢ - قضيب طوله  $l_0$  يقع في المستوى  $X'Y'$  لجملة عطالية  $S'$  ويضع زاوية  $\theta_0$  مع المحور  $X'$  كما هو مبين في الشكل ، فاذا كانت الجملة العطالية  $S'$  تتحرك بسرعة  $\vec{u}$  بالنسبة لجملة عطالية  $S$  وفق المحور  $X$  الذي يوازي المحور  $X'$  ، عيّن طول القضيب  $l$  والزاوية  $\theta$  التي يصنعها مع المحور  $X$  في الجملة العطالية  $S$  .



٣ - لوحظ وقوع حادثتين في الجملة العطالية S احداثياتهما  $(x_1, 0, 0, t_1)$  و  $(x_2, 0, 0, t_2)$  حيث  $x_1 > x_2$  و  $t_1 > t_2$  . جملة عطالية ثانية S' تتحرك بسرعة  $\vec{u}$  بالنسبة للجملة العطالية S ووفق المحور X . توضع ميفاتيتان في مبدأ كل جملة وتضبط كل منهما على الصفر عندما يكون المبدئان منطبقين على بعضهما والمطلوب :

أ - بين أن المراقب في الجملة S' سوف يحكم بأن الحادثتين تتمان في نفس النقطة من الفراغ إذا كانت السرعة u تساوي :

$$u = (x_1 - x_2) / (t_1 - t_2)$$

ب - إذا كانت السرعة u تساوي القيمة المبينة في الفقرة ( أ ) بين أن الفاصل الزمني  $t_1' - t_2'$  المقاس في الجملة S' يساوي :

$$t_1' - t_2' = \sqrt{(t_1 - t_2)^2 - (x_1 - x_2)^2 / c^2}$$

ج - إذا كان  $u < c$  بين بالاستفادة من الفقرة ( أ ) أنه لا يمكن أن يوجد مرجع S' تتطابق فيه الحادثتان إذا كان

$$c(t_1 - t_2) < (x_1 - x_2)$$

٤ - يبلغ الطول الخاص لقضيب Im ويمنع زاوية  $30^\circ$  مع المحور X في الجملة العطالية S' ، حيث يكون القضيب ساكنا فيها . تتحرك الجملة S' بسرعة ثابتة  $\vec{u}$  باتجاه المحور X بالنسبة للجملة ثابتة S موازية لها . يرى مراقب في الجملة S أن القضيب يمنع زاوية  $60^\circ$  مع المحور X في جملته . عين السرعة النسبية u للجملتين ؟ وما هو طول القضيب كما يقيسه المراقب في الجملة S ؟



الجواب:  $2.83 \times 10^8$  m/s ,  $0,577m$

٥ - بين أن المقدار  $x^2 - c^2t^2$  لا متغير عند تطبيق تحويلات لورنتس ( أي أن  $x'^2 - c^2t'^2 = x^2 - c^2t^2$  ) .

٦ - يبلغ الطول الموجي للخط H في طيف ذرة الهيدروجين  $A^\circ 6563$  ماهو الانزياح في الطول الموجي لهذا الخط الطيفي للضوء القادم من نجم ما في السماء يقترب منا بسرعة  $50 \text{ km/sec}$  ؟ هذا الخط في الواقع يشاهد في الضوء القادم من الشمس . فاذ كان الفرق بين الأطوال الموجية للخط الطيفي هذا للضوء الناجم عن ابتعاد واقتراب حواف القرص الشمسي مساويًا  $A^\circ 0.085$  احسب الزمن اللازم للشمس لاتمام دورة حول نفسها ملاحظة : اعتبر أن هذا الفرق يعود كلياً الى مفعول دوبلر ، نصف قطر الشمس يساوي  $6.9 \times 10^8$  m  
الجواب:  $A^\circ 1,09$  , 26 يوم

٧ - بين أنه إذا كان  $L_0^3$  هو حجم السكون لمكعب طول ضلعه L فان :  
 $L_0^3(1-\beta^2)^{\frac{3}{2}}$  هو الحجم الذي يقيسه مراقب في الجملة العطالية التي تتحرك بسرعة منتظمة وباتجاه يوازي أحد أضلع المكعب .

٨ - أثبت أنه إذا كان في الجملة  $S'$  :  $v'_y = c \sin \phi$  و  $v'_x = c \cos \phi$  فانه في الجملة S يكون:

$$v_x^2 + v_y^2 = c^2$$

حيث أن الجملة  $S'$  تتحرك بسرعة منتظمة  $u\vec{i}$  بالنسبة للجملة S

٩ - نطبق قوة  $\vec{F}$  بواسطة حقل كهربائي  $\vec{E}$  مناسب ثابتة في طوليتها ومنحاهما واتجاهها على الكترون كتلته السكونية  $m_0$  وشحنته e

فاذا كان الالكترون ساكنا في اللحظة  $t = 0$  أوجد:

١ - الزمن الذي تستغرقه القوة المطبقة على الالكترون حتى تصل

$$\text{سرعتها الى } aC = v.$$

٢ - المسافة التي يقطعها الالكترون خلال هذا الزمن؟ ما هي طاقتة

الكلية  $E$ ؟ وطاقته المركبة؟

تطبيق عددي:  $m_0 = 0.9 \times 10^{-30} \text{ kg}$ ,  $e = 1.6 \times 10^{-19} \text{ col}$ ,

$$|\vec{E}| = 10^4 \text{ v/m}, \quad a = 0,995$$

الجواب:  $455 \text{ m}$ ,  $5,11 \text{ Mev}$ ,  $4.6 \text{ Mev}$

١ - أثبت أن مؤثر دالامبير  $\frac{\partial^2}{\partial t^2} - \frac{1}{C^2} \nabla^2$  لا يتغير عند تطبيق تحويلات لورنتس عليه.

١- اثبت أن  $\vec{B} \cdot \vec{E}$  لا يتغير عند تطبيق تحويلات لورنتس.

١- برهن أن:  $(E^2/C^2) - B^2$  لا يتغير عند تطبيق تحويلات لورنتس عليه.

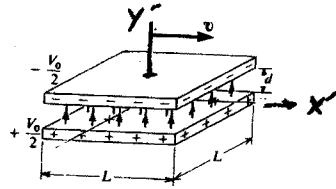
١- يتحرك مكثف مستوي بسرعة  $\vec{u}$  وفق الاتجاه  $x$  كما هو مبين في الشكل؟

١ - احسب الحقل الكهربائي  $\vec{E}$  وحقل التحريض المغناطيسي بالنسبة لمراقب ساكن.

٢ - تحقق أن كلا من  $E^2 - C^2 B^2$  و  $\vec{E} \cdot \vec{B}$  هو مقدار لا يتغير.

٣ - احسب الكمون الشعاعي  $\vec{A}$  ثم أوجد حقل التحريض المغناطيسي وذلك بالنسبة لمراقب ثابت.

٤ - برهن أن  $(V^2/C^2) - A^2$  هو مقدار لا يتغير.



١٤- اثبت أن الكتلة المجمية تتحول على النحو التالي :

$$\rho = \gamma^2 \left[ 1 + \frac{v_x u}{c^2} \right]^2 \cdot \rho'$$

و :

$$\rho' = \gamma^2 \left[ 1 - \frac{v_x u}{c^2} \right]^2 \cdot \rho$$

١٥- لدينا وشيعة حلزونية طولها لانهاى نصف قطرها R وتحوي على N لفة في المتر الواحد ، ويجتارها تيار شدته I . ان حقل التمريض المغناطيسي داخل هذه الوشيعة يساوي الى  $\mu_0 NI$  وينعدم خارجها .

أ - احسب الحقلين  $\vec{E}$  و  $\vec{B}$  داخل وخارج هذه الوشيعة كما يقسمها مرافب ساكن في الجملة s عندما تتمركز هذم الوشيعة بسرعة  $\vec{u}$  في اتجاه عمودي على محورها . بفرض أن المحور z' هو محور الوشيعة وأن  $\vec{u} = u\vec{i}$  .  
 ب - برهن أنه في الجملة العطالية المتعلقة بالوشيعة أن الكمون الشعاعي :

$$\vec{A}' = - \frac{B'}{2} y' \vec{i} + \frac{B'}{2} x' \vec{j}$$

يعطي تحريضا منتظما  $\vec{B}'$  في الاتجاه الموجب للمحور z .

ج - احسب  $\vec{A}$  و  $\vec{V}$  ثم  $\vec{E}$  و  $\vec{B}$  داخل الوشيعة وذلك بالنسبة لمراقب ساكن في الجملة s .

ملحق ( ١ )

نورد في هذا الملحق صيغ معادلات ماكسويل ومعادلات الكمونات

الكهرطيسية المعتمدة في جميع جمل الوحدات المستخدمة وذلك

انطلاقا من المعادلات  $\epsilon_0, \mu_0, k$  , وسرعة الضوء  $c$  حيث :

$$\epsilon_0 \mu_0 c^2 = k^2$$

في الجملة الدولية :

$$k = 1 , \quad 4\pi\epsilon_0 = \frac{1}{9.10^9} , \quad \frac{\mu_0}{4\pi} = 10^{-7}$$

في الجملة الغوصية ( الوحدات الكهربائية للجملة السغنية الكهراكية

+e.s.u والوحدات المغناطيسية للجملة السغنية الكهرطيسية e.m.u ) :

$$k = c , \quad 4\pi\epsilon_0 = 1 , \quad \frac{\mu_0}{4\pi} = 1$$

- قوة لورنتس :

$$\vec{F} = q\vec{E} + \frac{1}{k} q\vec{v} \wedge \vec{B}$$

- معادلات ماكسويل :

$$\left. \begin{array}{l} \vec{E} = -\text{grad}\varphi - \frac{1}{k} \frac{\partial \vec{A}}{\partial t} \\ \vec{B} = \text{rot} \vec{A} \end{array} \right\} \begin{array}{l} \text{rot} \vec{E} + \frac{1}{k} \frac{\partial \vec{B}}{\partial t} = 0 \\ \text{div} \vec{B} = 0 \end{array} \quad (1)$$

الحل العام لهما

$$\left. \begin{array}{l} \text{rot} \vec{B} = \frac{\mu_0}{k} \vec{j} + \frac{\epsilon_0 \mu_0}{k} \frac{\partial \vec{E}}{\partial t} \\ \text{div} \vec{E} = \frac{\rho}{\epsilon_0} \end{array} \right\} (2)$$

- شرط لورنتس أو معيار لورنتس :

$$\text{div} \vec{A} + \frac{\epsilon_0 \mu_0}{k} \frac{\partial \varphi}{\partial t} = 0$$

- معادلات انتشار الكمونين السلمى  $\vec{A}$  والتمجهي :

$$\nabla^2 \vec{A} - \frac{\epsilon_0 \mu_0}{k^2} \frac{\partial^2 \vec{A}}{\partial t^2} = - \frac{\mu_0}{k} \vec{j}$$

$$\nabla^2 \phi - \frac{\epsilon_0 \mu_0}{k^2} \frac{\partial^2 \phi}{\partial t^2} = - \frac{\rho}{\epsilon_0}$$

- الكمونات المتأخرة (ملول معادلات انتشار الكمونات الكهريسية) :

$$\vec{A}(t, \vec{r}) = \frac{\mu_0}{4\pi k} \iiint \frac{\vec{j}(t - r/c)}{r} d\tau$$

$$\phi(t, \vec{r}) = \frac{1}{4\pi \epsilon_0} \iiint \frac{\rho(t - r/c)}{r} d\tau$$

ملحوظة ( ٢ )

المؤثرات التفاضلية في جمل الاحداثيات لديكارتية، الاسطوانية والكروية

١ - الاحداثيات الديكارتية:

$$\text{التدرج } \vec{\text{grad}} U = \frac{\partial U}{\partial x} \vec{i} + \frac{\partial U}{\partial y} \vec{j} + \frac{\partial U}{\partial z} \vec{k}$$

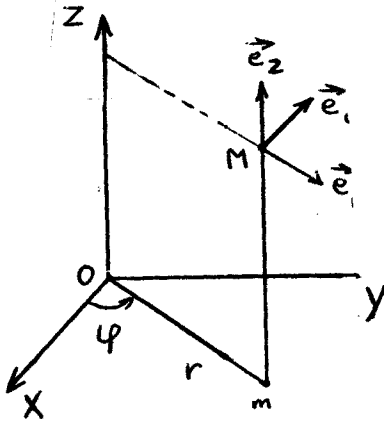
$$\text{التفرق } \text{div } \vec{A} = \frac{\partial A_x}{\partial x} + \frac{\partial A_y}{\partial y} + \frac{\partial A_z}{\partial z}$$

$$\text{الدوار } \vec{\text{rot}} \vec{A} = \left( \frac{\partial A_z}{\partial y} - \frac{\partial A_y}{\partial z} \right) \vec{i} + \left( \frac{\partial A_x}{\partial z} - \frac{\partial A_z}{\partial x} \right) \vec{j} \\ + \left( \frac{\partial A_y}{\partial x} - \frac{\partial A_x}{\partial y} \right) \vec{k}$$

$$\text{لابلاسيان } \nabla^2 U = \frac{\partial^2 U}{\partial x^2} + \frac{\partial^2 U}{\partial y^2} + \frac{\partial^2 U}{\partial z^2}$$

$$\text{لابلاسيان } \nabla^2 \vec{A} = (\nabla^2 A_x) \vec{i} + (\nabla^2 A_y) \vec{j} + (\nabla^2 A_z) \vec{k}$$

حيث :  $\vec{A} = \vec{A}(A_x, A_y, A_z)$  ,  $U = U(x, y, z)$



٢ - الاحداثيات الاسطوانية:

$$\varphi = \varphi(r, \varphi, z)$$

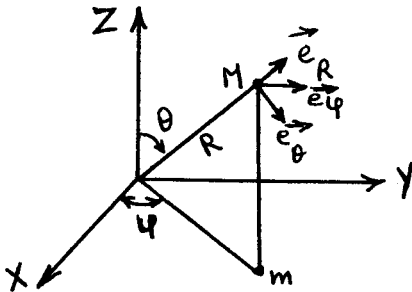
$$\vec{A} = \vec{A}(A_r, A_\varphi, A_z)$$

$$\vec{\text{grad}} U = \frac{\partial U}{\partial r} \vec{e}_r + \frac{1}{r} \frac{\partial U}{\partial \varphi} \vec{e}_\varphi + \frac{\partial U}{\partial z} \vec{e}_z$$

$$\text{div } \vec{A} = \frac{1}{r} \frac{\partial}{\partial r} (rA_r) + \frac{1}{r} \frac{\partial A_\varphi}{\partial \varphi} + \frac{\partial A_z}{\partial z}$$

$$\begin{aligned} \vec{\text{rot}} \vec{A} = & \left( \frac{1}{r} \frac{\partial A_z}{\partial \varphi} - \frac{\partial A_\varphi}{\partial z} \right) \vec{e}_r + \left( \frac{\partial A_r}{\partial z} - \frac{\partial A_z}{\partial r} \right) \vec{e}_\varphi \\ & + \left( \frac{1}{r} \frac{\partial (rA_\varphi)}{\partial r} - \frac{1}{r} \frac{\partial A_r}{\partial \varphi} \right) \vec{e}_z \end{aligned}$$

$$\nabla^2 U = \frac{1}{r} \frac{\partial}{\partial r} \left( r \frac{\partial U}{\partial r} \right) + \frac{1}{r^2} \frac{\partial^2 U}{\partial \varphi^2} + \frac{\partial^2 U}{\partial z^2}$$



٢ - الاحداثيات الكروية:

$$\vec{A} = \vec{A}(A_R, A_\varphi, A_\theta), \quad V = V(R, \varphi, \theta)$$

$$\vec{\text{grad}} U = \frac{\partial U}{\partial R} \vec{e}_R + \frac{1}{R \sin \theta} \frac{\partial U}{\partial \varphi} \vec{e}_\varphi + \frac{1}{R} \frac{\partial U}{\partial \theta} \vec{e}_\theta$$

$$\begin{aligned} \text{div } \vec{A} = & \frac{1}{R^2} \frac{\partial}{\partial R} (R^2 A_R) + \frac{1}{R \sin \theta} \frac{\partial}{\partial \varphi} (A_\varphi \sin \theta) \\ & + \frac{1}{R \sin \theta} \frac{\partial R_\varphi}{\partial \varphi} \end{aligned}$$

$$\begin{aligned}
 \overrightarrow{\text{rot}} \vec{A} &= \left\{ \frac{1}{R \sin \theta} \left( \frac{\partial}{\partial \theta} (A_{\varphi} \sin \theta) - \frac{\partial A_{\theta}}{\partial \varphi} \right) \right\} \vec{e}_R \\
 &+ \left\{ \frac{1}{R \sin \theta} \frac{\partial A_R}{\partial \varphi} - \frac{1}{R} \frac{\partial}{\partial R} (R A_{\varphi}) \right\} \vec{e}_{\varphi} \\
 &+ \left\{ \frac{1}{R} \left[ \frac{\partial}{\partial R} (R A_{\theta}) - \frac{\partial A_R}{\partial \theta} \right] \right\} \vec{e}_{\theta}
 \end{aligned}$$

$$\begin{aligned}
 \nabla^2 U &= \frac{1}{R^2} \frac{\partial}{\partial R} \left( R^2 \frac{\partial U}{\partial R} \right) + \frac{1}{R^2 \sin \theta} \frac{\partial}{\partial \theta} \left( \sin \theta \frac{\partial U}{\partial \theta} \right) \\
 &+ \frac{1}{R^2 \sin^2 \theta} \frac{\partial^2 U}{\partial \varphi^2}
 \end{aligned}$$



ملحق ( ٣ )

الصيغ الشعاعية المستخدمة في اشتقاق معادلات الحقل الكهروستاتيكي

$$1) \vec{a} \cdot (\vec{b} \wedge \vec{c}) = \vec{b} \cdot (\vec{c} \wedge \vec{a}) = \vec{c} \cdot (\vec{a} \wedge \vec{b})$$

$$2) \vec{a} \wedge (\vec{b} \wedge \vec{c}) = (\vec{a} \cdot \vec{c}) \vec{b} - (\vec{a} \cdot \vec{b}) \vec{c}$$

$$3) (\vec{a} \wedge \vec{b}) \cdot (\vec{c} \wedge \vec{d}) = (\vec{a} \cdot \vec{c})(\vec{b} \cdot \vec{d}) - (\vec{a} \cdot \vec{d})(\vec{b} \cdot \vec{c})$$

$$4) \vec{\nabla} \wedge \vec{\nabla} \psi = 0$$

$$5) \vec{\nabla} \cdot (\vec{\nabla} \wedge \vec{a}) = 0$$

$$6) \vec{\nabla} \wedge (\vec{\nabla} \wedge \vec{a}) = \vec{\nabla}(\vec{\nabla} \cdot \vec{a}) - \nabla^2 \vec{a}$$

$$7) \vec{\nabla} \cdot (\psi \vec{a}) = \vec{a} \cdot \vec{\nabla} \psi + \psi \vec{\nabla} \cdot \vec{a}$$

$$8) \vec{\nabla} \wedge (\psi \vec{a}) = \vec{\nabla} \psi \wedge \vec{a} + \psi \vec{\nabla} \wedge \vec{a}$$

$$9) \vec{\nabla}(\vec{a} \cdot \vec{b}) = (\vec{a} \cdot \vec{\nabla}) \vec{b} + (\vec{b} \cdot \vec{\nabla}) \vec{a} + \vec{a} \wedge (\vec{\nabla} \wedge \vec{b}) + \vec{b} \wedge (\vec{\nabla} \wedge \vec{a})$$

$$10) \vec{\nabla} \cdot (\vec{a} \wedge \vec{b}) = \vec{b} \cdot (\vec{\nabla} \wedge \vec{a}) - \vec{a} \cdot (\vec{\nabla} \wedge \vec{b})$$

$$11) \vec{\nabla} \wedge (\vec{a} \wedge \vec{b}) = \vec{a}(\vec{\nabla} \cdot \vec{b}) - \vec{b}(\vec{\nabla} \cdot \vec{a}) + (\vec{b} \cdot \vec{\nabla}) \vec{a} - (\vec{a} \cdot \vec{\nabla}) \vec{b}$$

$$12) \vec{\nabla} \cdot \vec{r} = 3$$

$$13) \vec{\nabla} \wedge \vec{r} = 0$$

$$14) (\vec{a} \cdot \vec{\nabla}) \vec{r} = \vec{a}$$

### نظريات التكاملات الشعاعية

$$a) \int_S (\vec{\nabla} \wedge \vec{a}) d\vec{s} = \oint_C \vec{a} \cdot d\vec{\ell}$$

نظرية ستوكس

$$b) \int_S \vec{n} \wedge \vec{\nabla} \psi ds = \oint_C \psi \cdot d\vec{\ell}$$

نظرية التفريق أو نظرية غوس - استراغرادسكي

$$c) \oint_S \vec{a} \cdot d\vec{s} = \int_V \vec{\nabla} \cdot \vec{a} dv$$

$$d) \int_V (\phi \nabla^2 \psi - \psi \nabla^2 \phi) dv = \oint_S (\phi \vec{\nabla} \psi - \psi \vec{\nabla} \phi) \cdot d\vec{s} \quad \text{نظرية غرين}$$

ملحق ( ٤ )

حلول معادلات الكمون السلمي والمتجه:

وجدنا أن معادلة الكمون السلمي  $\phi$  هي :

$$\nabla^2 \phi - \frac{1}{c^2} \frac{\partial^2 \phi}{\partial t^2} = - \frac{\rho}{\epsilon_0}$$

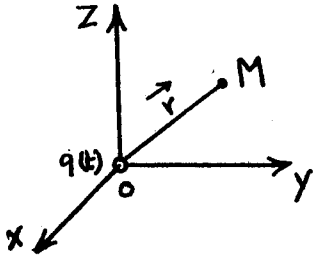
لحل هذه المعادلة نلجأ الى حلها بدون طرف ثان ثم نكتب الحل العمومي مع الطرف الثاني .

١ - حل معادلة الكمون بدون طرف ثان:

لنعتبر شحنة نقطية  $q(t)$  متغيرة مع الزمن وموضوعة في

مبدأ الاحداثيات كما في الشكل (1)، نبحث عن حل للمعادلة:

$$\nabla^2 \phi - \frac{1}{c^2} \frac{\partial^2 \phi}{\partial t^2} = 0 \quad (1)$$



الشكل ( 1 )

يكون ذو تناظر كروي : في لحظة ما فان الكمون  $\phi$  له نفس القيمة في كل نقاط الكرة التي نصف قطرها  $r$  ومركزها الشحنة  $q(t)$  والكمون في هذه الحالة لايتعلق

باحداثيات النقطة  $M$  :  $(\phi, \theta)$  وانما

فقط بـ  $r$  ويكون مشتق  $\phi$  بالنسبة لـ  $\theta$  و  $\phi$  معدومين واللابلاسي

يكتب عندئذ بالشكل :

$$\nabla^2 \phi = \frac{1}{r} \frac{\partial^2 (r\phi)}{\partial r^2}$$

إذا ضربنا ( 1 ) بـ  $r$  (  $r \neq 0$  ) نحصل على :

$$\frac{\partial^2 (rv)}{\partial r^2} - \frac{1}{c^2} \frac{\partial^2 (rv)}{\partial t^2} = 0 \quad (2)$$

وهذه ليست إلا معادلة انتشار موجة لها الشكل المعروف :

$$\frac{\partial^2 \psi}{\partial r^2} - \frac{1}{c^2} \frac{\partial^2 \psi}{\partial t^2} = 0 \quad (3)$$

حيث :

$$\Psi(r, t) = r \cdot \varphi(r, t)$$

كل تابع مستمر وقابل للاشتقاق مرتين من الشكل :

$$\Psi_1(r, t) = \psi_1(r - Ct)$$

يعتبر حلا للمعادلة ( 3 ) .

يمكن البرهان أيضا على أن التابع  $\Psi_2(r + Ct)$  هو حلا للمعادلة

بمثل حلا لـ ( 3 ) ولذلك فإن الحل العام يكتب على الشكل :

$$\Psi(r, t) = \psi_1(r - Ct) + \psi_2(r + Ct)$$

حيث يمثل التابع  $\psi_2(r + Ct)$  موجة تنتشر باتجاه النقطة 0

أما التابع  $\psi_1(r - Ct)$  فيعبر عن موجة تنتشر الى خارج الشحنة

وسوف نعتبر التابع الاخير أي :

$$\psi_1(r, t) = \psi_1(r - Ct)$$

وإذا كان  $\psi$  تابعا لـ  $r - Ct$  فإنه يكون كذلك تابعا لـ  $t - \frac{r}{C}$

ولذلك فإن تابع الكمون يكتب على الشكل :

$$\varphi(r, t) = \frac{1}{r} \cdot \psi(r, t) = \frac{1}{r} f\left(t - \frac{r}{C}\right) \quad (4)$$

حيث  $f$  تابع وسيط .

من جهة أخرى يعطى الكمون السلمي الناتج عن شحنة ما بالعلاقة :

$$\varphi(r, t) = \frac{1}{4\pi\epsilon_0} \frac{q(t)}{r} \quad (5)$$

والكمون السلمي في النقطة M يساوي :

$$\varphi(r, t) = \frac{1}{r} f\left(t - \frac{r}{C}\right) \sim \frac{1}{r} f(t) \quad (6)$$

حيث اعتبرنا أن  $\frac{r}{C}$  مقدار ضئيل . وبمقارنة ( 5 ) مع ( 6 ) نجد أن التابع f يساوي  $\frac{q}{4\pi\epsilon_0}$  والحل النهائي للمعادلة (1) يكون من الشكل :

$$\varphi(r, t) = \frac{1}{4\pi\epsilon_0} \frac{q(t - r/C)}{r} \quad (7)$$

وهو الكمون الذي يحقق المعادلة ( 1 ) والناتج بجوار الشحنة q ويدعى بالكمون المتأخر لان انتقال الكمون من q الى نقطة ما مثل M تبعد عن q بالمسافة r يستغرق زمنا يساوي  $\frac{r}{C}$  .

٢ - حساب  $\vec{A}(\vec{r}, t)$  الناجم عن عنصر تيار :

لنبحث بنفس الاسلوب عن الكمون المتجه الناجم عن عنصر

تيار متغير موضوع في المبدأ .

ان معادلة انتشار الكمون المتجه كما وجدنا هي :

$$\nabla^2 \vec{A} - \frac{1}{C^2} \frac{\partial^2 \vec{A}}{\partial t^2} = - \mu_0 \vec{J}(t)$$

ومركبات هذه المعادلة هي :

$$\nabla^2 A_x - \frac{1}{C^2} \frac{\partial^2 A_x}{\partial t^2} = - \mu_0 \vec{J}_x(t)$$

$$\nabla^2 A_y - \frac{1}{C^2} \frac{\partial^2 A_y}{\partial t^2} = - \mu_0 \vec{J}_y(t) \quad (8)$$

$$\nabla^2 A_z - \frac{1}{C^2} \frac{\partial^2 A_z}{\partial t^2} = - \mu_0 \vec{J}_z(t)$$

لنعتبر أن في مبدأ الأحداثيات عنصر حجم  $d\tau$  يحوي كثافة تيار  $\vec{j}(t)$  متغيرة مع الزمن . ان معادلة انتشار المركبة  $A_x$  تشابه تماما معادلة انتشار الكمون  $\phi$  ولذلك فان حل هذه المعادلة يشابه حل معادلة الكمون  $\phi$  . اذا لم يتغير  $j_x$  مع الزمن فان المركبة  $dA_x$  للكمون المتجه تساوي :

$$dA_x = \frac{\mu_0}{4\pi} \frac{j_x d\tau}{r}$$

في اللحظة  $t$  وفي نقطة ما  $M$  تبعد عن المبدأ مسافة  $r$  لانرى في هذه اللحظة  $j_x$  وانما نرى كثافة التيار  $(j_x(t - \frac{r}{C}))$  في لحظة متأخرة  $(t - \frac{r}{C})$  لانه يلزم زمن مقداره  $\frac{r}{C}$  لانتشار الكمون من  $O$  الى  $M$  . وبناء على ماتقدم فان حلول المعادلات (8) هي :

$$dA_x(r, t) = \frac{\mu_0}{4\pi} \frac{j_x(t - r/C) d\tau}{r}$$

$$dA_y(r, t) = \frac{\mu_0}{4\pi} \frac{j_y(t - r/C) d\tau}{r} \quad (9)$$

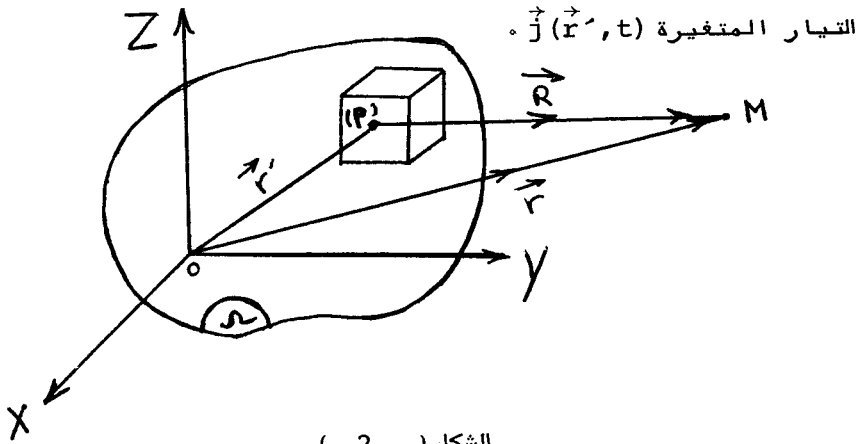
$$dA_z(r, t) = \frac{\mu_0}{4\pi} \frac{j_z(t - r/C) d\tau}{r}$$

والحل يكتب بشكل منجه على الشكل :

$$d\vec{A}(\vec{r}, t) = \frac{\mu_0}{4\pi} \frac{\vec{j}(t - r/C) d\tau}{r}$$

٣ - حساب  $\vec{A}$  و  $\phi$  عند توزيع الشحنات والتيارات ( الحل العام):

يمكن أن نحل الآن المعادلات العامة التي تتواجد فيها كثافة التيار  $\vec{j}(t)$  وكثافة الشحنات  $\rho(t)$  في حجم  $\Omega$  محدود كما في الشكل (2) في النقطة  $p$  التي تبعد عن  $O$  بالمسافة  $r'$  يكون الحجم العنصري  $d\tau$  الذي يحوي الشحنة المتغيرة  $\rho(\vec{r}', t)$  هو مكان تتواجد كثافة



الشكل ( 2 )

ان مساهمة  $d\tau$  في الكمون  $\phi(\vec{r}, t)$  و  $\vec{A}(\vec{r}, t)$  هو:

$$d\phi(\vec{r}, t) = \frac{1}{4\pi\epsilon_0} \frac{\rho(\vec{r}', t - R/C)}{R} \quad (10)$$

$$d\vec{A}(\vec{r}, t) = \frac{\mu_0}{4\pi} \frac{\vec{j}(\vec{r}', t - R/C) d\tau}{R}$$

حيث  $R$  هي المسافة بين  $M$  و  $p$  . اذا جمعنا مساهمات كل عناصر الحجم مثل  $d\tau$  نحصل على الحل العام للكمونات المتأخرة في النقطة  $M$ :

$$\varphi(\vec{r}, t) = \frac{1}{4\pi\epsilon_0} \int_{\Omega} \frac{\rho(\vec{r}', t - R/C) d\tau}{R} \quad (11)$$

$$\vec{A}(\vec{r}, t) = \frac{\mu_0}{4\pi} \int_{\Omega} \frac{\vec{j}(\vec{r}', t - R/C) d\tau}{R}$$

وهو الحل العام لمعادلات الكمونين السلمي والشعاعي .



## المراجع الأجنبية

- 1- Bertin, M. Faroux, J.P, Renault, J.Électromagnetisme II, Equations de Maxwell et Relativité, France, 1979.
- 2- Bansilal, Mathematical Theory of Electromagnetisme India, 1965.
- 3- Gerl. M. Janot, C. I.Relativité Electromagnétisme. France, 1970.
- 4- Jordan, E.C, Balmain K.G, Electromagnetic Waves and Radiating Systems, U.S.A. 1968.
- 5- Jackson, J.D, Classical Electrodynamcis, Second Edition, U.S.A. 1975.
- 6- Kittel, C., Knight, W.D,Ruderman,M.A,Mechanics, Berkeley Physics course, Volume 1, U.S.A. 1965.
- 7- Lorrain, P., Corson, D.R., Champs et ondes Electromagnétiques, France, 1979.
- 8- Marion, J.B, Hornyak, W.F., Physics For Science and Engineering, U.S.A. 1982.

- 9- Pain, H.J. The Physics of Vibrations and Waves.  
England, 1981.
- 10- Reitz, J.R, Milford, F.J,Christy R.W,Foundations  
of Electromagnetic Theory, Canada, 1979.
- 11- Stratton J.A., Electromagnetic Theory, U.S.A.,  
1941.
- 12- Samuel, S., Poularikas, A.D., Electromagnetics,  
Classical and Modern Theory and Applications ,  
U.S.A., 1979.
- 13- Whitmer, R.M., Electromagnetics, U.S.A. 1963.

## المراجع العربية

- ١ - اينشتاين البرت ، انفلد ليوبولد ، تطور الافكار في الفيزياء  
ترجمة الدكتور أدهم السمان ، منشورات وزارة الثقافة دمشق 1986 .
- ٢ - أبو عسلي الياس ، الالكتروديناميك ، منشورات جامعة دمشق ، 1982 .
- ٣ - العبد الله رياض ، الكهرطيسية ، منشورات جامعة البعث ، 1982 .
- ٤ - بول كوديراك ، النسبية ، ترجمة مصطفى الرقى ، منشورات عويدات  
لبنان ، 1971 .
- ٥ - فرانسيس ا . جينكينز ، هارفي . هارفي . هارفي ، أساسيات البصريات  
ترجمة : د . أحمد الشاذلي عبد الفتاح ، الجزيري سعيد بسيوني ،  
القاهرة ، 1981 .
- ٦ - فاينمان ريتشارد . ب ، محاضرات فاينمان في الفيزياء ، الميكانيك  
الجزء الاول ، ترجمة فحة من اساتذة جامعة دمشق ، 1974 .
- ٧ - كينيث وفورد - الفيزياء الكلاسيكية والحديثة المجلد الثالث ، ترجمة  
د . عمر حسن الشيخ ، د . عيسى سليم شاهين ، منشورات مجمع اللغة العربية  
الاردني ، 1985 .
- ٨ - كومبانيتس ، آ ، الفيزياء النظرية الجزء الاول ، ترجمة : د . طاهر  
الترابدار وآخرون ، مطبوعات وزارة التعليم العالي ، 1969 .
- ٩ - مراد عبدو ، الاهتزازات والامواج (٢) ، منشورات جامعة حلب 1983 .  
الاطياف والفيزياء الذرية ، منشورات جامعة حلب ، 1982 .

المصطلحات العلمية  
انكليزي - عربي

- A -

|                       |                 |
|-----------------------|-----------------|
| Absorption            | امتصاص          |
| Amplitude             | سعة             |
| Angle                 | زاوية           |
| Phase Angle           | زاوية الطور     |
| Angle of incidence    | زاوية الورود    |
| Angle of polarization | زاوية الاستقطاب |
| Angle of reflection   | زاوية الانعكاس  |
| Angle of refraction   | زاوية الانكسار  |
| Complex Angle         | زاوية عقدية     |
| Average life time     | متوسط العمر     |
| Accelerator           | مسرع            |
| Linear Accelerator    | مسرع خطي        |
| Aberration of light   | الزيغ الضوئي    |
| Ampère's law          | قانون أمبير     |

- B -

|                     |                     |
|---------------------|---------------------|
| Boundary conditions | الشروط الحدية       |
| Brewster's angle    | زاوية بروستر        |
| Biaxial crystal     | بلورة ثنائية المحور |
| Birefrigence        | انكسار مضاعف        |

Brilliance

سطوع

- C -

Causality

سببية

Charge

شحنة

Conservation of Charge

انحفاظ الشحنة

Charge density

كثافة الشحنة

Charged particle

جسيم مشحون

Coaxial line

خط محوري

Conductive medium

وسط ناقل

Contraction of length

تقلص الطول

Conductor

ناقل

Crystal

بلورة

Crystalline media

وسط بلوري

Current

تيار

Conduction current

تيار الناقلية

Displacement current

تيار الانزياح

Induced current

تيار متحرض

Current density

كثافة التيار

Cyclotron frequency

تردد السيكلوترون

Frequency

تردد

Cylindrical waves

أمواج اسطوانية

- D -

Depth of penetration

عمق التوغل

|                         |                    |
|-------------------------|--------------------|
| Dielectric              | عازل               |
| Dielectric permittivity | سماحية العازل      |
| Dipole                  | ثنائي أقطاب        |
| Electric Dipole         | ثنائي قطب كهربائي  |
| Magnetic Dipole         | ثنائي قطب مغناطيسي |
| Divergence              | تفرق               |
| Dot product             | جداء داخلي         |
| Dipole moment           | عزم ثنائي الاقطاب  |

- E -

|                        |                    |
|------------------------|--------------------|
| Electric flux          | تدفق كهربائي       |
| Electric field         | حقل كهربائي        |
| Electric force         | قوة كهربائية       |
| Electromagnetic theory | النظرية الكهرطيسية |
| Energy                 | طاقة               |
| Energy electrostatic   | طاقة كهراستاتيكية  |
| Kinetic Energy         | طاقة حركية         |
| Equiphase surface      | سطوح تساوي الطور   |
| Extraordinary wave     | موجة شاذة أو غريبة |
| Potential energy       | طاقة كمونية        |
| Electromagnetic field  | الحقل الكهرطيسي    |

- F -

|                  |               |
|------------------|---------------|
| Faraday's law    | قانون فاراداي |
| Faraday rotation | دوران فاراداي |

|                          |                     |
|--------------------------|---------------------|
| Sources of field         | منابع الحقل         |
| Irrotational field       | حقل غير دوار        |
| Field                    | حقل                 |
| Conservative field       | حقل محفوظ           |
| Induction field          | حقل متحرض           |
| Scalar field             | حقل سلمي            |
| Field equations          | معادلات الحقل       |
| Electric field           | حقل كهربائي         |
| Magnetic field           | حقل مغناطيسي        |
| Four vectors             | المتجهات الرباعية   |
| Fresnel coefficients     | معاملات فرنل        |
| Free charges             | شحنات حرة           |
| Frequency                | تردد                |
| Plasma frequency         | تردد البلازما       |
| - G -                    |                     |
| Galileian relativity     | نسبية غاليليه       |
| Galileian transformation | تحويل غاليليه       |
| Gauss's law              | قانون غوص           |
| Gauss's theorem          | نظرية غوص           |
| Lorentz Gauge            | معيار لورنتس        |
| Gauge transformations    | التحويلات المعيارية |
| Gradian                  | تدرج                |

|                           |                      |
|---------------------------|----------------------|
| Gradian of electric field | تدرج الحقل الكهربائي |
| Group velocity            | السرعة المجموعية     |
| Guided waves              | الامواج الموجهة      |
| Guide wave length         | طول موجة الدليل      |

- H -

|                       |                    |
|-----------------------|--------------------|
| Hagen-Rubens relation | ألاقة هاجن - روبنز |
| Harmonic oscillator   | هزاز توافقي        |
| Homogeneous           | متجانس             |

- I -

|                         |                       |
|-------------------------|-----------------------|
| Impedance               | ممانعة                |
| Free space Impedance    | ممانعة الخلاء         |
| Index of refraction     | قرينة الانكسار        |
| Inductance              | التحريض               |
| Ionized gas             | غاز متأين             |
| Ionosphere              | الايونوسفير           |
| Ionization density      | كثافة التأين          |
| Ionospheric propagation | الانتشار الايونوسفيري |
| Interference            | تداخل                 |
| Insulator               | عازل                  |

- L -

|                |            |
|----------------|------------|
| Laplacian      | اللابلاسي  |
| Lenz's law     | قانون لنز  |
| Lines of force | خطوط القوة |



|                   |            |
|-------------------|------------|
| Local field       | حقل موضعي  |
| Longitudinal wave | موجة طولية |
| Loop              | عروة       |

- M -

|                                 |                             |
|---------------------------------|-----------------------------|
| Magnetic force                  | القوة المغناطيسية           |
| Magnetic flux                   | التدفق المغناطيسي           |
| Magnetic potential              | الكمون المغناطيسي           |
| Magnetic induction              | التحريض المغناطيسي          |
| Magnetomotive force             | القوة المحركة المغناطيسية   |
| Material                        | مادة                        |
| Material Macroscopic properties | الخواص الماكروسكوبية للمادة |
| Material microscopic propertics | الخواص المجهرية للمادة      |
| Matrix                          | مصفوفة                      |
| Matrix transpose                | منقول مصفوفة                |
| Maxwell's equations             | معادلات ماكسويل             |
| Media                           | وسط                         |
| Anisotropic media               | وسط مختلف المناحي           |
| Isotropic media                 | وسط متماثل المناحي          |
| Homogenous media                | وسط متجانس                  |
| Michelson-Morley experiment     | تجربة مايكلسون ومورلي       |
| Mode                            | نمط                         |
| Monopole                        | وحيد القطب                  |
| Motion                          | حركة                        |

Motion of charged particules حركة الجسيمات المشحونة

- O -

Optics ضوء

Ordinary wave موجة اعتيادية

Orthogonal متعامد

- P -

Parallel planes مستويات متوازية

Plane waves موجات مستوية

Penetration depth عمق التوغل

Permeability نفوذية

Permeability of free space نفوذية الفراغ

Permittivity سماحية

Permittivity complexe السماحية العقدية

Permittivity of ionized gas سماحية الغاز المؤين

Permittivity relative السماحية النسبية

Phase velocity السرعة الظورية

Plane of incidence مستوى الورور

Plane of refraction مستوى الانكسار

Linear polarization استقطاب خطي

Poynting vector متجهة بوينتنغ

Complex poynting vector متجهة بوينتنغ العقدية

- R -

Reflection انعكاس

Total internal reflection انعكاس كلي داخلي

|                        |                   |
|------------------------|-------------------|
| Reflection coefficient | معامل الانعكاس    |
| Retarded potential     | الكمون المتأخر    |
| Right-hand Rule        | قاعدة اليد اليمنى |
| Rotation sense         | جهة الدوران       |

- S -

|                              |                        |
|------------------------------|------------------------|
| Skin effect                  | مفعول القشرة           |
| Spherical wave               | موجة كروية             |
| Superconductivity            | فوق الناقلية           |
| Surface charge               | شحنة سطحية             |
| Snell's law                  | قانون سنل              |
| Special theory of relativity | النظرية النسبية الخاصة |
| Steady current               | تيار ثابت الشدة        |
| Surface current              | تيار سطحي              |

- T -

|                           |                     |
|---------------------------|---------------------|
| Transparent medium        | وسط شفاف            |
| Transverse electric wave  | موجة كهربائية عرضية |
| Transverse magnetic field | حقل مغناطيسي عرضي   |

- W -

|             |            |
|-------------|------------|
| Wave length | طول الموجة |
|-------------|------------|

# الفهرس

الفصل الاول : معادلات الحقل الكهربي في الفراغ ( معادلات ماكسويل )

- ٥ - 1 - 1 قانون غوص في الكهربية الساكنة
- ٧ - 1 - 2 قانون غوص في المغناطيسية
- ١٠ - 1 - 3 قانون أمبير
- ١٢ - 1 - 4 قانون فاراداي في التحريض الكهربي
- ١٧ - 1 - 5 معادلة الاستمرار
- ١٨ - 1 - 6 تيار الانزياح أوتيار ماكسويل
- ٢٢ - 1 - 7 متى يكون الوسط ناقلا ومتى يكون عازلا ؟
- ٢٤ - 1 - 8 معادلات ماكسويل العامة
- ٢٦ - 1 - 9 كمونا الحقل الكهربي في الفراغ
- ٣٠ - 1 - 10 شرط لورنتس
- ٣٢ - 1 - 11 الشروط الحدية
- ٣٢ - 1-11-1 دراسة الشرط الحدي للمركبة الناظمية لحقل التحريض  
المغناطيسي  $\vec{B}$
- ٣٤ - 1-11-2 دراسة الشرط الحدي للمركبة الناظمية لحقل التحريض  
الكهربي  $\vec{D}$
- ٣٥ - 1-11-3 دراسة الشرط الحدي للمركبة المماسية للحقل الكهربي  $\vec{E}$

- 4-11-1- دراسة الشرط الحدي للمركبة المماسية للحقل المغناطيسي  $\vec{H}$  ٣٦
- تمارين ————— محلولة ٣٩
- تمارين ————— غير محلولة ٤٤
- الفصل الثاني : انتشار الامواج الكهرطيسية
- 2-1 - انتشار الامواج الكهرطيسية في الاوساط المتجانسة ٤٩
- والمتمثلة المناحي
- 2-1-2 - انتشار الامواج الكهرطيسية المستوية في الخلاء ٥٠
- 2-1-3 - الامواج المستوية الجيبية المستقطبة استقطابا مستقيما ٥٥
- 2-1-4 - انتشار موجة مستوية جيبية باتجاه ما ٥٧
- 2-1-5 - استقطاب الامواج الكهرطيسية المستوية ٥٨
- 2-1-6 - متجهة بوينتنگ ٦٢
- 2-1-7 - انتشار الامواج الكهرطيسية المستوية في الاوساط  
الناقلة .
- 2-1-8 - انتشار الامواج الكهرطيسية المستوية في النواقل الجيدة ٦٩
- 2-1-9 - نظرية بوينتنگ في الاوساط الناقلية ٧٣
- 2-1-10 - نظرية بوينتنگ في الصيغة العقدية ٧٥
- 2-1-11 - معادلات ماكسويل في الصيغة العقدية ٧٧
- 2-1-12 - انتشار الامواج الكهرطيسية المستوية في العوازل ٧٩
- 2-2 - انتشار الامواج الكهرطيسية المستوية في الاوساط  
المختلفة المناحي
- 2-2-1 - انتشار الامواج الكهرطيسية المستوية في الايونوسفير ٨١
- 2-2-2 - تطبيق : دوران فاراداي أو مفعول فارادي ٩١
- 2-2-3 - الايونوسفير ٩٣

- ٩٣ 4-2-2- انتشار الامواج الكهرطيسية المستوية في البلورات
- ١٠١ تمارين غير محلولة
- الفصل الثالث : انعكاس وانكسار الامواج الكهرطيسية على المستوي  
الفاصل بين اوساط مادية مختلفة :
- 1-3 - انعكاس وانكسار الامواج الكهرطيسية المستوية على  
السطح الفاصل بين وسطين غير ناقلين - الورود  
الناظمي
- 2-3 - الانعكاس والانكسار على السطح الفاصل بين وسطين  
غير ناقلين - الورود المائل .
- 3-3 - معادلات فرنل
- 4-3 - زاوية بروستر - الزاوية الحرجة
- 5-3 - انعكاس موجة كهرطيسية على مستوى ناقل - معاملات  
فرنل العقدية
- 6-3 - انعكاس وانكسار الامواج الكهرطيسية على الافلام  
الرقيقية
- 7-3 - انعكاس موجة كهرطيسية على الايونوسفير
- 8-3 - الامواج الموجهة
- 1-8-3 - انتشار الامواج الكهرطيسية وفق خط مستقيم
- 2-8-3 - الموجات TE والموجات TM
- 3-8-3 - الامواج الكهرطيسية العرضانية TEM
- 4-8-3 - الشروط الحديدية على سطح دليل موجة معدني
- 5-8-3 - الموجات الكهرطيسية العرضانية TE في أدلة الموجة ذات  
الاشكال المستطيلة الجوفاء

- ١٦٧ 3-8-6 - انتقال الطاقة الكهرطيسية لموجة من النوع TE في دليل امواج مستطيل .
- ١٦٩ 3-8-7 - تخامد موجة TE في دليل الموجة المستطيل الشكل
- ١٧٥ تمارين غير محلولة
- الفصل الرابع : متعددات الاقطاب
- ١٧٩ 4-1 متعددات الاقطاب الكهرطيسية ( حالة شحنات غير متحركة )
- ١٨٠ 4-1-1 - نشر تابع الكمون - الحقل المتولد عن شنائي القطب
- ١٨٥ 4-2 - شنائي القطب في حقل كهراكدي خارجي متجانس
- ١٨٦ 4-2-1 - القوة المؤثرة على شنائي القطب
- ١٨٦ 4-2-2 - عزم الدوران المطبق على الشنائي
- ١٨٧ 4-2-3 - طاقة التأثير المتبادل بين شنائي القطب وحقل كهرطيسي خارجي  $\vec{E}(\vec{r})$
- ١٨٨ 4-2-4 - طاقة التأثير المتبادل بين شنائيي قطب
- ١٩٠ 4-3 رباعي الاقطاب الكهرطيسي وخواصه
- ١٩٢ 4-4 - العزوم المغناطيسية المتعددة الاقطاب
- ١٩٣ 4-4-1 - أحادي القطب المغناطيسي
- ١٩٤ 4-4-2 - شنائي القطب المغناطيسي
- ١٩٧ 4-5 - الكمون المتأخر المتولد عن شنائي قطب كهرطيسي مهتز
- ٢٠٠ 4-6 - الكمون المتجه الناتج عن شنائي قطب مغناطيسي مهتز
- ٢٠٢ 4-7 - تطبيقات متعددات الاقطاب الكهرطيسية والمغناطيسية في الفيزياء الذرية والنوية
- ٢٠٥ 4-8 - الاستقطاب الكهرطيسي والمغناطيسي للمادة
- ٢٠٧ 4-9 - معادلات ماكسويل بالقيم الوسطية

|     |                                                                        |
|-----|------------------------------------------------------------------------|
| ٢٠٩ | 4-10 - الاستقطاب الكهربائي لوسط مادي                                   |
| ٢١١ | 4-10-1 - العلاقة بين $\vec{P}$ و $\rho_p$                              |
| ٢١٢ | 4-11 - الاستقطاب المغناطيسي ( التمغنط )                                |
| ٢١٦ | 4-12 - عبارة كثافة التيار الكلي في المادة                              |
| ٢١٧ | 4-13 - خواص الاوساط المادية                                            |
| ٢١٩ | 4-14 - معادلات ماكسويل في الوسط المادي                                 |
|     | الفصل الخامس : النظرية النسبية وتحويلات الحقول                         |
| ٢٢١ | 5-1 - تحويلات غاليليه                                                  |
| ٢٢٢ | 5-2 - المرجع العطالي                                                   |
| ٢٢٢ | 5-3 - قانون جمع السرعة في الميكانيك الكلاسيكي                          |
| ٢٢٣ | 5-4 - مبدأ النسبية عند نيوتن                                           |
| ٢٢٥ | 5-5 - لاتغير القوانين الفيزيائية - مثال من الميكانيك الكلاسيكي         |
| ٢٢٦ | 5-6 - فرضيات الميكانيك النيوتني أو الكلاسيكي                           |
| ٢٢٧ | 5-7 - تجربة مايكلسون ومورلي                                            |
| ٢٣٠ | 5-8 - نتائج تجربة مايكلسون                                             |
| ٢٣١ | 5-9 - فشل تحويلات غاليليه وفشل الميكانيك الكلاسيكي عند السرعات العالية |
| ٢٣٢ | 5-10 - نظرية اينشتاين النسبية                                          |
| ٢٣٣ | 5-10-1 - النظرية النسبية الخاصة                                        |
| ٢٣٤ | 5-10-2 - تحويلات لورنتس                                                |
| ٢٣٨ | 5-10-3 - تمدد الازمنة                                                  |
| ٢٣٩ | 5-10-4 - مفعول دوبلر النسبوي                                           |
| ٢٤١ | 5-10-5 - التوافقية                                                     |



|     |                                                                                                                 |
|-----|-----------------------------------------------------------------------------------------------------------------|
| ٢٤٢ | 5-10-6 - تقلص الاطوال                                                                                           |
| ٢٤٤ | 5-11 - التسببية العامة                                                                                          |
| ٢٤٧ | 5-12 - التحريك النسبوي                                                                                          |
| ٢٤٧ | 5-12-1 - تحويل السرعة                                                                                           |
| ٢٤٩ | 5-12-2 - تحويل التسارع                                                                                          |
| ٢٥٠ | 5-12-3 - الطاقة النسبوية                                                                                        |
| ٢٥٢ | 5-12-4 - المتجهة الرباعية للاندفاع                                                                              |
| ٢٥٤ | 5-13 - تطبيق تحويلات لورنتس على القوى                                                                           |
| ٢٥٧ | 5-14 - تحويلات الحقل الكهربائي والحقل المغناطيسي                                                                |
| ٢٦١ | 5-15 - شبات الشحنة الكهربائية                                                                                   |
| ٢٦٢ | 5-16 - الحقل الكهربائي $\vec{E}$ وحقل التحريض المغناطيسي $\vec{B}$<br>الناتج عن شحنة متحركة حركة مستقيمة منتظمة |
| ٢٦٦ | 5-17 - متجهة كثافة التيار الرباعية                                                                              |
| ٢٦٨ | 5-18 - متجهة الكمون الرباعية $\vec{A}$                                                                          |
| ٢٧٠ | 5-19 - المؤثر الرباعي الابعاد $\vec{\square}$                                                                   |
| ٢٧٢ | 5-20 - قانون انحفاظ الشحنة                                                                                      |
| ٢٧٣ | 5-21 - شرط لورنتس باستخدام المؤثر الرباعي الابعاد $\vec{\square}$                                               |
| ٢٧٤ | 5-22 - معادلات ماكسويل عند تغيير المرجع العطالي                                                                 |
| ٢٧٥ | 5-22-1 - تفرق الحقل الكهربائي $\vec{E}$                                                                         |
| ٢٧٥ | 5-22-2 - تفرق حقل التحريض المغناطيسي $\vec{B}$                                                                  |
| ٢٧٦ | 5-22-3 - دوار الحقل الكهربائي $\vec{E}$                                                                         |
| ٢٧٨ | 5-23 - التعبير عن تحويلات لورنتس باستخدام المصفوفات                                                             |
| ٢٨١ | 5-24 - تونور الحقل الكهربي                                                                                      |

|     |                                           |
|-----|-------------------------------------------|
| ٢٨٢ | 5-25 - قانون تحويل الحقل الكهربيسي        |
| ٢٨٦ | تمارين ——— من محلولة                      |
| ٢٩٤ | تمارين غير محلولة ———                     |
| ٢٩٩ | ملحق ( ١ )                                |
| ٢٠١ | ملحق ( ٢ )                                |
| ٣٠٤ | ملحق ( ٣ )                                |
| ٣٠٦ | ملحق ( ٤ )                                |
| ٣١٣ | المراجع الاجنبية                          |
| ٣١٥ | المراجع العربية                           |
| ٣١٧ | دليل المصطلحات العلمية ( عربي - انكليزي ) |
| ٣٢٥ | الفهرس ———                                |